

International Nonproprietary Names for Pharmaceutical Substances (INN)

Notice is hereby given that, in accordance with article 3 of the Procedure for the Selection of Recommended International Nonproprietary Names for Pharmaceutical Substances, the names given in the list on the following pages are under consideration by the World Health Organization as Proposed International Nonproprietary Names. The inclusion of a name in the lists of Proposed International Nonproprietary Names does not imply any recommendation of the use of the substance in medicine or pharmacy.

Lists of Proposed (1–117) and Recommended (1–78) International Nonproprietary Names can be found in *Cumulative List No. 17, 2017* (available in CD-ROM only). The statements indicating action and use are based largely on information supplied by the manufacturer. **This information is merely meant to provide an indication of the potential use of new substances at the time they are accorded Proposed International Nonproprietary Names.** WHO is not in a position either to uphold these statements or to comment on the efficacy of the action claimed. Because of their provisional nature, these descriptors will neither be revised **nor included in the Cumulative Lists of INNs.**

Dénominations communes internationales des Substances pharmaceutiques (DCI)

Il est notifié que, conformément aux dispositions de l'article 3 de la Procédure à suivre en vue du choix de Dénominations communes internationales recommandées pour les Substances pharmaceutiques les dénominations ci-dessous sont mises à l'étude par l'Organisation mondiale de la Santé en tant que dénominations communes internationales proposées. L'inclusion d'une dénomination dans les listes de DCI proposées n'implique aucune recommandation en vue de l'utilisation de la substance correspondante en médecine ou en pharmacie.

On trouvera d'autres listes de Dénominations communes internationales proposées (1–117) et recommandées (1–78) dans la *Liste récapitulative No. 17, 2017* (disponible sur CD-ROM seulement). Les mentions indiquant les propriétés et les indications des substances sont fondées sur les renseignements communiqués par le fabricant. **Elles ne visent qu'à donner une idée de l'utilisation potentielle des nouvelles substances au moment où elles sont l'objet de propositions de DCI.** L'OMS n'est pas en mesure de confirmer ces déclarations ni de faire de commentaires sur l'efficacité du mode d'action ainsi décrit. En raison de leur caractère provisoire, ces informations **ne figureront pas dans les listes récapitulatives de DCI.**

Denominaciones Comunes Internacionales para las Sustancias Farmacéuticas (DCI)

De conformidad con lo que dispone el párrafo 3 del "Procedimiento de Selección de Denominaciones Comunes Internacionales Recomendadas para las Sustancias Farmacéuticas", se comunica por el presente anuncio que las denominaciones detalladas en las páginas siguientes están sometidas a estudio por la Organización Mundial de La Salud como Denominaciones Comunes Internacionales Propuestas. La inclusión de una denominación en las listas de las DCI Propuestas no supone recomendación alguna en favor del empleo de la sustancia respectiva en medicina o en farmacia.

Las listas de Denominaciones Comunes Internacionales Propuestas (1–117) y Recomendadas (1–78) se encuentran reunidas en *Cumulative List No. 17, 2017* (disponible sólo en CD-ROM). Las indicaciones sobre acción y uso que aparecen se basan principalmente en la información facilitada por los fabricantes. **Esta información tiene por objeto dar una idea únicamente de las posibilidades de aplicación de las nuevas sustancias a las que se asigna una DCI Propuesta.** La OMS no está facultada para respaldar esas indicaciones ni para formular comentarios sobre la eficacia de la acción que se atribuye al producto. Debido a su carácter provisional, esos datos descriptivos **no deben incluirse en las listas recapitulativas de DCI.**

**Please note that the prop.INN List 124 published on 22 January 2021 is
after this prop.INN List 124 - COVID-19 (special edition).**

Proposed International Nonproprietary Names: List 124 – COVID-19 (special edition)

Comments on, or formal objections to, the proposed names may be forwarded by any person to the INN Programme of the World Health Organization within four months of the date of their publication in *WHO Drug Information*, i.e., for List 124 – COVID-19 (special edition) of Proposed INN not later than 22 February 2021. Publication date: 23/10/2020

Dénominations communes internationales proposées: Liste 124 - COVID-19 (édition spéciale)

Des observations ou des objections formelles à l'égard des dénominations proposées peuvent être adressées par toute personne au Programme des Dénominations communes internationales de l'Organisation mondiale de la Santé dans un délai de quatre mois à compter de la date de leur publication dans *WHO Drug Information*, c'est à dire pour la Liste 124 - COVID-19 (édition spéciale) de DCI Proposées le 22 février 2021 au plus tard. Date de publication : 23/10/2020

Denominaciones Comunes Internacionales Propuestas: Lista 124 - COVID-19 (edición especial)

Cualquier persona puede dirigir observaciones u objeciones respecto de las denominaciones propuestas, al Programa de Comunes Internacionales de la Organización Mundial de la Salud, en un plazo de cuatro meses, contados desde la fecha de su publicación en *WHO Drug Information*, es decir, para la Lista 124 - COVID-19 (edición especial) de DCI Propuestas el 22 de febrero de 2021 a más tardar. Fecha de publicación: 23/10/2020

<i>Proposed INN</i> (Latin, English, French, Spanish)	<i>Chemical name or description: Action and use: Molecular formula, Chemical Abstracts Service (CAS) registry number: Graphic formula</i>
<i>DCI Proposée</i>	<i>Nom chimique ou description: Propriétés et indications: Formule brute, Numéro dans le registre du CAS: Formule développée</i>
<i>DCI Propuesta</i>	<i>Nombre químico o descripción: Acción y uso: Fórmula molecular, Número de registro del CAS: Fórmula desarrollada</i>

abdavomeranum #

abdavomeran messenger RNA (mRNA), 5'-capped, encoding the codon-optimised receptor binding domain (RBD) of the SARS-CoV-2 (severe acute respiratory syndrome coronavirus 2, GenBank: MN908947.3) spike (S) glycoprotein, expressed as a fusion protein 5' with an extended S glycoprotein signal peptide and connected 3' by a glycine/serine (GS)-rich linker peptide with a T4 fibrin trimerization domain, flanked by 5' and 3' untranslated regions and a 3' poly(A) tail; contains N1-methylpseudouridine instead of uridine (*all-U>m¹Ψ*).
immunological agent for active immunization (anti-SARS-CoV-2)

abdavoméran ARN messager (ARNm), protégé en 5', codant pour le domaine de liaison au récepteur (RBD) de la glycoprotéine spike (S) du SARS-CoV-2 (coronavirus 2 du syndrome respiratoire aigu sévère, GenBank: MN908947.3) avec des codons optimisés, exprimé comme une protéine de fusion 5'-avec un peptide signal de la glycoprotéine S allongé et lié en 3' par un peptide de liaison riche en glycine / sérine (GS) avec un domaine de trimérisation de la fibratine de T4, flanqué par des régions 5' et 3' non traduites et une queue poly(A); contient de la N1-méthylpseudouridine au lieu de l'uridine (*tout-U>m¹Ψ*).
agent immunologique d'immunisation active (anti-SARS-CoV-2)

abdavomerán	<p>RNA mensajero (mRNA), protegido en 5', que codifica para el dominio de unión al receptor (RBD) de la glicoproteína de la espícula (S) de SRAS-CoV-2 (coronavirus 2 del síndrome respiratorio agudo severo, GenBank: MN908947.3) con codones optimizados, expresado como una proteína de fusión en 5' con un péptido señal de glicoproteína S extendido y conectado en 3' mediante un péptido enlazador (linker) rico en glicina/serina (GS) con un dominio fibrina de trimerización de T4, flanqueado por regiones 5' y 3' no traducidas y una cola poly(A); contiene N1-metilpseudouridina en lugar de uridina (<i>all-U>m¹Ψ</i>).</p> <p><i>agente inmunológico para inmunización activa (anti-SRAS-CoV-2)</i></p>
	2417899-75-1
alunacedasum alfa # alunacedase alfa	<p>human angiotensin-converting enzyme 2 extracellular soluble domain (18-740, 1-723 in the current sequence), dimer, glycosylated, produced in Chinese hamster ovary (CHO) cells;</p> <p>human angiotensin-converting enzyme 2 (ACE2, angiotensin-converting enzyme homolog, ACEH, ACE-related carboxypeptidase, metalloprotease MPROT15, EC:3.4.17.23), soluble extracellular (18-740)-domain of the proprotein, non-covalent dimer, produced in Chinese hamster ovary (CHO) cells, glycoform alfa <i>angiotensin-converting enzyme (ACE) 2 analogue</i></p>
alunacédase alfa	<p>domaine extracellulaire soluble de l'enzyme de conversion de l'angiotensine de type 2 humaine (18-740, 1-723 dans la séquence actuelle), dimère, glycosylé, produit dans des cellules ovariennes de hamster chinois (CHO) ;</p> <p>enzyme de conversion de l'angiotensine de type 2 humaine (ECA2, enzyme de conversion homologue de l'angiotensine, HECA, carboxypeptidase liée à l'ECA, métalprotease MPROT15, EC: 3.4.17.23), domaine protéique extracellulaire soluble (18-740), dimère non covalent, produit dans des cellules ovariennes de hamster chinois (CHO), glycoforme alfa <i>analogue de l'enzyme de conversion de l'angiotensine de type 2</i></p>
alunacedasa alfa	<p>enzima humana convertidora de la angiotensina 2 dominio extracelular soluble (18-740, 1-723 en la secuencia actual) dímero, glicosilado, producido en células ováricas de hámster Chino (CHO);</p> <p>enzima humana convertidora de la angiotensina 2 (ECA2, homólogo enzima convertidora de angiotensina, HECA, ECA-carboxipeptidasa relacionada, metaloproteasa MPROT15, EC:3.4.17.23), soluble extracelular (18-740)-dominio de la proproteína, dímero no covalente, producido en células ováricas de hámster Chino (CHO), glicofoma alfa <i>análogo de la enzima conversora de la angiotensina 2</i></p>

2416824-55-8

Sequence / Séquence / Secuencia	
QSTIEEQART FLDRFNHEAE DLFYQSSLAS WNYNTNITEE NVQNMMNAGD	50
KWSAFLKEQS TLAQMYPLQE IQNLTVKLQL QALQQNGSSV LSEDKSKRLN	100
TILNTMSTIY STGRVCNPDN FQECLLLEPG LNEIMANSLD YNERLWAWES	150
WRSEVVGKQLR PLYEEYVVLK NEMARANHYE DYGDYWRGDY EVNGVDGYDY	200
SRGQLIEDVE HTFEEIKPLY EHLHAYVRAK LMNAYPSYIS FIGCLPAHLL	250
GDMWGRFWTN LYSLTVPFQK FPNIDVTDM VDQAWDAQRI FKEAEKFFVS	300
VGLPNMTQGF WENSMLTDFG NVQKAVCHPT AWDLKGQDFR ILMCTKVTMD	350
DFLTAHHEMG HIQYDMAYAA QPFLLRNGAN EGFHEAVGEI MSLSAATPKH	400
LKSIGLLSPD FQEDNTEIN FLLKQALTIV GTLPPTYMLE KWRMMVFKGE	450
IPKQWMMKKW WEMKREIVGV VEPVPHDETY CDPASLFHVS NDYSFIRYYT	500
RTLYQFQFQE ALCQAQKHEG PLHKCDISNS TEAGQKLFNM LRLGKSEFWT	550
LALENVVGAQ NMNVRPLNLY FEPLFTWLKD QNKNSFVGWS TDWSPYADQS	600
IKVRISLKSA LGDKAYEWNM NEMYLFRSSV AYAMRQYFLK VKNQMLFGE	650
EDVRVANLKP RISFNFFVTA PKNVSDIIPR TEVEKAIRMS RSRINDAFRL	700
NDNSLEFLGI QPTLGPENQP PVS	723

Post-translational modifications
Disulfide bridges location / Position des ponts disulfure / Posiciones de los puentes disulfuro
116-124, 327-344, 513-525 116-124', 327'-344', 513'-525'
Cys-SH: 244, 481, 244', 481'

N-glycosylation sites / Sites de N-glycosylation / Posiciones de N-glicosilación
N36, N73, N86, N305, N415, N529, N36', N73', N86', N305', N415', N529' (97-100% each)
N673, N673' (4% each)

O-glycosylation sites / Sites de O-glycosylation / Posiciones de O-glicosilación
S704, S704' or T713, T713' or S723, S723'

Other modifications: Q1, Q1' > Glp (pyroGlu);
S723, S723': partially clipped (~4%)

atibuclimabum #
atibuclimab

immunoglobulin G4-kappa, anti-[*Homo sapiens* CD14, membrane (mCD14) and soluble (sCD14)], chimeric monoclonal antibody;
gamma4 heavy chain chimeric (1-442) [VH *Mus musculus* (Musmus IGHV3-2*02 (95.9%) -(IGHD) -Musmus IGHJ3*01 (92.9%) A128>S (115)) CDR-IMGT [9.7.8] (26-34.52-58.97-104) (1-115) -*Homo sapiens* IGHG4*01 (100%), CH1 (116-213), hinge 1-12 (214-225), CH2 (226-335), CH3 (336-440), CHS (441-442)) (116-442)], (129-218')-disulfide with kappa light chain chimeric (1'-218') [V-KAPPA *Mus musculus* (Musmus IGKV3-5*01 (97.0%) -IGKJ2*01 (100%)) CDR-IMGT [10.3.9] (27-36.54-56.93-101) (1'-111') -*Homo sapiens* IGKC*01 (100%) Km3 A45.1 (157), V101 (195) (112'-218')]; dimer (221-221":224-224")-bisdisulfide, produced in a Chinese hamster ovary (CHO)-DG44 cell line, glycoform alfa
immunomodulator

atibuclimab

immunoglobuline G4-kappa anti-[*Homo sapiens* CD14, membrane (mCD14) et soluble (sCD14)], anticorps monoclonal chimérique;
chaîne lourde gamma4 chimérique (1-442) [VH *Mus musculus* (Musmus IGHV3-2*02 (95.9%) -(IGHD) -Musmus IGHJ3*01 (92.9%) A128>S (115)) CDR-IMGT [9.7.8] (26-34.52-58.97-104) (1-115) -*Homo sapiens* IGHG4*01 (100%), CH1 (116-213), charnière 1-12 (214-225), CH2 (226-335), CH3 (336-440), CHS (441-442)) (116-442)], (129-218')-disulfure avec la chaîne légère kappa chimérique (1'-218') [V-KAPPA *Mus musculus* (Musmus IGKV3-5*01 (97.0%) -IGKJ2*01 (100%)) CDR-IMGT [10.3.9] (27-36.54-56.93-101) (1'-111') -*Homo sapiens* IGKC*01 (100%) Km3 A45.1 (157), V101 (195) (112'-218')]; dimère (221-221":224-224")-bisdisulfure, produit dans des cellules ovariennes de hamster chinois (CHO) lignée cellulaire CHO-DG44, glycoforme alfa
immunomodulateur

atibuclimab

immunoglobulina G4-kappa anti-[*Homo sapiens* CD14, membrana (mCD14) y soluble (sCD14)], anticuerpo monoclonal quimérico;
 cadena pesada gamma4 quimérico (1-442) [VH *Mus musculus* (Musmus IGHV3-2*02 (95.9%)-(IGHD) - Musmus IGHJ3*01 (92.9%) A128>S (115)) CDR-IMGT [9.7.8] (26-34.52-58.97-104) (1-115) -*Homo sapiens* IGHG4*01 (100%), CH1 (116-213), bisagra 1-12 (214-225), CH2 (226-335), CH3 (336-440), CHS (441-442)) (116-442)], (129-218')-disulfuro con la cadena ligera kappa quimérica (1'-218') [V-KAPPA *Mus musculus* (Musmus IGKV3-5*01 (97.0%)-IGKJ2*01 (100%)) CDR-IMGT [10.3.9] (27-36.54-56.93-101) (1'-111') - *Homo sapiens* IGKC*01 (100%) Km3 A45.1 (157), V101 (195) (112'-218')]; dímero (221-221":224-224")-bisulfuro, producido en las células ováricas de hámster chino (CHO) línea celular CHO-DG44, forma glicosilada alfa
 inmunomodulador

2417175-94-9

Heavy chain / Chaîne lourde / Cadena pesada
 DVQLQQSGPG LVKPSQSLSI TCTVTGYSIT SDSAWNIRQ FPGNRLEWMG 50
 YISYSGSTSY NPSLKSRIIS TRDTSKNQFF LQLNSVTED TATYYCVRGL 100
 RFAYWGQGLT VTVSSASTKG PSVFPLAPCS RSTSESTAAL GCLVKDYFPE 150
 PVTYVWNSGA LTVSGVHTFPA VLQSSGLYSL SSVVTVPSSS LGTKTYTCNV 200
 DHKPSNTKVD KRVEISKYGFPP CPSCPAPEFL GGPSVFLFPP KPKDTLMISR 250
 TPEVTCVVVD VSEQDPEVQF NWYVDGVEVH NAKTKPREBQ FNSTYRVVSV 300
 LTVLHQDWLN GKEYKCKVSN KGLPSSIEKT ISKAKGQPRE PQVYTLPPSQ 350
 EEMTKNQVSL TCLVKGFYPS DIAVEWESNG QPENNYKTP PVLDSGDSFF 400
 LYSRLTVKKS RWQEGNVFSC SVMHEALHNN YTKQSLSLSL GK 442

Light chain / Chaîne légère / Cadena ligera
 DIVLTQSPAS LAVSLGQRAT ISCRASEVD SYVNSFLHWY QKPKGQPKPL 50
 LLYRASNLQS GIPARFSGSG SRTDPTLTIN PVEADDVATY YCQQNSNDPY 100
 TFGGGTKLEI KRTVAAAPSVF IPPPSDEQLK SGTASVCLL NNFYPREAKV 150
 QWKVDNALQS GNSQESVTEQ DSKDSTYSLS STLTLSKADY EKHKVYACEV 200
 THQGLSSPVT KSFNRGEC 218

Post-translational modifications
 Disulfide bridges location / Position des ponts disulfure / Posiciones de los puentes disulfuro
 Intra-H (C23-C104) 22-96 142-198 256-316 362-420
 22"-96" 142"-198" 256"-316" 362"-420"
 Intra-L (C23-C104) 23"-92" 138"-198"
 23"-92" 138"-198"
 Inter-H-L (CHI 10-CL 126) 129-218" 129"-218"
 Inter-H-H (h 8, h 11) 221-221" 224-224"

N-glycosylation sites / Sites de N-glycosylation / Posiciones de N-glicosilación
 H CH2 N84.4:
 292, 292"
 Fucosylated complex bi-antennary CHO-type glycans (G0F predominant) / glycanes de type CHO bi-antennaires complexes fucosylés (G0F prédominant) / glicanos de tipo CHO biantenarios complejos fucosilados (G0F predominante).
 C-terminal lysine clipping / Coupure de la lysine C-terminale / Recorte de lisina C-terminal
 H CHS K2:
 442, 442"

bamlanivimab #
 bamlanivimab

immunoglobulin G1-kappa, anti-[*Homo sapiens* severe acute respiratory syndrome coronavirus 2 (SARS-CoV-2) spike (S) protein], *Homo sapiens* monoclonal antibody;
 gamma1 heavy chain *Homo sapiens* (1-455) [VH (*Homo sapiens* IGHV1-69*04 (99.0%)-(IGHD) - IGHJ6*01 (90.9%) T123>A (120)) CDR-IMGT [8.8.18] (26-33.51-58.97-114) (1-125) -*Homo sapiens*

- IGHG1*03 (100%) G1m3, nG1m1 (CH1 R120 (222) (126-223), hinge 1-15 (224-238), CH2 (239-348), CH3 E12 (364), M14 (366) (349-453), CHS (454-455)) (126-454)], (228-214')-disulfide with kappa light chain *Homo sapiens* (1'-214') [V-KAPPA (*Homo sapiens* IGKV1-39*01 (97.9%) -IGKJ1*01 (100%)) CDR-IMGT [6.3.9] (27-32.50-52.89-97) (1'-107') -*Homo sapiens* IGKC*01 (100%) Km3 A45.1 (153), V101 (191) (108'-214')]; dimer (234-234":237-237")-bisdisulfide, produced in a Chinese hamster ovary (CHO) cell line derived from CHO-K1SV, lacking the glutamine synthetase (GS) gene, glycoform alfa
antiviral
- bamlanivimab immunoglobuline G1-kappa anti-[*Homo sapiens* protéine spike (S) du coronavirus 2 du syndrome respiratoire aigu sévère (SARS-CoV-2)], anticorps monoclonal *Homo sapiens*;
chaîne lourde gamma1 *Homo sapiens* (1-455) [VH (*Homo sapiens* IGHV1-69*04 (99%) -(IGHD) -IGHJ6*01 (90.9%) T123>A (120)) CDR-IMGT [8.8.18] (26-33.51-58.97-114) (1-125) -*Homo sapiens* IGHG1*03 (100%) G1m3, nG1m1 (CH1 R120 (222) (126-223), charnière 1-15 (224-238), CH2 (239-348), CH3 E12 (364), M14 (366) (349-453), CHS (454-455)) (126-454)], (228-214')-disulfure avec la chaîne légère kappa *Homo sapiens* (1'-214') [V-KAPPA (*Homo sapiens* IGKV1-39*01 (97.9%) -IGKJ1*01 (100%)) CDR-IMGT [6.3.9] (27-32.50-52.89-97) (1'-107') -*Homo sapiens* IGKC*01 (100%) Km3 A45.1 (153), V101 (191) (108'-214')]; dimère (234-234":237-237")-bisdisulfure, produit dans des cellules ovariennes de hamster chinois (CHO) dérivant de la lignée cellulaire CHO-K1SV, ne présentant pas le gène de la glutamine synthétase, glycoforme alfa
antiviral
- bamlanivimab inmunoglobulina G1-kappa anti-[*Homo sapiens* proteína espícula (S) del coronavirus 2 del síndrome respiratorio agudo severo (SRAS-CoV-2)], anticuerpo monoclonal *Homo sapiens*;
cadena pesada gamma1 *Homo sapiens* (1-455) [VH (*Homo sapiens* IGHV1-69*04 (99%) -(IGHD) -IGHJ6*01 (90.9%) T123>A (120)) CDR-IMGT [8.8.18] (26-33.51-58.97-114) (1-125) -*Homo sapiens* IGHG1*03 (100%) G1m3, nG1m1 (CH1 R120 (222) (126-223), bisagra 1-15 (224-238), CH2 (239-348), CH3 E12 (364), M14 (366) (349-453), CHS (454-455)) (126-454)], (228-214')-disulfuro con la cadena ligera kappa *Homo sapiens* (1'-214') [V-KAPPA (*Homo sapiens* IGKV1-39*01 (97.9%) -IGKJ1*01 (100%)) CDR-IMGT [6.3.9] (27-32.50-52.89-97) (1'-107') -*Homo sapiens* IGKC*01 (100%) Km3 A45.1 (153), V101 (191) (108'-214')]; dímero (234-234":237-237")-bisdisulfuro, producido en las células ováricas de hámster chino (CHO) línea celular derivada de CHO-K1SV, en ausencia del gen glutamina sintetasa (GS), forma glicosilada alfa
antiviral

2423943-37-5

Heavy chain / Chaîne lourde / Cadena pesada
 QVQLVQSGAE VKKPGSSVKV SCKASGGTFS NYAISWVRQA PGQGLEWMGR 50
 IIPILGIANY AOKFQGRVTI TADKSTSTAY MELSSLRSED TAVYYCARGY 100
 YEARHYYYNY AMDVWQGGTA VTVSSASTKG PSVFLPLPSS KSTSGGTAAL 150
 GCLVKDYFPE PVTVSWNSGA LTVSGVHTFPA VLQSSGLYSL SSVVTVPSSS 200
 LGTQTYICNV NHKPSNTKVD KRVEPKSCDK THTCPPCFAP ELLGGPSVFL 250
 FFPKPKDTLM ISRTPEVTCV VVDVSHEDPE VKFNWYVDGV EVHNAKTKPR 300
 EEQYNSTYRV VSVLTVLHQD WINGKEYKCK VSNKALPAPI ERTISKAKGQ 350
 PREPQVYTLP PSREEMTKNQ VSLTCLVKG F YPSDIAVEWE SNGQPEINYYK 400
 TTPPVLDSDG SFPLYSKLTV DKSRWQQGNV FSCSVMHREAL HNHYTQKSLIS 450
 LSPGK 455

Light chain / Chaîne légère / Cadena ligera
 DIQMTQSPSS LSASVGDRTV ITCRASQGIS SYLSWYQQKPK GKAPKLLIYA 50
 ASSLQSGVPS RFGSGSGTD FTLTITSLQP EDFATYYCQQ SYSTPRTFGQ 100
 GTRVEIKRTV AAPSVEIFPP SDEQLKSGTA SVVCLLNNEY PREAKVQWVK 150
 DNALQSGNSQ ESVTEQDSKD STYLSLSTLT LSKADYEHK VYACEVTHQG 200
 LSSPVTKSFN RGEC 214

Post-translational modifications
 Disulfide bridges location / Position des ponts disulfure / Posiciones de los puentes disulfuro
 Intra-H (C23-C104) 22°-96' 152°-208' 269°-329' 375°-433'
 22°-96" 152°-208" 269°-329" 375°-433"
 Intra-L (C23-C104) 23°-88' 134°-194'
 23°-88" 134°-194"
 Inter-H-L (h 5-CL 126) 228°-214' 228°-214"
 Inter-H-H (h 11, h 14) 234°-234' 237°-237"

N-terminal glutamine cyclization to pyroglutamide (pE, 5-oxoprolyl)
 HVH Q1:
 1, 1"

N-glycosylation sites / Sites de N-glycosylation / Posiciones de N-glicosilación
 H CH2 N84.4:
 305,305"

Fucosylated complex bi-antennary CHO-type glycans (G0F predominant) / glycanes de type CHO bi-antennaires complexes fucosylés (G0F prédominant) / glicanos de tipo CHO biantennarios complejos fucosilados (G0F predominante).

C-terminal lysine clipping / Coupure de la lysine C-terminale / Recorte de lisina C-terminal
 H CHS K2:
 455, 455"

casirivimabum #
 casirivimab

immunoglobulin G1-kappa, anti-[*Homo sapiens* severe acute respiratory syndrome coronavirus 2 (SARS-CoV-2) spike (S) protein, receptor binding domain (RBD)], *Homo sapiens* monoclonal antibody; gamma1 heavy chain *Homo sapiens* (1-450) [VH (*Homo sapiens* IGHV3-11*01 (96.9%) -(IGHD) - IGHJ4*01 (100%)) CDR-IMGT [8.8.13] (26-33.51-58.97-109) (1-120) -*Homo sapiens* IGHG1*01 (100%) G1m17.1 (CH1 K120 (217) (121-218), hinge 1-15 (219-233), CH2 (234-343), CH3 D12 (359), L14 (361) (344-448), CHS (449-450)) (121-450)], (223-214')-disulfide with kappa light chain *Homo sapiens* (1'-214') [V-KAPPA (*Homo sapiens* IGKV1-33*01 (96.8%) - IGKJ4*01 (100%)) CDR-IMGT [6.3.9] (27-32.50-52.89-97) (1'-107') -*Homo sapiens* IGKC*01 (100%) Km3 A45.1 (153), V101 (191) (108'-214')]; dimer (229-229":232-232")-bisdisulfide, produced in Chinese hamster ovary (CHO) cells, glycoform alfa *antiviral*

casirivimab

immunoglobuline G1-kappa anti-[*Homo sapiens* protéine spike (S) du coronavirus 2 du syndrome respiratoire aigu sévère (SARS-CoV-2), domaine de liaison au récepteur (RBD)], anticorps monoclonal *Homo sapiens*;

chaîne lourde gamma1 *Homo sapiens* (1-450) [VH (*Homo sapiens* IGHV3-11*01 (96.9%) -(IGHD) -IGHJ4*01 (100%)) CDR-IMGT [8.8.13] (26-33.51-58.97-109) (1-120) -*Homo sapiens* IGHG1*01 (100%) G1m17,1 (CH1 K120 (217) (121-218), charnière 1-15 (219-233), CH2 (234-343), CH3 D12 (359), L14 (361) (344-448), CHS (449-450)) (121-450)], (223-214')-disulfure avec la chaîne légère kappa *Homo sapiens* (1'-214') [V-KAPPA (*Homo sapiens* IGKV1-33*01 (96.8%) -IGKJ4*01 (100%)) CDR-IMGT [6.3.9] (27-32.50-52.89-97) (1'-107') -*Homo sapiens* IGKC*01 (100%) Km3 A45.1 (153), V101 (191) (108'-214')]; dimère (229-229":232-232")-bisdisulfure, produit dans des cellules ovariennes de hamster chinois (CHO), glycoforme alfa
antiviral

casirivimab

inmunoglobulina G1-kappa anti-[*Homo sapiens* proteína espícula (S) del coronavirus 2 del síndrome respiratorio agudo severo (SRAS-CoV-2), dominio de unión al receptor (RBD)], anticuerpo monoclonal *Homo sapiens*;
cadena pesada gamma1 *Homo sapiens* (1-450) [VH (*Homo sapiens* IGHV3-11*01 (96.9%) -(IGHD) -IGHJ4*01 (100%)) CDR-IMGT [8.8.13] (26-33.51-58.97-109) (1-120) -*Homo sapiens* IGHG1*01 (100%) G1m17,1 (CH1 K120 (217) (121-218), bisagra 1-15 (219-233), CH2 (234-343), CH3 D12 (359), L14 (361) (344-448), CHS (449-450)) (121-450)], (223-214')-disulfuro con la cadena ligera kappa *Homo sapiens* (1'-214') [V-KAPPA (*Homo sapiens* IGKV1-33*01 (96.8%) -IGKJ4*01 (100%)) CDR-IMGT [6.3.9] (27-32.50-52.89-97) (1'-107') -*Homo sapiens* IGKC*01 (100%) Km3 A45.1 (153), V101 (191) (108'-214')]; dímero (229-229":232-232")-bisdisulfuro, producido en las células ováricas de hamster chino (CHO), forma glicosilada alfa
antiviral

2415933-42-3

Heavy chain / Chaîne lourde / Cadena pesada
QVQLVESGGG LVKPGGSLRL SCAASGFTFS DYMSWIRQA PGKLEWWSY 50
ITYSGSTIYV ADSVKGRFTI SRDIAKSSLY LQMNSLRAED TAVYVCARDR 100
GTMVFPFDYV GQGLTLVTSS ASTKGPSVFP LAPSSKSTSG GTAALGLCVK 150
DYFPEFVTVS WNSGALTSVW HTFPAVLQSS GLYSLSSVVT VPSSSLGTQT 200
IYCNVNHKPS NTKVDKKEVP KSCDKTHTCP PCPAPPELLGG PSVFLFPPKP 250
KDTLMISRTPEVTCVVDVSD HEDPEVKFNW YVDGVEVHNA KTKPREEQYN 300
STYRVSVLT VLHQDWLNGK EYKCKVSNKA LPAPIEKTIIS KAKGQPREPQ 350
VYTLPPSRDE LTKNQVSLTCLVKGFYPSDI AVEWESNQP ENNYKTTTPV 400
LSDSGSFFLY SKLTVDKSRW QGQNVFPCSV MHEALHNHYT QKSLSLSPGK 450

Light chain / Chaîne légère / Cadena ligera
DIQMTQSPSS LSASVGRDRTV ITCCASQDIT NYLWYQQKPK GKAPKLLIYA 50
ASNLEGTGPS RFGSGSGSDT FTFTISGLQP EDIATYQCQQ YDNLPLTFGG 100
GTKVEIKRIV AAPSVFIFPP SDEQLKSGTA SVVCLLNFFV PREAKVQWVK 150
DNALQSGNSQ ESVTEQDSKD STYLSLSTLT LSKADYEKHK VYACEVTHQG 200
LSSPVTKSFN RGEC 214

Post-translational modifications
Disulfide bridges location / Position des ponts disulfure / Posiciones de los puentes disulfuro
Intra-H (C23-C104) 22°-96" 147°-203" 264°-324" 370°-428"
22°-96" 147°-203" 264°-324" 370°-428"
Intra-L (C23-C104) 23°-88" 134°-194"
23°-88" 134°-194"
Inter-H-L (h 5-CL 126) 223°-214" 223°-214"
Inter-H-H (h 11, h 14) 229°-229" 232°-232"

N-terminal glutamine cyclization to pyroglutamyl (pE, 5-oxoprolyl)
H VH Q1:
I, I'

N-glycosylation sites / Sites de N-glycosylation / Posiciones de N-glicosilación
H CH2 N84.4:
300, 300*

Fucosylated complex bi-antennary CHO-type glycans / glycanes de type CHO bi-antennaires complexes fucosylés / glicanos de tipo CHO biantenarijos complejos fucosilados.

C-terminal lysine clipping / Coupeure de la lysine C-terminale / Recorte de lisina C-terminal
H CHS K2:
450, 450*

cilgavimabum #
cilgavimab

immunoglobulin G1-kappa, anti-[*Homo sapiens* severe acute respiratory syndrome coronavirus 2 (SARS-CoV-2) spike (S) protein, receptor binding domain (RBD)], *Homo sapiens* monoclonal antibody; gamma1 heavy chain *Homo sapiens* (1-461) [VH (*Homo sapiens* IGHV3-15*01 (96.0%) -(IGHD) - IGHJ4*01 (100%)) CDR-IMGT [8.10.22] (26-33.51-60.99-120) (1-131) -*Homo sapiens* IGHG1*03 G1m3, nG1m1, G1v21 CH2 Y15.1, T16, E18, G1v39 CH2 F1.3, E1.2, S116 (CH1 R120 (228) (132-229), hinge 1-15 (230-244), CH2 L1.3>F (248), L1.2>E (249), M15.1>Y (266), S16>T (268), T18>E (270), P116>S (345) (245-354), CH3 E12 (370), M14 (372) (355-459), CHS (460-461)) (132-461)], (234-219')-disulfide with kappa light chain *Homo sapiens* (1'-219') [V-KAPPA (*Homo sapiens* IGKV4-1*01 (96.0%) - IGKJ4*01 (100%)) CDR-IMGT [12.3.8] (27-38.56-58.95-102) (1'-112') -*Homo sapiens* IGKC*01 (100%) Km3 A45.1 (158), V101 (196) (113'-219')]; dimer (240-240":243-243")-bisdisulfide, produced in Chinese hamster ovary (CHO) cells, glycoform alfa
antiviral

cilgavimab

immunoglobuline G1-kappa anti-[*Homo sapiens* protéine spike (S) du coronavirus 2 du syndrome respiratoire aigu sévère (SARS-CoV-2), domaine de liaison au récepteur (RBD)], anticorps monoclonal *Homo sapiens*;
chaîne lourde gamma1 *Homo sapiens* (1-461) [VH (*Homo sapiens* IGHV3-15*01 (96.0%) -(IGHD) - IGHJ4*01 (100%)) CDR-IMGT [8.10.22] (26-33.51-60.99-120) (1-131) -*Homo sapiens* IGHG1*03 G1m3, nG1m1, G1v21 CH2 Y15.1, T16, E18, G1v39 CH2 F1.3, E1.2, S116 (CH1 R120 (228) (132-229), charnière 1-15 (230-244), CH2 L1.3>F (248), L1.2>E (249), M15.1>Y (266), S16>T (268), T18>E (270), P116>S (345) (245-354), CH3 E12 (370), M14 (372) (355-459), CHS (460-461)) (132-461)], (234-219')-disulfure avec la chaîne légère kappa *Homo sapiens* (1'-219') [V-KAPPA (*Homo sapiens* IGKV4-1*01 (96.0%) -IGKJ4*01 (100%)) CDR-IMGT [12.3.8] (27-38.56-58.95-102) (1'-112') -*Homo sapiens* IGKC*01 (100%) Km3 A45.1 (158), V101 (196) (113'-219')]; dimère (240-240":243-243")-bisdisulfure, produit dans des cellules ovariennes de hamster chinois (CHO), glycoforme alfa
antiviral

cilgavimab

immunoglobulina G1-kappa anti-[*Homo sapiens* proteína espícula (S) del coronavirus 2 del síndrome respiratorio agudo severo (SRAS-CoV-2), dominio de unión al receptor (RBD)], anticuerpo monoclonal *Homo sapiens*;

cadena pesada gamma1 *Homo sapiens* (1-461) [VH (*Homo sapiens* IGHV3-15*01 (96.0%) -(IGHD) - IGHJ4*01 (100%)) CDR-IMGT [8.10.22] (26-33,51-60,99-120) (1-131) -*Homo sapiens* IGHG1*03 G1m3, nG1m1, G1v21 CH2 Y15.1, T16, E18, G1v39 CH2 F1.3, E1.2, S116 (CH1 R120 (228) (132-229), bisagra 1-15 (230-244), CH2 L1.3>F (248), L1.2>E (249), M15.1>Y (266), S16>T (268), T18>E (270), P116>S (345) (245-354), CH3 E12 (370), M14 (372) (355-459), CHS (460-461)) (132-461)], (234-219')-disulfuro con la cadena ligera kappa *Homo sapiens* (1'-219') [V-KAPPA (*Homo sapiens* IGKV4-1*01 (96.0%) - IGKJ4*01 (100%)) CDR-IMGT [12.3.8] (27-38,56-58,95-102) (1'-112') -*Homo sapiens* IGKC*01 (100%) Km3 A45.1 (158), V101 (196) (113'-219')]; dímero (240-240":243-243")-bisdisulfuro, producido en las células ováricas de hámster chino (CHO), forma glicosilada alfa
antiviral

2420563-99-9

Heavy chain / Chaîne lourde / Cadena pesada

```
EVQLVESGGG LVKPGGSLRL SCAASGFTFR DVWMSWVROA PGKGLEWVGR 50
IKSKIDGGTT DYAAPVKGRF TISRDDSKNT LYLQMSLKT EDTAVYYCTT 100
AGSYYYDVTG PGLPEGKFDY WQQGTLTVTS SASTKGPSVF PLAPSSKSTS 150
GGTALGLCLV KDYFPEPVTV SWNSGALTSV VHTFFAVLQS SGLYLSLSSV 200
TVPSSSLGTQ TYICNVNHPF SNTKVDKRVE PKSCDKTHTC PPCPAPEFEG 250
GPSVFLFPPK PKDTLYITRE PEVTCVVVDV SHEDPEVKFN WYVDGVEVHN 300
AKTKPREEQY NSTYRVVSVL TVLHQDWLNG KEYKCKVSNK ALPASIEKTI 350
SKAKGQPREP QVYTLPPSRE EMTKNQVSLT CLVKGFPYPSD IAVEWESNGQ 400
PENNYKTTTP VLDSGDSFPL YSKLTVDKSR WQQGNVFCSS VMHEALHNNHY 450
TQKSLSLSPG K 461
```

Light chain / Chaîne légère / Cadena ligera

```
DIVMTQSPDS LAVSLGERAT INCKSSQSVL YSSNNKNYLA WYQQKPGQPP 50
KLLMYWASTR ESGVPRDFSG SSGSAEFTLT ISSLQAEDVA IYYCQQYYST 100
LTFGGGTKEV IKRTVAAPSV FIFPPSDEQL KSGTASVCL LNNFYPREAK 150
VQWIKVDNALQ SGNQSBSVTE QDSKDYSL SSSLTSLSKAD YEKHKVYACE 200
VTHQGLSSPV TKSFNREGC 219
```

Post-translational modifications

Disulfide bridges location / Position des ponts disulfure / Posiciones de los puentes disulfuro

Intra-H (C23-C104) 22-98 158-214 275-335 381-439
22"-98" 158"-214" 275"-335" 381"-439"

Intra-L (C23-C104) 23"-94" 139"-199"
23"-94"" 139"-199"

Inter-H-L (h 5-CL 126) 234-219" 234"-219"

Inter-H-H (h 11, h 14) 240-240" 243-243"

N-glycosylation sites / Sites de N-glycosylation / Posiciones de N-glicosilación

H CH2 N84.4:

311, 311"

Fucosylated complex bi-antennary CHO-type glycans / glycanes de type CHO bi-antennaires complexes fucosylés / glicanos de tipo CHO biantenarios complejos fucosilados.

C-terminal lysine clipping / Coupure de la lysine C-terminale / Recorte de lisina C-terminal

H CHS K2:

461, 461"

dazcapistatum
dazcapistat

rac-N-[(2R)-4-amino-3,4-dioxo-1-phenylbutan-2-yl]-4-(2-fluorophenyl)-2-methyl-1,3-oxazole-5-carboxamide calpain inhibitor

dazcapistat

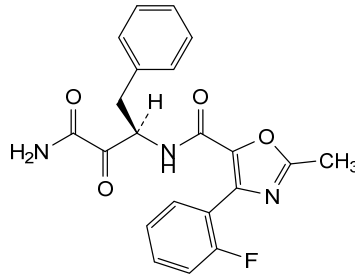
rac-N-[(2R)-4-amino-3,4-dioxo-1-phénylbutan-2-yl]-4-(2-fluorophényl)-2-méthyl-1,3-oxazole-5-carboxamide inhibiteur de la calpaïne

dazcapistat

rac-N-[(2R)-4-amino-3,4-dioxo-1-fenilbutan-2-il]-4-(2-fluorofenil)-2-metil-1,3-oxazol-5-carboxamida inhibidor de la calpaína

C₂₁H₁₈FN₃O₄

2221010-42-8



and enantiomer
et énantiomère
y enantiómero

eclitasertibum

eclitasertib

5-benzyl-*N*-[(3*S*)-5-methyl-4-oxo-2,3,4,5-tetrahydropyrido[3,2-*b*][1,4]oxazepin-3-yl]-1*H*-1,2,4-triazole-3-carboxamide
receptor-interacting serine/ threonine protein (RIP-1) kinase inhibitor

éclitasertib

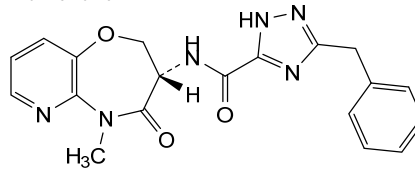
5-benzyl-*N*-[(3*S*)-5-méthyl-4-oxo-2,3,4,5-tétrahydropyrido[3,2-*b*][1,4]oxazépin-3-yl]-1*H*-1,2,4-triazole-3-carboxamide
inhibiteur de la sérine/ thréonine protéine kinase interagissant avec le récepteur (RIPK-1)

eclitasertib

5-bencil-*N*-[(3*S*)-5-metil-4-oxo-2,3,4,5-tetrahidropirido[3,2-*b*][1,4]oxazepin-3-il]-1*H*-1,2,4-triazol-3-carboxamida
inhibidor de la proteína kinase que interactúa con el receptor serina/ treonina (RIPK-1)

C₁₉H₁₈N₆O₃

2125450-76-0



enpatoranum

enpatoran

5-[(3*R*,5*S*)-3-amino-5-(trifluoromethyl)piperidin-1-yl]quinoline-8-carbonitrile
toll-Like receptor antagonist

enpatoran

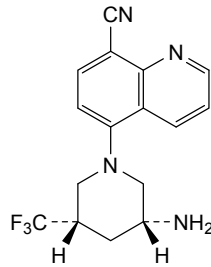
5-[(3*R*,5*S*)-3-amino-5-(trifluorométhyl)pipéridin-1-yl]quinoléine-8-carbonitrile
antagoniste des récepteurs de type toll

enpatorán

5-[(3*R*,5*S*)-3-amino-5-(trifluorometil)piperidin-1-il]quinoleína-8-carbonitrilo
antagonista del receptor tipo toll

C₁₆H₁₅F₃N₄

2101938-42-3



etesevimabum #
etesevimab

immunoglobulin G1-kappa, anti-[*Homo sapiens* severe acute respiratory syndrome coronavirus 2 (SARS-CoV-2) spike (S) protein, receptor binding domain (RBD)], *Homo sapiens* monoclonal antibody;
gamma1 heavy chain *Homo sapiens* (1-449) [VH (*Homo sapiens* IGHV3-66*01 (96.9%) -(IGHD) -IGHJ4*01 (100%)) CDR-IMGT [8.7.13] (26-33.51-57.96-108) (1-119) -*Homo sapiens* IGHG1*03 G1m3, nG1m1, G1v14 A1.3, A1.2 (CH1 R120 (216) (120-217), hinge 1-15 (218-232), CH2 L1.3>A (236), L1.2>A (237), (233-342), CH3 E12 (358), M14 (360) (343-447), CHS (448-449)) (120-449)], (222-216')-disulfide with kappa light chain *Homo sapiens* (1'-216') [V-KAPPA (*Homo sapiens* IGKV1-39*01 (97.9%) -IGKJ2*01 (100%)) CDR-IMGT [6.3.11] (27-32.50-52.89-99) (1'-109') -*Homo sapiens* IGKC*01 (100%) Km3 A45.1 (155), V101 (193) (110'-216')]; dimer (228-228":231-231")-bisdisulfide, produced in a Chinese hamster ovary (CHO) cell line derived from CHO-K1SV, lacking the glutamine synthetase (GS) gene, glycoform alfa
antiviral

étésévimab

immunoglobuline G1-kappa anti-[*Homo sapiens* protéine spike (S) du coronavirus 2 du syndrome respiratoire aigu sévère (SARS-CoV-2), domaine de liaison au récepteur (RBD)], anticorps monoclonal *Homo sapiens*;
chaîne lourde gamma1 *Homo sapiens* (1-449) [VH (*Homo sapiens* IGHV3-66*01 (96.9%) -(IGHD) -IGHJ4*01 (100%)) CDR-IMGT [8.7.13] (26-33.51-57.96-108) (1-119) -*Homo sapiens* IGHG1*03 G1m3, nG1m1, G1v14 A1.3, A1.2 (CH1 R120 (216) (120-217), charnière 1-15 (218-232), CH2 L1.3>A (236), L1.2>A (237), (233-342), CH3 E12 (358), M14 (360) (343-447), CHS (448-449)) (120-449)], (222-216')-disulfure avec la chaîne légère kappa *Homo sapiens* (1'-216') [V-KAPPA (*Homo sapiens* IGKV1-39*01 (97.9%) -IGKJ2*01 (100%)) CDR-IMGT [6.3.11] (27-32.50-52.89-99) (1'-109') -*Homo sapiens* IGKC*01 (100%) Km3 A45.1 (155), V101 (193) (110'-216')]; dimère (228-228":231-231")-bisdisulfure, produit dans des cellules ovariennes de hamster chinois (CHO) dérivant de la lignée cellulaire CHO-K1SV, ne présentant pas le gène de la glutamine synthétase, glycoforme alfa
antiviral

etesevimab

inmunoglobulina G1-kappa anti-[*Homo sapiens* proteína espícula (S) del coronavirus 2 del síndrome respiratorio agudo severo (SRAS-CoV-2), dominio de unión al receptor (RBD)], anticuerpo monoclonal *Homo sapiens*;
 cadena pesada gamma1 *Homo sapiens* (1-449) [VH (*Homo sapiens* IGHV3-66*01 (96.9%) -(IGHD) -IGHJ4*01 (100%)) CDR-IMGT [8.7.13] (26-33.51-57.96-108) (1-119) -*Homo sapiens* IGHG1*03 G1m3, nG1m1, G1v14 A1.3, A1.2 (CH1 R120 (216) (120-217), bisagra 1-15 (218-232), CH2 L1.3>A (236), L1.2>A (237), (233-342), CH3 E12 (358), M14 (360) (343-447), CHS (448-449)) (120-449)], (222-216')-disulfuro con la cadena ligera kappa *Homo sapiens* (1'-216') [V-KAPPA (*Homo sapiens* IGKV1-39*01 (99.9%) -IGKJ2*01 (100%)) CDR-IMGT [6.3.11] (27-32.50-52.89-97) (1'-109') -*Homo sapiens* IGKC*01 (100%) Km3 A45.1 (155), V101 (193) (110'-216')]; dímero (228-228":231-231")-bisdisulfuro, producido en las células ováricas de hámster chino (CHO) línea celular derivada de CHO-K1SV, en ausencia del gen Glutamina Sintetasa (GS), forma glicosilada alfa
antiviral

2423948-94-9

Heavy chain / Chaîne lourde / Cadena pesada
 EVQLVESGGG LVQPGGSLRL SCAASGFTVS SNYMSWVRQA PGKGLEWVSV 50
 IYSGGSSTFYA DSVKGRFTIS RDNISMNLFQ QMNSLRAEDT AVYYCARVLP 100
 MYGDYLDYWG QGTLVTVSSA STKGPSVFPL APSSKSTSGG TAALGCLVKD 150
 YFPEFVTVSW NSGALTSQVH TFFPAVLQSSG LYSLSVTVV PSSLGTQTY 200
 ICNVNHFPSN TKVDRKVEPK SCDKTHTCP CPAPAEAAGGP SVFLFPPKPK 250
 DTLMSRTPV VTCVVVDVSH EDPEVKFNWY VDGVEVHNAK TKPREQYNS 300
 TYRIVSVLTV LHQDVLNGKE YKCKVSNKAL PAPIEKTISK AKGQPREPQV 350
 YTLPPSREEM TKNQVSLTCL VKGFPYSDIA VEWESNGQPE NNYKTTTPVVL 400
 DSDGSFFFLYS KLTVDKSRWQ QGNVFSCSVN HEALHNYHQ KSLSLSPGK 449

Light chain / Chaîne légère / Cadena ligera
 DIVMTQSPSS LSASVGDRTV ITCRASQGIS RYLNWYQKPK GKAPKLLIYA 50
 ASSLQSGVPS RFGSGSGGTD FTLTISLQPF EDFATYYCQQ SYSTPPEYTF 100
 QGQTKLEIKR TVAAPSVPFIF PPSDEQLKSG TASVCLLN FYPREAKVQW 150
 KVDNALQSGN SQESVTEQDS KDSYSLSSST LTLSKADYEK HKVYACEVTH 200
 QGLSSPVTKS FNRGEC 216

Post-translational modifications
 Disulfide bridges location / Position des ponts disulfure / Posiciones de los puentes disulfuro
 Intra-H (C23-C104) 22-95 146-202 263-323 369-427
 22"-95" 146"-202" 263"-323" 369"-427"
 Intra-L (C23-C104) 23"-88" 136"-196"
 23"-88" 136"-196"
 Inter-H-L (h 5-CL 126) 222-216" 222"-216"
 Inter-H-H (h 11, h 14) 228-228" 231-231"

N-glycosylation sites / Sites de N-glycosylation / Posiciones de N-glicosilación
 H CH2 N84.4:
 299, 299"
 Fucosylated complex bi-antennary CHO-type glycans / glycanes de type CHO bi-antennaires complexes fucosylés / glicanos de tipo CHO biantenarios complejos fucosilados.

C-terminal lysine clipping / Coupure de la lysine C-terminale / Recorte de lisina C-terminal
 H CHS K2:
 449, 449"

ganulameranum #
 ganulameran

messenger RNA (mRNA), 5'-capped, encoding the codon-optimised receptor binding domain (RBD) of the SARS-CoV-2 (severe acute respiratory syndrome coronavirus 2, GenBank: MN908947.3) spike (S) glycoprotein expressed as a fusion protein, 5' with an extended S glycoprotein signal peptide, and 3' with a T4 fibrin trimerization domain and the S glycoprotein transmembrane domain (TM) connected by two glycine/serine-rich (GS) linker peptides, flanked by 5' and 3' untranslated regions and a 3' poly(A) tail; contains N1-methylpseudouridine instead of uridine (all-U>m¹Ψ).
immunological agent for active immunization (anti-SARS-CoV-2)

ganulaméran

ARN messenger (ARNm), protégé en 5', codant pour le domaine de liaison au récepteur (RBD) de la glycoprotéine spike (S) du SARS-CoV-2 (coronavirus 2 du syndrome respiratoire aigu sévère, GenBank: MN908947.3) avec des codons optimisés, exprimés sous forme de protéine de fusion, 5' avec un peptide signal de la glycoprotéine S allongé et 3' avec un domaine de trimérisation de la fibratine de T4 et le domaine transmembranaire (TM) de la glycoprotéine S, liés au moyen de deux peptides de liaison (linker) riches en glycine / sérine (GS), flanqués de régions 5' et 3' non traduites et d'une queue poly(A); contient de la N1-méthylpseudouridine au lieu de l'uridine (*tout-U>m¹Ψ*). *agent immunologique d'immunisation active (anti-SARS-CoV-2)*

ganulamérán

RNA mensajero (mRNA), protegido en 5', que codifica para el dominio de unión al receptor (RBD) de la glicoproteína de la espícula (S) de SRAS-CoV-2 (coronavirus 2 del síndrome respiratorio agudo severo, GenBank: MN908947.3) con codones optimizados, expresado como una proteína de fusión, en 5' con un péptido señal de glicoproteína S extendido y en 3' con un dominio fibratina de trimerización de T4 y el dominio transmembrana (TM) de la glicoproteína S, conectado mediante dos péptidos enlazadores (linker) ricos en glicina/serina (GS), flanqueado por regiones 5' y 3' no traducidas y una cola poly(A); contiene N1-metilpseudouridina en lugar de uridina (*all-U>m¹Ψ*). *agente inmunológico para inmunización activa (anti-SRAS-CoV-2)*

2433844-55-2

goflikiceptum #
goflikicept

human interleukin-1 receptor accessory protein fragment (21-358, 1-338 in the current sequence) fused via peptidyl linker³³⁹GSGGG³⁴³ to a human immunoglobulin G1 Fc fragment (344-570, C-terminal Lys clipped) variant (S>C⁴⁷⁷, T>W⁴⁸⁹, K>A⁵³²), covalent dimer with human interleukin-1 receptor type 1 fragment (21-333, 1-313 in the current sequence) fused via peptidyl linker³¹⁴GSGG³¹⁸ to a human immunoglobulin G1 Fc fragment (319-545, C-terminal Lys clipped) variant (Y>C⁴⁴⁷, T>S⁴⁶⁴, L>A⁴⁶⁶, F>K⁵⁰³, Y>V⁵⁰⁵), glycosylated, produced in Chinese hamster ovary (CHO) cells;
fusion protein comprising the (1-338)-fragment of the human interleukin 1 receptor accessory protein (IL1RAP, IL-1RACp, interleukin-1 receptor 3, IL1R3), a GSGGG linker (339-343), and the (S>C⁴⁷⁷, T>W⁴⁸⁹, K>A⁵³²) variant of the C-terminal 227-peptide (Fc fragment) of human immunoglobulin G1 (344-570), (349-324':352-327':477-447')-trisdissulfide with a fusion protein comprising the (21-333)-fragment of the precursor of human interleukin 1 receptor type 1 (IL1R1, IL1Rα, IL1R type I, p80, CD121a) (1-313), a GSGGG linker (314-318), and the (Y>C⁴⁴⁷, T>S⁴⁶⁴, L>A⁴⁶⁶, F>K⁵⁰³, Y>V⁵⁰⁵) variant of the C-terminal 227-peptide (Fc fragment) of human immunoglobulin G1 (319-545), produced in Chinese hamster ovary (CHO) cells, glycoform alfa
immunomodulator

goflikicept

fragment de la protéine accessoire du récepteur de l'interleukine 1 humaine (21-358, 1-338 dans la séquence actuelle) fusionné via un peptide liant ³³⁹GSGGG³⁴³ au fragment Fc de l'immunoglobuline humaine G1 (344-570, C-terminal attaché Lys) variant (S>C⁴⁷⁷, T>W⁴⁸⁹, K>A⁵³²), dimère covalent avec fragment de récepteur de l'interleukine-1 humaine de type 1 (21-333, 1-313 dans la séquence actuelle) fusionné via un peptide liant ³¹⁴GSGG³¹⁸ à un fragment Fc d'immunoglobuline humaine G1 (319-545, attaché au variant C-terminal Lys) (Y>C⁴⁴⁷, T>S⁴⁶⁴, L>A⁴⁶⁶, F>K⁵⁰³, Y>V⁵⁰⁵), glycosylé, produit dans des cellules ovariennes de hamster chinois (CHO) ;

une protéine de fusion comprenant le fragment (1-338) de la protéine accessoire du récepteur de l'interleukine 1 humaine (IL1RAP, IL-1RAcP, récepteur 3 de l'interleukine-1, IL1R3), un linker GSGGG (339-343), et le variant (S>C⁴⁷⁷, T>W⁴⁸⁹, K>A⁵³²) du peptide C-terminal-227 (fragment Fc) de l'immunoglobuline humaine G1 (344-570), (349-324': 352-327': 477-447')-trisdifure avec une protéine de fusion comprenant le fragment- (21-333) du précurseur du récepteur de l'interleukine humaine de type 1 (IL1R1, IL1R α , IL1R type I, p80, CD121a) (1-313), une liaison GSGGG (314-318) et le variant (Y>C⁴⁴⁷, T>S⁴⁶⁴, L>A⁴⁶⁶, F>K⁵⁰³, Y>V⁵⁰⁵) du peptide C-terminal-227 (fragment Fc) de l'immunoglobuline humaine G1 (319-545), produit dans des cellules ovariennes de hamster chinois (CHO), glycoforme alfa

immunomodulateur

goflikicept

receptor de la interleukina-1 humana fragmento de la proteína complemento (21-358, 1-338 en la secuencia actual) fusionado a través de un enlace peptidil ³³⁹GSGGG³⁴³ a la inmunoglobulina humana G1 Fc fragmento (344-570, fijado al C-terminal Lis) variante (S>C⁴⁷⁷, T>W⁴⁸⁹, K>A⁵³²), dímero covalente con receptor de interleukina-1 humana fragmento tipo 1 (21-333, 1-313 en la secuencia actual) fusionado a través del enlace peptidil ³¹⁴GSGG³¹⁸ a una inmunoglobulina humana G1 Fc fragmento (319-545, fijado al C-terminal Lis) variante (Y>C⁴⁴⁷, T>S⁴⁶⁴, L>A⁴⁶⁶, F>K⁵⁰³, Y>V⁵⁰⁵), glicosilado, producido en células ováricas de hámster Chino (CHO).

una proteína de fusión que comprende el fragmento- (1-338) del receptor humano de la interleukina 1 proteína accesorio (IL1RAP, IL-1RAcP, interleukina-1 receptor 3, IL1R3), un enlace GSGGG (339-343), y la variante (S>C⁴⁷⁷, T>W⁴⁸⁹, K>A⁵³²) del terminal-C péptido-227 (Fc fragmento) de la inmunoglobulina humana G1 (344-570), (349-324':352-327':477-447')-trisdifuro con una proteína de fusión que comprende el fragmento-(21-333) del precursor del receptor tipo 1 de la interleukina humana (IL1R1, IL1R α , IL1R tipo I, p80, CD121a) (1-313), un enlace GSGGG (314-318), y la (Y>C⁴⁴⁷, T>S⁴⁶⁴, L>A⁴⁶⁶, F>K⁵⁰³, Y>V⁵⁰⁵) variante del terminal-C péptido-227 (Fc fragmento) de inmunoglobulina humana G1 (319-545), producido en células ováricas de hámster Chino (CHO), glicofoma alfa

immunomodulador

2416984-26-2

Sequence / Séquence / Secuencia

IL1RAP-GSG₃-Fc
 SERCDDWGLD TMRQIQVFED EPARIKCPFL EHFLEKFNYSY AHSAGLTLIW 50
 YWTRQDRDLE EPINFRLPEN RISKEKDVLM FRPTLLNDITG NYTCMLRNTT 100
 YCSKVAFPLE VVQKDSFCNS PMKLPVHKLY IEYGIQRITC PNVDGYFPSS 150
 VKPTITWYMG CYKIQNFNNV IPEGMNLISFL IALISNNGNY TCVVTPENG 200
 RTFHLTRTLT KVVVGSFKNA VPPVIHSPND HVVYEKEPGE ELLLPCTVYF 250
 SFLMDSRNEV WWTIDGKKPD DITIDVTINE SISHSRTEDE TRTQILSIKK 300
 VTSEDLKRSY VCHARSAKGE VAKAAKVQKQ VPAPRYTVGS **GGG**DKHTTCP 350
 PCPAPELLGG PSVFLFPPKP KDTLMISRTP EVTCVVVDVS HEDPEVKFNW 400
 YVDGVEVHNA KTKPREEQYN STYRVVSVLT VLHQDWLNGK EYKCKVSNKA 450
 LPAPIEKTIK KAKGQPREPQ VYTLPPCRDE LTKNQVSLV**WC** LVKGFYPSDI 500
 AVEWESNGQP ENNYKTTTPV LDDSDGSFFLY **SA**LTVDKSRW QQGNVFSQSV 550
 MHEALHNHYT QKSLSLSPGK 570

IL1R1-GSG₃-Fc
 DKCKEREEKI ILVSSANEID VRPCPLNPNE HGTITWYKD DSKTPVSTEQ 50
 ASRIHQHKEK LWFVPAKVED SGHYCYVVRN SSYCLRILKIS AKFVENEPNL 100
 CYNAQAIFKQ KLPVAGDGLL VCPYMEFFKN ENNELPKLQW YKDCPKLLLD 150
 NIHFSGVKDR LIVMVAEKKR RGNMTCCHASY TYLQKQYPTI RVIEPTILEE 200
 NKPTRPVIVS PANETMEVDL GSQIQLICNV TGQLSDIAYW KMWGVIDED 250
 DPVLGEDIYS VENPANKRRS TLITVLNISE IESRFYKHPF TCFPAKNTGI 300
 DAAYIQLIYV VT**NGSGGG**DK THTCPPCPAP ELLGGPSVFL FPPKPKDTLM 350
 ISRTPEVTCV VVDVSHEDPE VKFNWYVDGV EVHNAKTKPR EEQYNSTYRV 400
 VSVLTVLHQD WLNKGKEYCK VSNKALPAPI EKTISKAKGQ PREPQ**Q**CTLP 450
 PSRDELTKNQ VSL**LGCA**VKGF YPSDIAVEWE SNGQPENNYK TTPPVLDSDG 500
 SFL**KL**VSKLTV DKSRWQQGNV FSCSVMEAL HNHYTQKSLK LSPGK 545

Mutations / Mutations / Mutaciones

S⁴⁷⁷>C, T⁴⁸⁹>V, K⁵³²>A
 Y⁴⁴⁷>C, T⁴⁶⁴>S, L⁴⁶⁶>A, F⁵⁰³>K, Y⁵⁰⁵>Y

Post-translational modifications

Disulfide bridges location / Position des ponts disulfure / Posiciones de los puentes disulfuro

Inter-chain: 349-324' 352-327' 477-447'

Intra-chain IL1RAP-GSG3-Fc : 4-102 27-94 117-161 140-192 246-312 384-444 490-548

Intra-chain IL1R1-GSG3-Fc : 3'-84' 24'-76' 101'-144' 122'-176' 228'-292' 359'-419' 465'-523'

Glycosylation sites / Sites de glycosylation / Posiciones de glicosilación

N37, N87, N91, N98, N176, N189, N279, N420;

N80', N173', N213', N229', N243', N277', N313', N395'

Other modifications: K570, K545' clipped

imdevimabum #

imdevimab

immunoglobulin G1-lambda, anti-[*Homo sapiens* severe acute respiratory syndrome coronavirus 2 (SARS-CoV-2) spike (S) protein, receptor binding domain (RBD)], *Homo sapiens* monoclonal antibody;

gamma1 heavy chain *Homo sapiens* (1-450) [VH (*Homo sapiens* IGHV3-30*01 (96.9%) -(IGHD) -IGHJ4*01 (100%)) CDR-IMGT [8.8.13] (26-33.51-58.97-109) (1-120) -*Homo sapiens* IGHG1*01 (100%) G1m17.1 (CH1 K120 (217) (121-218), hinge 1-15 (219-233), CH2 (234-343), CH3 D12 (359), L14 (361) (344-448), CHS (449-450)) (121-450)], (223-215')-disulfide with lambda light chain *Homo sapiens* (1'-216') [V-LAMBDA (*Homo sapiens* IGLV2-14*01 (93.9%) -IGLJ3*02 (100%)) CDR-IMGT [9.3.10] (26-34.52-54.91-100) (1'-110') -*Homo sapiens* IGLC2*01 (100%) (111'-216')]; dimer (229-229":232-232")-bisdisulfide, produced in Chinese hamster ovary (CHO) cells, glycoform alfa *antiviral*

imdevimab

immunoglobuline G1-lambda anti-[*Homo sapiens* protéine spike (S) du coronavirus 2 du syndrome respiratoire aigu sévère (SARS-CoV-2), domaine de liaison au récepteur (RBD)], anticorps monoclonal *Homo sapiens*;

imdevimab

chaîne lourde gamma1 *Homo sapiens* (1-450) [VH (*Homo sapiens* IGHV3-30*01 (96.9%) -(IGHD) -IGHJ4*01 (100%)) CDR-IMGT [8.8.13] (26-33.51-58.97-109) (1-120) -*Homo sapiens* IGHG1*01 (100%) G1m17,1 (CH1 K120 (217) (121-218), charnière 1-15 (219-233), CH2 (234-343), CH3 D12 (359), L14 (361) (344-448), CHS (449-450)) (121-450)], (223-215')-disulfure avec la chaîne légère lambda *Homo sapiens* (1'-216') [V-LAMBDA (*Homo sapiens* IGLV2-14*01 (93.9%) -IGLJ3*02 (100%)) CDR-IMGT [9.3.10] (26-34.52-54.91-100) (1'-110') -*Homo sapiens* IGLC2*01 (100%) (111'-216')]; dimère (229-229":232-232")-bisdisulfure, produit dans des cellules ovariennes de hamster chinois (CHO), glycoforme alfa *antiviral*

inmunoglobulina G1-lambda anti-[*Homo sapiens* proteína espícula (S) del coronavirus 2 del síndrome respiratorio agudo severo (SRAS-CoV-2), dominio de unión al receptor (RBD)], anticuerpo monoclonal *Homo sapiens*;
cadena pesada gamma1 *Homo sapiens* (1-450) [VH (*Homo sapiens* IGHV3-30*01 (96.9%) -(IGHD) -IGHJ4*01 (100%)) CDR-IMGT [8.8.13] (26-33.51-58.97-109) (1-120) -*Homo sapiens* IGHG1*01 (100%) G1m17,1 (CH1 K120 (217) (121-218), bisagra 1-15 (219-233), CH2 (234-343), CH3 D12 (359), L14 (361) (344-448), CHS (449-450)) (121-450)], (223-215')-disulfuro con la cadena ligera lambda *Homo sapiens* (1'-216') [V-LAMBDA (*Homo sapiens* IGLV2-14*01 (93.9%) -IGLJ3*02 (100%)) CDR-IMGT [9.3.10] (26-34.52-54.91-100) (1'-110') -*Homo sapiens* IGLC2*01 (100%) (111'-216')]; dímero (229-229":232-232")-bisdisulfuro, producido en las células ováricas de hámster chino (CHO), forma glicosilada alfa *antiviral*

2415933-40-1

Heavy chain / Chaîne lourde / Cadena pesada

QVQLVESGGG VVQPGRSLRL SCAASGFTFS NYAMYVWRQA PGKGLEWVAV 50
 ISYDGSNKYY ADSVKGRFTI SRDNSKNTLY LQMNSLRTE TAVVYCASGS 100
 DYGDYLLVYV QGGTLVTVSS ASTKGPVSVFP LAPSSKSTSG GTAALGLVK 150
 DYFPEFVTVS WNSGALTSVGF HTFPAVLQSS GLYSLSVVT VPSSSLGTQT 200
 YICNVNHKPS NTKVDKKEVEP KSCDKTHTCP PCPAPPELLGG PSVFLFPKPK 250
 KDTLMI SRTP EVCVVDVVS HEDPEVKFNW YVDGVEVHNA KTKPREEQYN 300
 STYRVVSVLT VLNKQDNLNGK EYKCKVSNKA LPAPIEKTIS KAKGQPREPQ 350
 VYTLPPSRDE LTKNQVSLTCLVKGFYPSDI AVEWESNGQP ENNYKTPPV 400
 LDDSGSFPLY SKLTVDKSRW QQGNVFSQSV MHEALHNHYT QKSLSLSPGK 450

Light chain / Chaîne légère / Cadena ligera

QSALTQPASV SPSFGQSITI SCTGTSSDVG GYNYVSWYQQ HPGKAPKLM 50
 YDVKRPSGV SNRFGSKSG NTASLTISGL QSEDEADYIC NSLTSISTWV 100
 FGGGKLTIVL GQPKAAPSVT LFPSSSEELQ ANKATLVCL I SDFYPGAVTV 150
 AWKADSSPVK AGVETTPPSK QSNNKYAASS YLSLTPEQWK SHRSYSCQVT 200
 HEGSTVEKTV APTECS 216

Post-translational modifications

Disulfide bridges location / Position des ponts disulfure / Posiciones de los puentes disulfuro

Intra-H (C23-C104) 22-96 147-203 264-324 370-428
 22"-96" 147"-203" 264"-324" 370"-428"
 Intra-L (C23-C104) 22'-90' 138'-197'
 22"'-90"' 138'"-197'"
 Inter-H-L (h 5-CL 126) 223-215' 223"-215"
 Inter-H-H (h 11, h 14) 229-229" 232-232"

N-terminal glutamine cyclization to pyroglutamy (pE, 5-oxoprolyl)

H VH Q1:
 I, I"
 L VL Q1:
 I', I'"

N-glycosylation sites / Sites de N-glycosylation / Posiciones de N-glicosilación

H CH2 N84.4:

300, 300"

Fucosylated complex bi-antennary CHO-type glycans / glycanes de type CHO bi-antennaires complexes fucosylés / glicanos de tipo CHO biantenarijos complejos fucosilados.

C-terminal lysine clipping / Coupeure de la lysine C-terminale / Recorte de lisina C-terminal

H CHS K2:
 450, 450"

molnupiravirum

molnupiravir

*N*⁴-hydroxycytidine 5'-(2-methylpropanoate)
antiviral

molnupiravir

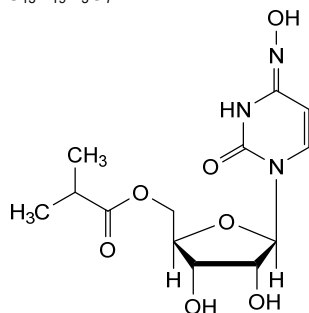
5'-(2-méthylpropanoate) de *N*⁴-hydroxycytidine
antiviral

molnupiravir

5'-(2-metilpropanoato) de *N*⁴-hidroxicitidina
antiviral

C₁₃H₁₉N₃O₇

2349386-89-4



nezulcitinibum

nezulcitinib

[3-(dimethylamino)azetid-1-yl]{{(6*S*)-2-[6-(2-ethyl-4-hydroxyphenyl)-1*H*-indazol-3-yl]-5-(propan-2-yl)-4,5,6,7-tetrahydro-1*H*-imidazo[4,5-*c*]pyridin-6-yl}methanone
Janus kinase inhibitor

nézulcitinib

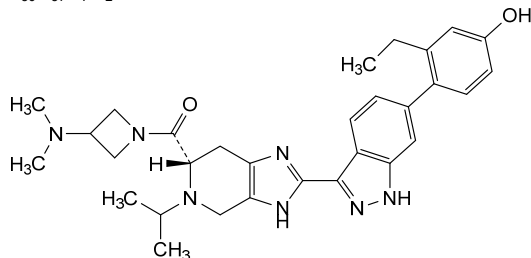
[3-(diméthylamino)azétidin-1-yl]{{(6*S*)-2-[6-(2-éthyl-4-hydroxyphényl)-1*H*-indazol-3-yl]-5-(propan-2-yl)-4,5,6,7-tétrahydro-1*H*-imidazo[4,5-*c*]pyridin-6-yl}méthanone
inhibiteur de la kinase de Janus

nezulcitinib

[3-(dimetilamino)azetid-1-il]{{(6*S*)-2-[6-(2-etil-4-hidroksifenil)-1*H*-indazol-3-il]-5-(propan-2-il)-4,5,6,7-tetrahidro-1*H*-imidazo[4,5-*c*]piridin-6-il}metanona
inhibidor de la kinasa de Janus

C₃₀H₃₇N₇O₂

2412496-23-0



pemziviptadilum #

pemziviptadil

human L-methionyl vasoactive intestinal peptide (2-29) fused to 121 repeats of different elastin-derived pentapeptides (VPGVG, VPGGG, VPGAG, VPGWP) (30-634), produced in *Escherichia coli*;

fusion protein comprising L-methionyl (1)-vasoactive intestinal polypeptide (human VIP) (2-29) and an elastin-like artificial polymer (30-629) of 120 alternating pentapeptides of three types VPGVG, VPGGG, and VPGAG, and a C-terminal pentapeptide VPGWP (630-634), produced in *Escherichia coli* vasoactive intestinal peptide (VIP) analogue

pezviviptadil

L-méthionyl peptide vasoactif intestinal humain (2-29) fusionné à 121 répétitions de différents pentapeptides dérivés de l'élastine (VPGVG, VPGGG, VPGAG, VPGWP) (30-634), produits dans *Escherichia coli* ; protéine de fusion comprenant le polypeptide intestinal vasoactif L-méthionyl (1) (VIP humain) (2-29) et un polymère artificiel de type élastine (30-629) de 120 pentapeptides alternés de trois types VPGVG, VPGGG et VPGAG, et un pentapeptide C-terminal VPGWP (630-634), produit dans *Escherichia coli* analogue du peptide vasoactif intestinal (PVI)

pezviviptadil

péptido humano L-metionil vasoactivo intestinal (2-29) fusionado a 121 repeticiones de pentapéptidos derivados de elastina diferentes (VPGVG, VPGGG, VPGAG, VPGWP) (30-634), producido en *Escherichia coli*; proteína de fusión que comprende polipéptido intestinal vasoactivo L-metionil (1) (humano VIP) (2-29) y un polímero artificial parecido a la elastina (30-629) de 120 pentapéptidos alternos de tres tipos VPGVG, VPGGG, y VPGAG, y un pentapéptido C-terminal VPGWP (630-634), producido en *Escherichia coli* análogo del péptido intestinal vasoactivo (PIV)

1265655-87-5

Sequence / Séquence / Secuencia

MHSDAVFTDN	YTRLRKQMAV	KKYLNSILNV	PVGVPVGV	PGGVPGAGV	50
PVGVPVGV	PVGVPGGV	PGAGVGGV	PVGVPVGV	PGGVPGAGV	100
PVGVPVGV	PVGVPGGV	PGAGVGGV	PVGVPVGV	PGGVPGAGV	150
PVGVPVGV	PVGVPGGV	PGAGVGGV	PVGVPVGV	PGGVPGAGV	200
PVGVPVGV	PVGVPGGV	PGAGVGGV	PVGVPVGV	PGGVPGAGV	250
PVGVPVGV	PVGVPGGV	PGAGVGGV	PVGVPVGV	PGGVPGAGV	300
PVGVPVGV	PVGVPGGV	PGAGVGGV	PVGVPVGV	PGGVPGAGV	350
PVGVPVGV	PVGVPGGV	PGAGVGGV	PVGVPVGV	PGGVPGAGV	400
PVGVPVGV	PVGVPGGV	PGAGVGGV	PVGVPVGV	PGGVPGAGV	450
PVGVPVGV	PVGVPGGV	PGAGVGGV	PVGVPVGV	PGGVPGAGV	500
PVGVPVGV	PVGVPGGV	PGAGVGGV	PVGVPVGV	PGGVPGAGV	550
PVGVPVGV	PVGVPGGV	PGAGVGGV	PVGVPVGV	PGGVPGAGV	600
PVGVPVGV	PVGVPGGV	PGAGVGGV	PVGP		634

positions 30-634: 12 × pattern AABCAAABC of 10 pentapeptides of three types A = VPGVG, B = VPGGG, and C = VPGAG plus a C-terminal pentapeptide VPGWP

pidacmeranum #
pidacmeran

self-replicating messenger RNA (mRNA), 5'-capped, encoding *Venezuelan equine encephalitis virus* (VEEV) RNA-dependent RNA polymerase (VEEV proteins nsP1, nsP2, nsP3 and nsP4) and a full-length codon-optimised pre-fusion stabilised conformation variant (K986P and V987P) of the SARS-CoV-2 (severe acute respiratory syndrome coronavirus 2, GenBank: MN908947.3) spike (S) glycoprotein, flanked by 5' and 3' untranslated regions and a 3' poly(A) tail; replication of the RNA is under control of a VEEV subgenomic promoter. immunological agent for active immunization (anti-SARS-CoV-2)

pidacméran	ARN messenger (ARNm) auto-répliquant, protégé en 5', codant pour l'ARN polymérase ARN-dépendante du virus de l'encéphalite équine vénézuélienne (protéines VEEV nsP1, nsP2, nsP3 et nsP4) et une variante complète de pré-fusion de conformation stabilisée (K986P et V987P) de la glycoprotéine spike (S) du SARS-CoV-2 (coronavirus 2 du syndrome respiratoire aigu sévère, GenBank: MN908947.3) avec des codons optimisés, flanqués de régions 5' et 3' non traduites une queue poly(A) 3'; la réplication de l'ARN est sous le contrôle du promoteur sous-génomique de VEEV. <i>agent immunologique d'immunisation active (anti-SARS-CoV-2)</i>
pidacmerán	RNA mensajero auto replicativo (mRNA), protegido en 5', que codifica para la RNA polimerasa dependiente de RNA del virus de la encefalitis equina venezolana (proteínas VEEV nsP1, nsP2, nsP3 y nsP4) y una variante pre-fusión completa de conformación estabilizada (K986P and V987P) de la glicoproteína de la espícula (S) del SRAS-CoV-2 (coronavirus 2 del síndrome respiratorio agudo severo, GenBank: MN908947.3) con codones optimizados, flanqueada por regiones 5' y 3' no traducidas y una cola poly(A) en 3'; la replicación del ARN está bajo el control del promotor subgenómico de VEEV. <i>agente inmunológico para inmunización activa (anti-SRAS-CoV-2)</i>
regdanvimabum # regdanvimab	immunoglobulin G1-lambda, anti-[<i>Homo sapiens</i> severe acute respiratory syndrome coronavirus 2 (SARS-CoV-2) spike (S) protein, receptor binding domain (RBD)], humanized and <i>Homo sapiens</i> monoclonal antibody; gamma1 heavy chain humanized (1-458) [VH (<i>Homo sapiens</i> IGHV2-70*12 (92.9%) -(IGHD) - IGHJ6*01 (100%)) CDR-IMGT [10.7.20] (26-35.53-59.98-117) (1-128) - <i>Homo sapiens</i> IGHG1*08p (100%) G1m3,1 (CH1 R120 (225) (129-226), hinge 1-15 (227-241), CH2 (242-351), CH3 D12 (367), L14 (369) (352-456), CHS (457-458)) (129-458)], (231-215')-disulfide with lambda light chain <i>Homo sapiens</i> (1'-216') [V-LAMBDA (<i>Homo sapiens</i> IGLV1-51*01 (100%) - IGLJ2*01 (90.9%) K123>E (106)) CDR-IMGT [8.3.11] (26-33.51-53.90-100) (1'-110') - <i>Homo sapiens</i> IGLC2*01 (98.1%) S45>G (156), T82>K (167) (111'-216')]; dimer (237-237":240-240")-bisdisulfide, produced in a Chinese hamster ovary (CHO) cell line derived from CHO-K1, glycoform alfa <i>antiviral</i>
regdanvimab	immunoglobuline G1-lambda anti-[<i>Homo sapiens</i> protéine spike (S) du coronavirus 2 du syndrome respiratoire aigu sévère (SARS-CoV-2), domaine de liaison au récepteur (RBD)], anticorps monoclonal humanisé et <i>Homo sapiens</i> ;

2417904-10-8

chaîne lourde gamma1 humanisée (1-458) [VH (*Homo sapiens* IGHV2-70*12 (92.9%) -(IGHD) -IGHJ6*01 (100%)) CDR-IMGT [10.7.20] (26-35.53-59.98-117) (1-128) -*Homo sapiens* IGHG1*08p (100%) G1m3,1 (CH1 R120 (225) (129-226), charnière 1-15 (227-241), CH2 (242-351), CH3 D12 (367), L14 (369) (352-456), CHS (457-458)) (129-458)], (231-215')-disulfure avec la chaîne légère lambda *Homo sapiens* (1'-216') [V-LAMBDA (*Homo sapiens* IGLV1-51*01 (100%) -IGLJ2*01 (90.9%) K123>E (106)) CDR-IMGT [8.3.11] (26-33.51-53.90-100) (1'-110') -*Homo sapiens* IGLC2*01 (98.1%) S45>G (156), T82>K (167) (111'-216')]; dimère (237-237":240-240")-bisdisulfure, produit dans des cellules ovariennes de hamster chinois (CHO) dérivant de la lignée cellulaire CHO-K1, glycoforme alfa
antiviral

regdanvimab

inmunoglobulina G1-lambda anti-[*Homo sapiens* proteína espícula (S) del coronavirus 2 del síndrome respiratorio agudo severo (SRAS-CoV-2), dominio de unión al receptor (RBD)], anticuerpo monoclonal humanizado y *Homo sapiens*;
cadena pesada gamma1 humanizada (1-458) [VH (*Homo sapiens* IGHV2-70*12 (92.9%) -(IGHD) -IGHJ6*01 (100%)) CDR-IMGT [10.7.20] (26-35.53-59.98-117) (1-128) -*Homo sapiens* IGHG1*08p (100%) G1m3,1 (CH1 R120 (225) (129-226), bisagra 1-15 (227-241), CH2 (242-351), CH3 D12 (367), L14 (369) (352-456), CHS (457-458)) (129-458)], (231-215')-disulfuro con la cadena ligera lambda *Homo sapiens* (1'-216') [V-LAMBDA (*Homo sapiens* IGLV1-51*01 (100%) -IGLJ2*01 (90.9%) K123>E (106)) CDR-IMGT [8.3.11] (26-33.51-53.90-100) (1'-110') -*Homo sapiens* IGLC2*01 (98.1%) S45>G (156), T82>K (167) (111'-216')]; dímero (237-237":240-240")-bisdisulfuro, producido en las células ováricas de hámster chino (CHO) línea celular derivada de CHO-K1, forma glicosilada alfa
antiviral

2444308-95-4

Heavy chain / Chaîne lourde / Cadena pesada
 QITLKESGPT LVKPTQTLTL TCSFSGFSLT TSGVGVGWIR QPPGKALEWL 50
 ALIDWDNKKY HTTSLKTRLT ISKDTSKNQV VLTMTNMDPV DTATYYCARI 100
 PGLFLRYRNY YYYGMDVWQG GTTIVTVSSAS TKGPSVFPFLA PPSKSTSGGT 150
 AALGCLVKDY FPEPVTVSWN SGALTSGVHT FPAVLQSSGL YSLSSVTVTP 200
 SSSLGTQTYI CNVNHKPSNT KVDKRVKPKS CDKTHTCPEP PAPELLGGPS 250
 VFLFPPPKPKD TLMISRTPEV TCVVVDVSHS DPEVKFNWYV DGEVEVHNAKT 300
 KPREEQYNT YRVVSVLTVL HQDWLNGKEY KCKVSNKALP APIEKTISKA 350
 KGQPREPQVY TLPFSRDELT KNQVSLTCLV KGFYPSDIAV EWESNGQPEN 400
 NYKTTPEVLD SDGSFFLYSK LTVDKSRWQQ GNVFSCVMH EALHNHYTQK 450
 SLSLSPGK 458

Light chain / Chaîne légère / Cadena ligera
 ELVLTQPSSV SAAPGQKVTI SCSGSSSNIG NNYVSWYQQL PGTAPKLLIY 50
 DNKRPSGIP DRFSGSKSGT SATLIGITGLQ TGDEADYCYG TWDSSLSAGV 100
 FGGGTSLTVL GQPKAAPSVT LFPSSSEELQ ANKATLVCLLI SDFYPGAVTV 150
 AWKADGSEVK AGVETTRPKS QSNKKYAAAS YLSLTPEQWK SHRSYSCQVT 200
 HEGSTVTEKT APTECS 216

Post-translational modifications
 Disulfide bridges location / Position des ponts disulfure / Posiciones de los puentes disulfuro
 Intra-H (C23-C104) 22°-97° 155°-211° 272°-332° 378°-436°
 22°-97° 155°-211° 272°-332° 378°-436°
 Intra-L (C23-C104) 22°-89° 138°-197°
 22°-89° 138°-197°
 Inter-H-L (h 5-CL 126) 231°-215° 231°-215°
 Inter-H-H (h 11, h 14) 237°-237° 240°-240°

N-terminal glutamine cyclization to pyroglutamyl (pE, 5-oxoprolyl)
 HVH Q1:
 1, 1"

N-glycosylation sites / Sites de N-glycosylation / Posiciones de N-glicosilación
 HCH2 N84.4:
 308, 308"
 Fucosylated complex bi-antennary CHO-type glycans (G0F predominant) / glycanes de type CHO bi-antennaires complexes fucosylés (G0F prédominant) / glicanos de tipo CHO biantenarios complejos fucosilados (G0F prédominante).

C-terminal lysine clipping / Coupeure de la lysine C-terminale / Recorte de lisina C-terminal
 HCHS K2:
 458, 458"

reluscovtogenum ralaplasmidum #
reluscovtogene ralaplasmid

DNA plasmid expressing a consensus sequence* of the full-length SARS-CoV-2 (severe acute respiratory syndrome coronavirus 2) spike (S) glycoprotein, with an N-terminal IgE leader sequence, under control of the human CMV promoter (hCMV promoter) and a bovine growth hormone poly-adenylation signal (bGH poly(A)). The plasmid also contains a pUC origin of replication and a kanamycin antibiotic resistance gene.
*based upon sequences published on GISAID (Global Initiative on Sharing All Influenza Data) in early 2020.
immunological agent for active immunization (anti-SARS-CoV-2)

réluscovtogène ralaplasme

plasmide d'ADN exprimant une séquence consensus* complète de la glycoprotéine spike (S) du SARS-CoV-2 (coronavirus 2 du syndrome respiratoire aigu sévère), avec une séquence leader N-terminale d'IgE, sous contrôle du promoteur du CMV humain (promoteur hCMV) et d'un signal de polyadénylation de l'hormone de croissance bovine (bGH poly(A)). Le plasmide contient également une origine de réplication pUC et un gène de résistance à la kanamycine.
*basé sur des séquences publiées dans GISAID (Global Initiative on Sharing All Influenza Data) début 2020.
agent immunologique d'immunisation active (anti-SARS-CoV-2)

reluscovtogén ralaplasma

plásmido de DNA que expresa una secuencia consenso* completa de la glicoproteína de la espícula (S) de SARS-CoV-2 (coronavirus 2 del síndrome respiratorio agudo severo), con una secuencia líder N-terminal de la IgE, bajo el control del promotor de CMV humano (promotor hCMV) y una señal de poliadenilación de la hormona de crecimiento bovina (bGH poly(A)). El plásmido contiene también un origen de replicación pUC y un gen de resistencia al antibiótico kanamicina.
*basada en secuencias publicadas en GISAID (Global Initiative on Sharing All Influenza Data) a principios de 2020.
agente inmunológico para inmunización activa (anti-SRAS-CoV-2)

2416305-96-7

sotrovimabum #
sotrovimab

immunoglobulin G1-kappa, anti-[*Homo sapiens* severe acute respiratory syndrome coronavirus 2 (SARS-CoV-2) spike (S) protein, receptor binding domain (RBD)], *Homo sapiens* monoclonal antibody;

- gamma1 heavy chain *Homo sapiens* (1-457) [VH (*Homo sapiens* IGHV1-18*01 (92.9%) -(IGHD) -IGHJ5*01 (92.9%)) CDR-IMGT [8.8.20] (26-33.51-58.97-116) (1-127) -*Homo sapiens* IGHG1*01 G1m17,1, G1v24 CH3 L107, S114(CH1 K120 (224) (128-225), hinge 1-15 (226-240), CH2 (241-350), CH3 D12 (366), L14 (368), M107>L (438), N114>S (444) (351-455), CHS (456-457)) (128-457)], (230-214')-disulfide with kappa light chain *Homo sapiens* (1'-214') [V-KAPPA (*Homo sapiens* IGKV3-20*01 (96.7%) -IGKJ4*01 (100%)) CDR-IMGT [7.3.8] (27-33.51-53.90-97) (1'-107') -*Homo sapiens* IGKC*01 (100%) Km3 A45.1 (153), V101 (191) (108'-214')]; dimer (236-236":239-239")-bisdisulfide, produced in a Chinese hamster ovary (CHO)-K1 cell line, glycoform alfa
antiviral
- sotrovimab immunoglobuline G1-kappa anti-[*Homo sapiens* protéine spike (S) du coronavirus 2 du syndrome respiratoire aigu sévère (SARS-CoV-2), domaine de liaison au récepteur (RBD)], anticorps monoclonal *Homo sapiens*; chaîne lourde gamma1 *Homo sapiens* (1-457) [VH (*Homo sapiens* IGHV1-18*01 (92.9%) -(IGHD) -IGHJ5*01 (92.9%)) CDR-IMGT [8.8.20] (26-33.51-58.97-116) (1-127) -*Homo sapiens* IGHG1*01 G1m17,1, G1v24 CH3 L107, S114 (CH1 K120 (224) (128-225), charnière 1-15 (226-240), CH2 (241-350), CH3 D12 (366), L14 (368), M107>L (438), N114>S (444) (351-455), CHS (456-457)) (128-457)], (230-214')-disulfure avec la chaîne légère kappa *Homo sapiens* (1'-214') [V-KAPPA (*Homo sapiens* IGKV3-20*01 (96.7%) -IGKJ4*01 (100%)) CDR-IMGT [7.3.8] (27-33.51-53.90-97) (1'-107') -*Homo sapiens* IGKC*01 (100%) Km3 A45.1 (153), V101 (191) (108'-214')]; dimère (236-236":239-239")-bisdisulfure, produit dans des cellules ovariennes de hamster chinois (CHO) lignée cellulaire CHO-K1, glycoforme alfa
antiviral
- sotrovimab inmunoglobulina G1-kappa anti-[*Homo sapiens* proteína espícula (S) del coronavirus 2 del síndrome respiratorio agudo severo (SRAS-CoV-2), dominio de unión al receptor (RBD)], anticuerpo monoclonal *Homo sapiens*; cadena pesada gamma1 *Homo sapiens* (1-457) [VH (*Homo sapiens* IGHV1-18*01 (92.9%) -(IGHD) -IGHJ5*01 (92.9%)) CDR-IMGT [8.8.20] (26-33.51-58.97-116) (1-127) -*Homo sapiens* IGHG1*01 G1m17,1, G1v24 CH3 L107, S114 (CH1 K120 (224) (128-225), bisagra 1-15 (226-240), CH2 (241-350), CH3 D12 (366), L14 (368), M107>L (438), N114>S (444) (351-455), CHS (456-457)) (128-457)], (230-214')-disulfuro con la cadena ligera kappa *Homo sapiens* (1'-214') [V-KAPPA (*Homo sapiens* IGKV3-20*01 (96.7%) -IGKJ4*01 (100%)) CDR-IMGT [7.3.8] (27-33.51-53.90-97) (1'-107') -*Homo sapiens* IGKC*01 (100%) Km3 A45.1 (153), V101 (191) (108'-214')]; dímero (236-236":239-239")-bisdisulfuro, producido en las células ováricas de hámster chino (CHO) línea celular CHO-K1, forma glicosilada alfa
antiviral

2423014-07-5

Heavy chain / Chaîne lourde / Cadena pesada
 QVYLQSGAE VKKFGASVKV SCKASGYPFT SYGISWVRQA PGQGLEWMGW 50
 ISTYQGNTRY AQKFGQGRVTM TTDSTTTTGY MELRRLRSD TAVYYCARDY 100
 TRGAWFGESL IGGFDNWGGQ TLVTVSSAST KGPSVFPLAP SSKSTSGGTA 150
 ALGCLVKDYF PEPVTVSWNS GALTSGVHTF PAVLQSSGLY SLSSVTVTPS 200
 SSLGTQTYIC NVNHKPSNTK VDKKVEPKSC DKTHTCPPCP APELLGGPSV 250
 FLFPPKPKDT LMISRTPEVT CVVVDVSHED PEVKFNWYVD GVEVHNAKTK 300
 PREEQYNSTY RVVSVLTVLH QDWLNGKEYK CKVSNKALPA PIEKTIKAK 350
 GQPREPQVYT LPPSRDELTK NQVSLTCLVK GFYPSDIAVE WESNGQPENN 400
 YKTTTPVLDS DGSFFLYSKL TVDKSRWQQG NWFSCSVLHE ALHSHYTKQS 450
 LSLSPGK 457

Light chain / Chaîne légère / Cadena ligera
 EIVLTQSPGT LSLSPGERAT LSCRASQTVS STSLAWYQQK PGQAPRLLIY 50
 GASSRATGIP DRFSGSGSGT DFTLTISRLE PEDFAVYYCQ QHDTSLTFGG 100
 GTKVEIKRTV AAPSVFIFPP SDEQLKSGTA SVVCLLNNFY PREAKVQWKV 150
 DNALQSGNSQ ESVTEQDSKD STYLSSTLT LSKADYEKHK VYACEVTHQG 200
 LSPVTKSFN RGEK 214

Post-translational modifications
 Disulfide bridges location / Position des ponts disulfure / Posiciones de los puentes disulfuro
 Intra-H (C23-C104) 22°-96' 154°-210' 271°-331' 377°-435'
 22°-96" 154°-210" 271°-331" 377°-435"
 Intra-L (C23-C104) 23°-89' 134°-194'
 23°-89" 134°-194"
 Inter-H-L (h 5-CL 126) 230°-214' 230°-214"
 Inter-H-H (h 11, h 14) 236°-236" 239°-239"

N-terminal glutamine cyclization to pyroglutamy (pE, 5-oxoprolyl)
 H VH Q1:
 I, I"

N-glycosylation sites / Sites de N-glycosylation / Posiciones de N-glicosilación
 H CH2 N84.4:
 307, 307"
 Fucosylated complex bi-antennary CHO-type glycans / glycanes de type CHO bi-antennaires complexes fucosylés / glicanos de tipo CHO biantennarios complejos fucosilados.

Deamidation sites / Sites de désamidation / Posiciones de desamidación
 H CH2 N98: 325, 325"
 H CH3 N44: 394, 394"

C-terminal lysine clipping / Coupure de la lysine C-terminale / Recorte de lisina C-terminal
 H CHS K2:
 457, 457"

subasumstatum
subasumstat

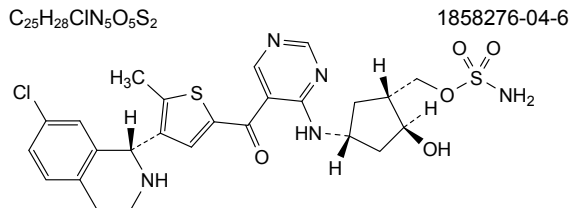
{{(1R,2S,4R)-4-[(5-{4-[(1R)-7-chloro-1,2,3,4-tetrahydroisoquinolin-1-yl]-5-methylthiophene-2-carbonyl}pyrimidin-4-yl)amino]-2-hydroxycyclopentyl)methyl sulfamate
small ubiquitin-like modifier (SUMO) activating enzyme inhibitor

subasumstat

sulfamate de {{(1R,2S,4R)-4-[(5-{4-[(1R)-7-chloro-1,2,3,4-tétrahydroisoquinoléin-1-yl]-5-méthylthiophène-2-carbonyl}pyrimidin-4-yl)amino]-2-hydroxycyclopentyl)méthyle
inhibiteur de l'enzyme activant les protéines SUMO (small ubiquitin-like modifier)

subasumstat

sulfamato de {{(1R,2S,4R)-4-[(5-{4-[(1R)-7-cloro-1,2,3,4-tetrahydroisoquinolein-1-il]-5-metiltiliofeno-2-carbonil}pirimidin-4-il)amino]-2-hidroxiciclopentil)metilo
inhibidor de la enzima activadora las proteínas SUMO (pequeña proteína modificadora parecida a la ubiquitina)



tixagevimabum #

tixagevimab

immunoglobulin G1-kappa, anti-[*Homo sapiens* severe acute respiratory syndrome coronavirus 2 (SARS-CoV-2) spike (S) protein, receptor binding domain (RBD)], *Homo sapiens* monoclonal antibody; gamma1 heavy chain *Homo sapiens* (1-453) [VH (*Homo sapiens*IGHV1-58*01 (98.0%) -(IGHD) -IGHJ3*02 (93.8%)) CDR-IMGT [8.8.16] (26-33.51-58.97-112) (1-123) -*Homo sapiens*IGHG1*03 G1m3, nG1m1, G1v21 CH2 Y15.1, T16, E18, G1v39 CH2 F1.3, E1.2, S116 (CH1 R120 (220) (124-221), hinge 1-15 (222-236), CH2 L1.3>F (240), L1.2>E (241), M15.1>Y (258), S16>T (260), T18>E (262), P116>S (337) (237-346), CH3 E12 (362), M14 (364) (347-451), CHS (452-453)) (124-453)], (226-216')-disulfide with kappa light chain *Homo sapiens* (1'-216') [V-KAPPA (*Homo sapiens*IGKV3-20*01 (98.9%) -IGKJ1*01 (100%)) CDR-IMGT [7.3.10] (27-33.51-53.90-99) (1'-109') -*Homo sapiens*IGKC*01 (100%) Km3 A45.1 (155), V101 (193) (110'-216')]; dimer (232-232":235-235")-bisdisulfide, produced in Chinese hamster ovary (CHO) cells, glycoform alfa
antiviral

tixagévimab

immunoglobuline G1-kappa anti-[*Homo sapiens* protéine spike (S) du coronavirus 2 du syndrome respiratoire aigu sévère (SARS-CoV-2), domaine de liaison au récepteur (RBD)], anticorps monoclonal *Homo sapiens*;
chaîne lourde gamma1 *Homo sapiens* (1-453) [VH (*Homo sapiens*IGHV1-58*01 (98.0%) -(IGHD) -IGHJ3*02 (93.8%)) CDR-IMGT [8.8.16] (26-33.51-58.97-112) (1-123) -*Homo sapiens*IGHG1*03 G1m3, nG1m1, G1v21 CH2 Y15.1, T16, E18, G1v39 CH2 F1.3, E1.2, S116 (CH1 R120 (220) (124-221), charnière 1-15 (222-236), CH2 L1.3>F (240), L1.2>E (241), M15.1>Y (258), S16>T (260), T18>E (262), P116>S (337) (237-346), CH3 E12 (362), M14 (364) (347-451), CHS (452-453)) (124-453)], (226-216')-disulfure avec la chaîne légère kappa *Homo sapiens* (1'-216') [V-KAPPA (*Homo sapiens*IGKV3-20*01 (98.9%) -IGKJ1*01 (100%)) CDR-IMGT [7.3.10] (27-33.51-53.90-99) (1'-109') -*Homo sapiens*IGKC*01 (100%) Km3 A45.1 (155), V101 (193) (110'-216')]; dimère (232-232":235-235")-bisdisulfure, produit dans des cellules ovariennes de hamster chinois (CHO), glycoforme alfa
antiviral

tixagevimab

immunoglobulina G1-kappa anti-[*Homo sapiens* proteína espícula (S) del coronavirus 2 del síndrome respiratorio agudo severo (SRAS-CoV-2), dominio de unión al receptor (RBD)], anticuerpo monoclonal *Homo sapiens*;
cadena pesada gamma1 *Homo sapiens* (1-453) [VH (*Homo sapiens*IGHV1-58*01 (98.0%) -(IGHD) -IGHJ3*02 (93.8%)) CDR-IMGT [8.8.16] (26-33.51-58.97-112) (1-123) -*Homo sapiens*IGHG1*03 G1m3, nG1m1, G1v21 CH2 Y15.1, T16, E18, G1v39 CH2 F1.3, E1.2, S116 (CH1 R120 (220) (124-221), bisagra 1-15 (222-236), CH2 L1.3>F (240), L1.2>E (241), M15.1>Y (258), S16>T (260), T18>E (262), P116>S (337) (237-346), CH3 E12 (362), M14 (364) (347-451), CHS (452-453)) (124-453)], (226-216')-disulfuro con la cadena ligera kappa *Homo sapiens* (1'-216') [V-KAPPA (*Homo sapiens*IGKV3-20*01 (98.9%) -IGKJ1*01 (100%)) CDR-IMGT [7.3.10] (27-33.51-53.90-99) (1'-109') -*Homo sapiens*IGKC*01 (100%) Km3 A45.1 (155), V101 (193) (110'-216')]; dímero (232-232":235-235")-bisdisulfuro, producido en las células ováricas de hámster chino (CHO), forma glicosilada alfa
antiviral

2420564-02-7

Heavy chain / Chaîne lourde / Cadena pesada
 QMQLVQSGPE VKKPGTSVKV SCKASGTFM SSAVQWVRQA RGQRLEWIGW 50
 IVIGSGNTNY AQKFQERVTI TRDMSTSTAY MELSSLRSED TAVYYCAAPY 100
 CSSISCNDFG DIWQGQTMVT VSSASTKGPS VFPLPAPSSK TSGGTAAALGC 150
 LVKDYFFPEFV TVSWNSGALT SGVHTFPAVL QSSGLYSLSS VVTVPSSSLG 200
 TQTYICNVNH KPSNTKVDKR VEPKSCDKTH TCPPCPAPEF EGGPSVFLFP 250
 PKPKDLYIT REPEVTCVVV DVSHEDPEVK FNWYVDGVEV HNAKTKPREE 300
 QYNSTYRVVS VLTVLHQDWL NGEKYKCKVS NKALPASIEK TISKAKQPR 350
 EPQVYTLPPS REEMTKQVVS LTCLVKGFYP SDIAVEWESN GQPENNYKTT 400
 PPVLDSDGSF FLYSKLTVDK SRWQQGNVFS CSMVHEALHN HYTEKSLSL 450
 PGK 453

Light chain / Chaîne légère / Cadena ligera
 EIVLTQSPGT LSLSPGERAT LSCRASQSVS SSVLAWYQQK PGQAPRLLIY 50
 GASSRATGIP DRFSGSGSGT DFTLTISRLE PEDFAVYYCQ HYGSSRGWTF 100
 GQGTKVEIKR TVAAPSVEIF PPSDEQLKSG TASVVCLLNN FYPREAKVQW 150
 KVDNALQSGN SQESVTEQDS KDSYSLSSST LTLSKADYEK HKVYACEVTH 200
 QGLSSPVTKS FNRGEC 216

Post-translational modifications
 Disulfide bridges location / Position des ponts disulfure / Posiciones de los puentes disulfuro
 Intra-H (C23-C104) 22°-96' 101°-106' 150°-206' 267°-327' 373°-431'
 22°-96" 101°-106" 150°-206" 267°-327" 373°-431"
 Intra- H (CDR3) 101°-106'
 101°-106"
 Intra-L (C23-C104) 23°-89' 136°-196'
 23°-89" 136°-196"
 Inter-H-L (h 5-CL 126) 226°-216' 226°-216"
 Inter-H-H (h 11, h 14) 232°-232" 235°-235"

N-terminal glutamine cyclization to pyroglutamyl (pE, 5-oxoprolyl)
 H VH Q1:
 I, I"

N-glycosylation sites / Sites de N-glycosylation / Posiciones de N-glicosilación
 H CH2 N84.4:
 303, 303"

Fucosylated complex bi-antennary CHO-type glycans / glycanes de type CHO bi-antennaires complexes fucosylés / glicanos de tipo CHO biantennarios complejos fucosilados.

C-terminal lysine clipping / Coupure de la lysine C-terminale / Recorte de lisina C-terminal
 H CHS K2:
 453, 453"

tozinameranum #
tozinameran

messenger RNA (mRNA), 5'-capped, encoding a full-length, codon-optimised pre-fusion stabilised conformation variant (K986P and V987P) of the SARS-CoV-2 (severe acute respiratory syndrome coronavirus 2, GenBank: MN908947.3) spike (S) glycoprotein, flanked by 5' and 3' untranslated regions and a 3' poly(A) tail; contains N1-methylpseudouridine instead of uridine (*all-U>m¹Ψ*).
immunological agent for active immunization (anti-SARS-CoV-2)

tozinaméran

ARN messenger (ARNm), protégé en 5', codant pour un variant de pré-fusion stabilisé en conformation (K986P et V987P) de la glycoprotéine spike (S) du SARS-CoV-2 (coronavirus 2 du syndrome respiratoire aigu sévère, GenBank: MN908947.3) complet, avec des codons optimisés, flanqués de régions 5' et 3' non traduites et d'une queue poly(A) 3'; contient de la N1-méthylpseudouridine au lieu de l'uridine (*tout-U>m¹Ψ*).
agent immunologique d'immunisation active (anti-SARS-CoV-2)

tozinamerán

RNA mensajero (mRNA), protegido en 5', que codifica para una variante pre-fusión de conformación estabilizada (K986P and V987P) de la glicoproteína de la espícula (S) del SRAS-CoV-2 (coronavirus 2 del síndrome respiratorio agudo severo, GenBank: MN908947.3) completa, con codones optimizados, flanqueada por regiones 5' y 3' no traducidas y una cola poly(A) en 3'; contiene N1-metilpseudouridina en lugar de uridina (*all-U>m¹Ψ*).
agente inmunológico para inmunización activa (anti-SRAS-CoV-2)

2417899-77-3

zansecimabum #

zansecimab

immunoglobulin G4-kappa, anti-[*Homo sapiens* ANGPT2 (angiopoietin 2)], humanized monoclonal antibody; gamma4 heavy chain humanized (1-447) [VH (*Homo sapiens* IGHV1-18*01 (86.7%) -(IGHD) -IGHJ4*01 (93.3%)) CDR-IMGT [8.8.14] (26-33.51-58.97-110) (1-121) -*Homo sapiens* IGHG4*01, G4v5 h P10,G4v4 CH2 A1.3, A1.2 (CH1 (122-219), hinge 1-12 S10>P (229) (220-231), CH2 F1.3>A (235), L1.2>A (236) (232-341), CH3 (342-446), CHS K>del (447)) (122-447)], (135-214')-disulfide with kappa light chain humanized (1'-214') [V-KAPPA (*Homo sapiens* IGKV1-12*01 (83.2%) -IGKJ4*01 (100%)) CDR-IMGT [6.3.9] (27-32.50-52.89-97) (1'-107') -*Homo sapiens* IGKC*01 (100%) Km3 A45.1 (153), V101 (191) (108'-214')]; dimer (227-227":230-230")-bisdisulfide, produced in a Chinese hamster ovary (CHO) cell line derived from CHO-GSKO, glycoform alfa
angiogenesis inhibitor, immunomodulator

zansécimab

immunoglobuline G4-kappa anti-[*Homo sapiens* ANGPT2 (angiopoietin 2)], anticorps monoclonal humanisé; chaîne lourde gamma4 humanisée (1-447) [VH (*Homo sapiens* IGHV1-18*01 (86.7%) -(IGHD) - IGHJ4*01 (93.3%)) CDR-IMGT [8.8.14] (26-33.51-58.97-110) (1-121) -*Homo sapiens* IGHG4*01 G4v5 h P10,G4v4 CH2 A1.3, A1.2 (CH1 (122-219), charnière 1-12 S10>P (229) (220-231), CH2 F1.3>A (235), L1.2>A (236) (232-341), CH3 (342-446), CHS K>del (447)) (122-447)], (135-214')-disulfure avec la chaîne légère kappa humanisée (1'-214') [V-KAPPA (*Homo sapiens* IGKV1-12*01 (83.2%) - IGKJ4*01 (100%)) CDR-IMGT [6.3.9] (27-32.50-52.89-97) (1'-107') -*Homo sapiens* IGKC*01 (100%) Km3 A45.1 (153), V101 (191) (108'-214')]; dimère (227-227":230-230")-bisdisulfure, produit dans des cellules ovariennes de hamster chinois (CHO) dérivant de la lignée cellulaire CHO-GSKO, glycoforme alfa
inhibiteur de l'angiogénèse, immunomodulateur

zansecimab

inmunoglobulina G4-kappa anti-[*Homo sapiens* ANGPT2 (angiopoyetina 2)], anticuerpo monoclonal humanizado; cadena pesada gamma4 humanizada (1-447) [VH (*Homo sapiens* IGHV1-18*01 (86.7%) -(IGHD) - IGHJ4*01 (93.3%)) CDR-IMGT [8.8.14] (26-33.51-58.97-110) (1-121) -*Homo sapiens* IGHG4*01 G4v5 h P10,G4v4 CH2 A1.3, A1.2 (CH1 (122-219), bisagra 1-12 S10>P (229) (220-231), CH2 F1.3>A (235), L1.2>A (236) (232-341), CH3 (342-446), CHS K>del (447)) (122-447)], (135-214')-disulfuro con la cadena ligera kappa humanizada (1'-214') [V-KAPPA (*Homo sapiens* IGKV1-12*01 (83.2%) - IGKJ4*01 (100%)) CDR-IMGT [6.3.9] (27-32.50-52.89-97) (1'-107') -*Homo sapiens* IGKC*01 (100%) Km3 A45.1 (153), V101 (191) (108'-214')]; dímero (227-227":230-230")-bisdisulfuro, producido en las células ováricas de hámster chino (CHO) línea celular derivada de CHO-GSKO, forma glicosilada alfa
inhibidor de la angiogénesis, inmunomodulador

2415205-37-5

Heavy chain / Chaîne lourde / Cadena pesada
 QVQLVQSGAE VKKPGASVKV SCKASGYSTF DYNMVMVROA PGQGLEWMGY 50
 IDPYNGGTYG NQKFEGRVTM TTDSTSTAY MELRSLRSD TAVYYCARTR 100
 DRYDVMWYFDV WQGQTLVTVS SASTKGPSVF PLAPCSRSTS ESTAALGCLV 150
 KDYFPEPVTV SWNSGALTSV VHTFPAVLQS SGLYSLSSVV TFPSSSLGK 200
 TYTCNVDHKP SNTKVDKRVV SKYGPCCPPC PAPEAAGGPP VFLFPPPKKD 250
 TLMISRTPEV TCVVVDVDSQ EPEVQFNWYV DGVVHNAKT KPREEQFNST 300
 YRVVSVLTVL HQDWLNGKEY KCKVSNKGLP SSIKTIKSA KGQPREPQVY 350
 TLPFSQEEMT KNQVSLTCLV KGFYPSDIAV EMESNGQFEN NYKTTFPVLD 400
 SDGSFFLYSR LTVDKSRWQE GNVFSCSVMH EALHNHYTQK SLSLSLG 447

Light chain / Chaîne légère / Cadena ligera
 DIQMTQSPSS VSASVGDRTV ITCKASQDVI IAVAWYQQKPK GKAPKLLIYW 50
 ASTRDTGVPS RFGSGSGSDT FTLTISLQF EDFATYYCHQ YSSYPTTFGG 100
 GTKVEIKRTV AAPSVFIFPP SDEQLKSGTA SVVCLLNNEY PREAKVQWKV 150
 DNALQSGNSQ ESVTEQDSKD STYLSLSTLT LSKADYKHKH VYACEVTHQG 200
 LSSPVTKSFN RGEC 214

Post-translational modifications
 Disulfide bridges location / Position des ponts disulfure / Posiciones de los puentes disulfuro
 Intra-H (C23-C104) 22-96 148-204 262-322 368-426
 22"-96" 148"-204" 262"-322" 368"-426"
 Intra-L (C23-C104) 23"-88" 134"-194"
 23"-88" 134"-194"
 Inter-H-L (CH1 10-CL 126) 135-214" 135"-214"
 Inter-H-H (h 8, h 11) 227-227" 230-230"

N-terminal glutamine cyclization to pyroglutamyI (pE, 5-oxopropyl)
 HVH Q1:
 I, I"

N-glycosylation sites / Sites de N-glycosylation / Posiciones de N-glicosilación
 H CH2 N84.4:
 298, 298"

Fucosylated complex bi-antennary CHO-type glycans (G0F predominant) / glycanes de type CHO bi-antennaires complexes fucosylés (G0F prédominant) / glicanos de tipo CHO biantenarijos complejos fucosilados (G0F predominante).

zorecimeranum #
 zorecimeran

messenger RNA (mRNA), 5'-capped, encoding a full-length codon-optimised pre-fusion stabilized conformation variant (K986P and V987P) of the SARS-CoV-2 (severe acute respiratory syndrome coronavirus 2; NC_045512.2) spike (S) glycoprotein, flanked by 5' and 3' untranslated regions; the 3' untranslated region comprises a part of the human alpha globin gene 3' UTR sequence element, a synthetic poly(A) tail and a poly(C)-rich sequence followed by a histone stem loop sequence as a 3' tail. *immunological agent for active immunization (anti-SARS-CoV-2)*

zoréciméran

ARN messenger (ARNm), protégé en 5', codant pour un variant de pré-fusion stabilisé en conformation (K986P et V987P) de la glycoprotéine spike (S) du SARS-CoV-2 (coronavirus 2 du syndrome respiratoire aigu sévère), NC_045512.2) complet, avec des codons optimisés, flanqués de régions 5' et 3' non traduites. La région 3' non traduite comprend une partie de l'élément de séquence 3' UTR du gène de l'alpha globine humaine, une queue poly(A) synthétique et une séquence riche en poly(C) suivie d'une séquence d'histones stem-loop comme extrémité en 3'. *agent immunologique d'immunisation active (anti-SARS-CoV-2)*

zorecimerán

RNA mensajero (mRNA), protegido en 5', que codifica para una variante pre-fusión de conformación estabilizada (K986P and V987P) de la glicoproteína de la espícula (S) del SRAS-Cov-2 (coronavirus 2 del síndrome respiratorio agudo severo, NC_045512.2) completa, con codones optimizados, flanqueada por regiones 5' y 3' no traducidas. La región 3' no traducida comprende una parte del elemento secuencia 3' UTR del gen de la alfa globina humana, una cola poly(A) sintética y una secuencia rica en poly(C) seguida de una secuencia de histona stem-loop cola 3'.
agente inmunológico para inmunización activa (anti-SRAS-CoV-2)

2432957-15-6

Electronic structure available on Mednet: <http://mednet.who.int/>

Structure électronique disponible sur Mednet: <http://mednet.who.int/>

Estructura electrónica disponible en Mednet: <http://mednet.who.int/>

International Nonproprietary Names for Pharmaceutical Substances (INN)

Notice is hereby given that, in accordance with article 3 of the Procedure for the Selection of Recommended International Nonproprietary Names for Pharmaceutical Substances, the names given in the list on the following pages are under consideration by the World Health Organization as Proposed International Nonproprietary Names. The inclusion of a name in the lists of Proposed International Nonproprietary Names does not imply any recommendation of the use of the substance in medicine or pharmacy.

Lists of Proposed (1–117) and Recommended (1–78) International Nonproprietary Names can be found in *Cumulative List No. 17, 2017* (available in CD-ROM only). The statements indicating action and use are based largely on information supplied by the manufacturer. **This information is merely meant to provide an indication of the potential use of new substances at the time they are accorded Proposed International Nonproprietary Names.** WHO is not in a position either to uphold these statements or to comment on the efficacy of the action claimed. Because of their provisional nature, these descriptors will neither be revised **nor included in the Cumulative Lists of INNs.**

Dénominations communes internationales des Substances pharmaceutiques (DCI)

Il est notifié que, conformément aux dispositions de l'article 3 de la Procédure à suivre en vue du choix de Dénominations communes internationales recommandées pour les Substances pharmaceutiques les dénominations ci-dessous sont mises à l'étude par l'Organisation mondiale de la Santé en tant que dénominations communes internationales proposées. L'inclusion d'une dénomination dans les listes de DCI proposées n'implique aucune recommandation en vue de l'utilisation de la substance correspondante en médecine ou en pharmacie.

On trouvera d'autres listes de Dénominations communes internationales proposées (1–117) et recommandées (1–78) dans la *Liste récapitulative No. 17, 2017* (disponible sur CD-ROM seulement). Les mentions indiquant les propriétés et les indications des substances sont fondées sur les renseignements communiqués par le fabricant. **Elles ne visent qu'à donner une idée de l'utilisation potentielle des nouvelles substances au moment où elles sont l'objet de propositions de DCI.** L'OMS n'est pas en mesure de confirmer ces déclarations ni de faire de commentaires sur l'efficacité du mode d'action ainsi décrit. En raison de leur caractère provisoire, ces informations **ne figureront pas dans les listes récapitulatives de DCI.**

Denominaciones Comunes Internacionales para las Sustancias Farmacéuticas (DCI)

De conformidad con lo que dispone el párrafo 3 del "Procedimiento de Selección de Denominaciones Comunes Internacionales Recomendadas para las Sustancias Farmacéuticas", se comunica por el presente anuncio que las denominaciones detalladas en las páginas siguientes están sometidas a estudio por la Organización Mundial de La Salud como Denominaciones Comunes Internacionales Propuestas. La inclusión de una denominación en las listas de las DCI Propuestas no supone recomendación alguna en favor del empleo de la sustancia respectiva en medicina o en farmacia.

Las listas de Denominaciones Comunes Internacionales Propuestas (1–117) y Recomendadas (1–78) se encuentran reunidas en *Cumulative List No. 17, 2017* (disponible sólo en CD-ROM). Las indicaciones sobre acción y uso que aparecen se basan principalmente en la información facilitada por los fabricantes. **Esta información tiene por objeto dar una idea únicamente de las posibilidades de aplicación de las nuevas sustancias a las que se asigna una DCI Propuesta.** La OMS no está facultada para respaldar esas indicaciones ni para formular comentarios sobre la eficacia de la acción que se atribuye al producto. Debido a su carácter provisional, esos datos descriptivos **no deben incluirse en las listas recapitulativas de DCI.**

Proposed International Nonproprietary Names: List 124

Comments on, or formal objections to, the proposed names may be forwarded by any person to the INN Programme of the World Health Organization within four months of the date of their publication in *WHO Drug Information*, i.e., for **List 124 Proposed INN not later than 21 May 2021.**

Publication date: 22/01/2021

Dénominations communes internationales proposées: Liste 124

Des observations ou des objections formelles à l'égard des dénominations proposées peuvent être adressées par toute personne au Programme des Dénominations communes internationales de l'Organisation mondiale de la Santé dans un délai de quatre mois à compter de la date de leur publication dans *WHO Drug Information*, c'est à dire pour la **Liste 124 de DCI Proposées le 21 mai 2021 au plus tard.**

Date de publication : 22/01/2021

Denominaciones Comunes Internacionales Propuestas: Lista 124

Cualquier persona puede dirigir observaciones u objeciones respecto de las denominaciones propuestas, al Programa de Denominaciones Comunes Internacionales de la Organización Mundial de la Salud, en un plazo de cuatro meses, contados desde la fecha de su publicación en *WHO Drug Information*, es decir, para **la Lista 124 de DCI Propuestas el 21 de mayo de 2021 a más tardar.**

Fecha de publicación: 22/01/2021

<i>Proposed INN (Latin, English, French, Spanish)</i>	<i>Chemical name or description: Action and use: Molecular formula Chemical Abstracts Service (CAS) registry number: Graphic formula</i>
<i>DCI Proposée</i>	<i>Nom chimique ou description: Propriétés et indications: Formule brute, Numéro dans le registre du CAS: Formule développée</i>
<i>DCI Propuesta</i>	<i>Nombre químico o descripción: Acción y uso: Fórmula molecular Número de registro del CAS: Fórmula desarrollada</i>

abequolixronum

abequolixron

(3-((3R)-3-[[[2-chloro-3-(trifluoromethyl)phenyl]methyl](2,2-diphenylethyl)amino]butoxy]phenyl)acetic acid
liver-X nuclear hormone receptor (LXR) beta agonist

abéquolixron

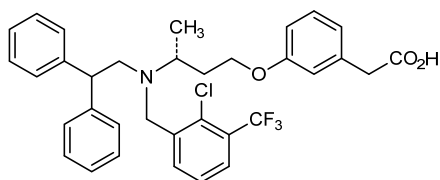
acide (3-((3R)-3-[[[2-chloro-3-(trifluorométhy)phényl]méthyl](2,2-diphényléthyl)amino]butoxy]phényl)acétique
agoniste du récepteur nucléaire bêta des oxystérols (LXR)

abecuolixron

ácido (3-((3R)-3-[[[2-cloro-3-(trifluorometil)fenil]metil](2,2-difeniletil)amino]butoxi]fenil)acético
agonista de los receptores beta X hepáticos (LXR)

C₃₄H₃₃ClF₃NO₃

610318-54-2

**abrucomstatum**

abrucomstat

3-hydroxypropyl nitrate
methyl coenzyme M reductase inhibitor (for veterinary use)

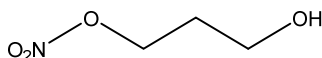
abrucomstat

nitrate de 3-hydroxypropyle
inhibiteur de la méthyl-coenzyme M réductase (usage vétérinaire)

abrucomstat

nitrato de 3-hidroxipropilo
*inhibidor de la metil-coenzima M reductasa (uso veterinario)*C₃H₇NO₄

100502-66-7

**acasunlimabum #**

acasunlimab

immunoglobulin G1-lambda/kappa, anti-[*Homo sapiens* CD274 (programmed death ligand 1, PDL1, PD-L1, B7 homolog 1, B7H1)], and anti-[*Homo sapiens* TNFRSF9 (tumor necrosis factor receptor (TNFR) superfamily member 9, 4-1BB, CD137)], humanized and *Homo sapiens* monoclonal antibody, bispecific; gamma1 heavy chain anti-CD274 humanized (1-450) [VH anti-CD274 humanized (*Homo sapiens* IGHV3-23*01 (87.6%) -(IGHD) -IGHJ1*01 (100%)) CDR-IMGT [8.8.14] (26-33.51-58.97-110) (1-121) -*Homo sapiens* IGHG1*03, G1m3, nG1m1, G1v41 CH2 F1.3, E1.2 (CH1 R120 (218) (122-219), hinge 1-15 (220-234), CH2 L1.3>F (238), L1.2>E (239), D27>A (269) (235-344), CH3 E12 (360), M14 (362), F85.1>L (409) (345-449), CHS K>del (450)) (122-450)], (224-213')-disulfide with lambda light chain anti-CD274 *Homo sapiens* (1'-214') [V-LAMBDA (*Homo sapiens* IGLV3-21*02 (97.9%) -IGLJ2*01 (100%)) CDR-IMGT [6.3.11] (26-31.49-51.88-98) (1'-108') -*Homo sapiens* IGLC2*01 (100%) (109'-214')]; gamma1 heavy chain anti-TNFRSF9 humanized (1"-446") [VH anti-TNFRSF9 humanized (*Homo sapiens* IGHV3-49*04 (86%) -(IGHD) -IGHJ2*01 (92.9%)) CDR-IMGT [8.7.11] (26-33.51-57.96-106) (1"-117") -*Homo sapiens* IGHG1*03, G1m3, nG1m1 (CH1 R120 (214) (118"-215"), hinge 1-15 (216"-230"), CH2 L1.3>F (234), L1.2>E (235), D27>A (265) (231"-340"), CH3 E12 (356), M14 (358), K88>R (409) (341"-445"), CHS K>del (446)) (118"-446")], (220"-217"")-disulfide with kappa light chain anti-TNFRSF9 humanized (1'''-217''') [V-KAPPA anti-TNFRSF9 humanized (*Homo sapiens* IGKV1-33*01 (85.7%) -IGKJ1*01 (90%)) CDR-IMGT [6.3.12] (27-32.50-52.89-100) (1'''-110''') -*Homo sapiens* IGKC*01 (100%), Km3 A45.1 (156), V101 (194) (111'''-217''')]; dimer (230-226"-233-229"")-bisulfide, produced in Chinese hamster ovary (CHO) cells, glycoform alfa *immunomodulator, antineoplastic*

acasonlimab	<p>immunoglobuline G1-lambda/kappa, anti-[<i>Homo sapiens</i> CD274 (ligand 1 de mort programmée, PDL1, PD-L1, homologue 1 de B7, B7H1)] et anti-[<i>Homo sapiens</i> TNFRSF9 (membre 9 de la superfamille des récepteurs du facteur de nécrose tumorale, 4-1BB, CD137)], anticorps monoclonal humanisé et <i>Homo sapiens</i>, bispécifique;</p> <p>chaîne lourde gamma1 anti-CD274 humanisée (1-450) [VH anti-CD274 humanisé (<i>Homo sapiens</i> IGHV3-23*01 (87.6%) -(IGHD) -IGHJ1*01 (100%)) CDR-IMGT [8.8.14] (26-33.51-58.97-110) (1-121) -<i>Homo sapiens</i> IGHG1*03, G1m3, nG1m1, G1v41 CH2 F1.3, E1.2 (CH1 R120 (218) (122-219), charnière 1-15 (220-234), CH2 L1.3>F (238), L1.2>E (239), D27>A (269) (235-344), CH3 E12 (360), M14 (362), F85.1>L (409) (345-449), CHS K>del (450)) (122-450)], (224-213')-disulfure avec la chaîne légère lambda anti-CD274 <i>Homo sapiens</i> (1'-214') [V-LAMBDA (<i>Homo sapiens</i> IGLV3-21*02 (97.9%) -IGLJ2*01 (100%)) CDR-IMGT [6.3.11] (26-31.49-51.88-98) (1'-108') -<i>Homo sapiens</i> IGLC2*01 (100%) (109'-214')];</p> <p>chaîne lourde gamma1 anti-TNFRSF9 humanisée (1"-446") [VH anti-TNFRSF9 humanisé (<i>Homo sapiens</i> IGHV3-49*04 (86%) -(IGHD) -IGHJ2*01 (92.9%)) CDR-IMGT [8.7.11] (26-33.51-57.96-106) (1"-117") -<i>Homo sapiens</i> IGHG1*03, G1m3, nG1m1 (CH1 R120 (214) (118'-215")), charnière 1-15 (216"-230"), CH2 L1.3>F (234), L1.2>E (235), D27>A (265) (231"-340"), CH3 E12 (356), M14 (358), K88>R (409) (341"-445")), CHS K>del (446)) (118"-446"), (220"-217'")-disulfure avec la chaîne légère kappa anti-TNFRSF9 humanisée (1'"-217'") [V-KAPPA anti-TNFRSF9 humanisé (<i>Homo sapiens</i> IGKV1-33*01 (85.7%) -IGKJ1*01 (90%)) CDR-IMGT [6.3.12] (27-32.50-52.89-100) (1'"-110'") -<i>Homo sapiens</i> IGKC*01 (100%), Km3 A45.1 (156), V101 (194) (111'"-217'"); dimère (230-226":233-229")-bisdisulfure, produit dans des cellules ovariennes de hamster chinois (CHO), glycoforme alfa immunomodulateur, antinéoplasique</p>
acasonlimab	<p>immunoglobulina G1-lambda/kappa, anti-[<i>Homo sapiens</i> CD274 (ligando 1 de muerte programada, PDL1, PD-L1, homólogo 1 de B7, B7H1)] y anti-[<i>Homo sapiens</i> TNFRSF9 (miembro 9 de la superfamilia de los receptores del factor de necrosis tumoral, 4-1BB, CD137)], anticuerpo monoclonal humanizado y <i>Homo sapiens</i>, biespecifico;</p> <p>cadena pesada gamma1 anti-CD274 humanizada (1-450) [VH anti-CD274 humanizado (<i>Homo sapiens</i> IGHV3-23*01 (87.6%) -(IGHD) -IGHJ1*01 (100%)) CDR-IMGT [8.8.14] (26-33.51-58.97-110) (1-121) -<i>Homo sapiens</i> IGHG1*03, G1m3, nG1m1, G1v41 CH2 F1.3, E1.2 (CH1 R120 (218) (122-219), bisagra 1-15 (220-234), CH2 L1.3>F (238), L1.2>E (239), D27>A (269) (235-344), CH3 E12 (360), M14 (362), F85.1>L (409) (345-449), CHS K>del (450)) (122-450)], (224-213')-disulfuro con la cadena ligera lambda anti-CD274 <i>Homo sapiens</i> (1'-214') [V-LAMBDA (<i>Homo sapiens</i> IGLV3-21*02 (97.9%) -IGLJ2*01 (100%)) CDR-IMGT [6.3.11] (26-31.49-51.88-98) (1'-108') -<i>Homo sapiens</i> IGLC2*01 (100%) (109'-214')];</p> <p>cadena pesada gamma1 anti-TNFRSF9 humanizada (1"-446") [VH anti-TNFRSF9 humanizado (<i>Homo sapiens</i> IGHV3-49*04 (86%) -(IGHD) -IGHJ2*01 (92.9%)) CDR-IMGT [8.7.11] (26-33.51-57.96-106) (1"-117") -<i>Homo sapiens</i> IGHG1*03, G1m3, nG1m1 (CH1 R120 (214) (118'-215")), bisagra 1-15 (216"-230"), CH2 L1.3>F (234), L1.2>E (235), D27>A (265) (231"-340"), CH3 E12 (356), M14 (358), K88>R (409) (341"-445")), CHS K>del (446)) (118"-446"), (220"-217'")-disulfuro con la cadena ligera kappa anti-TNFRSF9 humanizada (1'"-217'") [V-KAPPA anti-TNFRSF9 humanizado (<i>Homo sapiens</i> IGKV1-33*01 (85.7%) -IGKJ1*01 (90%)) CDR-IMGT [6.3.12] (27-32.50-52.89-100) (1'"-110'") -<i>Homo sapiens</i> IGKC*01 (100%), Km3 A45.1 (156), V101 (194) (111'"-217'"); dímero (230-226":233-229")-bisdisulfuro, producido en las células ováricas de hámster chino (CHO), forma glicosilada alfa immunomodulador, antineoplásico</p>

2253937-12-9

Heavy chain / Chaîne lourde / Cadena pesada (anti-CD274)
 EVQLLEPGGG LVQPGGSLRL SCEASGSTFS TYAMSWVRQA PGKLEWVSG 50
 FSGSGGFTFY ADSVRGRFTI SRDSSKNTLF LQMSSLRAED TAVYYCAIPA 100
 RGYNYGSPQH WQQGTLVTVS SASTKGPSVF PLAPSSKSTS GGTAAALGCLV 150
 KDYFPEPVTV SWNSGALTSV VHTFPAVLQS SGLYSLSSVV TTPSSSLGTQ 200
 TYICNVNHKP SNTKVDKRVK PKSCDKTHTC PPCAPEFEG GPSVFLFPFK 250
 PKDTLMSRT PEVTCVVAVV SHEDPEVKFN WYVDGVEVHN AKTKPREEQY 300
 NSTYRVVSVL TVLHQDWLNG KEYKCKVSNK ALPAPIEKTI SKAKGQPREP 350
 QVYTLPPSRE EMTKQVSLT CLVKGFPYSD IAVWEWESNG PENNYKTTTP 400
 VLDSGGSFLL YSKLTVDKSR WQQGNVFSFS VMHEALHNHY TQKLSLSLSPG 450

Heavy chain / Chaîne lourde / Cadena pesada (anti-TNFRSF9)
 EVQLVESGGG LVQPGRSRL SCTASGFSLN DYWMSWVRQA PGKLEWVGY 50
 IDVGGSLYYA ASVKGRFTIS RDDSRIAYL QMNSLKTEDT AVYYCARGGL 100
 TYGFDLWQQG TLVTVSSAST RGPVSFPLAP SSKSTSGGTA ALGCLVKDYF 150
 PEPVTVSWNS GALTSGVHTF PAVLQSSGLY SLSSVVTVPS SSLGTQTYIC 200
 NVNHKPSNTH VDKRVEPKSC DKHTCPCPCP APEFEGGPSV FLFPFKPKDT 250
 LMSRTPPEVT CVVVAVSHED PEVKFNWYVD GVEVHNKTK PREBQYNSTY 300
 RVVSVLTVLH QDWLNGKEYK CKVSNKALPA PIEKTIKAK GQPREPQVYT 350
 LPPSREEMTK NQVSLTCLVK GFYPSDIAVE WESNGQPENN YKTTFPVLDS 400
 DGSFFLYSRL TVDKSRWQQG NVFSCSVMEH ALHNHYTQKS LLSLSPG 446

Light chain / Chaîne légère / Cadena ligera (anti-CD274)
 SYVLTQPPSV SVAPGQTARI TCGGNIGSK SVHWYQQKPG QAPVLVYVDD 50
 NDRPSGLPER FSGSNSGNTA TLTISRVEAG DEADYICQVW DSSSDHWVFG 100
 GSTKLTVLGQ PKAAPSVTLF PPSSEELQAN KATLVCLISD FYPGAVTVAW 150
 KADSSPVKAG VETTTPSKQS NNKYAASSYL SLTPEQNKSH RSYSCQVTHE 200
 GSTVEKTVAP TECS 214

Light chain / Chaîne légère / Cadena ligera (anti-TNFRSF9)
 DIVMTQSPSS LSASVGRDRT ITCQASEDIS SYLAWYQQKP GKAPKRLIYG 50
 ASDLASGVPS RFSASGSDT YFTTISLQF EDIATYICHY YATISGLGVA 100
 FGGGTKVEIK RTVAAPSVFI FPPSDEQLKS GTASVCLLN NFYPREAKVQ 150
 WKVDNALQSG NSQESVTEQC SKDSTYSLSS TLTLSKADYE KHKVYACEVT 200
 HQGLSSPVTK SFNRGEC 217

Post-translational modifications

Disulfide bridges location / Position des ponts disulfure / Posiciones de los puentes disulfuro

Intra-H (C23-C104) 22-96 148-204 265-325 371-429
 22^o-95^o 144^o-200^o 261^o-321^o 367^o-425^o

Intra-L (C23-C104) 22-87^m 136-195^m
 23^m-88^m 137^m-197^m

Inter-H-L (h 5-CL 126) 224-213^m 220^m-217^m

Inter-H-H (h 11, h 14) 230-226^m 233-229^m

N-glycosylation sites / Sites de N-glycosylation / Posiciones de N-glicosilación

H CH2 N84.4:

301, 297^m

Fucosylated complex bi-antennary CHO-type glycans / glycanes de type CHO bi-antennaires complexes fucosylés / glicanos de tipo CHO biantennarios complejos fucosilados

acavameranum #

acavameran

messenger RNA (mRNA), 5' capped, encoding tumour necrosis factor ligand superfamily member 4 (TNFSF4, OX40 ligand, OX40L, glycoprotein Gp34), flanked by 5' and 3' untranslated regions and a 3' polyA tail; contains N1-methylpseudouridine instead of uridine (*all-U*>*m*¹Ψ).

immunomodulator, antineoplastic

acavaméran

ARN messenger (ARNm), protégé par une coiffe en 5', codant le membre 4 de la superfamille des ligands du facteur de nécrose tumorale (TNFSF4; ligand OX40, OX40L, glycoprotéine Gp34), flanqué de régions non traduites en 5' et 3' et d'une queue polyA en 3'; contient de la N1-méthylpseudouridine au lieu de l'uridine (*all-U*>*m*¹Ψ).

immunomodulateur, antinéoplasique

acavamerán

RNA mensajero (mRNA), protegido en 5', que codifica para el miembro 4 de la superfamilia de ligandos del factor de necrosis tumoral (TNFSF4, ligando de OX40, OX40L, glicoproteína Gp34), flanqueado por regiones no traducidas en 5' y 3' y una cola polyA en 3'; contiene N1-metilpseudouridina en lugar de uridina (*all-U>m¹Ψ*).

inmunomodulador, antineoplásico

2159155-74-3

acazicolceptum #

acazicolcept

human inducible T-cell co-stimulator ligand (ICOS ligand) N-terminal fragment (1-122) (variant (N⁵²>H, N⁵⁷>Y, Q¹⁰⁰>R), fused via peptidyl linker ¹²³GGGSGGGGS¹³² to a human immunoglobulin G1 Fc fragment (133-363) variant (L¹⁵¹>A, L¹⁵²>E, G¹⁵⁴>A, C-terminal K³⁶⁴ deleted), dimer, glycosylated, produced in Chinese hamster ovary (CHO) cells; [N⁵²>H, N⁵⁷>Y, Q¹⁰⁰>R] human inducible T-cell co-stimulator ligand (ICOS ligand, ICOSL, CD275) N-terminal fragment (1-122) fused via a (G₄S)₂ linker (123-132) to a human immunoglobulin G1 C-terminal K>del Fc fragment (133-363) [*Homo sapiens*IGHG1*01; hinge 133-147; CH2 148-257 (L151A, L152E, G154A); CH3 258-362; CHS 363], dimer (143-143':146-146')-bisdisulfide, produced in Chinese hamster ovary (CHO) cells, glycoform alfa
immunomodulador

acazicolcept

fragment N-terminal (1-122) du ligand costimulateur de la cellule T inductible humaine (ligand ICOS) (variant (N⁵²>H, N⁵⁷>Y, Q¹⁰⁰>R), fusionné via un linker peptidique ¹²³GGGSGGGGS¹³² à un fragment Fc (133-363) de l'immunoglobuline G1 humaine, variant (L¹⁵¹>A, L¹⁵²>E, G¹⁵⁴>A, C-terminal K³⁶⁴ supprimé), dimère, glycosylé, produit dans des cellules ovariennes de hamster chinois (CHO); fragment N-terminal (1-122) du ligand costimulateur de la cellule T inductible humaine (ligand d'ICOS, ICOSL, CD275) [N⁵²>H, N⁵⁷>Y, Q¹⁰⁰>R] fusionné via un linker (G₄S)₂ (123-132) au fragment Fc (133-363) C-terminal K>del de l'immunoglobuline G1 humaine [*Homo sapiens*IGHG1*01; charnière 133-147; CH2 148-257 (L151A, L152E, G154A); CH3 258-362; CHS 363], dimère (143-143':146-146')-bisdisulfure, produit dans des cellules ovariennes de hamster chinois (CHO), glycoforme alfa
immunomodulateur

acazicolcept

ligando coestimulador de las células T inducible humano (ligando ICOS) fragmento N-terminal (1-122) (variante (N⁵²>H, N⁵⁷>Y, Q¹⁰⁰>R), fusionado a través de un enlace peptidil ¹²³GGGGSGGGGS¹³² al fragmento de una inmunoglobulina humana G1 Fc (133-363) variante (L¹⁵¹>A, L¹⁵²>E, G¹⁵⁴>A, C-terminal K³⁶⁴ eliminada), dímero, glicosilado, producido en células ováricas de hámster chino (CHO); [N⁵²>H, N⁵⁷>Y, Q¹⁰⁰>R] ligando humano de coestimulador inducible de células T (ligando de ICOS, ICOSL, CD275), fragmento N-terminal (1-122), fusionado a través de un péptido (G₄S)₂ (123-132) con un fragmento Fc C-terminal K>del de la inmunoglobulina G1 humana (133-363) [*Homo sapiens* IGHG1*01; bisagra 133-147; CH2 148-257 (L151A, L152E, G154A); CH3 258-362; CHS 363], dímero (143-143':146-146')-bisdisulfuro, producido en células ováricas de hámster chino (CHO), glicoforma alfa *inmunomodulador*

2270247-50-0

Sequence / Séquence / Secuencia

```
DTQKEVVRAM VGSDELSCA CPEGSRFDLN DVYVYWTSE SKTVVYTHIP 50
QHSLEEVDS RYRNRAIMSP AGMLRGDFSL RLFNVTPODE QKFHCLVLSR 100
SLGFQEVLSV EYTLHVAAMF SVGGGSGGGG GSEPKSSDKT HTCPCCPAPE 150
AEGAPSVFLF PPKPKDTLMI SRLTEVTQV VDVSHEDPEV KFNWYVDGVE 200
VHNARTKPRE EQYNSTYRVV SVLTVLHQDW LNGKEYCKV SNKALPAIE 250
KTISKARQQP REPOVYTLPP SRDELTKQV SLTCLVKGFY PSDIAVEMES 300
NGQPENNYKT TFPVLDSDGS FFLYSKLTVD KSRWQQGVF SCSVMHEALH 350
NHYTQKLSL SPG 363
```

Mutation sites / Sites de mutation / Posiciones de mutación

N52, N52>H, N57, N57>Y, Q100, Q100>R, L151, L151>A, L152, L152>E, G154, G154>A, K364, K364>del

Post-translational modifications

Disulfide bridges location / Position des ponts disulfure / Posición del puentes disulfuro
 intra-ICOSL 19-95 intra-Fc 178-238 284-342
 19'-95' 178'-238' 284'-342'
 inter-Fc 143-143' 146-146'

Glycosylation sites / Sites de glycosylation / Posiciones de glicosilación

ICOSL: N84, N119, N84', N119';
 Fc: N214, N214'

acidum idroxioleicum

idroxioleic acid

rac-(2*R*,9*Z*)-2-hydroxyoctadec-9-enoic acid
sphingomyelin synthase activator, antineoplastic

acide idroxioleïque

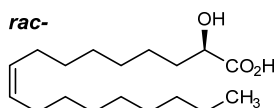
acide *rac*-(2*R*,9*Z*)-2-hydroxyoctadéc-9-énoïque
activateur de la synthase de la sphingomyéline, antinéoplasique

ácido idroxioleico

ácido *rac*-(2*R*,9*Z*)-2-hidroioctadec-9-enoico
activador de esfingomielina sintasa, antineoplásico

C₁₈H₃₄O₃

56472-29-8



adagrasibum

adagrasib

{{(2S)-4-[7-(8-chloronaphthalen-1-yl)-2-{{(2S)-1-methylpyrrolidin-2-yl}methoxy}-5,6,7,8-tetrahydropyrido[3,4-d]pyrimidin-4-yl]-1-(2-fluoroprop-2-enoyl)piperazin-2-yl}acetonitrile
rat sarcoma viral oncogene homolog (KRAS) inhibitor, antineoplastic

adagrasib

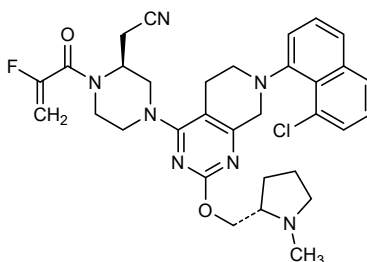
{{(2S)-4-[7-(8-chloronaphthalén-1-yl)-2-{{(2S)-1-méthylpyrrolidin-2-yl}méthoxy}-5,6,7,8-tétrahydropyrido[3,4-d]pyrimidin-4-yl]-1-(2-fluoroprop-2-énoyl)pipérazin-2-yl}acétonitrile
inhibiteur de l'homologue de l'oncogène du virus du sarcome du rat (KRAS), antinéoplasique

adagrasib

{{(2S)-4-[7-(8-cloronaftalen-1-il)-2-{{(2S)-1-metilpirrolidin-2-il}metoxi}-5,6,7,8-tetrahidropirido[3,4-d]pirimidin-4-il]-1-(2-fluoroprop-2-enoil)piperazin-2-il}acetonitrilo
inhibidor homólogo del oncogén del virus del sarcoma de rata (KRAS), antineoplásico

C₃₂H₃₅ClFN₇O₂

2326521-71-3

**adezmapimodum**

adezmapimod

rac-4-[5-(4-fluorophenyl)-2-{4-[(*R*)-methanesulfinyl]phenyl}-1*H*-imidazol-4-yl]pyridine
immunomodulator

adezmapimod

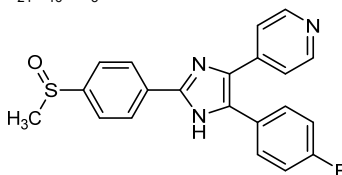
rac-4-[5-(4-fluorophényl)-2-{4-[(*R*)-méthanesulfinyl]phényl}-1*H*-imidazol-4-yl]pyridine
immunomodulateur

adezmapimod

rac-4-[5-(4-fluorofenil)-2-{4-[(*R*)-metanosulfinil]fenil}-1*H*-imidazol-4-il]piridina
inmunomodulador

C₂₁H₁₆FN₃OS

152121-47-6



aficantenum

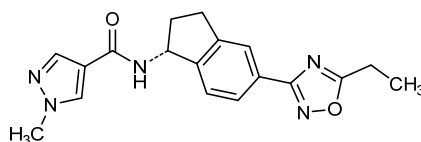
aficamten *N*-[(1*R*)-5-(5-ethyl-1,2,4-oxadiazol-3-yl)-2,3-dihydro-1*H*-inden-1-yl]-1-methyl-1*H*-pyrazole-4-carboxamide
cardiac myosin allosteric inhibitor

aficamtène *N*-[(1*R*)-5-(5-éthyl-1,2,4-oxadiazol-3-yl)-2,3-dihydro-1*H*-indén-1-yl]-1-méthyl-1*H*-pyrazole-4-carboxamide
inhibiteur allostérique de la myosine cardiaque

aficamten *N*-[(1*R*)-5-(5-etil-1,2,4-oxadiazol-3-il)-2,3-dihidro-1*H*-inden-1-il]-1-metil-1*H*-pirazol-4-carboxamida
inhibidor alostérico de la miosina cardíaca

C₁₈H₁₉N₅O₂

2364554-48-1

**afimotoranum**

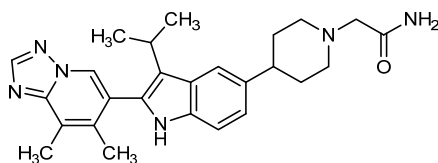
afimetrozan 2-{4-[2-(7,8-dimethyl[1,2,4]triazolo[1,5-*a*]pyridin-6-yl)-3-(propan-2-yl)-1*H*-indol-5-yl]piperidin-1-yl}acetamide
toll-like receptor antagonist, immunomodulator

afimétozan 2-{4-[2-(7,8-diméthyl[1,2,4]triazolo[1,5-*a*]pyridin-6-yl)-3-(propan-2-yl)-1*H*-indol-5-yl]pipéridin-1-yl}acétamide
antagoniste des récepteurs de type toll, immunomodulateur

afimetroán 2-{4-[2-(7,8-dimetil[1,2,4]triazolo[1,5-*a*]piridin-6-il)-3-(propan-2-il)-1*H*-indol-5-il]piperidin-1-il}acetamida
antagonista de los receptores de tipo toll, inmunomodulador

C₂₆H₃₂N₆O

2171019-55-7

**alomfilimabum #**

alomfilimab

immunoglobulin G1-kappa, anti-[*Homo sapiens* ICOS (inducible T-cell costimulatory, activation-inducible lymphocyte immunomediatory molecule, AILIM, CD278)], *Homo sapiens* monoclonal antibody; gamma1 heavy chain *Homo sapiens* (1-454) [VH (*Homo sapiens* IGHV3-20*04 (94.9%) -(IGHD) -IGHJ4*01 (92.9%) T122>I (118)) CDR-IMGT [8.8.17] (26-33.51-58.97-113) (1-124) -*Homo sapiens* IGHG1*01 (100%), G1m17,1 (CH1 K120 (221) (125-222), hinge 1-15 (223-237), CH2 (238-347), CH3 D12 (363), L14 (365) (348-452), CHS (453-454)) (125-454)], (227-215')-disulfide with kappa light chain *Homo sapiens* (1'-215') [V-KAPPA (*Homo sapiens* IGKV3-20*01 (92.7%) -IGKJ3*01 (100%)) CDR-IMGT [7.3.9] (27-33.51-53.90-98) (1'-108') -*Homo sapiens* IGKC*01 (100%) Km3 A45.1 (154), V101 (192) (109'-215')]; dimer (233-233":236-236")-bisdisulfide, produced in Chinese hamster ovary (CHO) cells, glycoform alfa
immunomodulator, antineoplastic

- alomfilimab** immunoglobuline G1-kappa, anti-[*Homo sapiens* ICOS (costimulateur inducible du lymphocyte T, molécule immunomédiateur lymphocytaire inducible par activation, AILIM, CD278)], anticorps monoclonal *Homo sapiens*;
chaîne lourde gamma1 *Homo sapiens* (1-454) [VH (*Homo sapiens* IGHV3-20*04 (94.9%) -(IGHD) -IGHJ4*01 (92.9%) T122>I (118)) CDR-IMGT [8.8.17] (26-33.51-58.97-113) (1-124) -*Homo sapiens* IGHG1*01 (100%), G1m17,1 (CH1 K120 (221) (125-222), charnière 1-15 (223-237), CH2 (238-347), CH3 D12 (363), L14 (365) (348-452), CHS (453-454)) (125-454)], (227-215')-disulfure avec la chaîne légère kappa *Homo sapiens* (1'-215') [V-KAPPA (*Homo sapiens* IGKV3-20*01 (92.7%) -IGKJ3*01 (100%)) CDR-IMGT [7.3.9] (27-33.51-53.90-98) (1'-108') -*Homo sapiens* IGKC*01 (100%) Km3 A45.1 (154), V101 (192) (109'-215')]; dimère (233-233":236-236")-bisdisulfure, produit dans des cellules ovariennes de hamster chinois (CHO), glycoforme alfa immunomodulateur, antinéoplasique
- alomfilimab** inmunoglobulina G1-kappa, anti-[*Homo sapiens* ICOS (coestimulador inducible del linfocito T, molécula inmunomediadora linfocitaria inducible por activación, AILIM, CD278)], anticuerpo monoclonal *Homo sapiens*;
cadena pesada gamma1 *Homo sapiens* (1-454) [VH (*Homo sapiens* IGHV3-20*04 (94.9%) -(IGHD) -IGHJ4*01 (92.9%) T122>I (118)) CDR-IMGT [8.8.17] (26-33.51-58.97-113) (1-124) -*Homo sapiens* IGHG1*01 (100%), G1m17,1 (CH1 K120 (221) (125-222), bisagra 1-15 (223-237), CH2 (238-347), CH3 D12 (363), L14 (365) (348-452), CHS (453-454)) (125-454)], (227-215')-disulfuro con la cadena ligera kappa *Homo sapiens* (1'-215') [V-KAPPA (*Homo sapiens* IGKV3-20*01 (92.7%) -IGKJ3*01 (100%)) CDR-IMGT [7.3.9] (27-33.51-53.90-98) (1'-108') -*Homo sapiens* IGKC*01 (100%) Km3 A45.1 (154), V101 (192) (109'-215')]; dímero (233-233":236-236")-bisdisulfuro, producido en las células ováricas de hámster chino (CHO), forma glicosilada alfa immunomodulador, antineoplásico

2378692-24-9

Heavy chain / Chaîne lourde / Cadena pesada

EVQLVESGGG	VVRPGGSLRL	SCVASGVTFD	DYGMWSVRQA	PGKLEWVSG	50
INWNGDITDY	SDSVKGRFTI	SRDNARNSLY	LQMNLSRAED	TALYICARDF	100
YSGSGSYHVP	FDYWGQGILV	TVSSASTKGP	SVFFLAPSSK	STSGGTAALG	150
CLVKDYFPEP	VTVSWNSGAL	TSGVHTFPAV	LQSSGLYSLS	SVVTVPSSSL	200
GTQYTCNVN	HKFSNTKVDK	KVEPKSCDKT	HTCPPCPAPE	LLGGPSVFLF	250
PPPKDITLMI	SRTPEVTCVV	VDSHEDPEV	KFNWYVDGVE	VHNARTKPFRE	300
EQYNSTYRVV	SVLTVLHQDW	LNGKEYKCKV	SNKALPAPIE	RTISKARKGQP	350
EPQVNTYTLPP	SRDELTKNQV	SLTCLVKGIFY	PSDIAVEWES	NGQPENNYKT	400
TPPVLDSDGS	FFLYSKLTVD	KSRWQQGNVF	SCSVMHEALH	NHYTQKLSLSL	450
SPGK					454

Light chain / Chaîne légère / Cadena ligera

EIVLTQSPGT	LSLSPGERAT	LSCRASQSVS	RSYLAWYQQK	RGOAPRLLIY	50
GASSRATGIP	DRFSGDGGST	DFTLSISRLE	PEDFAVYYCH	QYDMSPTTFG	100
PGTKVDIKRT	VAAPSVFIFP	PSDEQLKSGT	ASVVCLLNPF	YPREAKVQWK	150
VDNALQSGNS	QESVTEQDSK	DSTYLSSTL	TLSKADYEKH	KVYACEVTHQ	200
GLSSPVTKSF	NRGEC				215

Post-translational modifications

Disulfide bridges location / Position des ponts disulfure / Posiciones de los puentes disulfuro

Intra-H (C23-C104)	22"-96	151"-207	268"-328	374"-432
	22"-96"	151"-207"	268"-328"	374"-432"

Intra-L (C23-C104)	23"-89"	135"-195"
	23"-89"	135"-195"

Inter-H-L (h 5-CL 126)	227"-215"	227"-215"
------------------------	-----------	-----------

Inter-H-H (h 11, h 14)	233"-233"	236"-236"
------------------------	-----------	-----------

N-glycosylation sites / Sites de N-glycosylation / Posiciones de N-glicosilación

H CH2 N84.4:

304, 304"

Fucosylated complex bi-antennary CHO-type glycans / glycanes de type CHO bi-antennaires complexes fucosylés / glicanos de tipo CHO biantennarios complejos fucosilados.

C-terminal lysine clipping / Coupure de la lysine C-terminale / Recorte de lisina C-terminal

H CHS K2:

454, 454"

amlitelimabum #

amlitelimab

immunoglobulin G4-kappa, anti-[*Homo sapiens* TNFSF4 (tumor necrosis factor (TNF) superfamily member 4, OX40 ligand, OX-40L, TAX transcriptionally-activated glycoprotein 1, TXGP1, CD252)], monoclonal antibody; gamma4 heavy chain (1-454) [VH (*Homo sapiens* IGHV3-23*04 (89.8%) -(IGHD) -IGHJ6*01 (100%)) CDR-IMGT [8.8.20] (26-33.51-58.97-116) (1-127)-*Homo sapiens* IGHG4*01, G4v5 h P10, G4v3 E1.2 (CH1 (128-225), hinge 1-12 S10>P (235) (226-237), CH2 L1.2>E (242) (238-347), CH3 (348-452), CHS (453-454)) (128-454)], (210-214')-disulfide with kappa light chain (1'-214') [V-KAPPA (*Homo sapiens* IGKV1-39*01 (96.8%) -IGKJ3*01 (100%)) CDR-IMGT [6.3.9] (27-32.50-52.89-97) (1'-107') -*Homo sapiens* IGKC*01 (100%), Km3 A45.1 (153), V101 (191) (108'-214')]; dimer (233-233":236-236")-bisdisulfide, produced in Chinese hamster ovary (CHO) cells, glycoform alfa
immunomodulator

amlitélimab

immunoglobuline G4-kappa, anti-[*Homo sapiens* TNFSF4 (membre 4 de la superfamille des ligands du facteur de nécrose tumorale, ligand de OX40, OX40L, glycoprotéine 1 activée transcriptionnellement par TAX, TXGP1, CD252)], anticorps monoclonal; chaîne lourde gamma4 (1-454) [VH (*Homo sapiens* IGHV3-23*04 (89.8%) -(IGHD) -IGHJ6*01 (100%)) CDR-IMGT [8.8.20] (26-33.51-58.97-116) (1-127)-*Homo sapiens* IGHG4*01, G4v5 h P10, G4v3 E1.2 (CH1 (128-225), charnière 1-12 S10>P (235) (226-237), CH2 L1.2>E (242) (238-347), CH3 (348-452), CHS (453-454)) (128-454)], (210-214')-disulfure avec la chaîne légère kappa (1'-214') [V-KAPPA (*Homo sapiens* IGKV1-39*01 (96.8%) -IGKJ3*01 (100%)) CDR-IMGT [6.3.9] (27-32.50-52.89-97) (1'-107') -*Homo sapiens* IGKC*01 (100%), Km3 A45.1 (153), V101 (191) (108'-214')]; dimère (233-233":236-236")-bisdisulfure, produit dans des cellules ovariennes de hamster chinois (CHO), glycoforme alfa
immunomodulateur

amlitelimab

immunoglobulina G4-kappa, anti-[*Homo sapiens* TNFSF4 (miembro 4 de la superfamilia de los ligandos del factor de necrosis tumoral, ligando de OX40, OX40L, glicoproteína 1 activada transcripcionalmente por TAX, TXGP1, CD252)], anticuerpo monoclonal; cadena pesada gamma4 (1-454) [VH (*Homo sapiens* IGHV3-23*04 (89.8%) -(IGHD) -IGHJ6*01 (100%)) CDR-IMGT [8.8.20] (26-33.51-58.97-116) (1-127)-*Homo sapiens* IGHG4*01, G4v5 h P10, G4v3 E1.2 (CH1 (128-225), bisagra 1-12 S10>P (235) (226-237), CH2 L1.2>E (242) (238-347), CH3 (348-452), CHS (453-454)) (128-454)], (210-214')-disulfuro con la cadena ligera kappa (1'-214') [V-KAPPA (*Homo sapiens* IGKV1-39*01 (96.8%) -IGKJ3*01 (100%)) CDR-IMGT [6.3.9] (27-32.50-52.89-97) (1'-107') -*Homo sapiens* IGKC*01 (100%), Km3 A45.1 (153), V101 (191) (108'-214')]; dímero (233-233":236-236")-bisdisulfuro, producido en las células ováricas de hámster chino (CHO), forma glicosilada alfa
immunomodulador

2378692-15-8

Heavy chain / Chaîne lourde / Cadena pesada

EVQLVESGGG	LVQPFGSRLR	SCAASGFTFS	NYAMNWRQA	PGKLEWVST	50
ISGSGGATRY	ADSVKGRFTI	SRDNSRNTVY	LQMNLSRVED	TAVFYCTKDR	100
LIMATVIRGPI	YGMVDVWGQG	TTVTVSSAST	KGPSVFPLAP	CSRSTSESTA	150
ALGCLVKDYF	PEFVTVSWNS	GALTSQVHTF	PAVLQSSGLY	SLSSVTVTPS	200
SSLTGKTYTC	NVDHKFSTNK	VDKRVEKYG	PPCPPEAPE	FEGGPSVLEF	250
PPKPKDTLMI	SRTPEVTCVY	VDSQEDPEV	QFNWYDVGVE	VHNAKTKPRE	300
EQFNSTYRVV	SVLTVLHQDW	LNKKEYKCKV	SNKGLPSSIE	RTISKAKGQP	350
REPQVYTLFP	SQEMTKNQV	SLTCLVKGFE	PSDIAVENES	NGQPENNYKT	400
TPPVLDSGGS	FFLYSRITVD	KSRWQEGNVF	SCSVMHEALH	NHYTQKSLSL	450
SLGK					454

Light chain / Chaîne légère / Cadena ligera

DIQMTQSPSS	LSASVGRVIT	ITCRASQGIS	SYLNWYQQKPK	KGAPNLLIYA	50
ASSLQSGVPS	RFGSGSETD	FTLTISLQIP	EDFATYYCQQ	SHSVSFTFGP	100
GTKVDIKRIT	AAPSVFIAPP	SDEQLKSGTA	SVVCLLNNFY	PREAKVQMKV	150
DNALQSGNSQ	ESVTEQDSKD	STYSLSLTIT	LSKADYERHK	YVACEVTHQG	200
LSSPVTRKSFN	RGEC				214

Post-translational modifications

Disulfide bridges location / Position des ponts disulfure / Posiciones de los puentes disulfuro

Intra-H (C23-C104)	22-96	154-210	268-328	374-432
	22"-96"	154"-210"	268"-328"	374"-432"
Intra-L (C23-C104)	23-88"	134-194"		
	23"-88"	134"-194"		

Inter-H-L (CH1 10-CL 126)	141-214"	141"-214"		
Inter-H-H (h 8, h 11)	233-233"	236-236"		

N-glycosylation sites / Sites de N-glycosylation / Posiciones de N-glicosilación

H CH2 N84.4:

304, 304"

Fucosylated complex bi-antennary CHO-type glycans / glycanes de type CHO bi-antennaires complexes fucosylés / glicanos de tipo CHO biantennarios complejos fucosilados.

C-terminal lysine clipping / Coupure de la lysine C-terminale / Recorte de lisina C-terminal

H CHS K2:

454, 454"

anbenitamabum #
anbenitamab

immunoglobulin G1-kappa, anti-[*Homo sapiens* ERBB2 (epidermal growth factor receptor 2, receptor tyrosine protein kinase erbB-2, EGFR2, HER2, HER-2, p185cerbB2, NEU, CD340)], humanized monoclonal antibody, biparatopic, tetravalent; gamma1 heavy chain anti-ERBB2 domain II humanized (1-449) [VH anti-ERBB2 domain II (*Homo sapiens* IGHV3-66*01 (78.8%) -(IGHD) -IGHJ4*01 (100%)) CDR-IMGT [8.8.12] (26-33.51-58.97-108) (1-119) -*Homo sapiens* IGHG1*01, G1m7,1, G1v32 CH3 W22 (CH1 K120 (217) (120-217), hinge 1-15 (218-232), CH2 (233-342), CH3 D12 (358), L14 (360), T22>W (368), K88>A (411) (343-447), CHS (448-449)) (120-449)], (222-214')-disulfide with kappa light chain anti-ERBB2 humanized (1'-214') [V-KAPPA anti-ERBB2 humanized (*Homo sapiens* IGKV1-39*01 (86.3%) -IGKJ1*01 (100%)) CDR-IMGT [6.3.9] (27-32.50-52.89-97) (1'-107') -*Homo sapiens* IGKC*01 (100%), Km3 A45.1 (153), V101 (194) (108'-214')]; gamma1 heavy chain anti-ERBB2 domain IV humanized (1"-450") [VH anti-ERBB2 domain IV (*Homo sapiens* IGHV3-66*01 (81.6%) -(IGHD) -IGHJ4*01 (100%)) CDR-IMGT [8.8.13] (26-33.51-58.97-109) (1"-120") -*Homo sapiens* IGHG1*01, G1m7,1, G1v33 CH3 S22, A24, V86 (CH1 K120 (217) (121"-218"), hinge 1-15 (219"-233"), CH2 (234"-343"), CH3 D12 (359), L14 (361) T22>S (369), L24>A (371), F85.1>K (408), Y86>V (410) (344"-448"), CHS (449"-450")) (121"-450")], (223"-214"")-disulfide with kappa light chain anti-ERBB2 humanized (1""-214""') [V-KAPPA anti-ERBB2 humanized (*Homo sapiens* IGKV1-39*01 (86.3%) -IGKJ1*01 (100%)) CDR-IMGT [6.3.9] (27-32.50-52.89-97) (1""-107""') -*Homo sapiens* IGKC*01 (100%), Km3 A45.1 (153), V101 (194) (108""-214""')]; dimer (228-229":231-232")-bisdisulfide, produced in Chinese hamster ovary (CHO) cells, glycoform alfa immunomodulator, antineoplastic

anbénitamab

immunoglobuline G1-kappa, anti-[*Homo sapiens* ERBB2 (récepteur 2 du facteur de croissance épidermique, récepteur tyrosine-protéine kinase erbB2, EGFR2, HER2, HER-2, p185c-erbB2, NEU, CD340)], anticorps monoclonal humanisé, biparatopique, tétravalent;

cadena pesada gamma1 anti-ERBB2 dominio II humanizada (1-449) [VH anti-ERBB2 dominio II (*Homo sapiens* IGHV3-66*01 (78.8%) -(IGHD) -IGHJ4*01 (100%)) CDR-IMGT [8.8.12] (26-33.51-58.97-108) (1-119) -*Homo sapiens* IGHG1*01, G1m7,1, G1v32 CH3 W22 (CH1 K120 (217) (120-217), charnière 1-15 (218-232), CH2 (233-342), CH3 D12 (358), L14 (360), T22>W (368), K88>A (411) (343-447), CHS (448-449)) (120-449)], (222-214')-disulfuro avec la chaîne légère lambda anti-ERBB2 humanisée (1'-214') [V-KAPPA anti-ERBB2 (*Homo sapiens* IGKV1-39*01 (86.3%) -IGKJ1*01 (100%)) CDR-IMGT [6.3.9] (27-32.50-52.89-97) (1'-107') -*Homo sapiens* IGKC*01 (100%), Km3 A45.1 (153), V101 (194) (108'-214')];

cadena pesada gamma1 anti-ERBB2 dominio IV humanizada (1"-450") [VH anti-ERBB2 dominio IV (*Homo sapiens* IGHV3-66*01 (81.6%) - (IGHD) -IGHJ4*01 (100%)) CDR-IMGT [8.8.13] (26-33.51-58.97-109) (1"-120") -*Homo sapiens* IGHG1*01, G1m7,1, G1v33 CH3 S22, A24, V86 (CH1 K120 (217) (121"-218"), charnière 1-15 (219"-233"), CH2 (234"-343"), CH3 D12 (359), L14 (361) T22>S (369), L24>A (371), F85.1>K (408), Y86>V (410) (344"-448"), CHS (449"-450")) (121"-450")], (223"-214'")-disulfuro avec la chaîne légère kappa anti-ERBB2 humanisée (1'"-214'") [V-KAPPA anti-ERBB2 (*Homo sapiens* IGKV1-39*01 (86.3%) -IGKJ1*01 (100%)) CDR-IMGT [6.3.9] (27-32.50-52.89-97) (1'"-107'") -*Homo sapiens* IGKC*01 (100%), Km3 A45.1 (153), V101 (194) (108'"-214'")]; dimère (228-229":231-232'")-bisdisulfuro, produit dans des cellules ovariennes de hamster chinois (CHO), glycoforme alfa immunomodulateur, antinéoplasique

anbenitamab

immunoglobulina G1-kappa, anti-[*Homo sapiens* ERBB2 (receptor 2 del factor de crecimiento epidérmico, receptor tirosina-proteína quinasa erbB2, EGFR2, HER2, HER-2, p185c-erbB2, NEU, CD340)], anticuerpo monoclonal humanizado, biparatópico, tetravalente;

cadena pesada gamma1 anti-ERBB2 dominio II humanizada (1-449) [VH anti-ERBB2 dominio II (*Homo sapiens* IGHV3-66*01 (78.8%) -(IGHD) -IGHJ4*01 (100%)) CDR-IMGT [8.8.12] (26-33.51-58.97-108) (1-119) -*Homo sapiens* IGHG1*01, G1m7,1, G1v32 CH3 W22 (CH1 K120 (217) (120-217), bisagra 1-15 (218-232), CH2 (233-342), CH3 D12 (358), L14 (360), T22>W (368), K88>A (411) (343-447), CHS (448-449)) (120-449)], (222-214')-disulfuro con la cadena ligera lambda anti-ERBB2 humanizada (1'-214') [V-KAPPA anti-ERBB2 (*Homo sapiens* IGKV1-39*01 (86.3%) -IGKJ1*01 (100%)) CDR-IMGT [6.3.9] (27-32.50-52.89-97) (1'-107') -*Homo sapiens* IGKC*01 (100%), Km3 A45.1 (153), V101 (194) (108'-214')];

cadena pesada gamma1 anti-ERBB2 dominio IV humanizada (1"-450") [VH anti-ERBB2 dominio IV (*Homo sapiens* IGHV3-66*01 (81.6%) - (IGHD) -IGHJ4*01 (100%)) CDR-IMGT [8.8.13] (26-33.51-58.97-109) (1"-120") -*Homo sapiens* IGHG1*01, G1m7,1, G1v33 CH3 S22, A24, V86 (CH1 K120 (217) (121"-218"), bisagra 1-15 (219"-233"), CH2 (234"-343"), CH3 D12 (359), L14 (361) T22>S (369), L24>A (371), F85.1>K (408), Y86>V (410) (344"-448"), CHS (449"-450")) (121"-450")], (223"-214'")-disulfuro con la cadena ligera kappa anti-ERBB2 humanizada (1'"-214'") [V-KAPPA anti-ERBB2 (*Homo sapiens* IGKV1-39*01 (86.3%) -IGKJ1*01 (100%)) CDR-IMGT [6.3.9] (27-32.50-52.89-97) (1'"-107'") -*Homo sapiens* IGKC*01 (100%), Km3 A45.1 (153), V101 (194) (108'"-214'")]; dímero (228-229":231-232'")-bisdisulfuro, producido en las células ováricas de hámster chino (CHO), forma glicosilada alfa immunomodulador, antineoplásico

2367012-88-0

Heavy chain / Chaîne lourde / Cadena pesada (anti-ERBB2 domain II)

EVQLVESGGG	LVQPGGSLRL	SCAASGFNFK	DYTHHWVRQA	PGKGLEWVAD	50
VNPNSSGSIY	NQRFKGRFTI	SVDRSKNTLY	LQMNSLRAED	TAVYYCARNL	100
GPSFYFDYWG	QGTLLVTSSA	STKGPSVFFL	APSSKSTSGG	TAALGCLVKD	150
YFPEPVTVSW	NSGALTSQVH	TFPAVLQSSG	LYSLSSVVTV	PSSSLGQTQY	200
ICNVNHHKPSN	TKVDKKEVEK	SCDRTHTCPP	CPAPELLGGP	SVFLFPPKPK	250
DTLMSIRTPV	VTCVVVDVSH	EDPEVKFNWY	VDGVEVHNAK	TKPREEQVNS	300
TYRIVSVLTV	LHQDWLNGKE	YKCKVSNKAL	PAPIEKTISK	KAGQPREPOV	350
YTLPPSRDEL	TKNQVSLWCL	VKGFPYSDIA	VEWESNGQPE	NNYKTTTPVL	400
DSGDSFFLYS	ALTVDKSRWQ	QGNVFCSCVM	HEALHNHYTQ	KSLSLSPGK	449

Heavy chain / Chaîne lourde / Cadena pesada (anti-ERBB2 domain IV)

EVQLVESGGG	LVQPGGSLRL	SCAASGFNFK	DYTHHWVRQA	PGKGLEWVAR	50
IYPTNGYTRY	ADSVKGRFTI	SADTSKNATY	LQMNSLRAED	TAVYYCSRWG	100
GDGFYAMDYW	QGTLLVTSSA	ASTKGPSVFFL	LAPSSKSTSG	GTAAALGCLVK	150
DYFPEPVTVS	WNSGALTSQV	HTFPAVLQSS	GLYSLSSVVT	VPSSSLGQTQ	200
YICNVNHHKPS	NTKVDKKEVEK	KSCDKTHTCPP	PCPAPELLGG	PSVFLFPPKPK	250
KDTLMSIRTPV	EVTVCVVVDVSH	EDPEVKFNWY	VDGVEVHNAK	KTKPREEQVNS	300
STYRIVSVLTV	VLHQDWLNGKE	EYKCKVSNKAL	LPAPIEKTISK	KARGQPREPOV	350
VYTLPPSRDEL	LTKNQVSLWCL	AVKGFYPSDI	AVEWESNGQPE	ENNYKTTTPPV	400
LDSGDSFFLYS	SKLTVDKSRW	QQGNVFCSCV	MHEALHNHYT	QKSLSLSPGK	450

Light chain / Chaîne légère / Cadena ligera (anti-ERBB2)

DIQMTQSPSS	LSASVGDRTV	ITCRASQDVN	TAVAWYQQKQ	GKAPKLLIYS	50
ASFLYSGVPS	RFSGSRSGTD	FTLTISLQPE	EDFATYYCQQ	HYTTPPTFGQ	100
GTKVEIKRTV	AAFSVFIFFP	SDEQLKSGTA	SVVCLLNIFY	PREAKVQWVKV	150
DNALQSGNSQ	ESVTEQDSKD	STYLSLSTLT	LKADYERHK	YACEVTHQG	200
LSSPVTKSPN	RGEC				214

Post-translational modifications
Disulfide bridges location / Position des ponts disulfure / Posiciones de los puentes disulfuro

Intra-H (C23-C104)	22"-96"	146"-202"	263"-323"	369"-427"
	22"-96"	147"-203"	264"-324"	370"-428"
Intra-L (C23-C104)	23"-88"	134"-194"		
	23"-88"	134"-194"		
Inter-H-L (h 5-CL 126)	222"-214"	223"-214"		
Inter-H-H (h 11, h 14)	228"-229"	231"-232"		

N-glycosylation sites / Sites de N-glycosylation / Posiciones de N-glicosilación
H CH2 N84.4:
299, 300"

Fucosylated complex bi-antennary CHO-type glycans / glycanes de type CHO bi-antennaires complexes fucosylés / glicanos de tipo CHO biantennarios complejos fucosilados

C-terminal lysine clipping / Coupeure de la lysine C-terminale / Recorte de lisina C-terminale
H CHS K2:
449, 450"

ansuvimabum #
ansuvimab

immunoglobulin G1-kappa, anti-[*Zaire ebolavirus* (Zaire Ebola virus (EBOV)) envelope glycoprotein subunit 1 (GP1) glycan cap], monoclonal antibody;
gamma1 heavy chain (1-449) [VH (*Homo sapiens*IGHV3-13*01 (78.4%) -(IGHD) -IGHJ5*01 (92.9%) T122>I (113)) CDR-IMGT [8.7.13] (26-33.51-57.96-108) (1-119) -*Homo sapiens*IGHG1*01 (100%) G1m17,1 (CH1 K120 (216) (120-217), hinge 1-15 (218-232), CH2 (233-342), CH3 D12 (358), L14 (360) (343-447), CHS (448-449)) (120-449)], (222-214')-disulfide with kappa light chain (1'-214') [V-KAPPA (*Homo sapiens*IGKV1-27*01 (87.4%) -IGKJ4*01 (100%)) CDR-IMGT [6.3.9] (27-32.50-52.89-97) (1'-107') -*Homo sapiens*IGKC*01 (100%), Km3 A45.1 (153), V101 (191) (108'-214')]; dimer (228-228":231-231")-bisdisulfide, produced in a Chinese hamster ovary (CHO)-DG44 cell line, glycoform alfa
antiviral

ansuvimab

immunoglobuline G1-kappa, anti-[coiffe glycosylée de la sous-unité de la glycoprotéine d'enveloppe (GP1) de *Zaire ebolavirus* (virus Ebola Zaire (EBOV))], anticorps monoclonal;

	<p>chaîne lourde gamma1 (1-449) [VH (<i>Homo sapiens</i> IGHV3-13*01 (78.4%) -(IGHD) -IGHJ5*01 (92.9%) T122>I (113)) CDR-IMGT [8.7.13] (26-33.51-57.96-108) (1-119) -<i>Homo sapiens</i> IGHG1*01 (100%) G1m17,1 (CH1 K120 (216) (120-217), charnière 1-15 (218-232), CH2 (233-342), CH3 D12 (358), L14 (360) (343-447), CHS (448-449)) (120-449)], (222-214')-disulfure avec la chaîne légère kappa (1'-214') [V-KAPPA (<i>Homo sapiens</i> IGKV1-27*01 (87.4%) -IGKJ4*01 (100%)) CDR-IMGT [6.3.9] (27-32.50-52.89-97) (1'-107') -<i>Homo sapiens</i> IGKC*01 (100%), Km3 A45.1 (153), V101 (191) (108'-214')]; dimère (228-228":231-231")-bisdisulfure, produit dans des cellules ovariennes de hamster chinois (CHO) lignée cellulaire CHO-DG44, glycoforme alfa</p> <p>antiviral</p>
ansuvimab	<p>inmunoglobulina G1-kappa, anti-[cubierta glicosilada de la subunidad 1 de la glicoproteína de envoltura (GP1) de <i>Zaire ebolavirus</i> (virus Ebola Zaïre (EBOV))], anticuerpo monoclonal;</p> <p>cadena pesada gamma1 (1-449) [VH (<i>Homo sapiens</i> IGHV3-13*01 (78.4%) -(IGHD) -IGHJ5*01 (92.9%) T122>I (113)) CDR-IMGT [8.7.13] (26-33.51-57.96-108) (1-119) -<i>Homo sapiens</i> IGHG1*01 (100%) G1m17,1 (CH1 K120 (216) (120-217), bisagra 1-15 (218-232), CH2 (233-342), CH3 D12 (358), L14 (360) (343-447), CHS (448-449)) (120-449)], (222-214')-disulfuro con la cadena ligera kappa (1'-214') [V-KAPPA (<i>Homo sapiens</i> IGKV1-27*01 (87.4%) -IGKJ4*01 (100%)) CDR-IMGT [6.3.9] (27-32.50-52.89-97) (1'-107') -<i>Homo sapiens</i> IGKC*01 (100%), Km3 A45.1 (153), V101 (191) (108'-214')]; dímero (228-228":231-231")-bisdisulfuro, producido en las células ováricas de hámster chino (CHO) línea celular CHO-DG44, forma glicosilada alfa</p> <p>antiviral</p>
	<p>2375952-29-5</p> <p>Heavy chain / Chaîne lourde / Cadena pesada</p> <p>EVQLVESGGG LIQPGGSLRL SCAASGFALR MYDMHWVRQT IDKRLIEWVSA 50 VGPSGDTTYA DSVKGRFAVS RENAKNSLSL QMNSLTAGDT AIYYCVRSRDR 100 GVAGLFDNSWG QGILVTYSSA STKGPSVFPFL APSKSTSGG TAAIGCLVKLD 150 YFPEPVTVSW NSGALTSVGH TFPFVQLQSSG LYSLSSTVTV PSSSLGTQTY 200 ICNVNHHKPSN TKVDKKEVEK SCDRTHTCPE CPAPELLGGP SVFLFPPPKK 250 DTLMSRTPF VTCVVDVSH EDPEVFNRY VDGVEVHNAK TKPREEQVNS 300 TYRVSVLTV LHQDNLNGK YKCKVSNKAL PAPIETISK AKGQPREPOV 350 YTLFPSRDEL TRNQVSLTCL VKGFYPSDIA VEWESNGQPE NNYKTTPEVL 400 DSDGSFFLYS KLTVDKSRWQ QGNVFSCSVM HEALHNHTQ KLSLSLSPGK 449</p> <p>Light chain / Chaîne légère / Cadena ligera</p> <p>DIQMTQSPSS LSASVGRDIT ITCRASQAFD NYVAWYQRP GKVPKLLISA 50 ASALHAGVPS RFGSGSGGTH FTLTISSLQP EDVATYYCQN YNSAPLTFGG 100 GKVEIKRTV AAFSVFIFPP SDEQLKSGTA SVVCLLNIFY PREAKVQMKV 150 DNALQSGNSQ ESVTEQDSKD STYLSLSLTIT LSKADYEKHK VYACEVTHQG 200 LSSPVTKSFN RGEK 214</p> <p>Post-translational modifications</p> <p>Disulfide bridges location / Position des ponts disulfure / Posiciones de los puentes disulfuro</p> <p>Intra-H (C23-C104) 22-95 146-202 263-323 369-427 22"-95" 146"-202" 263"-323" 369"-427"</p> <p>Intra-L (C23-C104) 23"-88" 134"-194" 23"-88" 134"-194"</p> <p>Inter-H-L (h 5-CL 126) 222-214" 222"-214" Inter-H-H (h 11, h 14) 228-228" 231-231"</p> <p>N-glycosylation sites / Sites de N-glycosylation / Posiciones de N-glicosilación</p> <p>HCH2 N84.4: 299, 299"</p> <p>Fucosylated complex bi-antennary CHO-type glycans / glycanes de type CHO bi-antennaires complexes fucosylés / glicanos de tipo CHO biantennarios complejos fucosilados.</p>

atamparibum

atamparib

5-[[[(2S)-1-(3-oxo-3-{4-[5-(trifluoromethyl)pyrimidin-2-yl]piperazin-1-yl}propoxy)propan-2-yl]amino]-4-(trifluoromethyl)pyridazin-3(2H)-one
poly (ADP-ribose) polymerase (PARP) 7 inhibitor, antineoplastic

atamparib

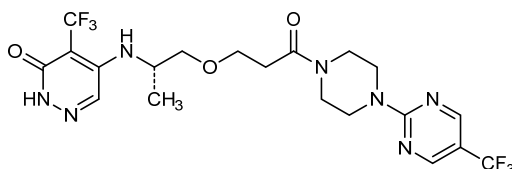
5-[[[(2S)-1-(3-oxo-3-{4-[5-(trifluorométhyl)pyrimidin-2-yl]pipérazin-1-yl}propoxy)propan-2-yl]amino]-4-(trifluorométhyl)pyridazin-3(2H)-one
inhibiteur de la PARP (poly-ADP-ribose-polymérase)-7, antinéoplasique

atamparib

5-[[[(2S)-1-(3-oxo-3-{4-[5-(trifluorometil)pirimidin-2-il]piperazin-1-il}propoxi)propan-2-il]amino]-4-(trifluorometil)piridazin-3(2H)-ona
inhibidor de PARP (poli-ADP-ribosa polimerasa)-7, antineoplásico

C₂₀H₂₃F₆N₇O₃

2381037-82-5

**atuzaginstatum**

atuzaginstat

N-[(3S)-7-amino-2-oxo-1-(2,3,6-trifluorophenoxy)heptan-3-yl]cyclopentanecarboxamide
bacterial protease lysine gingipain inhibitor

atuzaginstat

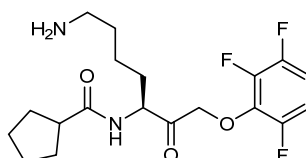
N-[(3S)-7-amino-2-oxo-1-(2,3,6-trifluorophénoxy)heptan-3-yl]cyclopentanecarboxamide
inhibiteur de la protéase de la lysine gingipaine bactérienne

atuzaginstat

N-[(3S)-7-amino-2-oxo-1-(2,3,6-trifluorofenoxi)heptan-3-il]ciclopentanocarboxamida
inhibidor de proteasa lisina gingipaina bacteriana

C₁₉H₂₅F₃N₂O₃

2211981-76-7



aumolertinium

aumolertinib

N-(5-{{[4-(1-cyclopropyl-1*H*-indol-3-yl)pyrimidin-2-yl]amino}-2-{{[2-(diméthylamino)éthyl](méthyl)amino]-4-méthoxyphényl}prop-2-énamide
tyrosine kinase inhibitor, antineoplastic

aumolertinib

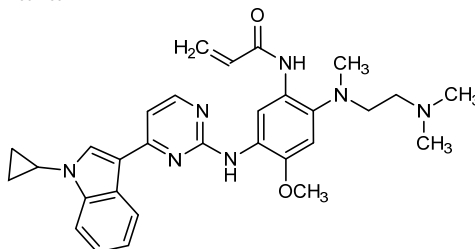
N-(5-{{[4-(1-cyclopropyl-1*H*-indol-3-yl)pyrimidin-2-yl]amino}-2-{{[2-(diméthylamino)éthyl](méthyl)amino]-4-méthoxyphényl}prop-2-énamide
inhibiteur de la tyrosine kinase, antinéoplasique

aumolertinib

N-(5-{{[4-(1-ciclopropil-1*H*-indol-3-il)pirimidin-2-il]amino}-2-{{[2-(dimetilamino)etil](metil)amino]-4-metoxifenil}prop-2-enamida
inhibidor de la tirosina kinasa, antineoplásico

C₃₀H₃₅N₇O₂

1899921-05-1

**bevufenogenum nofeparvovecum #**

bevufenogene nofeparvovec

A non-replicating, recombinant adeno-associated virus expressing codon-optimised human phenylalanine hydroxylase (PAH).

A non-replicating, recombinant adeno-associated virus, hematopoietic stem cell serotype 15 (AAVHSC15) expressing codon-optimised human phenylalanine hydroxylase (PAH) under control of a liver-specific hybrid promoter [comprising human hepatic control region-1 (HCR-1) enhancer element, human alpha-1-antitrypsin (hAAT) promoter and the SV40 small t intron]] and an SV40 polyA signal sequence, flanked by adeno-associated virus 2 (AAV2) inverted terminal repeats (ITRs).

gene therapy (phenylalanine hydroxylase deficiency)

bévufénogène noféparvovec

Un virus adéno-associé recombinant, non-répliquant, exprimant la phénylalanine hydroxylase humaine (PAH) aux codons optimisés.

Un virus adéno-associé recombinant, non-répliquant, de cellules souches hématopoïétiques de sérotype 15 (AAVHSC15) exprimant la phénylalanine hydroxylase humaine (PAH) aux codons optimisés sous le contrôle d'un promoteur hybride spécifique du foie [consistant en un élément activateur de la région 1 de contrôle hépatique humain (HCR-1), le promoteur de l'alpha-1-antitrypsine humaine (hAAT) et du petit intron t SV40] et d'une séquence signal polyA SV40, flanquée de répétitions terminales inversées (ITRs) du virus adéno-associé 2 (AAV2).

thérapie génique (déficit en phénylalanine hydroxylase)

bevufenogén nofeparvovec

Un virus adeno-asociado recombinante, no replicativo, que expresa la fenilalanina hidroxilasa humana (PAH) con codones optimizados.

Un virus adeno-asociado recombinante, no replicativo, derivado de células madre hematopoyéticas serotipo 15 (AAVHSC15) que expresa la fenilalanina hidroxilasa humana (PAH) con codones optimizados, bajo el control de un promotor híbrido específico de hígado [contiene un elemento potenciador de la región de control hepático 1 humana (HCR-1), un promotor de la alfa 1 antitripsina humana (hAAT) y el intrón pequeño t de SV40] y una secuencia señal de polyA de SV40, flanqueado por las repeticiones terminales invertidas (ITRs) del virus adeno-asociado 2 (AAV2).

terapia génica (deficiencia de fenilalanina hidroxilasa)

2374772-30-0

botensilimabum #

botensilimab

immunoglobulin G1-kappa, anti-[*Homo sapiens* CTLA4 (cytotoxic T-lymphocyte associated protein 4, CD152)], *Homo sapiens* monoclonal antibody; gamma1 heavy chain *Homo sapiens* (1-447) [VH (*Homo sapiens* IGHV3-21*01 (99.0%) -(IGHD) -IGHJ3*02 (92.9%) M123>L (113)) CDR-IMGT [8.8.11] (26-33.51-58.97-107) (1-118) -*Homo sapiens* IGHG1*03 G1m3, nG1m1, G1v8 CH2 D3, L115, E117 (CH1 R120 (215) (119-216), hinge 1-15 (217-231), CH2 S3>D (240), A115>L (331), I117>E (333) (232-341), CH3 E12 (357), M14 (359) (342-446), CHS K>del (447)) (119-447)], (221-214')-disulfide with kappa light chain *Homo sapiens* (1'-214') [V-KAPPA (*Homo sapiens* IGKV3-20*01 (94.8%) -IGKJ1*01 (100%)) CDR-IMGT [6.3.9] (27-32.50-52.89-97) (1'-107') -*Homo sapiens* IGKC*01 (100%) Km3 A45.1 (153), V101 (191) (108'-214')]; dimer (227-227'':230-230'')-bisdisulfide, produced in Chinese hamster ovary (CHO) cells, glycoform alfa *immunomodulator, antineoplastic*

botensilimab

immunoglobuline G1-kappa, anti-[*Homo sapiens* CTLA4 (protéine 4 associée aux lymphocytes T cytotoxiques, CD152)], anticorps monoclonal *Homo sapiens*; chaîne lourde gamma1 *Homo sapiens* (1-447) [VH (*Homo sapiens* IGHV3-21*01 (99%) -(IGHD) -IGHJ3*02 (92.9%) M123>L (113)) CDR-IMGT [8.8.11] (26-33.51-58.97-107) (1-118) -*Homo sapiens* IGHG1*03 G1m3, nG1m1, G1v8 CH2 D3, L115, E117 (CH1 R120 (215) (119-216), charnière 1-15 (217-231), CH2 S3>D (240), A115>L (331), I117>E (333) (232-341), CH3 E12 (357), M14 (359) (342-446), CHS K>del (447)) (119-447)], (221-214')-disulfure avec la chaîne légère kappa *Homo sapiens* (1'-214') [V-KAPPA (*Homo sapiens* IGKV3-20*01 (94.8%) -IGKJ1*01 (100%)) CDR-IMGT [6.3.9] (27-32.50-52.89-97) (1'-107') -*Homo sapiens* IGKC*01 (100%) Km3 A45.1 (153), V101 (191) (108'-214')]; dimère (227-227'':230-230'')-bisdisulfure, produit dans des cellules ovariennes de hamster chinois (CHO), glycoforme alfa *immunomodulateur, antinéoplasique*

botensilimab

immunoglobulina G1-kappa, anti-[*Homo sapiens* CTLA4 (proteína 4 asociada con los linfocitos T citotóxicos, CD152)], anticuerpo monoclonal *Homo sapiens*;
cadena pesada gamma1 *Homo sapiens* (1-447) [VH (*Homo sapiens* IGHV3-21*01 (99%) -(IGHD) -IGHJ3*02 (92.9%) M123>L (113)) CDR-IMGT [8.8.11] (26-33.51-58.97-107) (1-118) -*Homo sapiens* IGHG1*03 G1m3, nG1m1, G1v8 CH2 D3, L115, E117 (CH1 R120 (215) (119-216), bisagra 1-15 (217-231), CH2 S3>D (240), A115>L (331), I117>E (333) (232-341), CH3 E12 (357), M14 (359) (342-446), CHS K>del (447)) (119-447)], (221-214')-disulfuro con la cadena ligera kappa *Homo sapiens* (1'-214') [V-KAPPA (*Homo sapiens* IGKV3-20*01 (94.8%) -IGKJ1*01 (100%)) CDR-IMGT [6.3.9] (27-32.50-52.89-97) (1'-107') -*Homo sapiens* IGKC*01 (100%) Km3 A45.1 (153), V101 (191) (108'-214')]; dímero (227-227":230-230")-bisdisulfuro, producido en las células ováricas de hámster chino (CHO), forma glicosilada alfa *immunomodulador, antineoplásico*

2408310-37-0

Heavy chain / Chaîne lourde / Cadena pesada

```
EVQLVESGGG LVKPGGSLRL SCARASGFTFS SYSMNWVROA PGKLEWVSS 50
ISSSSYYIY AESVKGRFTI SRDNRKNSLY LQMNSLRAED TAVYICARVG 100
LFGPFDIWGQ GTLVTVSSAS TKGFSVFFLA PPSKSTSGGT AALGCLVKDY 150
FPEPFTVSWN SGALTSGVHT FFAVLQSSGL YLSLSSVTFV SSSLGTQTHI 200
CNVNHKFSMT KVDKRVEKKS CDKTHTCFPC FAPPELLGGPD VFLFPPKPKD 250
TLMISRTPEV TCVVVDVSH E DPEVKENWYV DGVEVHNAKT KPREQINST 300
YRVVSLVTLV HQDWLNGKEY KCKVSNKALP LPEEKTISKA KGQPREPVY 350
TLFPSREEMT KQVSLTCLV KGFYPSDIAV EWESNGQFEN NYKTTFPVLD 400
SDGSFFLYSK LTVDKSRWQQ GNVFSCVMH EALHNHYTQR SLSLSPG 447
```

Light chain / Chaîne légère / Cadena ligera

```
EIVLTQSPGT LSLSPGERAT LSCRASQSVS RYLGWYQKPK GQAPRLLIYG 50
ASTRATGIPD RFGSGSGTDT FTLTITRLEP EDFAVYYCQQ YGSSPWTFGQ 100
GTKVEIKRVT AAPSVEIFPP SDEQLKSGTA SVVCLLNNEY PREAKVQKRW 150
DNALQSGNSQ ESVTEQDSKD STYLSLSTLT LSKADYERKHK VYACEVTHQG 200
LSSPVTKSFN RGEK 214
```

Post-translational modifications

Disulfide bridges location / Position des ponts disulfure / Posiciones de los puentes disulfuro

Intra-H (C23-C104) 22-96 145-201 262-322 368-426
22"-96" 145"-201" 262"-322" 368"-426"
Intra-L (C23-C104) 23"-88" 134"-194"
23"-88" 134"-194"
Inter-H-L (h 5-CL 126) 221-214' 221"-214"
Inter-H-H (h 11, h 14) 227-227" 230-230"

N-glycosylation sites / Sites de N-glycosylation / Posiciones de N-glicosilación

HCH2 N84.4:
298, 298"

Fucosylated complex bi-antennary CHO-type glycans / glycanes de type CHO bi-antennaires complexes fucosylés / glicanos de tipo CHO biantenaricos complejos fucosilados.

cadonilimabum #
cadonilimab

immunoglobulin G1-kappa anti-[*Homo sapiens* PDCD1 (programmed cell death 1, PD-1, PD1, CD279)], each heavy chain being fused to a scFv anti-[*Homo sapiens* CTLA4 (cytotoxic T-lymphocyte-associated protein 4, CD152)], monoclonal antibody 4, bispecific, tetravalent; gamma1 heavy chain anti-PDCD1 fused to scFv anti-CTLA4 (1-713) [gamma-1 heavy chain(1-448) [VH anti-PDCD1 (*Homo sapiens* IGHV3-23*04 (88.7%) -(IGHD) -IGHJ6*01 (90.9%) T123>L (113)) CDR-IMGT [8.8.11] (26-33.51-58.97-107) (1-118) -*Homo sapiens* IGHG1*01, G1m17.1, G1v14 CH2 A1.3, A1.2 (CH1 K120 (215) (119-216), hinge 1-15 (217-231), CH2 L1.3>A (235), L1.2>A (236), G1>A (238) (232-341), CH3 D12 (357), L14 (359) (342-446), CHS (447-448)) (119-448)] -20-mer tetrakis(tetraglycyl-seryl) linker (449-468) -scFv heavy-lambda anti-CTLA4 (469-713) [VH anti-CTLA4 G49>C (512) (*Homo sapiens* IGHV1-2*02 (84.7%) -(IGHD) -IGHJ5*01 (90.9%) S128>A (583)) CDR-IMGT [8.8.8] (494-501.519-526.565-572) (469-583) -20-mer tetrakis(tetraglycyl-seryl) linker (584-603) -V-LAMBDA anti-CTLA4 (*Homo sapiens* IGLV7-46*01 (85.3%) -IGLJ3*02 (91.7%) G120>C (705)) CDR-IMGT [9.3.9] (629-637.655-657.694-702) (604-713)];

- (221-214')-disulfide with kappa light chain anti-PDCD1 (1'-214') [V-KAPPA (*Mus musculus* IGKV14-111*01 (86.3%) -IGKJ5*01 (100%)/*Homo sapiens* IGKV1-16*01 (80.0%) -IGKJ2*01 (81.8%) Q120>A (100), I126>L (106)) CDR-IMGT [6.3.9] (27-32.50-52.89-97) (1'-107') -*Homo sapiens* IGKC*01 (100%), Km3 A45.1 (153), V101 (191) (108'-214')]; dimer (227-227''-230-230'')-bisdisulfide, produced in Chinese hamster ovary (CHO) cells, glycoform alfa *immunomodulator, antineoplastic*
- cadonilimab immunoglobuline G1-kappa anti-[*Homo sapiens* PDCD1 (protéine 1 de mort cellulaire programmée, PD-1, PD1, CD279)], chaque chaîne lourde étant fusionnée à un scFv anti-[*Homo sapiens* CTLA4 (protéine 4 associée aux lymphocytes T cytotoxiques, CD152)], anticorps monoclonal, bispécifique, tétravalent; chaîne lourde gamma1 anti-PDCD1 fusionnée au scFv anti-CTLA4 (1-713) [chaîne lourde gamma-1 (1-448) [VH anti-PDCD1 (*Homo sapiens* IGHV3-23*04 (88.7%) -(IGHD) -IGHJ6*01 (90.9%) T123>L (113)) CDR-IMGT [8.8.11] (26-33.51-58.97-107) (1-118) -*Homo sapiens* IGHG1*01, G1m17,1, G1v14 CH2 A1.3, A1.2 (CH1 K120 (215) (119-216), charnière 1-15 (217-231), CH2 L1.3>A (235), L1.2>A (236), G1>A (238) (232-341), CH3 D12 (357), L14 (359) (342-446), CHS (447-448)) (119-448)] -20-mer tétrakis(tétraglycyl-séryl) linker (449-468) -scFv lourd-lambda anti-CTLA4 (469-713) [VH anti-CTLA4 G49>C (512) (*Homo sapiens* IGHV1-2*02 (84.7%) -(IGHD) -IGHJ5*01 (90.9%) S128>A (583)) CDR-IMGT [8.8.8] (494-501.519-526.565-572) (469-583) -20-mer tétrakis(tétraglycyl-séryl) linker (584-603) -V-LAMBDA anti-CTLA4 (*Homo sapiens* IGLV7-46*01 (85.3%) -IGLJ3*02 (91.7%) G120>C (705)) CDR-IMGT [9.3.9] (629-637.655-657.694-702) (604-713)]; (221-214')-disulfure avec la chaîne légère kappa anti-PDCD1 (1'-214') [V-KAPPA (*Mus musculus* IGKV14-111*01 (86.3%) -IGKJ5*01 (100%)/*Homo sapiens* IGKV1-16*01 (80.0%) -IGKJ2*01 (81.8%) Q120>A (100), I126>L (106)) CDR-IMGT [6.3.9] (27-32.50-52.89-97) (1'-107') -*Homo sapiens* IGKC*01 (100%), Km3 A45.1 (153), V101 (191) (108'-214')]; dimère (227-227''-230-230'')-bisdisulfure, produit dans des cellules ovariennes de hamster chinois (CHO), glycoforme alfa *immunomodulateur, antinéoplasique*
- cadonilimab inunoglobulina G1-kappa anti-[*Homo sapiens* PDCD1 (proteína 1 de muerte celular programada, PD-1, PD1, CD279)], cada cadena pesada estando fusionada a un scFv anti-[*Homo sapiens* CTLA4 (proteína 4 asociada con los linfocitos T citotóxicos, CD152)], anticuerpo monoclonal, biespecífico, tetraivalente; cadena pesada gamma 1 anti-PDCD1 fusionada con scFv anti-CTLA4 (1-713) [cadena pesada gamma-1 (1-448) [VH anti-PDCD1 (*Homo sapiens* IGHV3-23*04 (88.7%) -(IGHD) -IGHJ6*01 (90.9%) T123>L (113)) CDR-IMGT [8.8.11] (26-33.51-58.97-107) (1-118) -*Homo sapiens* IGHG1*01, G1m17,1, G1v14 CH2 A1.3, A1.2 (CH1 K120 (215) (119-216), bisagra 1-15 (217-231), CH2 L1.3>A (235), L1.2>A (236), G1>A (238) (232-341), CH3 D12 (357), L14 (359) (342-446), CHS (447-448)) (119-448)] -20-mer tetrakis(tetraglicil-seril) linker (449-468) -scFv pesado-lambda anti-CTLA4 (469-713) [VH anti-CTLA4 G49>C (512) (*Homo sapiens* IGHV1-2*02 (84.7%) -(IGHD) -IGHJ5*01 (90.9%) S128>A (583)) CDR-IMGT [8.8.8] (494-501.519-526.565-572) (469-583) -20-mer tetrakis(tetraglicil-seril) linker (584-603) -V-LAMBDA anti-CTLA4 (*Homo sapiens* IGLV7-46*01 (85.3%) -IGLJ3*02 (91.7%) G120>C (705)) CDR-IMGT [9.3.9] (629-637.655-657.694-702) (604-713)];

(221-214')-disulfuro con la cadena ligera kappa anti-PDCD1 (1'-214') [V-KAPPA (*Mus musculus* IGKV14-111*01 (86.3%) -IGKJ5*01 (100%)/*Homo sapiens* IGKV1-16*01 (80.0%) -IGKJ2*01 (81.8%) Q120>A (100), I126>L (106)) CDR-IMGT [6.3.9] (27-32.50-52.89-97) (1'-107') -*Homo sapiens* IGKC*01 (100%), Km3 A45.1 (153), V101 (191) (108'-214')]; dímero (227-227'':230-230'')-bisdisulfuro, producido en las células ováricas de hámster chino (CHO), forma glicosilada alfa
inmunomodulador, antineoplásico

2394841-59-7

Heavy chain / Chaîne lourde / Cadena pesada (anti-PDCD1 and anti-CTLA4 (scFv))
 EVQLVESGGG LVQFGGSLRL SCAASGFAPF SYDMSWVRQA PGKGLDWVAT 50
 ISGGRGRTYY PDSVKGRFTI SRDNSKNNLY LQMNSLRAED TALYCANRY 100
 GEAWFAYWQG GTLVTSSAS TRGPFVFLA PSSRSTSGT AALGCLVKDY 150
 PFPFVTVSWN SGALTSVHT FPAVLQSSGL YSLSSVVTVP SSSLGTQTYI 200
 CNVNHKPSNT KVDKKEPKS CDKTHTCPEP PAPEAAGAPS VFLFPPKPKD 250
 TLMISRTPEV TCVVVDVSHE DPEVKFNWYV DGEVHNAKT KPREEQYNST 300
 YRVVSVLTVL HQDWLNGKEY KCKVSNKALP APIEKTISKA KGQPREPVQV 350
 TLPSPRDEL TKNQVSLTCLV KGFYPSDIAV EWESNGQPEN NYKTTPEPVL 400
 SDGSFFLYSK LTVDKSRWQQ GNVFSCSVMH EALHNYTQK SLSLSPKGG 450
 GSGGGGSGG GSGGGGGSQV QLVESGAEVK KPGASVKVSC KASGYFTGY 500
 TMNWRQAPG QCLEWIGLIN PYNNITNYAQ KFGGRVFTVP DTSISTAYME 550
 LSRLRSDDTG VYFCARLDYR SYWGQGLVT VSAGGGGSGG GSGGGGSGG 600
 GGSQAVVTQE PSLTVPGGT VTLTGSSTG AVTTSNFPNW VQOKPGQAPR 650
 SLIGGTNKA SWTPARFSGS LGGKKAALTI SGAQPEDEAE YYCALWYSNH 700
 WFGCGTKLT VLR 713

Light chain / Chaîne légère / Cadena ligera (anti-PDCD1)
 DIQMTQSPSS MSASVGRVFT FTRASQDIN TYLSWFQKPK GKSPKTLIYR 50
 ANRLVGVPS RFGSGSGGQD YTLTISLQF EDMAITYCLQ YDFPLTPGA 100
 GTKLELKRIV AAPSVFIFPP SDEQLKSGTA SVVCLLNFEY PREAKVQWKV 150
 DNALQSGNSQ ESVTEQDSK STYLSLSTLT LSKADYEKHK YVACEVTHQG 200
 ISSPVTKSFN RGEC 214

Post-translational modifications

Disulfide bridges location / Position des ponts disulfure / Posiciones de los puentes disulfuro

Intra-H (C23-C104) 22-96 145-201 262-322 368-426 490-564 625-693
 22"-96" 145"-201" 262"-322" 368"-426" 490"-564" 625"-693"

Intra-H (scFv VHC49-VL IGLJ C120) 512-705
 512"-705"

Intra-L (C23-C104) 23"-88" 134"-194"
 23"-88" 134"-194"

Inter-H-L (h 5-CL 126) 221-214" 221"-214"

Inter-H-H (h 11, h 14) 227-227" 230-230"

N-glycosylation sites / Sites de N-glycosylation / Posiciones de N-glicosilación

H CH2 N84.4:

298, 298"

H scFv VH CDR2 N63:

524, 524"

Fucosylated complex bi-antennary CHO-type glycans / glycanes de type CHO bi-antennaire
 complexes fucosylés / glicanos de tipo CHO biantenarijos complejos fucosilados

caficrestatum

caficrestat

(8-oxo-7-[[5-(trifluoromethyl)-1,3-benzothiazol-2-yl]methyl]-7,8-dihydropyrazino[2,3-d]pyridazin-5-yl)acetic acid
aldose reductase inhibitor

caficrestat

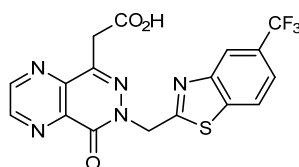
acide (8-oxo-7-[[5-(trifluorométhy)-1,3-benzothiazol-2-yl]méthyl]-7,8-dihydropyrazino[2,3-d]pyridazin-5-yl)acétique
inhibiteur de l'aldose réductase

caficrestat

ácido (8-oxo-7-[[5-(trifluorometil)-1,3-benzotiazol-2-il]metil]-7,8-dihidropirazino[2,3-d]piridazin-5-il)acético
inhibidor de la aldosa reductasa

C₁₇H₁₀F₃N₅O₃S

1355612-71-3

**cavrotolimodum**

cavrotolimod

all-P-ambo-(17*RS*)-1-[(cholest-5-en-3β-yl)oxy]-17,20,40-trihydroxy-1,20,40-trioxo-6,9,12,15,19,21,24,27,30,33,36,39,41,44,47,50,53,56-octadeca-2-aza-20λ⁵,40λ⁵-diphosphaoctapentacontan-58-yl *P*-thiothymidyl-(3'→5')-2'-deoxy-*P*-thiocytidyl-(3'→5')-2'-deoxy-*P*-thioguanyl-(3'→5')-*P*-thiothymidyl-(3'→5')-2'-deoxy-*P*-thiocytidyl-(3'→5')-2''-deoxy-*P*-thioguanyl-(3'→5')-*P*-thiothymidyl-(3'→5')-*P*-thiothymidyl-(3'→5')-*P*-thiothymidyl-(3'→5')-*P*-thiothymidyl-(3'→5')-2'-deoxy-*P*-thiocytidyl-(3'→5')-2'-deoxy-*P*-thioguanyl-(3'→5')-*P*-thiothymidyl-(3'→5')-thiothymidyl-(3'→5')-*P*-thiothymidyl-(3'→5')-*P*-thiothymidyl-(3'→5')-2'-deoxy-*P*-thioguanyl-(3'→5')-*P*-thiothymidyl-(3'→5')-2'-deoxy-*P*-thiocytidyl-(3'→5')-2'-deoxy-*P*-thioguanyl-(3'→5')-*P*-thiothymidyl-(3'→5')-hydrogen 3'-thymidylate *toll-like receptor agonist, antineoplastic*

cavrotolimod

tout-P-ambo-P-thiothymidyl-(3'→5')-2'-désoxy-*P*-thiocytidyl-(3'→5')-2'-désoxy-*P*-thioguanyl-(3'→5')-*P*-thiothymidyl-(3'→5')-2'-désoxy-*P*-thiocytidyl-(3'→5')-2''-désoxy-*P*-thioguanyl-(3'→5')-*P*-thiothymidyl-(3'→5')-*P*-thiothymidyl-(3'→5')-*P*-thiothymidyl-(3'→5')-*P*-thiothymidyl-(3'→5')-2'-désoxy-*P*-thiocytidyl-(3'→5')-2'-désoxy-*P*-thioguanyl-(3'→5')-*P*-thiothymidyl-(3'→5')-thiothymidyl-(3'→5')-*P*-thiothymidyl-(3'→5')-*P*-thiothymidyl-(3'→5')-2'-désoxy-*P*-thioguanyl-(3'→5')-*P*-thiothymidyl-(3'→5')-2'-désoxy-*P*-thiocytidyl-(3'→5')-2'-désoxy-*P*-thioguanyl-(3'→5')-*P*-thiothymidyl-(3'→5')-hydrogène-3'-thymidylate de (17*RS*)-1-[(cholest-5-én-3β-yl)oxy]-17,20,40-trihydroxy-1,20,40-trioxo-6,9,12,15,19,21,24,27,30,33,36,39,41,44,47,50,53,56-octadéca-2-aza-20λ⁵,40λ⁵-diphosphaoctapentacontan-58-yle *agoniste des récepteurs de type toll, antinéoplasique*

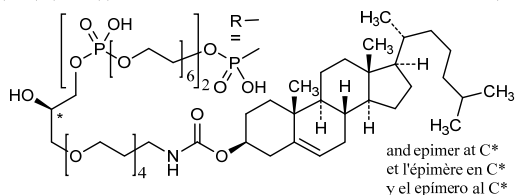
cavrotolimod

todo-P-ambo-P-tiotimidilil-(3'→5')-2'-desoxi-*P*-tiocitidilil-(3'→5')-2'-desoxi-*P*-tioguanilil-(3'→5')-*P*-tiotimidilil-(3'→5')-2'-desoxi-*P*-tiocitidilil-(3'→5')-2''-desoxi-*P*-tioguanilil-(3'→5')-*P*-tiotimidilil-(3'→5')-*P*-tiotimidilil-(3'→5')-*P*-tiotimidilil-(3'→5')-2'-desoxi-*P*-tioguanilil-(3'→5')-*P*-tiotimidilil-(3'→5')-2'-desoxi-*P*-tiocitidilil-(3'→5')-2'-desoxi-*P*-tioguanilil-(3'→5')-*P*-tiotimidilil-(3'→5')-2'-desoxi-*P*-tiocitidilil-(3'→5')-2'-desoxi-*P*-tioguanilil-(3'→5')-*P*-tiotimidilil-(3'→5')-2'-desoxi-*P*-tiocitidilil-(3'→5')-2'-desoxi-*P*-tioguanilil-(3'→5')-hidrógeno-3'-timidilato de (17*RS*)-1-[(cholest-5-en-3β-il)oxil]-17,20,40-trihidroxi-1,20,40-trioxo-6,9,12,15,19,21,24,27,30,33,36,39,41,44,47,50,53,56-octadeca-2-aza-20λ⁵,40λ⁵-difosfaoctapentacontan-58-ilo *agonista de los receptores de tipo toll, antineoplásico*

C₃₀₀H₄₂₃N₇₁O₁₆₁P₂₆S₂₃

2378664-12-9

(3'-5')d(P-thio)(T-C-G-T-C-G-T-T-T-T-G-T-C-G-T-T-T-T-G-T-C-G-T-T)-R

**cimpuciclibum**

cimpuciclib

2⁵-fluoro-1²,4⁶-dimethyl-1³-(propan-2-yl)-1³H-3,7-diaza-1(5)-benzimidazola-2(4,2)-pyrimidina-4(2,5)-pyridina-6(1,4)-piperidina-8(1)-cyclopropanaocctaphan-5-one
cyclin-dependent kinase inhibitor, antineoplastic

cimpuciclib

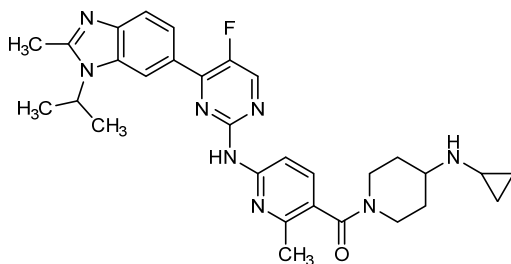
2⁵-fluoro-1²,4⁶-diméthyl-1³-(propan-2-yl)-1³H-3,7-diaza-1(5)-benzimidazola-2(4,2)-pyrimidina-4(2,5)-pyridina-6(1,4)-pipéridina-8(1)-cyclopropanaocctaphan-5-one
inhibiteur des kinases dépendantes des cyclines, antinéoplasique

cimpuciclib

2⁵-fluoro-1²,4⁶-dimetil-1³-(propan-2-il)-1³H-3,7-diaza-1(5)-benzimidazola-2(4,2)-pirimidina-4(2,5)-piridina-6(1,4)-piperidina-8(1)-ciclopropanaocctafan-5-ona
inhibidor de las kinasas dependientes de las ciclinas, antineoplásico

C₃₀H₃₅FN₈O

2202767-78-8

**clesacostatum**

clesacostat

4-{6-methoxy-4-[7-oxo-1-(propan-2-yl)-1,4,6,7-tetrahydrospiro[indazole-5,4'-piperidine]-1'-carbonyl]pyridin-2-yl}benzoic acid
acetyl CoA carboxylase (ACC) inhibitor

clésacostat

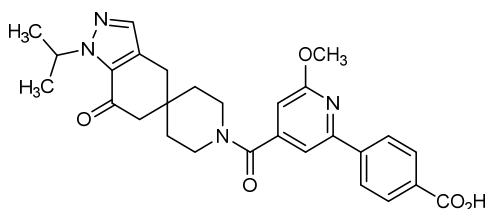
acide 4-{6-méthoxy-4-[7-oxo-1-(propan-2-yl)-1,4,6,7-tétrahydrospiro-[indazole-5,4'-pipéridine]-1'-carbonyl]pyridin-2-yl}benzoïque
inhibiteur de l'acétyl CoA carboxylase (ACC)

clesacostat

ácido 4-{6-metoxi-4-[7-oxo-1-(propan-2-il)-1,4,6,7-tetrahydrospiro-[indazol-5,4'-piperidina]-1'-carbonil]piridin-2-il}benzoico
inhibidor de la acetil CoA carboxilasa (ACC)

C₂₈H₃₀N₄O₅

1370448-25-1

**cofirasersenum**

cofirasersen

*all-P-ambo-2'-O,4'-C-[(1S)-ethane-1,1-diyl]-5-methyl-P-thiocytidylyl-(3'→5')-2'-O,4'-C-[(1S)-ethane-1,1-diyl]-5-methyl-P-thiocytidylyl-(3'→5')-2'-O,4'-C-[(1S)-ethane-1,1-diyl]-5-methyl-P-thiocytidylyl-(3'→5')-2'-deoxy-P-thioguanilyl-(3'→5')-2'-deoxy-P-thioadenilyl-(3'→5')-P-thiothymidylyl-(3'→5')-2'-deoxy-P-thioadenilyl-(3'→5')-2'-deoxy-P-thioguanilyl-(3'→5')-2'-deoxy-5-methyl-P-thiocytidylyl-(3'→5')-P-thiothymidylyl-(3'→5')-2'-deoxy-P-thioguanilyl-(3'→5')-2'-deoxy-P-thioguanilyl-(3'→5')-1,1-diyl]-5-methyl-P-thiouridylyl-(3'→5')-2'-O,4'-C-[(1S)-ethane-1,1-diyl]-P-thioguanilyl-(3'→5')-2'-O,4'-C-[(1S)-ethane-1,1-diyl]-5-methyluridine
*epithelial sodium channel synthesis reducer**

cofirasersen

*tout-P-ambo-2'-O,4'-C-[(1S)-éthane-1,1-diyl]-5-méthyl-P-thiocytidylyl-(3'→5')-2'-O,4'-C-[(1S)-éthane-1,1-diyl]-5-méthyl-P-thiocytidylyl-(3'→5')-2'-O,4'-C-[(1S)-éthane-1,1-diyl]-5-méthyl-P-thiocytidylyl-(3'→5')-2'-désoxy-P-thioguanilyl-(3'→5')-2'-désoxy-P-thioadénylyl-(3'→5')-P-thiothymidylyl-(3'→5')-2'-désoxy-P-thioadénylyl-(3'→5')-2'-désoxy-P-thioguanilyl-(3'→5')-2'-désoxy-5-méthyl-P-thiocytidylyl-(3'→5')-P-thiothymidylyl-(3'→5')-2'-désoxy-P-thioguanilyl-(3'→5')-2'-désoxy-P-thiothymidylyl-(3'→5')-2'-O,4'-C-[(1S)-éthane-1,1-diyl]-5-méthyl-P-thiouridylyl-(3'→5')-2'-O,4'-C-[(1S)-éthane-1,1-diyl]-P-thioguanilyl-(3'→5')-2'-O,4'-C-[(1S)-éthane-1,1-diyl]-5-méthyluridine
*réducteur de la synthèse du canal sodique épithélial**

cofirasersén

*todo-P-ambo-2'-O,4'-C-[(1S)-etano-1,1-diil]-5-metil-P-tiocitidilil-(3'→5')-2'-O,4'-C-[(1S)-etano-1,1-diil]-5-metil-P-tiocitidilil-(3'→5')-2'-O,4'-C-[(1S)-etano-1,1-diil]-5-metil-P-tiocitidilil-(3'→5')-2'-desoxi-P-tioguanilil-(3'→5')-2'-desoxi-P-tioadenilil-(3'→5')-P-tiotimidilil-(3'→5')-2'-desoxi-P-tioadenilil-(3'→5')-2'-desoxi-P-tioguanilil-(3'→5')-2'-desoxi-5-metil-P-tiocitidilil-(3'→5')-P-tiotimidilil-(3'→5')-2'-desoxi-P-tioguanilil-(3'→5')-2'-desoxi-P-tioguanilil-(3'→5')-2'-O,4'-C-[(1S)-etano-1,1-diil]-5-metil-P-tiouridilil-(3'→5')-2'-O,4'-C-[(1S)-etano-1,1-diil]-P-tioguanilil-(3'→5')-2'-O,4'-C-[(1S)-etano-1,1-diil]-5-metiluridina
*reductor de la síntesis del canal de sodio epitelial**

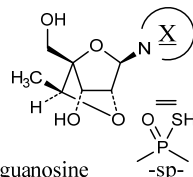
C₁₇₂H₂₁₈N₅₇O₈₈P₁₅S₁₅

2247669-96-9

(3'-5') all *P*-thio $\underline{\text{C}}=\underline{\text{C}}=\underline{\text{C}}=\text{d}(\text{G}=\text{A}=\text{T}=\text{A}=\text{G}=\text{C}=\text{T}=\text{G}=\text{G}=\text{T}=\text{A})\underline{\text{U}}=\underline{\text{G}}=\underline{\text{U}}$ *Legend:*

A, G & T : 2'-deoxynucleotide

C : 2'-deoxy-5-methylcytidine

 $\underline{\text{C}}$ & $\underline{\text{U}}$: 2'-*O*,4'-*C*-[(1*S*)-ethane-1,1-diyl]-5-methylnucleotide $\underline{\text{G}}$: 2'-*O*,4'-*C*-[(1*S*)-ethane-1,1-diyl]-guanosine**danuglipronum**

danuglipron

(1²*S*)-9⁴-cyano-9²-fluoro-7-oxa-3(1,2)-benzimidazola-6(2,6)-pyridina-5(1,4)-piperidina-1(2)-oxetana-9(1)-benzenanonaphane-3⁶-carboxylic acid
glucagon-like peptide 1 receptor agonist

danuglipron

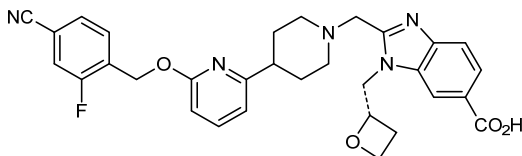
acide (1²*S*)-9⁴-cyano-9²-fluoro-7-oxa-3(1,2)-benzimidazola-6(2,6)-pyridina-5(1,4)-pipéridina-1(2)-oxétana-9(1)-benzénanonaphane-3⁶-carboxylique
agoniste du récepteur au peptide-1 d'action type glucagon

danugliprón

ácido (1²*S*)-9⁴-ciano-9²-fluoro-7-oxa-3(1,2)-benzimidazola-6(2,6)-piridina-5(1,4)-piperidina-1(2)-oxetana-9(1)-bencenanonafano-3⁶-carboxílico
agonista del receptor del péptido similar al glucagón (GLP-1)

C₃₁H₃₀FN₅O₄

2230198-02-2

**defosbarasertibum**

defosbarasertib

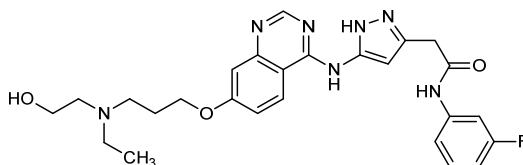
2-{5-[(7-{3-[ethyl(2-hydroxyethyl)amino]propoxy}quinazolin-4-yl)amino]-1*H*-pyrazol-3-yl]-*N*-(3-fluorophenyl)acetamide
serine/ threonine kinase inhibitor

défosbarasertib

2-{5-[(7-{3-[éthyl(2-hydroxyéthyl)amino]propoxy}quinazolin-4-yl)amino]-1*H*-pyrazol-3-yl]-*N*-(3-fluorophényl)acétamide
inhibiteur de sérine/ thréonine kinase

defosbarasertib

2-{5-[(7-{3-[etil(2-hidroxietil)amino]propoxi}quinazolin-4-il)amino]-1*H*-pirazol-3-il]-*N*-(3-fluorofenil)acetamida
inhibidor de serina/ treonina kinasa

**delandistrogenum moxeparovecum #**

delandistrogene moxeparovec

A non-replicating adeno-associated virus (AAV) vector encoding human micro-dystrophin.

A recombinant, non-replicating, adeno-associated virus (AAV) serotype rh74 vector (AAVrh74) encoding codon-optimized human micro-dystrophin (a shortened functional version of human dystrophin), under control of a hybrid MHCK7 promoter consisting of enhancer/promoter regions of murine muscle creatine kinase (CK) and alpha-myosin heavy-chain genes, followed by a chimeric intron [including the SV40 late 16S/19S splice signals and a small 5' UTR] and a small synthetic polyadenylation (polyA) signal sequence, flanked by adeno-associated virus 2 (AAV2) inverted terminal repeats (ITRs).
gene therapy (muscular dystrophy)

délandistrogène moxéparovec

Un vecteur adéno-associé (AAV) non-répliquant codant la micro-dystrophine humaine.

Un vecteur adéno-associé de sérotype rh74 (AAVrh74) recombinant, non-répliquant codant la micro-dystrophine humaine aux codons optimisés (une version fonctionnelle raccourcie de la dystrophine humaine), sous le contrôle d'un promoteur hybride MHCK7 consistant en régions activatrices/promotrices de la créatine kinase (CK) de muscle murin et des gènes de la chaîne lourde de l'alpha-myosine, suivi d'un intron chimérique [incluant les signaux d'épissage SV40 tardifs 16S/19S et une UTR courte en 5'] et d'une petite séquence signal synthétique de polyadénylation (polyA), flanquée de répétitions terminales inversées (ITRs) du virus adéno-associé 2 (AAV2).
thérapie génique (dystrophie musculaire)

delandistrogén moxeparovec

Un vector de virus adeno-asociado (AAV) no replicativo que codifica para la micro distrofina humana.

Un vector de virus adeno-asociado (AAV) recombinante de serotipo rh74 (AAVrh74), no replicativo que codifica para la micro distrofina humana (una versión funcional acortada de la distrofina humana), con codones optimizados, bajo el control de un promotor híbrido MHCK7 consistente en regiones potenciadoras/promotoras de los genes de la creatinina quinasa (CK) de músculo y de la cadena pesada de la miosina alfa murinas, seguido de un intrón quimérico [incluyendo las señales de procesamiento 16S/19S del SV40 tardío y una pequeña región 5' UTR] y una pequeña secuencia señal de poliadenilación (polyA) sintética, flanqueado por las repeticiones terminales invertidas (ITRs) del virus adeno-asociado 2 (AAV2).
terapia génica (distrofia muscular)

2305040-16-6

deudomperidonum

deudomperidone

5-chloro-1-(1-{3-[2-oxo-2,3-dihydro-1*H*-(4,5,6,7-²H₄)benzimidazol-1-yl]propyl}piperidin-4-yl)-1,3-dihydro-2*H*-benzimidazol-2-one
dopamine (D2 / D3) receptor antagonist, prokinetic agent

deudompéridone

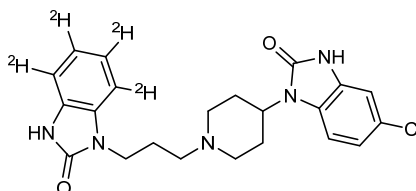
5-chloro-1-(1-{3-[2-oxo-2,3-dihydro-1*H*-(4,5,6,7-²H₄)benzimidazol-1-yl]propyl}pipéridin-4-yl)-1,3-dihydro-2*H*-benzimidazol-2-one
antagoniste des récepteurs dopaminergiques (D2 / D3), agent prokinétique

deudomperidona

5-cloro-1-(1-{3-[2-oxo-2,3-dihidro-1*H*-(4,5,6,7-²H₄)benzimidazol-1-il]propil}piperidin-4-il)-1,3-dihidro-2*H*-benzimidazol-2-ona
antagonista de los receptores (D2 / D3) de dopamina, procinético

C₂₂H₂₀²H₄ClN₅O₂

2121525-08-2

**deuruxolitininum**

deuruxolitininib

(3*R*)-3-(2,2,3,3,4,4,5,5-²H₈)cyclopentyl-3-[4-(7*H*-pyrrolo[2,3-*d*]pyrimidin-4-yl)-1*H*-pyrazol-1-yl]propanenitrile
tyrosine kinase inhibitor

deuruxolitininib

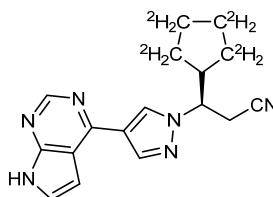
(3*R*)-3-(2,2,3,3,4,4,5,5-²H₈)cyclopentyl-3-[4-(7*H*-pyrrolo[2,3-*d*]pyrimidin-4-yl)-1*H*-pyrazol-1-yl]propanenitrile
inhibiteur de la tyrosine kinase

deuruxolitininib

(3*R*)-3-(2,2,3,3,4,4,5,5-²H₈)ciclopentil-3-[4-(7*H*-pirrolo[2,3-*d*]pirimidin-4-il)-1*H*-pirazol-1-il]propanonitrilo
inhibidor de la tirosina kinasa

C₁₇H₁₀²H₈N₆

1513883-39-0



deutarserinum

deutarserine

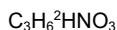
D-(2-²H)serine;
(2*R*)-2-amino-3-hydroxy(2-²H)propanoic acid
N-methyl-*D*-aspartate (NMDA) receptor co-agonist

deutarsérine

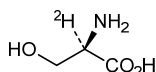
D-(2-²H)sérine;
acide (2*R*)-2-amino-3-hydroxy(2-²H)propanoïque
co-agoniste du récepteur du *N*-méthyl-*D*-aspartate (NMDA)

deutarserina

D-(2-²H)serina;
ácido (2*R*)-2-amino-3-hidroxi(2-²H)proapoico
coagonista del receptor de *N*-metil-*D*-aspartato (NMDA)



103292-62-2

**domvanalimabum #**

domvanalimab

immunoglobulin G1-kappa, anti-[*Homo sapiens* TIGIT (T-cell immunoreceptor with Ig domain and ITIM, V-set Ig member 9, VSIG9, V-set and transmembrane member 3, VSTM3)], humanized monoclonal antibody;
gamma1 heavy chain humanized (1-448) [VH (*Homo sapiens* IGHV3-48*01 (90.8%) -(IGHD) -IGHJ4*01 (92.3%)) CDR-IMGT [8.8.12] (26-33.51-58.97-108) (1-119) -*Homo sapiens* IGHG1*01, G1m17,1, G1v14 CH2 A1.3, A1.2 (CH1 K120 (216) (120-217), hinge 1-15 (218-232), CH2 L1.3>A (236), L1.2>A (237) (233-342), CH3 D12 (358), L14 (360) (343-447), CHS K>del (448)) (120-448)], (222-214')-disulfide with kappa light chain humanized (1'-214') [V-KAPPA (*Homo sapiens* IGKV1-16*01 (89.5%) -IGKJ4*01 (100%)) CDR-IMGT [6.3.9] (27-32.50-52.89-97) (1'-107') -*Homo sapiens* IGKC*01 (100%) Km3 A45.1 (153), V101 (191) (108'-214')]; dimer (228-228":231-231")-bisdisulfide, produced in a Chinese hamster ovary (CHO)-K1 cell line, glycoform alfa *immunomodulator, antineoplastic*

domvanalimab

immunoglobuline G1-kappa, anti-[*Homo sapiens* TIGIT (immunorécepteur des lymphocytes T avec domaine Ig et ITIM, membre 9 de l'Ig V-set, VSIG9, membre 3 de l'Ig V-set et région transmembranaire, VSTM3)], anticorps monoclonal humanisé;
chaîne lourde gamma1 humanisée (1-448) [VH (*Homo sapiens* IGHV3-48*01 (90.8%) -(IGHD) - IGHJ4*01 (92.3%)) CDR-IMGT [8.8.12] (26-33.51-58.97-108) (1-119) -*Homo sapiens* IGHG1*01, G1m17,1, G1v14 CH2 A1.3, A1.2 (CH1 K120 (216) (120-217), charnière 1-15 (218-232), CH2 L1.3>A (236), L1.2>A (237) (233-342), CH3 D12 (358), L14 (360) (343-447), CHS K>del (448)) (120-448)], (222-214')-disulfure avec la chaîne légère kappa humanisée (1'-214') [V-KAPPA (*Homo sapiens* IGKV1-16*01 (89.5%) -IGKJ4*01 (100%)) CDR-IMGT [6.3.9] (27-32.50-52.89-97) (1'-107') -*Homo sapiens* IGKC*01 (100%) Km3 A45.1 (153), V101 (191) (108'-214')]; dimère (228-228":231-231")-bisdisulfure, produit dans des cellules ovariennes de hamster chinois (CHO) lignée cellulaire CHO-K1, glycoforme alfa *immunomodulateur, antinéoplasique*

domvanalimab

inmunoglobulina G1-kappa, anti-[*Homo sapiens* TIGIT (inmunoreceptor de los linfocitos T con dominio Ig e ITIM, miembro 9 de la Ig V-set, VSIG9, miembro 3 de la Ig V-set y región transmembrana, VSTM3)], anticuerpo monoclonal humanizado;
cadena pesada gamma1 humanizada (1-448) [VH (*Homo sapiens* IGHV3-48*01 (90.8%) -(IGHD) - IGHJ4*01 (92.3%)) CDR-IMGT [8.8.12] (26-33.51-58.97-108) (1-119) -*Homo sapiens* IGHG1*01, G1m17,1, G1v14 CH2 A1.3, A1.2 (CH1 K120 (216) (120-217), bisagra 1-15 (218-232), CH2 L1.3>A (236), L1.2>A (237) (233-342), CH3 D12 (358), L14 (360) (343-447), CHS K>del (448)) (120-448)], (222-214')-disulfuro con la cadena ligera kappa humanizada (1'-214') [V-KAPPA (*Homo sapiens* IGKV1-16*01 (89.5%) - IGKJ4*01 (100%)) CDR-IMGT [6.3.9] (27-32.50-52.89-97) (1'-107') -*Homo sapiens* IGKC*01 (100%) Km3 A45.1 (153), V101 (191) (108'-214')]; dímero (228-228":231-231")-bisdisulfuro, producido en las células ováricas de hámster chino (CHO) línea celular CHO-K1, forma glicosilada alfa
inmunomodulador, antineoplásico

2368219-35-4

Heavy chain / Chaîne lourde / Cadena pesada

```
EVQLVESGGG LVQPGGSLRL SCAASGFTFS NFGMHWVQA PGKLEWVAF 50
ISSGSSSIYY ADTVKGRFTI SRDNRKNSLY LQMNLSRAED TAVYYCARMR 100
LDYYAMYDYG QQTMTVYSSA STKGPSVPEPL AFSKSTSGG TAALGCLVLD 150
YFPEPVTVSW NSGALTSGVH TTPAVLQSSG LYSLSVVTV PSSSLGTQTY 200
ICNVNHNKPSN TKVDKRVKPK SCDRTHTCPP CPAPFAAGSP SVFLFPKPK 250
DTLMSRTPPE VTCVVVDVSH EDPEVKFNWY VDGVEVHNAK TKPREEQYNS 300
TYRIVSVLTV LHQDNLNGKE YKCKVSNKAL PAPIEKTISK AKGQPRPEPV 350
YTLPPSRDEL TRNQVSLTCL VKGYPISDIA VEWESNGQPE NNYKTPPVVL 400
DSDGSFFLYS KLTVDKSRWQ QGNVFSCSVM HEALHNHYTQ KLSLSLSPG 448
```

Light chain / Chaîne légère / Cadena ligera

```
DIQMTQSPSS LSASVGDRTV ITCRASKSIS KYLAWYQQKQ GKAPKLLIYS 50
GSTLQSGVPS RFGSGSGTD FTLTISLQPE EDFATYYCQQ HNEYPWTFGG 100
GTKVEIKRTV AAPSVPFIPP SDEQLKSGTA SVVCLLNHFY PREAKVQWKV 150
DNALQSGNSQ ESVTEQDSKD STYLSLSSTLT LSKADYERKH VYACEVTHQG 200
LSSPVTKSFN RGEK 214
```

Post-translational modifications

Disulfide bridges location / Position des ponts disulfure / Posiciones de los puentes disulfuro

Intra-H (C23-C104) 22"-96" 146"-202" 263"-323" 369"-427"
22"-96" 146"-202" 263"-323" 369"-427"
Intra-L (C23-C104) 23"-88" 134"-194"
23"-88" 134"-194"
Inter-H-L (h 5-CL 126) 222"-214" 222"-214"
Inter-H-H (h 11, h 14) 228"-228" 231"-231"

N-glycosylation sites / Sites de N-glycosylation / Posiciones de N-glicosilación

H CH2 N84.4:

299, 299"

Fucosylated complex bi-antennary CHO-type glycans / glycanes de type CHO bi-antennaires complexes fucosylés / glicanos de tipo CHO biantenarijos complejos fucosilados.

donidalorsenum

donidalorsen

all-P-ambo-5'-O-(28-[(2-acetamido-2-deoxy-β-D-galactopyranosyl)oxy]-16, 16-bis{[3-({6-[(2-acetamido-2-deoxy-β-D-galactopyranosyl)oxy]hex-yl)amino]-3-oxopropoxy)methyl}-1-hydroxy-1, 10, 14, 21-tetraoxo-2, 18-dioxa-9, 15, 22-triaza-1λ⁵-phosphaoctacosan-1-yl)-2'-O-(2-methoxyethyl)-5-methyl-P-thiouridylyl-(3'→5')-2'-O-(2-methoxyethyl)-P-thioguanilyl

	<p>-(3'→5')-2'-O-(2-methoxyethyl)-5-methylcytidyl-(3'→5')-2'-O-(2-methoxyethyl)adenyl-(3'→5')-2'-O-(2-methoxyethyl)-P-thioadenyl-(3'→5')-2'-deoxy-P-thioguanyl-(3'→5')-P-thiothymidyl-(3'→5')-2'-deoxy-5-methyl-P-thiocytidyl-(3'→5')-P-thiothymidyl-(3'→5')-2'-deoxy-5-methyl-P-thiocytidyl-(3'→5')-P-thiothymidyl-(3'→5')-2'-deoxy-P-thioguanyl-(3'→5')-2'-deoxy-5-methyl-P-thiocytidyl-(3'→5')-2'-O-(2-methoxyethyl)adenyl-(3'→5')-2'-O-(2-methoxyethyl)adenyl-(3'→5')-2'-O-(2-methoxyethyl)-P-thioadenyl-(3'→5')-2'-O-(2-methoxyethyl)-5-methyl-P-thiocytidyl-(3'→5')-2'-O-(2-methoxyethyl)adenosine <i>prekallikrein (PKK) synthesis reducer</i></p>
donidalorsen	<p><i>tout-P-ambo-5'-O-(28-[(2-acétamido-2-désoxy-β-D-galactopyranosyl)oxy]-16,16-bis[3-({6-[(2-acétamido-2-désoxy-β-D-galactopyranosyl)oxy]hexyl)amino]-3-oxopropoxy]méthyl)-1-hydroxy-1,10,14,21-tétraoxo-2,18-dioxa-9,15,22-triaza-1λ⁵-phosphaoctacosan-1-yl)-2'-O-(2-méthoxyéthyl)-5-méthyl-P-thiouridyl-(3'→5')-2'-O-(2-méthoxyéthyl)-P-thioguanyl-(3'→5')-2'-O-(2-méthoxyéthyl)-5-méthylcytidyl-(3'→5')-2'-O-(2-méthoxyéthyl)adényl-(3'→5')-2'-O-(2-méthoxyéthyl)-P-thioadényl-(3'→5')-2'-désoxy-P-thioguanyl-(3'→5')-P-thiothymidyl-(3'→5')-2'-désoxy-5-méthyl-P-thiocytidyl-(3'→5')-P-thiothymidyl-(3'→5')-2'-désoxy-5-méthyl-P-thiocytidyl-(3'→5')-P-thiothymidyl-(3'→5')-2'-désoxy-P-thioguanyl-(3'→5')-2'-désoxy-5-méthyl-P-thiocytidyl-(3'→5')-2'-O-(2-méthoxyéthyl)adényl-(3'→5')-2'-O-(2-méthoxyéthyl)adényl-(3'→5')-2'-O-(2-méthoxyéthyl)-P-thioadényl-(3'→5')-2'-O-(2-méthoxyéthyl)-5-méthyl-P-thiocytidyl-(3'→5')-2'-O-(2-méthoxyéthyl)adénosine <i>réducteur de la synthèse de prékallicréine</i></i></p>
donidalorsén	<p><i>todo-P-ambo-5'-O-(28-[(2-acetamido-2-desoxi-β-D-galactopiranosil)oxi]-16,16-bis[3-({6-[(2-acetamido-2-desoxi-β-D-galactopiranosil)oxi]hexil)-amino]-3-oxopropoxi]metil)-1-hydroxi-1,10,14,21-tetraoxo-2,18-dioxa-9,15,22-triaza-1λ⁵-fosfaoctacosan-1-il)-5-metil-2'-O-(2-metoxietil)-P-tio-uridilil-(3'→5')-2'-O-(2-metoxietil)-P-tioguanilil-(3'→5')-5-metil-2'-O-(2-metoxietil)citidilil-(3'→5')-2'-O-(2-metoxietil)adenilil-(3'→5')-2'-O-(2-metoxi-etil)-P-tioadenilil-(3'→5')-2'-desoxi-P-tioguanilil-(3'→5')-P-tiotimidilil-(3'→5')-2'-desoxi-5-metil-P-tiocitidilil-(3'→5')-P-tiotimidilil-(3'→5')-2'-desoxi-5-metil-P-tiocitidilil-(3'→5')-P-tiotimidilil-(3'→5')-P-tiotimidilil-(3'→5')-2'-desoxi-P-tioguanilil-(3'→5')-2'-desoxi-5-metil-P-tiocitidilil-(3'→5')-2'-O-(2-metoxietil)adenilil-(3'→5')-2'-O-(2-metoxietil)adenilil-(3'→5')-2'-O-(2-metoxietil)-P-tioadenilil-(3'→5')-5-metil-2'-O-(2-metoxietil)-P-tiocitidilil-(3'→5')-2'-O-(2-metoxietil)adenosina <i>reductor de la síntesis de precalicreína</i></i></p>

$C_{296}H_{435}N_{83}O_{151}P_{20}S_{15}$

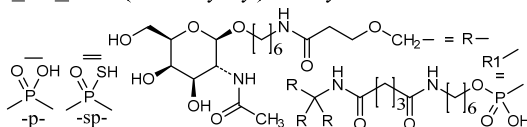
2304692-48-4

 $(3'-5') R1-U-G-C-A-A-d(G=T=C=T=C=T=T=G=C=A-A-C=A$ *Legend:*

G & T : 2'-deoxynucleotide C : 2'-deoxy-5-methylcytidine

A & G : 2'-O-(2-methoxyethyl)nucleotide

C & U : 2'-O-(2-methoxyethyl)-5-methylnucleotide

**ebaresdaxum**

ebaresdax

(4R)-2-(2-hydroxyanilino)-5,5-dimethyl-4,5-dihydro-1,3-thiazole-4-carboxylic acid
analgesic

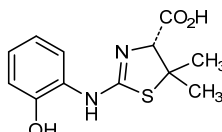
ébaresdax

acide *(4R)*-2-(2-hydroxyanilino)-5,5-diméthyl-4,5-dihydro-1,3-thiazole-4-carboxylique
analgésique

ebaresdax

ácido *(4R)*-2-(2-hidroxianilino)-5,5-dimetil-4,5-dihidro-1,3-tiazol-4-carboxílico
analgésico $C_{12}H_{14}N_2O_3S$

1334471-39-4

**ebdarokimabum #**

ebdarokimab

immunoglobulin G1-kappa, anti-[*Homo sapiens* IL12B (interleukin 12B, CLMF, IL-12B, NKSF, CLMF2)], humanized monoclonal antibody;
gamma1 heavy chain humanized(1-449) [VH (*Homo sapiens* IGHV5-51*01 (84.7%) -(IGHD) -IGHJ3*02 (92.9%) CDR-IMGT [8.8.12] (26-33.51-58.97-108) (1-119) -*Homo sapiens* IGHG1*03v G1m3>G1m17, nG1m1 (CH1 R120>K (216) (120-217), hinge 1-15 (218-232), CH2 (233-342), CH3 E12 (358), M14 (360) (343-447), CHS (448-449) (120-449)], (222-214')-disulfide with kappa light chain humanized (1'-214') [V-KAPPA (*Homo sapiens* IGKV3D-11*02 (86.7%) -IGKJ5*01 (100%) CDR-IMGT [6.3.9](27-32.50-52.89-97) (1'-107') -*Homo sapiens* IGKC*01 (100%), Km3 A45.1 (153), V101 (191) (108'-214')]; dimer (228-228":231-231")-bisdisulfide, produced in Chinese hamster ovary (CHO) cells, glycoform alfa
immunomodulator

ebdarokimab

immunoglobuline G1-kappa, anti-[*Homo sapiens* IL12B (interleukine 12B, CLMF, IL-12B, NKSF, CLMF2)], anticorps monoclonal humanisé;

chaîne lourde gamma1 humanisée (1-449) [VH (*Homo sapiens* IGHV5-51*01 (84.7%) -(IGHD) -IGHJ3*01 (92.9%)) CDR-IMGT [8.8.12] (26-33.51-58.97-108) (1-119) -*Homo sapiens* IGHG1*03v G1m3>G1m17, nG1m1 (CH1 R120>K (216) (120-217), charnière 1-15 (218-232), CH2 (233-342), CH3 E12 (358), M14 (360) (343-447), CHS (448-449) (120-449)], (222-214')-disulfure avec la chaîne légère kappa humanisée(1'-214') [V-KAPPA (*Homo sapiens* IGKV3D-11*02 (86.7%) -IGKJ5*01 (100%)) CDR-IMGT [6.3.9](27-32.50-52.89-97) (1'-107') -*Homo sapiens* IGKC*01 (100%), Km3 A45.1 (153), V101 (191) (108'-214')]; dimère (228-228":231-231")-bisulfure, produit dans des cellules ovariennes de hamster chinois (CHO), glycoforme alfa
immunomodulateur

ebdarokimab

inmunoglobulina G1-kappa, anti-[*Homo sapiens* IL12B (interleukina 12B, CLMF, IL-12B, NKSF, CLMF2)], anticuerpo monoclonal humanizado;
cadena pesada gamma1 humanizada (1-449) [VH (*Homo sapiens* IGHV5-51*01 (84.7%) -(IGHD) -IGHJ3*01 (92.9%)) CDR-IMGT [8.8.12] (26-33.51-58.97-108) (1-119) -*Homo sapiens* IGHG1*03v G1m3>G1m17, nG1m1 (CH1 R120>K (216) (120-217), bisagra 1-15 (218-232), CH2 (233-342), CH3 E12 (358), M14 (360) (343-447), CHS (448-449) (120-449)], (222-214')-disulfuro con la cadena ligera kappa humanizada(1'-214') [V-KAPPA (*Homo sapiens* IGKV3D-11*02 (86.7%) -IGKJ5*01 (100%)) CDR-IMGT [6.3.9](27-32.50-52.89-97) (1'-107') -*Homo sapiens* IGKC*01 (100%), Km3 A45.1 (153), V101 (191) (108'-214')]; dímero (228-228":231-231")-bisulfuro, producido en las células ováricas de hámster chino (CHO), forma glicosilada alfa
immunomodulador

2393651-11-9

Heavy chain / Chaîne lourde / Cadena pesada

```
EVQLVQSGAE VKKPGESLKI SQCSSGYTFT SYWIGVVRQM PGQGLEWIGI 50
MSFVDSDIRY NPMFRGQVTM SVDRSSSTAY LQWSSLKASD TAMYYCARRR 100
PGQGYDFDFWG QCTMVTVSSA STKGPSVFPEL APSSKSTSGG TAALGCLVKD 150
YFPEPVTWVW NSGALTSVGH TFPFVAVLQSSG LYSLSVTVV PSSLFTQTY 200
ICNVNHKPSN TKVDKKEVPEK SCDKTHTCPP CPAPELLGGP SVPLFPKPK 250
DTLMISRTPE VTCVVVDVSH EDPEVKFNWY VDGVEVHNAK TKPREEQYNS 300
TYRVSVLTV LHQDWLNGKE YKCKVSKNAL PAPIEKTISK AKGQPREPQV 350
YTLPPSREEM TKNQVSLTCL VKGFYPSDIA VEWESNGQPE NNYKTTPEVL 400
DSDGSFFLYS KLTVDKSRWQ QGNVFCSVM HEALHNHYTQ KSLSLSPGK 449
```

Light chain / Chaîne légère / Cadena ligera

```
EIVLTQSPAT LSASPGERAT ISCRASQVSG TWVAWYQKPK GQAPRSLIYA 50
ASNLSQGIPA RFSGSGSGTD FTLTISLLEP EDFAVYVYCOQ YNIIYPYTFGQ 100
GTRLEIKRTV AAFPSVFIFPP SDEQLKSGTA SVVCLLNIFY PREAKVQWKV 150
DNALQSGNSQ ESVTEQDSKD STYLSLSTLT LSKADYEKHK VYACEVTHQG 200
LSSEPVTKSFN RGEC 214
```

Post-translational modifications

Disulfide bridges location / Position des ponts disulfure / Posiciones de los puentes disulfuro

Intra-H (C23-C104) 22-96 146-202 263-323 369-427
22"-96" 146"-202" 263"-323" 369"-427"

Intra-L (C23-C104) 23'-88" 134"-194"
23"-88" 134"-194"

Inter-H-L (h 5-CL126) 222-214' 222"-214"

Inter-H-H (h 11, h 14) 228-228" 231-231"

N-glycosylation sites / Sites de N-glycosylation / Posiciones de N-glicosilación

H CH2 N84.4:

299, 299"

Fucosylated complex bi-antennary CHO-type glycans / glycanes de type CHO bi-antennaires complexes fucosylés / glicanos de tipo CHO biantennarios complejos fucosilados.

C-terminal lysine clipping / Coupure de la lysine C-terminale / Recorte de lisina C-terminal

H CHS K2:

449, 449"

ebvaciclibum

ebvaciclib

6-(difluoromethyl)-8-[(1*R*,2*R*)-2-hydroxy-2-methylcyclopentyl]-2-[[1-(methanesulfonyl)piperidin-4-yl]amino]pyrido[2,3-*d*]pyrimidin-7(8*H*)-one
cyclin-dependent kinase inhibitor, antineoplastic

ebvaciclib

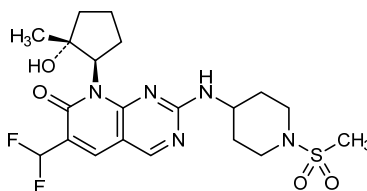
6-(difluorométhyl)-8-[(1*R*,2*R*)-2-hydroxy-2-méthylcyclopentyl]-2-[[1-(méthanesulfonyl)pipéridin-4-yl]amino]pyrido[2,3-*d*]pyrimidin-7(8*H*)-one
inhibiteur des kinases dépendantes des cyclines, antinéoplasique

ebvaciclib

6-(difluorometil)-8-[(1*R*,2*R*)-2-hidroxi-2-metilciclopentil]-2-[[1-(metanosulfonyl)piperidin-4-il]amino]pirido[2,3-*d*]pirimidin-7(8*H*)-ona
inhibidor de las kinasas dependientes de las ciclinas, antineoplásico

C₂₀H₂₇F₂N₅O₄S

2185857-97-8

**ecubectedinum**

ecubectedin

(1'*R*,3'*S*,6*R*,6*aR*,7*R*,13*S*,14*S*,16*R*)-8,14-dihydroxy-3'-(hydroxymethyl)-9-methoxy-4,10,23-trimethyl-19-oxo-2',3',4',6,6*a*,7,9',13,14,16-decahydro-2*H*,12*H*-spiro[7,13-azano-6,16-(sulfanopropanooxymethano)[1,3]dioxolo[7,8]isoquino[3,2-*b*][3]benzazocine-20,1'-pyrido[3,4-*b*]indol]-5-yl acetate
antineoplastic

écubectédine

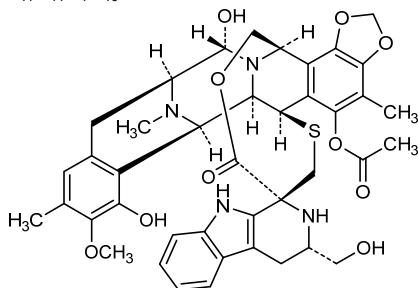
acétate de (1'*R*,3'*S*,6*R*,6*aR*,7*R*,13*S*,14*S*,16*R*)-8,14-dihydroxy-3'-(hydroxyméthyl)-9-méthoxy-4,10,23-triméthyl-19-oxo-2',3',4',6,6*a*,7,9',13,14,16-décahydro-2*H*,12*H*-spiro[7,13-azano-6,16-(sulfanopropanooxyméthano)[1,3]dioxolo[7,8]isoquino[3,2-*b*][3]benzazocine-20,1'-pyrido[3,4-*b*]indol]-5-yle
antineoplasique

ecubectedina

acetato de (1'*R*,3'*S*,6*R*,6*aR*,7*R*,13*S*,14*S*,16*R*)-8,14-dihidroxi-3'-(hidroximetil)-4,10,23-trimetil-9-metoxi-19-oxo-2',3',4',6,6*a*,7,9',13,14,16-decahidro-2*H*,12*H*-spiro[7,13-azano-6,16-(sulfanopropanooximetano)[1,3]dioxolo[7,8]isoquino[3,2-*b*][3]benzazocina-20,1'-pirido[3,4-*b*]indol]-5-ilo
antineoplásico

C₄₁H₄₄N₄O₁₀S

2248127-53-7

**edaxeterkibum**

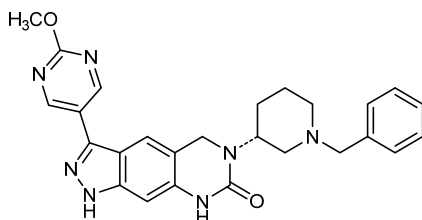
edaxeterkib 6-[(3*R*)-1-benzylpiperidin-3-yl]-3-(2-methoxypyrimidin-5-yl)-1,5,6,8-tetrahydro-7*H*-pyrazolo[4,3-*g*]quinazolin-7-one
tyrosine kinase inhibitor, antineoplastic

édaxeterkib 6-[(3*R*)-1-benzylpipéridin-3-yl]-3-(2-méthoxypyrimidin-5-yl)-1,5,6,8-tétrahydro-7*H*-pyrazolo[4,3-*g*]quinazolin-7-one
inhibiteur de la tyrosine kinase, antinéoplasique

edaxeterkib 6-[(3*R*)-1-benzilpiperidin-3-il]-3-(2-metoxipirimidin-5-il)-1,5,6,8-tetrahydro-7*H*-pirazolo[4,3-*g*]quinazolin-7-ona
inhibidor de la tirosina kinasa, antineoplásico

C₂₆H₂₇N₇O₂

1695534-88-3

**eflimrufuspum alfa #**

eflimrufusp alfa human vascular endothelial growth factor receptor 1 (VEGFR-1) immunoglobulin-like domain 2 containing fragment (132-232, 1-101 in the current sequence), fused via human vascular endothelial growth factor receptor 2 (VEGFR-2) immunoglobulin-like domain 3 containing fragment (227-327, 102-202 in the current sequence) to human fibroblast growth factor receptor 1 (FGFR-1) immunoglobulin-like domains 2 and 3 containing fragment (150-361, 203-414 in the current sequence), fused to human immunoglobulin G1 Fc fragment (415-641), dimer, glycosylated, produced in Chinese hamster ovary (CHO) cells;
vascular endothelial growth factor receptor 1 (*Homo sapiens* VEGFR-1) (132-232)-peptide (1-101), containing the immunoglobulin-like domain 2, fused with vascular endothelial growth factor receptor 2 (*Homo sapiens* VEGFR-2) (227-327)-peptide (102-202), containing the immunoglobulin-like domain 3, with fibroblast growth factor receptor 1 (*Homo sapiens* FGFR-1) (150-361)-peptide (203-414), containing the immunoglobulin-like domains 2 and 3 (211-299 and 308-410), and with a C-terminal *Homo sapiens* immunoglobulin G1 227-peptide Fc fragment (415-641), [*Homo sapiens* IGHG1*01; hinge 415-424; CH2: 425-534; CH3: 535-639; CHS: 640-641]; dimer (420-420':423-423')-bisdissulfide, produced in Chinese hamster ovary (CHO) cells, glycoform alfa
angiogenesis inhibitor

éflimrufusp alfa

domaine 2 analogue à l'immunoglobuline du récepteur 1 du facteur de croissance de l'endothélium vasculaire humain (VEGFR-1) contenant le fragment (132-232, 1-101 dans la séquence actuelle), fusionné via le domaine 3 analogue à l'immunoglobuline du récepteur 2 du facteur de croissance de l'endothélium vasculaire humain (VEGFR-2) contenant le fragment (227-327, 102-202 dans la séquence actuelle) aux domaines 2 et 3 analogues à l'immunoglobuline du récepteur 1 du facteur de croissance des fibroblastes humain 21 (FGFR-1) contenant le fragment (150-361, 203-414 dans la séquence actuelle), fusionné au fragment Fc (415-641) de l'immunoglobuline G1 humaine, dimère, glycosylé, produit dans des cellules ovariennes de hamster chinois (CHO); peptide 132-232 du récepteur 1 du facteur de croissance de l'endothélium vasculaire (VEGFR-1 d'*Homo sapiens*) (1-101), contenant le domaine 2 analogue à l'immunoglobuline, fusionné avec le peptide-(227-327) du récepteur 2 du facteur de croissance de l'endothélium vasculaire (VEGFR-2 d'*Homo sapiens*) (102-202), contenant le domaine 3 analogue à l'immunoglobuline, avec le peptide-(150-361) du récepteur 1 du facteur de croissance des fibroblastes (FGFR-1 d'*Homo sapiens*) (203-414), contenant les domaines 2 et 3 analogues à l'immunoglobuline (211-299 et 308-410), et avec le fragment Fc du peptide-227 C-terminal de l'immunoglobuline G1 d'*Homo sapiens* (415-641), [*Homo sapiens* IGHG1*01; charnière 415-424; CH2: 425-534; CH3: 535-639; CHS: 640-641]; dimère (420-420':423-423')-bisdisulfure, produit dans des cellules ovariennes de hamster chinois (CHO), glycoforme alfa *inhibiteur de l'angiogénèse*

eflimrufusp alfa

dominio 2 de tipo inmunoglobulina del receptor 1 del factor de crecimiento endotelial vascular humano (VEGFR-1) conteniendo el fragmento (132-232, 1-101 en la secuencia actual), fusionado a través del dominio 3 de tipo inmunoglobulina del receptor 2 del factor de crecimiento endotelial vascular humano (VEGFR-2) conteniendo el fragmento (227-327, 102-202 en la secuencia actual) de los dominios 2 y 3 de tipo inmunoglobulina del receptor 1 del factor de crecimiento de fibroblastos humano (FGFR-1) conteniendo el fragmento (150-361, 203-414 en la secuencia actual), fusionado al fragmento Fc de la inmunoglobulina humana G1 (415-641), dímero, glicosilado, producido en células ováricas de hámster chino (CHO); péptido 132-232 del receptor 1 del factor de crecimiento del endotelio vascular (VEGFR-1 de *Homo sapiens*) (1-101), que contiene el dominio 2 del tipo inmunoglobulina, fusionado con el péptido 227-327 del receptor 2 del factor de crecimiento del endotelio vascular (VEGFR-2 de *Homo sapiens*) (102-202), que contiene el dominio 3 del tipo inmunoglobulina, con el péptido 150-361 del receptor 1 del factor de crecimiento de fibroblastos (FGFR-1 de *Homo sapiens*) (203-414), que contiene los dominios 2 y 3 de tipo inmunoglobulina (211-299 y 308-410), y con el fragmento Fc 227-peptídico C-terminal de la inmunoglobulina G1 de *Homo sapiens* (415-641), [*Homo sapiens* IGHG1*01; bisagra 415-424; CH2: 425-534; CH3: 535-639; CHS: 640-641]; dímero (420-420':423-423')-bisdisulfuro, producido en células ováricas de hámster chino (CHO), glicofoma alfa *inhibidor de la angiogénesis*

2363779-14-8

Sequence / Séquence / Secuencia	
GRPFVEMYSE IPEIIHMTEG RELVIPCRTV SPNITVTLKK FFLDTLIPDG	50
KRIIWDSSRKG FIISNATYKE IGLLTCEATV NGHLYKTNYL THROTNTIID	100
VVLSPSHGIE LSVGEKLVLN CTARTELNVG IDFNWEYPSS KHQHKLVNR	150
DLTKQSGSEM KKFSLTLTID GVTRSDQGLY TCAASSGLMT KKNSTFVRVH	200
EKPVAPYWTS FEKMEKLLHA VPAKTVKFK CPSSGTPNPT LRWLKNGKEF	250
KPDHRIGGYK VRYATWSIIM DSVVPSDKGN YTCIVENEYEG SINHTYQLDV	300
VERSPHRELL QAGLPANKTV ALGSNVEEMC KVIYSDPQPHI QWLKHIEVNG	350
SKIGPDNLXP VQLLKTAGVN TTDKEMEVHL LRVNSFEDAG EYTCLAGNSI	400
GLSHHSAWLT VLEADKTHC PPCPAPELLG GPSVFLFPPK PKDTLMISRT	450
PEVTCVVVDV SHEDPEVKFN WYVDGVEVHN AKTKPREBQQ NSTYRVVSVL	500
TVLHQDWLNG KEYCKVSNK ALPAPIEKTI SKARGQPREP QVYTLPPSRD	550
ELTKNQVSLT CLVKGFYPSD IAVEWESNGQ PENNYKTPP VLDSGDGFFL	600
YSKLTVDKSR WQQGNVFCSS VMHEALHNHY TQKSLSLSPG K	641

VEGFR-1 Ig-like 2 / VEGFR-2 Ig-like 3 / FGFR-1 Ig-like 2+3 / IgG1 Fc

Post-translational modifications

Disulfide bridges location / Position des ponts disulfure / Posiciones de los puentes disulfuro

Intra-VEGFR1: 27-76 Intra-VEGFR2: 121-182

27-76' 121-182'

Intra-FGFR1: 231-283, 330-394 Intra-Fc: 455-515, 561-619

231-283', 330-394' 455-515', 561-619'

Inter-Fc: 420-420', 423-423'

Glycosylation sites / Sites de glycosylation / Posiciones de glicosilación

N33, N65, N120, N193, N280, N293, N317, N349, N370, N383, N491,

N33', N65', N120', N193', N280', N293', N317', N349', N370', N383', N491'

C-terminal lysine clipping / Coupure de la lysine C-terminale / Supresión de lisina C-terminal

K641, K641'

efruxiferminum #
efruxifermin

human L-methionyl immunoglobulin G1 Fc fragment (1-228) fused via peptidyl linker ²²⁹GGGGSGGGSGGGGS²⁴³ to human fibroblast growth factor 21 (FGF-21) fragment (29-209, 244-424 in the current sequence) variant (L⁹⁸>R³⁴¹, P¹⁷¹>G⁴¹⁴, A¹⁸⁰>E⁴²³), dimer, produced in *Escherichia coli*;

L-methionyl-immunoglobulin G1 (*Homo sapiens*) γ 1-chain C-terminal 227-peptide Fc fragment (1-228) [*Homo sapiens* IGHG1*1; hinge 1-11; CH2 12-121; CH3 122-226; CHS 227-228] fused with the peptide linker (G₄S)₃ (229-243) and [L⁹⁸>R³⁴¹, P¹⁷¹>G⁴¹⁴, A¹⁸⁰>E⁴²³]-fibroblast growth factor 21 (*Homo sapiens* FGF-21) (244-424), dimer (7-7':10-10')-bisdisulfide, non-glycosylated, produced in *Escherichia coli* fibroblast growth factor

éfruxifermine

fragment Fc L-méthionyl (1-228) de l'immunoglobuline G1 humaine fusionné via un linker peptidique ²²⁹GGGGSGGGSGGGGS²⁴³ au fragment (29-209, 244-424 dans la séquence actuelle) du facteur de croissance des fibroblastes 21 (FGF-21), variant (L⁹⁸>R³⁴¹, P¹⁷¹>G⁴¹⁴, A¹⁸⁰>E⁴²³), dimère, produit par *Escherichia coli*;

L-méthionyl-fragment Fc (1-228) de l'immunoglobuline G1 (227-peptide C-terminal de la chaîne γ 1 d'*Homo sapiens*) [*Homo sapiens* IGHG1*1; charnière 1-11; CH2 12-121; CH3 122-226; CHS 227-228] fusionné avec le linker peptidique (G₄S)₃ (229-243) et [L⁹⁸>R³⁴¹, P¹⁷¹>G⁴¹⁴, A¹⁸⁰>E⁴²³]-facteur 21 de croissance des fibroblastes (FGF-21 d'*Homo sapiens*) (244-424), dimère (7-7':10-10')-bisdisulfure, non-glycosylé, produit par *Escherichia coli* facteur de croissance des fibroblastes

efruxifermina

inmunoglobulina humana L-metionil fragmento G1 Fc (1-228) fusionada a través de un enlace peptídil ²²⁹GGGGSGGGSGGGGS²⁴³ al factor fibroblasto humano 21 (FGF-21) fragmento (29-209, 244-424 en la secuencia actual) variante (L⁹⁸>R³⁴¹, P¹⁷¹>G⁴¹⁴, A¹⁸⁰>E⁴²³), dímero, producido en *Escherichia coli*; L-metionil-fragmento Fc de inmunoglobulina G1 (227-péptido C-terminal de la cadena γ 1 de *Homo sapiens*) (1-228) [*Homo sapiens* IGHG1*1; bisagra 1-11; CH2 12-121; CH3 122-226; CHS 227-228] fusionado con el péptido conector (G₄S)₃ (229-243) y [L⁹⁸>R³⁴¹, P¹⁷¹>G⁴¹⁴, A¹⁸⁰>E⁴²³]-factor 21 de crecimiento fibroblástico (FGF-21 de *Homo sapiens*) (244-424), dímero (7-7':10-10')-bisdisulfuro, no glicosilado, producido en *Escherichia coli*
factor de crecimiento de los fibroblastos

2375240-92-7

Sequence / Séquence / Secuencia
MDKTHTCPPC PAPELLGGPS VFLFPPKPKD TLMISRTPEV TCVVVDVSHE 50
DPEVKFNWYV DGEVHNAKT KPREEQYNST YRVVSVLTVL HQDWLNGKEY 100
KCKVSNKALP APIEKTISKA KGQPREPQVY TLPFSRDELDT KNQVSLTCLV 150
KGFYPSDIAV EWESNGQPEN NYKTTTPVLD SDGSFFLYSK LTVDKSRWQQ 200
GNVFSCSMVH EALHNHYTQK SLSLSPGKGG GGSGGGSGG GGSHPIDSS 250
PLLQFGGQVR QRYLYTDDAQ QTEAHLEIRE DGTVGGGADQ SPESLLQLKA 300
LKPQVITQLG VKTSRFLCQR PDGALYGLSH FDPEACSFRE RLEEDGYNVY 350
QSEAHGLPLH LFGNKSPPRD PAPRGPAREL PLFGLPPAPP EPPGILAPQP 400
PDVGSDDPLS MVGSGQGRSP SYES 424

Mutation sites / Sites de mutation / Posiciones de mutación

L341>R, P414>G, A423>E
L341>R, P414>G, A423>E

Post-translational modifications

Disulfide bridges location / Position des ponts disulfure / Posiciones de los puentes disulfuro

Intra-Fc: 42-102, 148-206 Intra-FGF21: 318-336
42'-102', 148'-206' 318'-336'

Inter-Fc 7-7', 10-10'

Glycosylation sites / Sites de glycosylation / Posiciones de glicosilación

none / aucun / ninguna

eganelisibum

eganelisib

2-amino-*N*-[(1*S*)-1-{8-[(1-methyl-1*H*-pirazol-4-yl)etynil]-1-oxo-2-fenil-1,2-dihidroisoquinolin-3-yl}etil]pirazolo[1,5-*a*]pirimidina-3-carboxamida
phosphatidylinositol 3-kinase (PI3K) inhibitor, antineoplastic

éganélisib

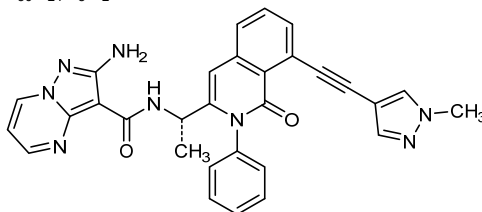
2-amino-*N*-[(1*S*)-1-{8-[(1-méthyl-1*H*-pirazol-4-yl)éthynil]-1-oxo-2-phényl-1,2-dihidroisoquinoléin-3-yl}éthyl]pirazolo[1,5-*a*]pirimidine-3-carboxamide
inhibiteur de phosphatidylinositol 3-kinase (PI3K), antinéoplasique

eganelisib

2-amino-*N*-[(1*S*)-1-{2-fenil-8-[(1-metil-1*H*-pirazol-4-il)etil]etil]pirazolo[1,5-*a*]pirimidina-3-carboxamida
inhibidor de fosfatidilinositol 3-kinasa (PI3K), antineoplásico

C₃₀H₂₄N₈O₂

1693758-51-8

**elraglusibum**

elraglusib

3-(5-fluoro-1-benzofuran-3-yl)-4-(5-methyl-5H-[1,3]dioxolo[4,5-f]indol-7-yl)-1H-pyrrole-2,5-dione
glycogen synthase kinase inhibitor

elraglusib

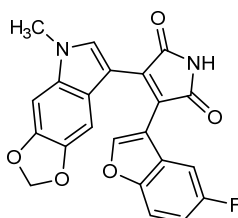
3-(5-fluoro-1-benzofuran-3-yl)-4-(5-méthyl-5H-[1,3]dioxolo[4,5-f]indol-7-yl)-1H-pyrrole-2,5-dione
inhibiteur de la glycogène synthase kinase

elraglusib

3-(5-fluoro-1-benzofuran-3-il)-4-(5-metil-5H-[1,3]dioxolo[4,5-f]indol-7-il)-1H-pirrol-2,5-diona
inhibidor de la glucógeno sintasa kinasa

C₂₂H₁₃FN₂O₅

1034895-42-5

**emavusertibum**

emavusertib

N-[5-[(3*R*)-3-hydroxypyrrolidin-1-yl]-2-(morpholin-4-yl)[1,3]oxazolo[4,5-*b*]pyridin-6-yl]-2-(2-methylpyridin-4-yl)-1,3-oxazole-4-carboxamide
serine/ threonine kinase inhibitor

émavusertib

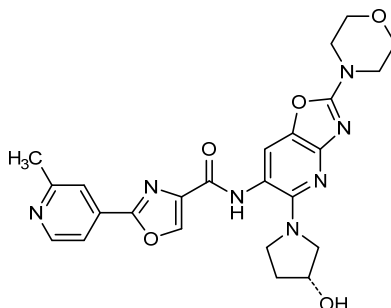
N-[5-[(3*R*)-3-hydroxypyrrolidin-1-yl]-2-(morpholin-4-yl)[1,3]oxazolo[4,5-*b*]pyridin-6-yl]-2-(2-méthylpyridin-4-yl)-1,3-oxazole-4-carboxamide
inhibiteur de sérine/ thréonine kinase

emavusertib

N-[5-[(3*R*)-3-hidroxiipirrolidin-1-il]-2-(morfolin-4-il)[1,3]oxazolo[4,5-*b*]piridin-6-il]-2-(2-metilpiridin-4-il)-1,3-oxazol-4-carboxamida
inhibidor de serina/ treonina kinasa

C₂₄H₂₅N₇O₅

1801344-14-8

**emvododstatum**

emvododstat

4-chlorophenyl (1S)-6-chloro-1-(4-methoxyphenyl)-
1,3,4,9-tetrahydro-2H-pyrido[3,4-b]indole-
2-carboxylate
dihydroorotate dehydrogenase (DHODH) inhibitor

emvododstat

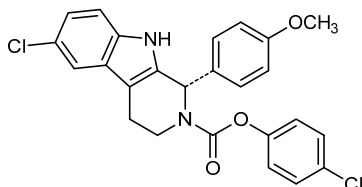
(1S)-6-chloro-1-(4-méthoxyphényl)-1,3,4,9-tétrahydro-
2H-pyrido[3,4-b]indol-2-carboxylate de
4-chlorophényle
*inhibiteur de la dihydroorotate déshydrogénase
(DHODH)*

emvododstat

(1S)-6-cloro-1-(4-metoxifenil)-1,3,4,9-tetrahidro-
2H-pirido[3,4-b]indol-2-carboxilato de 4-clorofenilo
*inhibidor de la dihidroorotato deshidrogenasa
(DHODH)*

C₂₅H₂₀Cl₂N₂O₃

1256565-36-2

**encoberminogenum rezmadenovecum #**

encoberminogene rezmadenovec

A replication-deficient recombinant adenovirus, serotype 5, encoding multiple human vascular endothelial growth factor (VEGF) isoforms.

A replication-deficient recombinant adenovirus, serotype 5 (Ad5), encoding multiple human vascular endothelial growth factor (VEGF) isoforms (VEGF121, VEGF165 and VEGF189) under the control of a cytomegalovirus immediate early promoter/enhancer (CMV) and the simian virus 40 (SV40) polyA sequence. Alternative splicing provides mRNA that encodes the three major isoforms of VEGF: VEGF121 (exons 1-5 and 8), VEGF165 (exons 1-5, 7 and 8) and VEGF189 (exons 1-5, 6A, 7 and 8). The VEGF transgene is inserted into the region from which the adenovirus early gene *E1A* is deleted and *E1B* is partially deleted; the *E3* gene is deleted between late gene *L5* and the early gene *E4*.

gene therapy (angiogenesis inducer)

encoberminogène rezmadénovec

Un adénovirus recombinant déficient à la réplication, de sérotype 5, codant de multiples isoformes du facteur de croissance de l'endothélium vasculaire humain (VEGF).

Un adénovirus recombinant déficient à la réplication, de sérotype 5 (Ad5), codant de multiples isoformes (VEGF121, VEGF165 et VEGF189) du facteur de croissance de l'endothélium vasculaire humain (VEGF) sous le contrôle d'un promoteur/activateur précoce immédiat du cytomégalovirus (CMV) et d'une séquence polyA du virus simien (SV40). L'épissage alternatif génère un ARNm qui code trois isoformes majeures du VEGF : VEGF121 (exons 1-5 et 8), VEGF165 (exons 1-5, 7 et 8) et VEGF189 (exons 1-5, 6A, 7 et 8). Le transgène VEGF est inséré dans la région de laquelle le gène précoce de l'adénovirus *E1A* est supprimé et où *E1B* est partiellement supprimé; le gène *E3* est supprimé entre le gène tardif *L5* et le gène précoce *E4*.

thérapie génique (inducteur de l'angiogénèse)

encoberminogén rezmadenovec

Un adenovirus recombinante, deficiente en replicación, serotipo 5, que codifica para múltiples isoformas del factor de crecimiento del endotelio vascular humano (VEGF).

Un adenovirus recombinante, deficiente en replicación, serotipo 5 (Ad5), que codifica para múltiples isoformas del factor de crecimiento del endotelio vascular humano (VEGF) (VEGF121, VEGF165 y VEGF189) bajo el control de un promotor/potenciador inmediato temprano del citomegalovirus (CMV) y una secuencia polyA del virus 40 de simios (SV40). El procesamiento alternativo proporciona mRNA que codifica para las tres principales isoformas de VEGF: VEGF121 (exones 1-5 y 8), VEGF165 (exones 1-5, 7 y 8) y VEGF189 (exones 1-5, 6A, 7 y 8). El transgén VEGF está insertado en la región en la que el gen temprano *E1A* del adenovirus está deleciónado y *E1B* está parcialmente deleciónado; el gen *E3* está deleciónado entre el gen tardío *L5* y el gen temprano *E4*.

terapia génica (inductor de la angiogénesis)

2376853-01-7

ensovibepum

ensovibep

fusion protein consisting of two identical engineered ankyrin repeats-containing binding protein domains anti-(human albumin) (1-126 fused via peptidyl linker ¹²⁷GSPTPTPTPTPTPTPTPT¹⁴⁸ to 149-274), fused via peptidyl linker ²⁷⁵GSPTPTPTPTPTPTPTPTPTPT²⁹⁶ to three engineered ankyrin repeats-containing binding protein domains anti-(three different epitopes of the SARS-CoV-2 spike glycoprotein) (297-455 fused via peptidyl linker ⁴⁵⁶GSPTPTPTPTPTPTPTPTPTPT⁴⁷⁷ to 478-636 in turn fused via peptidyl linker ⁶³⁷GSPTPTPTPTPTPTPTPTPTPT⁶⁵⁸ to 659-817), produced in *Escherichia coli*;

fusion protein comprising five engineered protein-binding ankyrin repeat protein domains: two identical human serum albumin (HSA)-binding 126-peptides 1-126 and 149-274 plus three different 159-peptides 297-455, 478-636 and 659-817 that bind to three different epitopes of the spike glycoprotein (S protein, S1S2 protein) of SARS-CoV-2 (severe acute respiratory syndrome coronavirus 2), connected by four GS(PT)₃T(PT)₃ 22-peptide linkers 127-148, 275-296, 456-477 and 637-658, produced in *Escherichia coli*
antiviral

ensovibep

protéine de fusion consistant de deux répétitions ankyrine identiques issues de l'ingénierie-contenant des domaines de protéines de liaison anti-(albumine humaine) (1-126 fusionné via un linker peptidique ¹²⁷GSPTPTTTPTPTTTPTPTPT¹⁴⁸ au 149-274), fusionné via un linker peptidique ²⁷⁵GSPTPTTTPTPTTTPTPTPT²⁹⁶ à trois répétitions ankyrine issues de l'ingénierie-contenant des domaines de protéines de liaison anti-(trois épitopes différents de la glycoprotéine de spicule) (297-455 fusionné via un linker peptidique ⁴⁵⁶GSPTPTTTPTPTTTPTPTPT⁴⁷⁷ au 478-636 fusionné à son tour via un linker peptidique ⁶³⁷GSPTPTTTPTPTTTPTPTPT⁶⁵⁸ au 659-817), produit chez *Escherichia coli*;

protéine de fusion consistant de cinq protéines issues de l'ingénierie-liant des domaines protéiques de répétitions ankyrine: deux albumines sériques humaines identiques (HAS)-liant 126-peptides 1-126 et 149-274 plus trois différents 159-peptides 297-455, 478-636 et 659-817 liés aux trois épitopes différents de la glycoprotéine de spicule (protéine S, protéine S1S2) du SARS-CoV-2 (coronavirus 2 du syndrome respiratoire aigu sévère), connectés par quatre GS(PT)₃T(PT)₃T(PT)₃ 22-linkers peptidiques 127-148, 275-296, 456-477 et 637-658, produit chez *Escherichia coli*
antiviral

ensovibep

proteína de fusión consistente en dos dominios anti-(albúmina humana) diseñados de forma idéntica conteniendo repeticiones de anquirina (1-126 fusionada a través de un enlace peptidil ¹²⁷GSPTPTTTPTPTTTPTPTPT¹⁴⁸ a 149-274), fusionado a través de un enlace peptidil ²⁷⁵GSPTPTTTPTPTTTPTPTPT²⁹⁶ a tres dominios anti-(tres épitopos diferentes de SARS-CoV-2 glicoproteína espícula) diseñados conteniendo repeticiones de anquirina (297-455 fusionados a través del enlace peptidil ⁴⁵⁶GSPTPTTTPTPTTTPTPTPT⁴⁷⁷ a 478-636 por turno fusionado a través de un enlace peptidil ⁶³⁷GSPTPTTTPTPTTTPTPTPT⁶⁵⁸ to 659-817), producido en *Escherichia coli*;

proteína de fusión que comprende cinco dominios diseñados conteniendo repeticiones de union a proteína anquirina: dos albúminas séricas idénticas humanas aglutinantes-(HSA) 126-péptidos 1-126 y 149-274 y además 159-péptidos 297-455, 478-636 y 659-817 que se une a 3 épitopos distintos de la glicoproteína espícula (S proteína, S1S2 proteína) de SARS-CoV-2 (síndrome severo agudo respiratorio del coronavirus 2) conectado por cuatro enlaces tipo péptido 127-148, 275-296, 456-477 y 637-658, producido en *Escherichia coli*
antiviral

2451126-06-8

Sequence / Séquence / Secuencia

M	0
GS	DLGKLLLE AARAGQDDEV RELLKAGADV NAKDYFSHTP LHLAARNGHL 50
KI	VEVLLKAG ADVNAKDFAG KTFPLHLAANE GHLEIVEVLL KAGADVNAQD 100
IF	GKTFADIA ADAGHEDIAE VLQKAAGSPT <u>PTTPTPTPT</u> <u>TTPTPTPTGS</u> 150
DL	GKLLLEAA RAGQDDEVRE LLKAGADVNA KDYFSHTPLH LAARNGHLKI 200
VE	VLLKAGAD VNAKDFAGKT PLHLAANEGH LEIVEVLLKA GADVNAQDIF 250
GK	TFADIAAD AGHEDIAEVL QKAAGSPT <u>PTTPTPTPT</u> <u>PTPTPTGS</u> DL 300
GK	LLQAARA GQLDEVRELL KAGADVNAKD REGITPLHLA AQHGHLEIVE 350
VLL	KAGADVNAKDVWGRTP LHLAAWQGHLE IVEVLLKAGA DVNAKDLAGA 400
TP	LHVAALYG HLEIVEVLLK AGADVNAQDK SGKTPADLAA RAGHQDIAEV 450
LQ	KAAGSPT <u>PTTPTPTPT</u> <u>PTPTPTGS</u> D LGKLLQAAR AGQLDEVREL 500
LK	AGADVNAK DREGKTPLVV AAQEGHLEIV EVLLKAGADV NAKDVWGRTP 550
LHL	AAWIGHL EIVEVLLKAG ADVNAKDVSG ATPLHAAALH GHLEIVEVLL 600
NAG	ADVNAQD KSGKTPADLA ARAGHQDIAE VLQKAAGSPT <u>PTTPTPTPT</u> 650
<u>TTPTPTPT</u>	<u>TTPTPTPTGS</u> DLGKLLQAAR RAGQLDEVRE LLKAGADVNA KDQEGITPLH 700
VA	AHQGHLEI VEVLLKAGAD VNAKDVWGRTP PLHLAAWRGH LEIVEVLLKA 750
GAD	VNAKDHA GATPLHAAAL SGHLEIVEVL LKAGADVNAQ DKSGKTPADL 800
AAR	AGHQDIAEVLQKAA 817

italicized/underlined letters: 22-peptide linkers GS(PT)₃T(PT)₃T(PT)₃Glycosylation sites / Sites de glycosylation / Posiciones de glicosilación:
none / aucune / ningunaM: Met⁰ is clipped**enuvaptanum**

enuvaptan

3-({3-(4-chlorophenyl)-5-oxo-4-[(2S)-3,3,3-trifluoro-2-hydroxypropyl]-4,5-dihydro-1H-1,2,4-triazol-1-yl)methyl)-1-[3-(trifluoromethyl)pyridin-2-yl]-1H-1,2,4-triazole-5-carboxamide
vasopressin receptor antagonist

énuvaptan

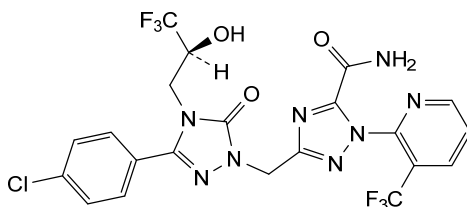
3-({3-(4-chlorophényl)-5-oxo-4-[(2S)-3,3,3-trifluoro-2-hydroxypropyl]-4,5-dihydro-1H-1,2,4-triazol-1-yl)méthyl)-1-[3-(trifluorométhyl)pyridin-2-yl]-1H-1,2,4-triazole-5-carboxamide
agoniste du récepteur de la vasopressine

enuvaptán

3-({3-(4-clorofenil)-5-oxo-4-[(2S)-3,3,3-trifluoro-2-hidroxipropil]-4,5-dihidro-1H-1,2,4-triazol-1-il}metil)-1-[3-(trifluorometil)piridin-2-il]-1H-1,2,4-triazol-5-carboxamida
agonista del receptor de la vasopresina

C₂₁H₁₅ClF₆N₈O₃

2145062-48-0



eramkafuspum alfa #

eramkafusp alfa

chimeric immunoglobulin G1-kappa anti-(human B-lymphocyte antigen CD20) (*rituximab* (77)(39)), fused at the C-terminus of both heavy chains (1-451) via peptidyl linker ⁴⁵²SGGGGS⁴⁵⁷ to human interferon α -2b (IFN α -2b) fragment (24-188, 458-622 in the current sequence) variant (²³K>R⁴⁸⁰), dimer, glycosylated, produced in Chinese hamster ovary (CHO) cells; immunoglobulin G1-kappa, anti-[*Homo sapiens* CD20 antigen (B-lymphocyte antigen CD20)], humanized monoclonal antibody (*rituximab* (77)(39)), gamma1 heavy chain humanized (1-451) [*Mus musculus* IGHV1-12*01; *Mus musculus* IGHJ1*01; *Homo sapiens* IGHG1*01; VH: 1-121; CH1: 122-219; hinge 220-234; CH2: 235-344; CH3: 345-449; CHS: 450-451; CDRKabatH1: SYNMH (31-35); CDRKabatH2: AIYPGNGDTSYNQKFKG (50-66); CDRKabatH3: STYYGGDWYFNV (99-110)], fused via a SG₄S linker (452-457) with interferon α -2b (*Homo sapiens*) [^{K²³}>R⁴⁸⁰]-variant (458-622), (224-213')-disulfide with kappa light chain humanized (1'-213') [*Mus musculus* IGKJ1*01; *Homo sapiens* IGKC*01; VL: 1-111; CL: 112-218; CDRKabatL1: RASSSVSYIH (24-33); CDRKabatL2: ATSNLAS (49-55); CDRKabatL3: QQWTSNPPT (88-96)]; dimer (230-230":233-233")-bisdisulfide, produced in Chinese hamster ovary (CHO) cells, glycoform alfa
immunomodulator, antineoplastique

eramkafusp alfa

immunoglobuline chimérique G1-kappa anti-(antigène CD20 du lymphocyte B humain) (*rituximab* (77)(39)), fusionnée à la partie C-terminale des deux chaînes lourdes (1-451) via le linker peptidique ⁴⁵²SGGGGS⁴⁵⁷ du fragment (24-188, 458-622 de la séquence actuelle) de l'interféron α -2b (IFN α -2b) variant (23K>R480), dimère, glycosylée, produite dans des cellules ovariennes de hamster chinois (CHO); immunoglobuline G1-kappa, anti-[antigène CD20 *Homo sapiens* des lymphocytes B], anticorps monoclonal humanisé (*rituximab* (77)(39)), chaîne lourde gamma1 humanisée (1-451) [*Mus musculus* IGHV1-12*01; *Mus musculus* IGHJ1*01; *Homo sapiens* IGHG1*01; VH: 1-121; CH1: 122-219; charnière 220-234; CH2: 235-344; CH3: 345-449; CHS: 450-451; CDRKabatH1: SYNMH (31-35); CDRKabatH2: AIYPGNGDTSYNQKFKG (50-66); CDRKabatH3: STYYGGDWYFNV (99-110)], fusionnée via le linker SG₄S (452-457) avec l'interféron α -2b (*Homo sapiens*) variant K²³>R⁴⁸⁰ (458-622), (224-213')-disulfure avec la chaîne légère kappa humanisée (1'-213') [*Mus musculus* IGKJ1*01; *Homo sapiens* IGKC*01; VL: 1-111; CL: 112-218; CDRKabatL1: RASSSVSYIH (24-33); CDRKabatL2: ATSNLAS (49-55); CDRKabatL3: QQWTSNPPT (88-96)]; dimère (230-230":233-233")-bisdisulfure, produite dans des cellules ovariennes de hamster chinois (CHO), glycoforme alfa
immunomodulateur, antinéoplasique

eramkafusp alfa

inmunoglobulina quimérica G1-kappa anti-(antígeno de linfocitos B CD20 humano) (*rituximab* (77)(39)), fusionado en la C-terminal de ambas cadenas pesadas (1-451) a través de un enlace peptidil ⁴⁵²SGGGGS⁴⁵⁷ al fragmento del interferón α -2b (IFN α -2b) humano (24-188, 458-622 en la secuencia actual) variante (²³K>R⁴⁸⁰), dímero, glicosilado, producido en células ováricas de hámster chino (CHO); inmunoglobulina G1-kappa, anti-(*Homo sapiens* antígeno CD20 de los linfocitos B), anticuerpo monoclonal humanizado (*rituximab* (77)(39)), cadena pesada gamma1 humanizada (1-451) [*Mus musculus* IGHV1-12*01; *Mus musculus* IGJH1*01; *Homo sapiens* IGHG1*01; VH: 1-121; CH1: 122-219; bisagra 220-234; CH2: 235-344; CH3: 345-449; CHS: 450-451; CDRKabatH1: SYNMH (31-35); CDRKabatH2: AIYPGNGDTSYNQKFKG (50-66); CDRKabatH3: STYGGDWYFNV (99-110)], fusionado a través de un péptido conector SG₄S (452-457) con interferón α -2b (*Homo sapiens* variante K²³>R⁴⁸⁰ (458-622), (224-213')-disulfuro con la cadena ligera kappa humanizada (1'-213') [*Mus musculus* IGKJ1*01; *Homo sapiens* IGKC*01; VL: 1-111; CL: 112-218; CDRKabatL1: RASSSVSYIH (24-33); CDRKabatL2: ATSNLAS (49-55); CDRKabatL3: QQWTSNPPT (88-96)]; dímero (230-230":233-233")-bisdisulfuro, producido en células ováricas de hámster chino (CHO), glicoforma alfa *inmunomodulador, antineoplásico*

2388499-82-7

Heavy chain / Chaîne lourde / Cadena pesada

QVQLQQPGAE LVKPGASVKM SCKASGYTFT SYNMHWKQT PGRGLEWIGA	50
IYPGNGDTSY NQKFKGKATL TADKSSSTAY MQLSSLTSED SAVYYCARST	100
YYGGDWYFNV WGAGTTVTVS AASTKGPSVF PLAPSSKSTS GGTAALGCLV	150
KDYFPEPFTV SWNSGALTSV VHTFPAVLQS SGLYLSLSSV TVPSSSLGTQ	200
TYICNVNHKP SNTKVDKQVE PKSCDKTHTC PFCPAPELLG GPSVFLFPPK	250
PKDTLMISRT PEVTCVVVDV SHEDPEVKFN WYVDGVEVHN AKTKPREEQY	300
NSTYRVVSVL TVLHQDMLNG KEYKCKVSNK ALPAPIEKTI SKRKGQPREP	350
QVYTLFPPSRD ELTKNQVSLT CLVKGFYPSD IAVENESNG PENNYKTFPP	400
VLDSDGSEFL YSKLTVDKSR WQGNVFPSCS VMHEALHNHY TQKSLSLSPG	450
KSGGGGSCDL PQTSLGSRR TMLLAQMRR ISLFSCLDKR HDFGFPQEEF	500
GNQFQKAEI FVLHEMIQI FNLFTKDS AAWDETLDD FYTELYQQLN	550
DLEACVIQGV GVTETPLMKE DSI LAVRKYF QRITLYLKEK KSPCAWEVV	600
RAEIMRSFSL STNLQESLRS KE	622

Light chain / Chaîne légère / Cadena ligera

QIVLSQSPAI LSASPGKVT MTRASSSVS YIHWFQQKPG SSPKFIYAT	50
SNLASGVFVR FSGSGSSTSY SLTI SRVEAE DAATYYCQW TSNPPTFGGG	100
TKLEIKRTVA APSVFI FPPS DEQLKSGTAS VVCLLNFFYP REAKVQWKVD	150
NALQSGNSQE SVTEQDSKDS TYLSLSTLTL SKADYEKHKV YACEVTHQGL	200
SSPVTKSNR GEC	213

Mutation site / Site de mutation / Posición de mutación

K480>R

Post-translational modifications

Disulfide bridges location / Position des ponts disulfure / Posiciones de los puentes disulfuro

Intra-H	22-96	148-204	265-325	371-429	Intra-IFN	458-555	486-595
	22"-96"	148"-204"	265"-325"	371"-429"		458"-555"	486"-595"

Intra-L	23-87	133-193
	23"-87"	133"-193"

Inter-H-L	224-213'	224"-213"
Inter-H-H	230-230"	233-233"

N-glycosylation sites / Sites de N-glycosylation / Posiciones de N-glicosilación

N301, N301"

O-glycosylation sites / Sites de O-glycosylation / Posiciones de O-glicosilación

T563, T563"

erfonrilimabum #

erfonrilimab

immunoglobulin G1 VH-VH-h-CH2-CH3 dimer, anti-[*Homo sapiens* CD274 (programmed death ligand 1, PDL1, PD-L1, B7 homolog 1, B7H1)] and anti-[*Homo sapiens* CTLA4 (cytotoxic T-lymphocyte-associated protein 4, CD152)], chimeric and humanized monoclonal antibody, bispecific; gamma1 VH-VH-h-CH2-CH3 chain, chimeric and humanized (1-493) [VH anti-CD274 Vicpac/Homsap (*Vicugna pacos* IGHV3-3*01 (80.6%) -(IGHD) -IGHJ5*01 (92.3)/*Homo sapiens* IGHV3-64*04 (78.4%) -(IGHD) -IGHJ1*01 (92.9%)) CDR-IMGT [8.8.21] (26-33.51-58.97-117) (1-128)] -3-mer glycy-l-alanyl-prolyl linker (129-131) - [VH anti-CTLA4 humanized (*Homo sapiens* IGHV3-NL1*01 (86.6%) -(IGHD) -IGHJ4*01 (92.9%)) CDR-IMGT [8.8.21] (157-164.182-189.228-248) (132-259)] -2-mer glycy-l-seryl linker (260-261) -[*Homo sapiens* IGHG1*01, G1m1 D12, L14, G1v37 h S5, hinge-CH2-CH3 (100%) (hinge 1-15 C5>S (266) (262-276), CH2 (277-386), CH3 D12 (402), L14 (404) (387-491), CHS (492-493)) (262-493)], dimer (272-272":275-275")-bisdisulfide, produced in Chinese hamster ovary (CHO) cells, glycoform alfa
immunomodulator, antineoplastic

erfonrilimab

immunoglobuline G1 VH-VH-h-CH2-CH3 dimère, anti-[*Homo sapiens* CD274 (ligand 1 de mort programmée, PDL1, PD-L1, homologue 1 de B7, B7H1)] et anti-[*Homo sapiens* CTLA4 (protéine 4 associée aux lymphocytes T cytotoxiques, CD152)], anticorps monoclonal chimérique et humanisé, bispécifique; gamma1 VH-VH-h-CH2-CH3 chaîne, chimérique et humanisée (1-493) [VH anti-CD274 Vicpac/Homsap (*Vicugna pacos* IGHV3-3*01 (80.6%) -(IGHD) -IGHJ5*01 (92.3)/*Homo sapiens* IGHV3-64*04 (78.4%) -(IGHD) -IGHJ1*01 (92.9%)) CDR-IMGT [8.8.21] (26-33.51-58.97-117) (1-128)] -3-mer glycy-l-alanyl-prolyl linker (129-131) - [VH anti-CTLA4 humanisé (*Homo sapiens* IGHV3-NL1*01 (86.6%) -(IGHD) -IGHJ4*01 (92.9%)) CDR-IMGT [8.8.21] (157-164.182-189.228-248) (132-259)] -2-mer glycy-l-séryl linker (260-261) -[*Homo sapiens* IGHG1*01, G1m1 D12, L14, G1v37 h S5, charnière-CH2-CH3 (100%) (charnière 1-15 C5>S (266) (262-276), CH2 (277-386), CH3 D12 (402), L14 (404) (387-491), CHS (492-493)) (262-493)], dimère (272-272":275-275")-bisdisulfure, produit dans des cellules ovariennes de hamster chinois (CHO), glycoforme alfa
immunomodulateur, antinéoplasique

erfonrilimab

immunoglobulina G1 VH-VH-h-CH2-CH3 dímero, anti-[*Homo sapiens* CD274 (ligando 1 de muerte programada, PDL1, PD-L1, homólogo 1 de B7, B7H1)] y anti-[*Homo sapiens* CTLA4 (proteína 4 asociada con los linfocitos T citotóxicos, CD152)], anticuerpo monoclonal quimérico y humanizado, biespecífico; gamma1 VH-VH-h-CH2-CH3 cadena, quimérica y humanizada (1-493) [VH anti-CD274 Vicpac/Homsap (*Vicugna pacos* IGHV3-3*01 (80.6%) -(IGHD) -IGHJ5*01 (92.3)/*Homo sapiens* IGHV3-64*04 (78.4%) -(IGHD) -IGHJ1*01 (92.9%)) CDR-IMGT [8.8.21] (26-33.51-58.97-117) (1-128)] -3-mer glicil-alanil-proil linker (129-131) -[VH anti-CTLA4 humanizado (*Homo sapiens* IGHV3-NL1*01 (86.6%) -(IGHD) -IGHJ4*01 (92.9%)) CDR-IMGT [8.8.21]

(157-164.182-189.228-248) (132-259)] -2-mer glicil-seril linker (260-261) -[*Homo sapiens* IGHG1*01, G1m1 D12, L14, G1v37 h S5, bisagra-CH2-CH3 (100%) (bisagra 1-15 C5>S (266) (262-276), CH2 (277-386), CH3 D12 (402), L14 (404) (387-491), CHS (492-493)) (262-493)], dímero (272-272":275-275")-bisulfuro, producido en las células ováricas de hámster chino (CHO), forma glicosilada alfa *inmunomodulador, antineoplásico*

2367013-69-0

Heavy chain / Chaîne lourde / Cadena pesada

```

VQLVESGGG LVQPGGSLRL SCAASGKMSS RRCMAWFRQA PGERERVAK 50
LLTTSGSTYL ADSVKGRFTI SRDNSKNTVY LQMNSLRAED TAVYCAADS 100
FEDPTCTLVT SSGAFQYWGG GTLVTVSSGA PQVQLVESGGG GLVQPGGSLR 150
LSCAASGYIY SAYCMGRFRQ APGKGLEGVA AIYIGGGSTY YADSVKGRFT 200
ISRDNASKNTL YLQMNSLRAE DTAVYYCAAD VIPTETCLGG SRSGPFGYWG 250
QCTLVTVSSG SEPKSSDKTH TCPPCPAPEL LGGPSVFLFP PKPKDTLIMS 300
RTPVETCVVV DVSHEDEPKV FNWYVDGVEV HNAKTRPREE QVNSTYRVVVS 350
VLTVLHQDWL NGKEYKCKVS NKALPAPIEK TISKAKGQPR EPQVYTLPPS 400
RDELTKMQVS LTCLVKGIFY SDAVWESWN GQPENNYKTT PVLDSDDGFS 450
FLYSKLTVDK SRWQQGNVES CSVMHEALHN HYTKSLSLSL PGK 493

```

Post-translational modifications

Disulfide bridges location / Position des ponts disulfure / Posiciones de los puentes disulfuro

Intra-H (C23-C104) 22-96 153-227 307-367 413-471
 22"-96" 153"-227" 307"-367" 413"-471"

Intra-H VH (C38-C111.3) 33-106 164-237
 33"-106" 164"-237"

Inter-H-H (h 11, h 14) 272-272" 275-275"

N-terminal glutaminyl cyclization to pyroglutamy (pE, 5-oxoprolyl)

HVHQI:
 I, I"

N-glycosylation sites / Sites de N-glycosylation / Posiciones de N-glicosilación

HCH2 N84.4:
 343, 343"

Fucosylated complex bi-antennary CHO-type glycans / glycanes de type CHO bi-antennaires complexes fucosylés / glicanos de tipo CHO biantenarios complejos fucosilados

C-terminal lysine clipping / Coupure de la lysine C-terminale / Recorte de lisina C-terminal

HCHS K2:
 493, 493"

ervogastatum

ervogastat

2-[5-[(3-ethoxy)pyridin-2-yl]oxy]pyridin-3-yl]-N-[(3S)-oxolan-3-yl]pyrimidine-5-carboxamide
diacylglycerol acyltransferase type 2 (DGAT-2) inhibitor

ervogastat

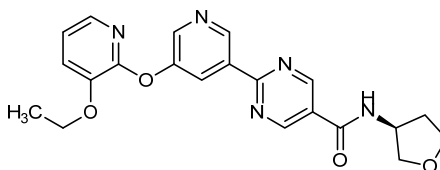
2-[5-[(3-éthoxy)pyridin-2-yl]oxy]pyridin-3-yl]-N-[(3S)-oxolan-3-yl]pyrimidine-5-carboxamide
inhibiteur de l'acyltransférase du diacylglycérol type 2 (DGAT-2)

ervogastat

2-[5-[(3-etoxipiridin-2-il)oxi]piridin-3-yl]-N-[(3S)-oxolan-3-il]pirimidina-5-carboxamida
inhibidor de aciltransferasa del diacilglicerol tipo 2 (DGAT-2)

C₂₁H₂₁N₅O₄

2186700-33-2



etavopivat

etavopivat

(2S)-1-[5-(2,3-dihydro[1,4]dioxino[2,3-b]pyridine-7-sulfonyl)-3,4,5,6-tetrahydropyrrolo[3,4-c]pyrrol-2(1H)-yl]-3-hydroxy-2-phenylpropan-1-one
pyruvate kinase activator

étavopivat

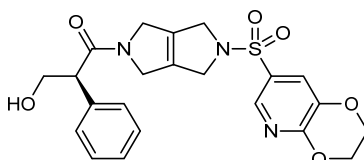
(2S)-1-[5-(2,3-dihydro[1,4]dioxino[2,3-b]pyridine-7-sulfonyl)-3,4,5,6-tétrahydropyrrolo[3,4-c]pyrrol-2(1H)-yl]-3-hydroxy-2-phénylpropan-1-one
activateur de la pyruvate kinase

etavopivat

(2S)-1-[5-(2,3-dihydro[1,4]dioxino[2,3-b]piridina-7-sulfonil)-3,4,5,6-tetrahidropirrolo[3,4-c]pirrol-2(1H)-il]-2-fenil-3-hidroxiopropan-1-ona
activador de la piruvato kinasa

C₂₂H₂₃N₃O₆S

2245053-57-8

**etrumadenantum**

etrumadenant

3-[2-amino-6-(1-[[6-(2-hydroxypropan-2-yl)pyridin-2-yl]methyl]-1H-1,2,3-triazol-4-yl)pyrimidin-4-yl]-2-methylbenzonitrile
adenosine receptor antagonist

étrumadénant

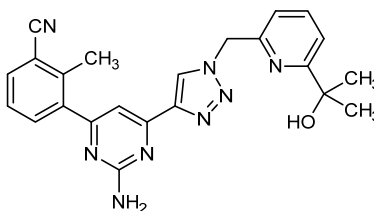
3-[2-amino-6-(1-[[6-(2-hydroxypropan-2-yl)pyridin-2-yl]méthyl]-1H-1,2,3-triazol-4-yl)pyrimidin-4-yl]-2-méthylbenzonitrile
antagoniste des récepteurs de l'adénosine

etrumadenant

3-[2-amino-6-(1-[[6-(2-hidroxiopropan-2-il)piridin-2-il]metil]-1H-1,2,3-triazol-4-il)pirimidin-4-il]-2-metilbenzonitrilo
antagonista de los receptores de la adenosina

C₂₃H₂₂N₈O

2239273-34-6



exagamglogenum autotemcelum #
exagamglogene autotemcel

Autologous CD34+ cells isolated from mobilised peripheral blood by positive selection, modified by CRISPR/Cas9 (clustered regularly interspaced short palindromic repeats/CRISPR-associated protein 9) mediated gene editing consisting of a guide RNA (gRNA) introduced transiently as ribonucleoprotein (RNP) complex, targeting the erythroid lineage-specific enhancer region of *BCL11A* (B-cell lymphoma/leukemia 11A). The site-specific cleavage by Cas9 forms a double strand break (DSB), which is subsequently repaired by nonhomologous end-joining (NHEJ), leading to the transcriptional repression of *BCL11A*, a repressor of γ -globin gene transcription. *cell-based gene therapy (hemoglobinopathy)*

exagamglogène autotemcel

Cellules CD34+ autologues isolées du sang périphérique mobilisé par sélection positive, modifiées par CRISPR/Cas9 (courtes répétitions palindromiques groupées et régulièrement espacées / protéine 9 associée à CRISPR) induisant une édition génétique consistant de deux ARN guides (gRNA) introduisant transitoirement un complexe ribonucléoprotéique, ciblant la région activatrice spécifique du lignage des érythroïdes de *BCL11A* (lymphome des cellules B/ leucémie 11A). Le clivage site-spécifique par Cas9 forme une cassure double brin (DSB), qui est ensuite réparée par la jonction d'extrémités non homologues (NHEJ), menant à la répression transcriptionnelle de *BCL11A*, un répresseur de la transcription du gène γ -globine. *thérapie génique à base de cellules (hémoglobinopathie)*

exagamglogén autotemcel

Células CD34+ autólogas aisladas de células movilizadas en sangre periférica mediante selección positiva, modificadas por CRISPR/Cas9 (repeticiones palindrómicas cortas agrupadas y regularmente espaciadas/proteína asociada a CRISPR 9) mediante edición genica consistente en un RNA guía (gRNA) introducido transitoriamente como un complejo de ribonucleoproteína (RNP), dirigido a la región potenciadora específica de linaje eritroide de *BCL11A* (linfoma/leucemia de linfocitos B11A). El corte específico de sitio por Cas9 forma una rotura de la doble hélice (DSB) que es subsiguientemente reparada mediante unión de extremos no homóloga (NHEJ), lo que conduce a la represión transcripcional de *BCL11A*, un represor de la transcripción del gen de la γ -globina. *terapia génica basada en células (hemoglobinopatía)*

fesomersenum

fesomersen

all-P-ambo-5'-O-(28-[(2-acetamido-2-deoxy-β-D-galactopyranosyl)oxy]-16,16-bis[3-((6-[(2-acetamido-2-deoxy-β-D-galactopyranosyl)oxy]hex-yl)amino)-3-oxopropoxy)methyl]-1-hydroxy-1,10,14,21-tetraoxo-2,18-dioxa-9,15,22-triaza-1λ⁵-phosphaoctacosan-1-yl)-2'-O-(2-methoxyethyl)-P-thioadenylyl-(3'→5')-2'-O-(2-methoxyethyl)-5-methylcytidylyl-(3'→5')-2'-O-(2-methoxyethyl)guanylyl-(3'→5')-2'-O-(2-methoxyethyl)guanylyl-(3'→5')-2'-O-(2-methoxyethyl)-5-methylcytidylyl-(3'→5')-2'-deoxy-P-thioadenylyl-(3'→5')-P-thiothymidylyl-(3'→5')-P-thiothymidylyl-(3'→5')-2'-deoxy-P-thioguanilyl-(3'→5')-2'-deoxy-P-thioguanilyl-(3'→5')-P-thiothymidylyl-(3'→5')-2'-deoxy-P-thioguanilyl-(3'→5')-2'-deoxy-5-methyl-P-thiocytidylyl-(3'→5')-2'-deoxy-P-thioadenylyl-(3'→5')-2'-deoxy-5-methyl-P-thiocytidylyl-(3'→5')-2'-O-(2-methoxyethyl)adenylyl-(3'→5')-2'-O-(2-methoxyethyl)guanylyl-(3'→5')-2'-O-(2-methoxyethyl)-5-methyl-P-thiouridylyl-(3'→5')-2'-O-(2-methoxyethyl)-5-methyl-P-thiouridylyl-(3'→5')-2'-O-(2-methoxyethyl)-5-methyluridine

blood coagulation factor XI synthesis reducer, anticoagulant

fésomersen

tout-P-ambo-5'-O-(28-[(2-acétamido-2-désoxy-β-D-galactopyranosyl)oxy]-16,16-bis[3-((6-[(2-acétamido-2-désoxy-β-D-galactopyranosyl)oxy]hexyl)amino)-3-oxopropoxy)méthyl]-1-hydroxy-1,10,14,21-tétraoxo-2,18-dioxa-9,15,22-triaza-1λ⁵-phosphaoctacosan-1-yl)-2'-O-(2-méthoxyéthyl)-P-thioadénylyl-(3'→5')-2'-O-(2-méthoxyéthyl)-5-méthylcytidylyl-(3'→5')-2'-O-(2-méthoxyéthyl)guanylyl-(3'→5')-2'-O-(2-méthoxyéthyl)guanylyl-(3'→5')-2'-O-(2-méthoxyéthyl)-5-méthylcytidylyl-(3'→5')-2'-désoxy-P-thioadénylyl-(3'→5')-P-thiothymidylyl-(3'→5')-P-thiothymidylyl-(3'→5')-2'-désoxy-P-thioguanilyl-(3'→5')-2'-désoxy-P-thioguanilyl-(3'→5')-P-thiothymidylyl-(3'→5')-2'-désoxy-P-thioguanilyl-(3'→5')-2'-désoxy-5-méthyl-P-thiocytidylyl-(3'→5')-2'-désoxy-P-thioadénylyl-(3'→5')-2'-désoxy-5-méthyl-P-thiocytidylyl-(3'→5')-2'-O-(2-méthoxyéthyl)adénylyl-(3'→5')-2'-O-(2-méthoxyéthyl)guanylyl-(3'→5')-2'-O-(2-méthoxyéthyl)-5-méthyl-P-thiouridylyl-(3'→5')-2'-O-(2-méthoxyéthyl)-5-méthyl-P-thiouridylyl-(3'→5')-2'-O-(2-méthoxyéthyl)-5-méthyluridine

réducteur de la synthèse du facteur de coagulation sanguine XI, anticoagulant

fesomersén

todo-P-ambo-5'-O-(28-[(2-acetamido-2-desoxi-β-D-galactopiranosil)oxi]-16,16-bis[3-((6-[(2-acetamido-2-desoxi-β-D-galactopiranosil)oxi]hexil)-amino)-3-oxopropoxi]metil]-1-hidroxi-1,10,14,21-tetraoxo-2,18-dioxa-9,15,22-triaza-1λ⁵-fosfaoctacosan-1-il)-2'-O-(2-metoxietil)-P-tioadenilil-(3'→5')-5-metil-2'-O-(2-metoxietil)citidilil-(3'→5')-2'-O-(2-metoxietil)guanilil-(3'→5')-2'-O-(2-metoxietil)guanilil-(3'→5')-5-metil-2'-O-(2-metoxietil)citidilil-(3'→5')-2'-desoxi-P-tioadenilil-(3'→5')-P-tiotimidilil-(3'→5')-P-tiotimidilil-(3'→5')-2'-desoxi-P-tioguanilil-(3'→5')-2'-desoxi-P-tioguanilil-(3'→5')-2'-desoxi-5-metil-P-tiocitidilil-(3'→5')-2'-desoxi-P-tioadenilil-(3'→5')-2'-desoxi-5-metil-P-tiocitidilil-(3'→5')-2'-O-(2-metoxietil)adenilil-(3'→5')-2'-O-(2-metoxietil)guanilil-(3'→5')-5-metil-2'-O-(2-metoxietil)-P-tiouridilil-(3'→5')-5-metil-2'-O-(2-metoxietil)-P-tiouridilil-(3'→5')-5-metil-2'-O-(2-metoxietil)uridina

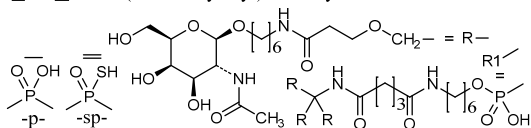
reductor de la síntesis del factor de coagulación sanguínea XI, anticoagulante

C₂₉₆H₄₃₄N₈₂O₁₅₆P₂₀S₁₃

2380135-03-3

(3'-5') R₁-A-C-G-G-C-d(A=T=G=T=G=C=A=C)=A-G-U=U=ULegend:

A, G & T : 2'-deoxynucleotide C : 2'-deoxy-5-methylcytidine

A & G : 2'-O-(2-methoxyethyl)nucleotideC & U : 2'-O-(2-methoxyethyl)-5-methylnucleotide

finotonlimabum #
finotonlimab

immunoglobulin G4-kappa, anti-[*Homo sapiens* PDCD1 (programmed cell death 1, PD-1, PD1, CD279)], monoclonal antibody;
gamma4 heavy chain (1-445) [VH (*Mus musculus* IGHV5-9-2*01 (88.8%) -(IGHD) -IGHJ4*01 (90.9%)/*Homo sapiens* IGHV3-23*04 (86.7%) -(IGHD) -IGHJ3*01 (90.9%)) CDR-IMGT [8.8.11] (26-33.51-58.97-107) (1-118)-*Homo sapiens* IGHG4*01, G4v5 h P10 (CH1 (119-216), hinge 1-12 S10>P (226) (217-228), CH2 (229-338), CH3 (339-443), CHS (444-445)) (119-445)], (132-218')-disulfide with kappa light chain (1'-218') [V-KAPPA (*Homo sapiens* IGKV3D-11*02 (81.9%) -IGKJ1*01 (100%)) CDR-IMGT [10.3.9] (27-36.54-56.93-101) (1'-111') -*Homo sapiens* IGKC*01 (100%), Km3 A45.1 (157), V101 (195) (112'-218')]; dimer (224-224":227-227")-bisdisulfide, produced in a Chinese hamster ovary (CHO)-DG44 cell line, glycoform alfa
immunomodulator, antineoplastic

finotonlimab

immunoglobuline G4-kappa, anti-[*Homo sapiens* PDCD1 (protéine 1 de mort cellulaire programmée, PD-1, PD1, CD279)], anticorps monoclonal;
chaîne lourde gamma4 (1-445) [VH (*Mus musculus* IGHV5-9-2*01 (88.8%) -(IGHD) -IGHJ4*01 (90.9%)/*Homo sapiens* IGHV3-23*04 (86.7%) -(IGHD) -IGHJ3*01 (90.9%)) CDR-IMGT [8.8.11] (26-33.51-58.97-107) (1-118)-*Homo sapiens* IGHG4*01, G4v5 h P10 (CH1 (119-216), charnière 1-12 S10>P (226) (217-228), CH2 (229-338), CH3 (339-443), CHS (444-445)) (119-445)], (132-218')-disulfure avec la chaîne légère kappa humanisée(1'-218') [V-KAPPA (*Homo sapiens* IGKV3D-11*02 (81.9%) -IGKJ1*01 (100%)) CDR-IMGT [10.3.9] (27-36.54-56.93-101) (1'-111') -*Homo sapiens* IGKC*01 (100%), Km3 A45.1 (157), V101 (195) (112'-218')]; dimère (224-224":227-227")-bisdisulfure, produit dans des cellules ovariennes de hamster chinois (CHO) lignée cellulaire CHO-DG44, glycoforme alfa
immunomodulateur, antinéoplasique

finotonlimab inmuno globulina G4-kappa, anti-[*Homo sapiens* PDCD1 (proteína 1 de muerte celular programada, PD-1, PD1, CD279)], anticuerpo monoclonal;
 cadena pesada gamma4 (1-445) [VH (*Mus musculus* IGHV5-9-2*01 (88.8%) -(IGHD) -IGHJ4*01 (90.9%)/*Homo sapiens* IGHV3-23*04 (86.7%) -(IGHD) -IGHJ3*01 (90.9%)) CDR-IMGT [8.8.11] (26-33.51-58.97-107) (1-118)-*Homo sapiens* IGHG4*01, G4v5 h P10 (CH1 (119-216), bisagra 1-12 S10>P (226) (217-228), CH2 (229-338), CH3 (339-443), CHS (444-445)) (119-445)], (132-218)-disulfuro con la cadena ligera kappa (1'-218') [V-KAPPA humanizado (*Homo sapiens* IGHV3D-11*02 (81.9%) -IGKJ1*01 (100%)) CDR-IMGT [10.3.9] (27-36.54-56.93-101) (1'-111') -*Homo sapiens* IGKC*01 (100%), Km3 A45.1 (157), V101 (195) (112'-218')]; dímero (224-224":227-227")-bisdisulfuro, producido en las células ováricas de hámster chino (CHO) línea celular CHO-DG44, forma glicosilada alfa
inmunomodulador, antineoplásico

2350298-85-8

Heavy chain / Chaîne lourde / Cadena pesada

```
EVQLVESGGG LVPKGGSLRL SCAASGFTFS SYGMSWVRQA PGKRLEWVAT 50
ISGGGRDITY SDSVKGRFTI SRDNARNNLY LQMNSLRAED TAVYYCSRQY 100
GTWVFWNWGQ GTLVTVSSAS TRGPSVFPLA PCSRSTSEST AALGCLVKDY 150
FPEPVTVSWN SGALTSQVHT FPAVLQSSGL YSLSSVVTVP SSSLGTRKTYT 200
CNVDHKPSNT KVDKRIVESKY GPCCPCCPAP EFLGGPSVFL FPPKPKDTLM 250
ISRTPVETCV VVDVSDQEDPE VQFNWYVDGV EVHNKTKPR EEQFNSTYRV 300
VSLTIVLHQD WLNQKEYKCK VSNRGLPSSI EKTISKAKGQ PREPQVYTLF 350
PSQEQMTKQK VSLTCLVKGF YPSDIAVEWE SNGQPENNYK TTPPVVLDSDG 400
SFFLYSRLTV DKSRLQEGNV FSCSVMHEAL HNHYTEKSL SLSLGLK 445
```

Light chain / Chaîne légère / Cadena ligera

```
EIVLTQSPAT LSLSPGERAT LSCRASESDV SYGNSFMHWY QKPKGQPPRL 50
LIYAASNQGS GVPARFSGSG SGTDFLTITIS SLEPEDFAMY FCQQSKEVPW 100
TFQGSTRVEI KRTVAAPSVF IEPDSDEQLK SGTASVCLL NNFYPREAKV 150
QWKVDNALQS GNSQESVTEQ DSKDSTYSLS STLTLSKADY EKHKVYACEV 200
THQGLSSPVT KSFNRGEC 218
```

Post-translational modifications

Disulfide bridges location / Position des ponts disulfure / Posiciones de los puentes disulfuro

Intra-H (C23-C104) 22"-96" 145"-201" 259"-319" 365"-423"
 22"-96" 145"-201" 259"-319" 365"-423"
 Intra-L (C23-C104) 23"-92" 138"-198"
 23"-92" 138"-198"
 Inter-H-L (CH1 10-CL 126) 132-218" 132"-218"
 Inter-H-H (h 8, h 11) 224-224" 227-227"

N-glycosylation sites / Sites de N-glycosylation / Posiciones de N-glicosilación

H CH2 N84.4:

295, 295"

Fucosylated complex bi-antennary CHO-type glycans / glycanes de type CHO bi-antennaires complexes fucosylés / glicanos de tipo CHO biantenarijos complejos fucosilados.

C-terminal lysine clipping / Coupe de la lysine C-terminale / Recorte de lisina C-terminal

H CHS K2:

445, 445"

firzacorvirum

firzacorvir

(3*S*,5*R*)-*N*-(3-cloro-4-fluorophenil)-2-metil-5-[5-(1-metil-1*H*-imidazol-4-yl)-1,3-tiazol-2-yl]-1,1-dioxo-1λ⁶,2,6-thiadiazinane-3-carboxamida
antiviral

firzacorvir

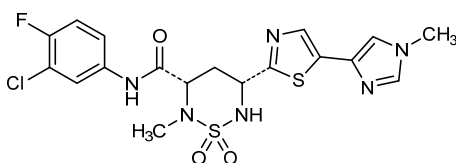
(3*S*,5*R*)-*N*-(3-cloro-4-fluorophényl)-2-méthyl-5-[5-(1-méthyl-1*H*-imidazol-4-yl)-1,3-tiazol-2-yl]-1,1-dioxo-1λ⁶,2,6-thiadiazinane-3-carboxamide
antiviral

firzacorvir

(3*S*,5*R*)-*N*-(3-cloro-4-fluorofenil)-2-metil-5-[5-(1-metil-1*H*-imidazol-4-il)-1,3-tiazol-2-il]-1,1-dioxo-1λ⁶,2,6-tiadiazinano-3-carboxamida
antiviral

C₁₈H₁₈ClFN₆O₃S₂

2243747-96-6

**foscenvivintum**

foscenvivint

4-((6*S*,9*S*,9*aS*)-1-(benzylcarbamoyl)-2,9-diméthyl-4,7-dioxo-8-[(quinolin-8-yl)méthyl]octahydro-2*H*-pyrazino[2,1-*c*][1,2,4]triazin-6-yl)méthyl)phényl dihydrogen phosphate

Wnt pathway inhibitor

foscenvivint

dihydrogénophosphate de 4-((6*S*,9*S*,9*aS*)-1-(benzylcarbamoyl)-2,9-diméthyl-4,7-dioxo-8-[(quinoléin-8-yl)méthyl]octahydro-2*H*-pyrazino[2,1-*c*][1,2,4]triazin-6-yl)méthyl)phényle

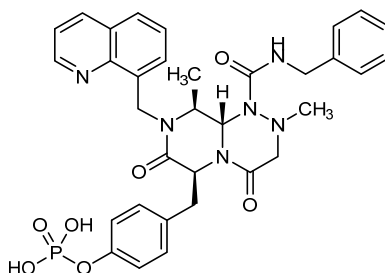
inhibiteur de la voie Wnt

foscenvivint

dihidrogenofosfato de 4-((6*S*,9*S*,9*aS*)-1-(bencilcarbamoil)-2,9-dimetil-4,7-dioxo-8-[(quinolein-8-il)metil]octahidro-2*H*-pirazino[2,1-*c*][1,2,4]triazin-6-il)metil)fenilo

*inhibidor de la vía Wnt*C₃₃H₃₅N₆O₇P

1422253-38-0

**govorestatum**

govorestat

(4-oxo-3-[[5-(trifluorométhyl)-1,3-benzothiazol-2-yl]méthyl]-3,4-dihydrothiéno[3,4-*d*]pyridazin-1-yl)acetic acid

aldose reductase inhibitor

govorestat

acide (4-oxo-3-[[5-(trifluorométhyl)-1,3-benzothiazol-2-yl]méthyl]-3,4-dihydrothiéno[3,4-*d*]pyridazin-1-yl)acétique

inhibiteur de l'aldose réductase

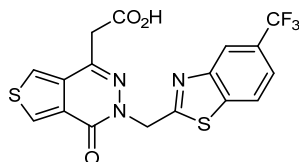
govorestat

ácido (4-oxo-3-[[5-(trifluorometil)-1,3-benzotiazol-2-il]metil]-3,4-dihidrotieno[3,4-*d*]piridazin-1-il)acético

inhibidor de la aldosa reductasa

$C_{17}H_{10}F_3N_3O_3S_2$

2170729-29-8

**guretlimodum**

guretlimod

[[{4-[(2-amino-4-[(3S)-1-hydroxyhexan-3-yl]amino)-6-methylpyrimidin-5-yl)méthyl]-3-méthoxyphényl)méthyl](2,2,2-trifluoroéthyl)amino]acétique acid

toll-like receptor agonist, antineoplastic

gurétlimod

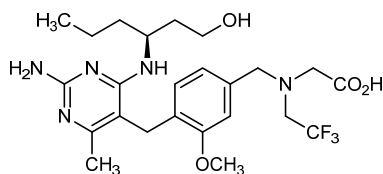
acide [[{4-[(2-amino-4-[(3S)-1-hydroxyhexan-3-yl]amino)-6-méthylpyrimidin-5-yl)méthyl]-3-méthoxyphényl)méthyl](2,2,2-trifluoroéthyl)amino]acétique agoniste des récepteurs de type toll, antinéoplasique

guretlimod

ácido [[{4-[(2-amino-4-[(3S)-1-hidroxihexan-3-il]amino)-6-metilpirimidin-5-il]metil]-3-metoxifenil]metil](2,2,2-trifluoroetil)amino]acético agonista de los receptores de tipo toll, antineoplásico

 $C_{24}H_{34}F_3N_5O_4$

1488364-57-3

**ibrigamparum**

ibrigampar

2,4-dichloro-*N*-{3,5-dichloro-4-[(quinolin-3-yl)oxy]phenyl}benzene-1-sulfonamide peroxisome proliferator activated receptor (PPAR) gamma agonist

ibrigampar

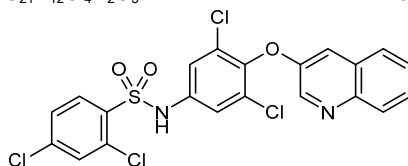
2,4-dichloro-*N*-{3,5-dichloro-4-[(quinoléin-3-yl)oxy]phényl}benzène-1-sulfonamide agoniste des récepteurs gamma activés par les proliférateurs de peroxysomes

ibrigampar

2,4-dicloro-*N*-{3,5-dicloro-4-[(quinolein-3-il)oxi]fenil}benceno-1-sulfonamida agonista de los receptores activados por los proliferadores peroxisómicos tipo gamma

 $C_{21}H_{12}Cl_4N_2O_3S$

315224-26-1



ilofotasum alfa #

ilofotase alfa

human intestinal-type alkaline phosphatase (IAP) variant (H²⁷⁹>L, L³²⁸>V, P⁴⁷⁸>L), engineered by substituting its crown domain (366-430) with the human placental-type alkaline phosphatase (placental alkaline phosphatase 1, PLAP-1) crown domain (364-428, 366-430 in the current sequence), C-terminal linked glycosylphosphatidylinositol anchor removed, dimer, glycosylated, produced in Chinese hamster ovary (CHO) cells; human intestinal-type alkaline phosphatase (ALPI, intestinal alkaline phosphatase, IAP) variant [H²⁷⁹>L, L³²⁸>V, P⁴⁷⁸>L] (1-484) with its crown domain (65-peptide 366-430) being replaced by the human placental-type alkaline phosphatase (ALPP, alkaline phosphatase Regan isozyme, placental alkaline phosphatase 1, PLAP-1) crown domain (65-peptide 364-428) (366-430), dimer (481-481')-disulfide, without glycosylphosphatidylinositol (GPI) anchors at Asp-484 and Asp-484' (secretable, soluble enzyme), produced in Chinese hamster ovary (CHO) cells, glycoform alfa
alkaline phosphatase

ilofotase alfa

variant (H279>L, L328>V, P478>L) de la phosphatase alcaline humaine de type intestinal (IAP), conçu en substituant son domaine couronne (366-430) avec le domaine couronne (364-428, 366-430 dans la séquence actuelle) de la phosphatase alcaline humaine de type placentaire (phosphatase alcaline placentaire 1, PLAP-1), élimination de l'ancrage glycosylphosphatidylinositol lié à la partie C-terminale, dimère, glycosylé, produit dans des cellules ovariennes de hamster chinois (CHO);
phosphatase alcaline humaine de type intestinal (ALPI, phosphatase alcaline intestinale, IAP) variante [H279>L, L328>V, P478>L] (1-484), dont le domaine couronne (65-peptide 366-430) étant remplacé par le domaine couronne (65-peptide 364-428) de la phosphatase alcaline humaine de type placentaire (ALPP, isoenzyme Regan de la phosphatase alcaline, phosphatase alcaline placentaire 1, PLAP-1) (366-430), dimère (481-481')-disulfure, sans ancrage glycosylphosphatidylinositol (GPI) à Asp-484 et Asp-484' (sécrétable, enzyme soluble), produit dans des cellules ovariennes de hamster chinois (CHO), glycoforme alfa
phosphatase alcaline

ilofotasa alfa

fosfatasa alcalina de tipo intestinal humana (IAP) variante (H²⁷⁹>L, L³²⁸>V, P⁴⁷⁸>L), diseñada por sustitución de su propio dominio de corona (366-430) con la fosfatasa alcalina de tipo placentaria humana (fosfatasa alcalina placentaria 1, PLAP-1) dominio de corona (364-428, 366-430 en la secuencia actual), C-terminal unido al glicosilfosfatidilinositol anclaje eliminado, dímero, glicosilado, producido en células ováricas de hámster chino (CHO);
fosfatasa alcalina humana del tipo intestinal (ALPI, fosfatasa alcalina intestinal, IAP) variante [H²⁷⁹>L, L³²⁸>V, P⁴⁷⁸>L] (1-484) con su dominio corona (65-péptido 366-430) siendo reemplazado por el dominio corona (65-péptido 364-428) de la fosfatasa alcalina humana del tipo placentario (ALPP, isoenzima Regan de fosfatasa alcalina, fosfatasa alcalina placentaria 1, PLAP-1) (366-430), dímero (481-481')-disulfuro, sin anclajes de amidas de glicosilfosfatidilinositol (GPI) en Asp-484 y Asp-484' (soluble y secretable), producido en células ováricas de hámster chino (CHO), glicofoma alfa
fosfatasa alcalina

2387636-92-0

Sequence / Séquence / Secuencia	
VIPAEENPA FWNRQAAEAL DAARKLQPIQ KVARNLILFL GDGLGVPTVT	50
ATRLIKGQKN GKLGPETPLA MDRFPYLALS KTYNVDRQVP DSAATATAYL	100
CGVKANFQTI GLSAAARFNQ CNTRRGNEVI SVMNRAKQAG KSVGVTTR	150
VQHASPAGTY AHTVNRNWYS DADMPASARQ EGCQDIATQL ISNMDIDVIL	200
GGGRKYMFPM GTFDPEYPAD ASQNGIRLDG KNLVQEWLAK HQGAWYVWNR	250
TELMQASLDQ SVTHLMGLFE PGDTKYEILR DPTLDPSLME MTEAALRLLS	300
RNPRGFYLFV EGGRIDHGHG EGVAYQAVTE AVMFDDAIER AGOLTSEEDT	350
LTLVTDADSH VFSFGGYPLR <u>GSSIFGLAPG</u> <u>KARDRKAITYV</u> <u>LLYNGPGYV</u>	400
<u>LKDGARPDVT</u> <u>ESESGPEYR</u> <u>QSSAVPLDEE</u> THGGEDVAVF ARGPQAHLVH	450
GVQEQSFAVH VMAFAACLEF YTACDLALPA CTTD	484
Mutation sites / Sites de mutation / Posiciones de mutación	
H279>L ₁ , L328>V, P478>L ₁ , crown domain replacement <u>G366-E430</u>	
H279>L ₁ , L328>V, P478>L ₁ , crown domain replacement <u>G366-E430</u>	
Post-translational modifications	
Disulfide bridges location / Position des ponts disulfure / Posición del puentes disulfuro	
intra-monomer 121-183 467-474 121'-183' 467'-474' (Cys-SH: 101, 101')	
inter-monomer 481-481'	
Glycosylation sites / Sites de glycosylation / Posiciones de glicosilación	
N122, N249, N122', N249'	

iltamiocelum

iltamiocel

Autologous human skeletal muscle progenitor cells derived from muscle biopsy (*vastus lateralis*). The progenitor cells are isolated by enzymatic digestion and expanded in culture in growth media containing human recombinant basic fibroblast growth factor (rbFGF), human recombinant endothelial growth factor (rEGF) and fetal bovine serum (FBS). Cell function and phenotype are maintained through control of culture confluence. The cells are positive for the myogenic cell marker desmin (on average 89%), and other muscle specific genes. The final substance contains also non-myogenic cell populations, such as fibroblasts. The cells have been demonstrated to have myogenic cell differentiation capacity.

cell therapy

iltamiocel

Cellules progénitrices autologues humaines du muscle squelettique dérivées d'une biopsie de muscle (*vastus lateralis*). Les cellules progénitrices ont été isolées par digestion enzymatique et placées en culture d'expansion dans un milieu de croissance contenant le facteur de croissance recombinant des fibroblastes humain (rbFGF), le facteur de croissance recombinant de l'endothélium humain (rEGF) et le sérum bovin fœtal (FBS). Le phénotype et la fonction cellulaire ont été maintenus en contrôlant la confluence de la culture. Les cellules sont positives pour le marqueur cellulaire myogénique desmine (en moyenne 89%), et d'autres gènes spécifiques des muscles. La substance finale contient aussi des populations cellulaires non-myogéniques tels que les fibroblastes. Il a été démontré que les cellules ont une capacité de différenciation en cellules myogéniques.

thérapie cellulaire

iltamiocel

Células progenitoras de músculo esquelético humano autólogas derivadas de biopsia muscular (*vastus lateralis*). Las células progenitoras se aíslan mediante digestión enzimática y se expanden en cultivo con medio de crecimiento que contiene factor de crecimiento de fibroblastos básico humano recombinante (rbFGF), factor de crecimiento endotelial humano recombinante (rEGF) y suero bovino fetal (FBS). La función y el fenotipo celular se mantienen mediante el control de la confluencia del cultivo. Las células son positivas para el marcador de células miogénicas desmina (89% de media), y otros genes específicos de músculo. La sustancia final contiene también poblaciones de células no miogénicas, tales como fibroblastos. Se ha demostrado que las células tienen capacidad de diferenciación de células miogénicas.

terapia celular

imsidolimabum #

imsidolimab

immunoglobulin G4-kappa, anti-[*Homo sapiens* IL36R (interleukin 36 receptor)], monoclonal antibody; gamma4 heavy chain (1-447) [VH (*Homo sapiens* IGHV1-46*01 (84.7%) -(IGHD) -IGHJ1*01 (100%)) CDR-IMGT [8.8.13] (26-33.51-58.97-109) (1-120)-*Homo sapiens* IGHG4*01 (100%), G4v5 h P10 (CH1 (121-218), hinge 1-12 S10>P (228) (219-230), CH2 (231-340), CH3 (341-445), CHS (446-447) (121-447)], (134-219')-disulfide with kappa light chain (1'-219') [V-KAPPA *Musmus/Homsap* (*Mus musculus* IGKV2-109*01 (85%) -IGKJ1*01 (90.9%)/*Homo sapiens* IGKV2D-29*01 (84%) -IGKJ4*01 (100%)) CDR-IMGT [11.3.9] (27-37.55-57.94-102) (1'-112') -*Homo sapiens* IGKC*01 (100%), Km3 A45.1 (158), V101 (196) (113'-219')]; dimer (226-226":229-229")-bisdisulfide, produced in a Chinese hamster ovary (CHO)-S cell line, glycoform alfa
immunomodulator

imsidolimab

immunoglobuline G4-kappa, anti-[*Homo sapiens* IL36R (récepteur de l'interleukine 36)], anticorps monoclonal; chaîne lourde gamma4 (1-447) [VH (*Homo sapiens* IGHV1-46*01 (84.7%) -(IGHD) -IGHJ1*01 (100%)) CDR-IMGT [8.8.13] (26-33.51-58.97-109) (1-120)-*Homo sapiens* IGHG4*01 (100%), G4v5 h P10 (CH1 (121-218), charnière 1-12 S10>P (228) (219-230), CH2 (231-340), CH3 (341-445), CHS (446-447) (121-447)], (134-219')-disulfure avec la chaîne légère kappa (1'-219') [V-KAPPA *Musmus/Homsap* (*Mus musculus* IGKV2-109*01 (85%) -IGKJ1*01 (90.9%)/*Homo sapiens* IGKV2D-29*01 (84%) -IGKJ4*01 (100%)) CDR-IMGT [11.3.9] (27-37.55-57.94-102) (1'-112') -*Homo sapiens* IGKC*01 (100%), Km3 A45.1 (158), V101 (196) (113'-219')]; dimère (226-226":229-229")-bisdisulfure, produit dans des cellules ovariennes de hamster chinois (CHO) lignée cellulaire CHO-S, glycoforme alfa
immunomodulateur

imsidolimab

inmunoglobulina G4-kappa, anti-[*Homo sapiens* IL36R (receptor de la interleukina 36)], anticuerpo monoclonal; cadena pesada gamma4 (1-447) [VH (*Homo sapiens* IGHV1-46*01 (84.7%) -(IGHD) -IGHJ1*01 (100%)) CDR-IMGT [8.8.13] (26-33.51-58.97-109) (1-120)-*Homo sapiens* IGHG4*01 (100%), G4v5 h P10 (CH1 (121-218), bisagra 1-12 S10>P (228) (219-230), CH2 (231-340), CH3 (341-445), CHS (446-447) (121-447)], (134-219')-disulfuro con la cadena ligera kappa (1'-219') [V-KAPPA *Musmus/Homsap* (*Mus musculus* IGKV2-109*01 (85%) -IGKJ1*01 (90.9%)/*Homo sapiens* IGKV2D-29*01 (84%) -IGKJ4*01 (100%)) CDR-IMGT [11.3.9] (27-37.55-57.94-102) (1'-112') -*Homo sapiens* IGKC*01 (100%), Km3 A45.1 (158), V101 (196) (113'-219')]; dímero (226-226":229-229")-bisdisulfuro, producido en las células ováricas de hámster chino (CHO) línea celular CHO-S, forma glicosilada alfa
inmunomodulador

2102543-86-0

Heavy chain / Chaîne lourde / Cadena pesada
 QVQLVQSGAE VKKPGASVKV SCKASGYTFT NYWMNWRQA PRQGLEWGMG 50
 FHPTGDIVRL NQKFKDRVTM TRDTSSTSTVY MELSSLRSED TAVYGCARTT 100
 SMIIGGFAYW GQGLTVTVSS ASTKGPSVFP LAPCSRSTSE STAALGCLVK 150
 DYFPEFVTVS WNSGALTSKV HTFPAVLQSS GLYSLSSVWT VPSSSLGTKT 200
 YTCNVDHKPS NTKVDKRVES KYGPPCPFCP APEFLGGPSV ELFFPKPKDT 250
 LMISRTPEVT CVVVDVSDQD PEVQFNWYVD GVEVHNKTK PREEQFNSTY 300
 RVVSVLTVLH QDWLNGKEYK CKVSNKGLPS SIEKTIKAK GQPREPQVYT 350
 LPFSQEMTK NQVSLTCLVK GFYPSDIAVE WESNGQPENN YKTTFFVLDL 400
 DGSFFLYSRL TVDKSRWQEG NRVFSCSVME ALHNHYTQKS LSLSLGK 447

Light chain / Chaîne légère / Cadena ligera
 DIVMTQTPLS LSVTFGQPAS ISCRSSKSLI HRNAITYFYW YLHKPGQPPQ 50
 LLIYQMSNLA SGVDFRFSGS GSGTDFTLKI SRVEADVGV YCAQNLLELP 100
 LTFGGGTKVE IKRTVAAPSV FIFPPSDEQL KSGTASVIVL LNNFYPREAK 150
 VQWVKDVALQ SGNQSEVTE QDSKDSYSL SSTLTLSKAD YERHKVYACE 200
 VTHQGLSSPV TRSFNRGEC 219

Post-translational modifications
 Disulfide bridges location / Position des ponts disulfure / Posiciones de los puentes disulfuro
 Intra-H (C23-C104) 22-96 147-203 261-321 367-425
 22^o-96^o 147^o-203 261^o-321^o 367^o-425^o
 Intra-L (C23-C104) 23^o-93^o 139^o-199^o
 23^o-93^o 139^o-199^o
 Inter-H-L (CH1 10-CL 126) 134-219^o 134-219^o
 Inter-H-H (h 8, h 11) 226-226^o 229-229^o

N-terminal glutaminyl cyclization to pyroglutamyl (pE, 5-oxoprolyl)
 HVH Q1:
 I, I^o

N-glycosylation sites / Sites de N-glycosylation / Posiciones de N-glicosilación
 H CH2 N84.4:
 297, 297^o
 Fucosylated complex bi-antennary CHO-type glycans / glycanes de type CHO bi-antennaires
 complexes fucosylés / glicanos de tipo CHO biantennarios complejos fucosilados.

C-terminal lysine clipping / Coupeure de la lysine C-terminale / Recorte de lisina C-terminal
 H CHS K2:
 447, 447^o

inetagugenum geperpavecum #

inetagugene geperpavec

A replication-defective Herpes simplex virus encoding human transglutaminase 1 (TGM1).
 A recombinant replication-deficient, non-integrating Herpes simplex virus type 1 (HSV-1) (strain KOS) vector encoding two copies of codon-optimised human transglutaminase 1 [TGM1, (EC:2.3.2.13)], also known as protein-glutamine gamma-glutamyltransferase K (TGK) with both copies being expressed under the control of a human cytomegalovirus (hCMV) immediate early promoter and bovine growth hormone polyadenylation signal (bGH polyA). The vector was generated by deleting both copies of the viral immediate early (IE) gene ICP4 and inserting a copy of the TGM1 gene into each ICP4 locus. The vector is also deleted for the IE gene ICP22.
gene therapy (ichthyosis)

inétagugène géperpavec

Un virus Herpès simplex incompetent à la réplication codant la transglutaminase 1 humaine (TGM1).
 Un vecteur recombinant du virus Herpès simplex de type 1 (HSV-1) (lignée KOS) incompetent à la réplication, non intégrant, codant deux copies de la transglutaminase 1 humaine [TGM1, (EC:2.3.2.13)] aux codons optimisés aussi connue comme la gamma-glutamyltransférase protéine-glutamine K (TGK) avec deux copies étant exprimées sous le contrôle du promoteur précoce immédiat du cytomégalo virus humain (CMV) et du signal de polyadénylation de l'hormone de croissance bovine (bGH polyA). Le vecteur a été généré en supprimant les deux copies du ICP4, gène viral précoce immédiat (IE) et en insérant une copie du gène TGM1 dans chaque locus ICP4. Le vecteur a aussi été supprimé du gène ICP22 IE.
thérapie génique (ichtyose)

inetagugén geperpavec

Un virus Herpes simplex deficiente en replicación que codifica para la transglutaminasa humana 1 (TGM1). Un vector del virus Herpes simplex tipo 1 (HSV-1) (cepa KOS) recombinante, deficiente en replicación, no integrativo, que codifica dos copias de la transglutaminasa humana 1[TGM1, (EC:2.3.2.13)] , también conocida como proteína-glutamina gamma-glutamyltransferasa K (TGK), con codones optimizados, y ambas copias siendo expresadas bajo el control del promotor inmediato temprano del citomegalovirus humano (hCMV) y la señal de poliaadenilación de la hormona del crecimiento bovina (bGH polyA). El vector se generó mediante la delección de ambas copias del gen inmediato temprano (IE) viral ICP4 y la inserción de una copia del gen TGM1 en cada locus ICP4. El vector tiene también delecionado el gen IE ICP22.

terapia génica (ictiosis)

2374924-65-7

isargalagenum civaparvovecum #
isargalagene civaparvovec

A non-replicating adeno-associated viral vector encoding codon-optimised human alpha-galactosidase A (GLA).

A recombinant, non-replicating adeno-associated viral vector serotype 6 (AAV6) encoding codon-optimised human alpha-galactosidase A (GLA) under control of liver-specific regulatory elements [comprising enhancer and hepatic control region from the human apolipoprotein E (ApoE) gene, the human α -1-antitrypsin (hAAT) promoter, a chimeric human β -globin/IgG (HBB-IGG) intron, as well as a WPREmut6 region] and a bovine growth hormone (bGH) poly A sequence, flanked by adeno-associated virus 2 (AAV2) inverted terminal repeats.

cell-based gene therapy (Fabry disease)

isargalagène civaparvovec

Un vecteur viral adéno-associé non-répliquant codant la galactosidase alpha A humaine (GLA) aux codons optimisés.

Un vecteur viral adéno-associé non-répliquant, recombinant, de sérotype 6 (AAV6) codant la galactosidase alpha A humaine (GLA) aux codons optimisés sous le contrôle d'éléments régulateurs spécifiques du foie [comprenant un activateur et une région de contrôle hépatique provenant du gène de l'apolipoprotéine E humaine (ApoE), le promoteur de l'alpha-1-antitrypsine humaine (hAAT), un intron chimérique de la β -globine/IgG humaine (HBB-IGG), ainsi qu'une région WPREmut6] et d'une séquence polyA de l'hormone de croissance bovine (bGH), flanquée de répétitions terminales inversées du virus adéno-associé 2 (AAV2).

thérapie génique à base de cellules (maladie de Fabry)

isaralgagén civaparovec

Un vector viral adeno-asociado, deficiente en replicación, que codifica para la alfa galactosidasa A (GLA) humana, con codones optimizados.

Un vector viral adeno-asociado de serotipo 6 (AAV6) recombinante, no replicativo, que codifica para la alfa galactosidasa A (GLA) humana, con codones optimizados, bajo el control de elementos reguladores específicos de hígado [comprende el potenciador y la región de control hepático del gen de la apolipoproteína (ApoE) humana, el promotor de la α -1-antitripsina humana (hAAT), un intrón quimérico de β -globina humana/IgG (HBB-IGG), así como una región WPREmut6] y una secuencia polyA de la hormona decrecimiento bovina (bGH), flanqueado por la repeticiones terminales invertidas del virus adeno-asociado 2 (AAV2).

terapia génica basada en células (enfermedad de Fabry)

2378601-29-5

isuzinaxibum

isuzinaxib

3-phenyl-4-propyl-1-(pyridin-2-yl)-1H-pyrazol-5-ol
NADPH oxidase (NOX) inhibitor

isuzinaxib

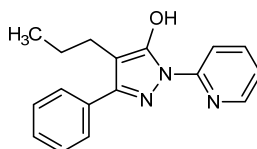
3-phényl-4-propyl-1-(pyridin-2-yl)-1H-pyrazol-5-ol
inhibiteur de la nicotinamide adénine dinucléotide phosphate hydrogène (NADPH) oxidase

isuzinaxib

3-fenil-4-propil-1-(piridin-2-il)-1H-pirazol-5-ol
inhibidor de nicotinamida adenina dinucleótido fosfato hidrógeno (NADPH) oxidasa

C₁₇H₁₇N₃O

1270084-92-8

**labuvirtidum**

labuvirtide

N^α-1-acetyl-N^{6,13}-[(2-{2-[3-(2,5-dioxo-2,5-dihydro-1H-pyrrol-1-yl)propan-amido]ethoxy}ethoxy)acetyl]-[M¹¹⁸>E², S¹²⁹>K¹³, S¹³³>E¹⁷]-[(117-150)-peptide (1-34)-34-amide (non-glycosylated) of the transmembrane glycoprotein 41 (gp41) of the human immunodeficiency virus type 1 (HIV-1):

N-acetyl-L-tryptophyl-L- α -glutamyl-L- α -glutamyl-L-tryptophyl-L- α -aspartyl-L-arginyl-L- α -glutamyl-L-isoleucyl-L-asparaginyll-asparaginyll-tyrosyl-L-threonyll-N⁶-[(2-{2-[3-(2,5-dioxo-2,5-dihydro-1H-pyrrol-1-yl)propanamido]-ethoxy}ethoxy)acetyl]-L-lysyl-L-leucyl-L-isoleucyl-L-histidyl-L- α -glutamyl-L-leucyl-L-isoleucyl-L- α -glutamyl-L- α -glutamyl-L-seryl-L-glutaminyll-asparaginyll-glutaminyll-glutaminyll- α -glutamyl-L-lysyl-L-asparaginyll- α -glutamyl-L-glutaminyll- α -glutamyl-L-leucyl-L-leucinamide

antiviral

labuvirtide

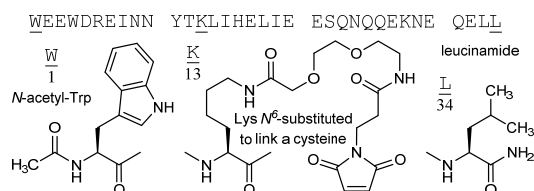
$N^{\alpha,1}$ -acetyl- $N^{6,13}$ -[(2-{2-[3-(2,5-dioxo-2,5-dihydro-1H-pyrrol-1-yl)propan-amido]éthoxy]éthoxy]acétyle]-[$M^{118}>E^2$, $S^{129}>K^{13}$, $S^{133}>E^{17}$]-peptide 117-150 (1-34)-34-amide (non glycosylé) de la glycoprotéine transmembranaire 41 (gp41) du virus de l'immunodéficience humaine de type 1 (VIH-1, HIV-1): *N*-acétyle-L-tryptophyl-L- α -glutamyl-L- α -glutamyl-L-tryptophyl-L- α -aspartyl-L-arginyl-L- α -glutamyl-L-isoleucyl-L-asparaginyll-L-asparaginyll-L-tyrosyl-L-thréonyl- N^6 -[(2-{2-[3-(2,5-dioxo-2,5-dihydro-1H-pyrrol-1-yl)propanamido]-éthoxy]éthoxy]acétyle]-L-lysyl-L-leucyl-L-isoleucyl-L-histidyl-L- α -glutamyl-L-leucyl-L-isoleucyl-L- α -glutamyl-L- α -glutamyl-L-séryl-L-glutaminyll-L-asparaginyll-L-glutaminyll-L-glutaminyll-L- α -glutamyl-L-lysyl-L-asparaginyll-L- α -glutamyl-L-glutaminyll-L- α -glutamyl-L-leucyl-L-leucinamide *antiviral*

labuvirtida

$N^{\alpha,1}$ -acetyl- $N^{6,13}$ -[(2-{2-[3-(2,5-dioxo-2,5-dihydro-1H-pirrol-1-il)propan-amido]etoxi]etoxi]acetil]-[$M^{118}>E^2$, $S^{129}>K^{13}$, $S^{133}>E^{17}$]-péptido 117-150 (1-34)-34-amida (no glicosilado) de la glicoproteína transmembranaria 41 (gp41) del virus de inmunodeficiencia humana del tipo 1 (VIH-1, HIV-1): *N*-acetil-L-triptofil-L- α -glutamyl-L- α -glutamyl-L-triptofil-L- α -aspartil-L-arginil-L- α -glutamyl-L-isoleucil-L-asparaginil-L-asparaginil-L-tirosil-L-treonil- N^6 -[(2-{2-[3-(2,5-dioxo-2,5-dihydro-1H-pirrol-1-il)propanamido]-etoxi]etoxi]acetil]-L-lisil-L-leucil-L-isoleucil-L-histidil-L- α -glutamyl-L-leucil-L-isoleucil-L- α -glutamyl-L- α -glutamyl-L-seril-L-glutaminyll-L-asparaginil-L-glutaminyll-L-glutaminyll-L- α -glutamyl-L-lisil-L-asparaginil-L- α -glutamyl-L-glutaminyll-L- α -glutamyl-L-leucil-L-leucinamida *antiviral*

C₂₀₄H₃₀₆N₅₄O₇₂

2395796-76-4



larsucosterolum

larsucosterol

25-hydroxycholest-5-en-3 β -yl hydrogen sulfate
liver X receptor (LXR) antagonist

larsucostérol

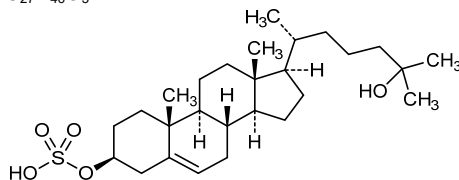
hidrogénosulfate de 25-hydroxycholest-5-én-3 β -yle
antagoniste du récepteur nucléaire des oxystérols (LXR)

larsucosterol

hidrogenosulfato de 25-hidroxicolest-5-en-3 β -ilo
antagonista de los receptores X hepáticos (LXR)

C₂₇H₄₆O₅S

884905-07-1

**latozinemabum #**

latozinemab

immunoglobulin G1-kappa, anti-[*Homo sapiens* SORT1 (sortilin 1, Gp95, NT3)], *Homo sapiens* monoclonal antibody; gamma1 heavy chain *Homo sapiens* (1-452) [VH (*Homo sapiens* IGHV4-38-2*01 (99.0%) -(IGHD) -IGHJ6*01 (100%)) CDR-IMGT [9.7.15] (26-34.52-58.97-111) (1-122) -*Homo sapiens* IGHG1*01 G1m17,1, G1v40 CH2 A1.3, A1.2, S116 (CH1 K120 (219) (123-220), hinge 1-15 (221-235), CH2 L1.3>A (239), L1.2>A (240), P116>S (336) (236-345), CH3 D12 (361), L14 (363) (346-450), CHS (451-452)) (123-452)], (225-219')-disulfide with kappa light chain *Homo sapiens* (1'-219') [V-KAPPA (*Homo sapiens* IGKV2-28*01 (93.0%) -IGKJ4*01 (100%)) CDR-IMGT [11.3.9] (27-37.55-57.94-102) (1'-112') -*Homo sapiens* IGKC*01 (100%) Km3 A45.1 (158), V101 (196) (113'-219')]; dimer (231-231'':234-234'')-bisdisulfide, produced in Chinese hamster ovary (CHO)-K1SV cell line lacking the glutamine synthetase gene (GSKO), glycoform alfa *neurological*

latozinémab

immunoglobuline G1-kappa, anti-[*Homo sapiens* SORT1 (sortiline 1, Gp95, NT3)], anticorps monoclonal *Homo sapiens*; chaîne lourde gamma1 *Homo sapiens* (1-452) [VH (*Homo sapiens* IGHV4-38-2*01 (99.0%) -(IGHD) -IGHJ6*01 (100%)) CDR-IMGT [9.7.15] (26-34.52-58.97-111) (1-122) -*Homo sapiens* IGHG1*01 G1m17,1, G1v40 CH2 A1.3, A1.2, S116 (CH1 K120 (219) (123-220), charnière 1-15 (221-235), CH2 L1.3>A (239), L1.2>A (240), P116>S (336) (236-345), CH3 D12 (361), L14 (363) (346-450), CHS (451-452)) (123-452)], (225-219')-disulfure avec la chaîne légère kappa *Homo sapiens* (1'-219') [V-KAPPA (*Homo sapiens* IGKV2-28*01 (93.0%) -IGKJ4*01 (100%)) CDR-IMGT [11.3.9] (27-37.55-57.94-102) (1'-112') -*Homo sapiens* IGKC*01 (100%) Km3 A45.1 (158), V101 (196) (113'-219')]; dimère (231-231'':234-234'')-bisdisulfure, produit dans des cellules ovariennes de hamster chinois (CHO) lignée cellulaire CHO-K1SV ne présentant pas le gène de la glutamine synthétase (GSKO), glycoforme alfa *neurologique*

latozinemab

immunoglobulina G1-kappa, anti-[*Homo sapiens* SORT1 (sortilina 1, Gp95, NT3)], anticuerpo monoclonal *Homo sapiens*; cadena pesada gamma1 *Homo sapiens* (1-452) [VH (*Homo sapiens* IGHV4-38-2*01 (99.0%) -(IGHD) -IGHJ6*01 (100%)) CDR-IMGT [9.7.15] (26-34.52-58.97-111) (1-122) -*Homo sapiens* IGHG1*01 G1m17,1, G1v40 CH2 A1.3, A1.2, S116 (CH1 K120 (219) (123-220), bisagra 1-15 (221-235), CH2 L1.3>A (239), L1.2>A (240), P116>S (336) (236-345), CH3 D12 (361), L14 (363) (346-450), CHS (451-452)) (123-452)], (225-219')-disulfuro con la cadena ligera kappa *Homo sapiens* (1'-219') [V-KAPPA (*Homo sapiens* IGKV2-28*01 (93.0%) -IGKJ4*01 (100%)) CDR-IMGT [11.3.9] (27-37.55-57.94-102) (1'-112') -*Homo sapiens* IGKC*01 (100%) Km3 A45.1 (158), V101 (196) (113'-219')]; dímero (231-231'':234-234'')-bisdisulfuro, producido en las células ováricas de hámster chino (CHO) línea celular CHO-K1SV en ausencia del gen glutamina sintetasa (GSKO), forma glicosilada alfa *neuroológico*

2376132-27-1

Heavy chain / Chaîne lourde / Cadena pesada

QVQLQESGPG LVPFSETLSL TCAVSGYSIS SGYYGWIRQ PPGKGLEWIG	50
TIYHSGSTYY NPSLKRVTI SVDTSKNQFS LKLLSVAAD TAVYYCARQG	100
SIKQGYGMD VWGQTTVTV SSASTKGFVS FPLAPSSKST SGGTAALGCL	150
VKDYFPEPVT VSWNSGALTS GVHTFPAVLQ SSGLYSLSSV VTPVSSSLGT	200
QTYICNVNHK PSNTKVDKVV EPKSCDKTHT CPFCPAPEAA GGPSVFLFPP	250
KPKDITLMISR TFEVTCVVVD VSHEDPEVKF NWYVDGVEVH NAKTKPREEQ	300
YNSTYRVVSV LTVLHQDWLNL GKEYKCKVSN KALPASIEKT ISKAKGQPRE	350
PQVYTLPPSR DELTKNQVSL TCLVKGFYPS DIAVEWESNG QPENNYKTFP	400
PVLDSGDSFF LYSKLTVDKS RWQQGNVFSC SVMHEALHNN YTKQSLSLSP	450
GK	452

Light chain / Chaîne légère / Cadena ligera

DIVMTQSPLS LPVTPGEPAS ISCRSSQSLR RSTGYNYLDW YLQKFGGSPQ	50
LLIYLGSNRA SGVDFRFGSG GSGTDFTLKI SRAEAEVGVV YYCQQQGEAP	100
LTFGGGTKVE IKRTVAAPSV FIFPPSDEQL KSGTASVVCV LNNFYPREAK	150
VQWVVDNALQ SGNSQESVTE QDSKDYSTLS SSTLTLKSAK YEKHKVYACE	200
VTHQGLSSPV TKSFNREGC	219

Post-translational modifications

Disulfide bridges location / Position des ponts disulfure / Posiciones de los puentes disulfuro

Intra-H (C23-C104) 22-96 149-205 266-326 372-430
 22"-96" 149"-205" 266"-326" 372"-430"

Intra-L (C23-C104) 23"-93" 139"-199"
 23"-93" 139"-199"

Inter-H-L (h 5-CL 126) 225-219" 225"-219"

Inter-H-H (h 11, h 14) 231-231" 234-234"

N-terminal glutaminyl cyclization to pyroglutamyl (pE, 5-oxoprolyl)

HVHQI:
 1, 1"

N-glycosylation sites / Sites de N-glycosylation / Posiciones de N-glicosilación

H CH2 N84.4:

302, 302"

Fucosylated complex bi-antennary CHO-type glycans / glycanes de type CHO bi-antennaires complexes fucosylés / glicanos de tipo CHO biantennarios complejos fucosilados.

C-terminal lysine clipping / Coupure de la lysine C-terminale / Recorte de lisina C-terminal

HCHS K2:
 452, 452"

lemzoparlimabum # lemzoparlimab

immunoglobulin G4-kappa, anti-[*Homo sapiens* CD47 (integrin associated protein, IAP, MER6, OA3)], monoclonal antibody; gamma4 heavy chain (1-445) [VH (*Homo sapiens* IGHV3-15*07 (93.9%) -(IGHD) -IGHJ3*02 (100%)) CDR-IMGT [8.10.9] (26-33.51-60.99-107) (1-118)-*Homo sapiens* IGHG4*01 (100%), G4v5 h P10 (CH1 (119-216), hinge 1-12 S10>P (226) (217-228), CH2 (229-338), CH3 (339-443), CHS (444-445)) (119-445)], (132-220')-disulfide with kappa light chain (1'-220') [V-KAPPA (*Homo sapiens* IGKV4-1*01 (89.1%) -IGKJ2*01 (90%) Q120>G (106)) CDR-IMGT [12.3.9] (27-38.56-58.95-103) (1'-113') -*Homo sapiens* IGKC*01 (100%), Km3 A45.1 (159), V101 (197) (114'-220')]; dimer (224-224":227-227")-bisdisulfide, produced in a Chinese hamster ovary (CHO)-K1 cell line, glycoform alfa
immunomodulator, antineoplastic

lemzoparlimab

immunoglobuline G4-kappa, anti-[*Homo sapiens* CD47 (protéine associée à l'intégrine, IAP, MER6, OA3)], anticorps monoclonal; chaîne lourde gamma4 (1-445) [VH (*Homo sapiens* IGHV3-15*07 (93.9%) -(IGHD) -IGHJ3*02 (100%)) CDR-IMGT [8.10.9] (26-33.51-60.99-107) (1-118)-*Homo sapiens* IGHG4*01 (100%), G4v5 h P10 (CH1 (119-216), charnière 1-12 S10>P (226) (217-228), CH2 (229-338), CH3 (339-443), CHS (444-445)) (119-445)], (132-220')-disulfure avec la chaîne légère kappa (1'-220') [V-KAPPA (*Homo sapiens* IGKV4-1*01 (89.1%) -IGKJ2*01 (90%) Q120>G (106)) CDR-IMGT [12.3.9] (27-38.56-58.95-103) (1'-113') -*Homo sapiens* IGKC*01 (100%), Km3 A45.1 (159), V101 (197) (114'-220')]; dimère (224-224":227-227")-bisdisulfure, produit dans des cellules ovariennes de hamster chinois (CHO) lignée cellulaire CHO-K1, glycoforme alfa
immunomodulateur, antinéoplasique

lemzoparlimab

inmunoglobulina G4-kappa, anti-[*Homo sapiens* CD47 (proteína asociada a la integrina, IAP, MER6, OA3)], anticuerpo monoclonal;
cadena pesada gamma4 (1-445) [VH (*Homo sapiens* IGHV3-15*07 (93.9%) -(IGHD) -IGHJ3*02 (100%)) CDR-IMGT [8.10.9] (26-33.51-60.99-107) (1-118)-*Homo sapiens* IGHG4*01 (100%), G4v5 h P10 (CH1 (119-216), bisagra 1-12 S10>P (226) (217-228), CH2 (229-338), CH3 (339-443), CHS (444-445)) (119-445)], (132-220')-disulfuro con la cadena ligera kappa (1'-220') [V-KAPPA (*Homo sapiens* IGKV4-1*01 (89.1%) -IGKJ2*01 (90%) Q120>G (106)) CDR-IMGT [12.3.9] (27-38.56-58.95-103) (1'-113') -*Homo sapiens* IGKC*01 (100%), Km3 A45.1 (159), V101 (197) (114'-220')]; dímero (224-224''-227-227'')-bisdisulfuro, producido en las células ováricas de hámster chino (CHO) línea celular CHO-K1, forma glicosilada alfa *inmunomodulador, antineoplásico*

2377483-71-9

Heavy chain / Chaîne lourde / Cadena pesada

```
EVQLVDSGGG LVKPGGSLRL SCAASGLTPE RAWMNRVQA PGKGLEWVGR 50
IKRKT DGETT DYAAPVKGRF SISRDDSKNT LYLQMNLSKT EDTAVYYCAG 100
SNRAFDIWGQ GTMVTVSSAS TRGSPVFPLA PCSRSTSEST AALGCLVKDY 150
FPEPPTVSWN SGALTSGVHT FPAVLQSSGL YSLSSVVTVP SSSLGKTKYT 200
CNDVHKPSTN KVDKRVESKY GPCCPCPCAP EFLGGPSVFL FPPKPKDTLM 250
ISRTPEVTCV VVDVSKQEDPE VQFNWYVDGV EVHNAKTKPR EQFNSTYRV 300
VSVLTVLHQD WLNKKEYKGF VSNKGLPSSI EKTISKARQG PREPQVYTLF 350
PSQEEMTKNQ VSLTCLVKG F YPSDIAVENE SNGQFENNYK TTPFVLDSDG 400
SFFLYSRITV DKSRWQEGNV FSCSVMEAL HNHYTQKSL SLSLGK 445
```

Light chain / Chaîne légère / Cadena ligera

```
DIVMTQSPDS LAVSLGERAT INCKSSQSVL YAGNRRNYLA WYQQKPGQPP 50
KLLINQASTR ASGVPPDRFSG SSGSGETFLI ISSLQAEDVA IYYCQQYYTP 100
PLAFGGGTKL EIKRTVAAPS VFIFPPSDEQ LKSGTASVVC LLNNFYPREA 150
KVQWKVDNAL QSGNSQESVT EQDSKSTYS LSSTLTLSKA DYERKHKVYAC 200
EVTHTQGLSSP VTKSFNRGEC 220
```

Post-translational modifications

Disulfide bridges location / Position des ponts disulfure / Posiciones de los puentes disulfuro

Intra-H (C23-C104) 22-98 145-201 259-319 365-423
22''-98'' 145''-201'' 259''-319'' 365''-423''
Intra-L (C23-C104) 23'-94' 140'-200'
23'''-94''' 140'''-200'''
Inter-H-L (CH1 10-CL 126) 132-220' 132''-220''
Inter-H-H (h 8, h 11) 224-224'' 227-227''

N-glycosylation sites / Sites de N-glycosylation / Posiciones de N-glicosilación

H CH2 N84.4:

295, 295''

Fucosylated complex bi-antennary CHO-type glycans / glycanes de type CHO bi-antennaires complexes fucosylés / glicanos de tipo CHO biantenarijos complejos fucosilados.

C-terminal lysine clipping / Coupeure de la lysine C-terminale / Recorte de lisina C-terminal

H CHS K2:

445, 445''

lenrispodunum

lenrispodun

(6aR,9aS)-3-anilino-2-[[4-(6-fluoropyridin-2-yl)phenyl]methyl]-5-methyl-5,6a,7,8,9,9a-hexahydrocyclopenta[4,5]imidazo[1,2-a]pyrazolo[4,3-e]pyrimidin-4(2H)-one
phosphodiesterase 1 (PDE1) inhibitor

lenrispodun

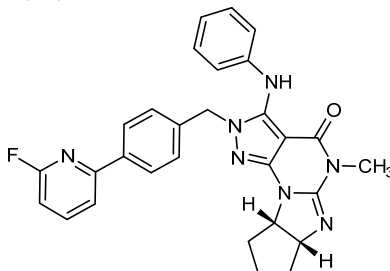
(6aR,9aS)-3-anilino-2-[[4-(6-fluoropyridin-2-yl)phényl]méthyl]-5-méthyl-5,6a,7,8,9,9a-hexahydrocyclopenta[4,5]imidazo[1,2-a]pyrazolo[4,3-e]pyrimidin-4(2H)-one
inhibiteur de la phosphodiesterase 1 (PDE1)

lenrispodun

(6a*R*,9a*S*)-3-anilino-2-[[4-(6-fluoropiridin-2-yl)fenil]metil]-5-metil-5,6a,7,8,9,9a-hexahidrociclopenta[4,5]imidazo[1,2-*a*]pirazolo[4,3-*e*]pirimidin-4(2*H*)-ona
inhibidor de la fosfodiesterasa 1 (PDE1)

C₂₉H₂₆FN₇O

1160521-50-5

**libvatrepum**

libvatrep

4-[7-hydroxy-4-oxo-2-(propan-2-yl)quinazolin-3(4*H*)-yl]benzotrile
transient receptor potential vanilloid 1 (TRPV1)
antagonist

libvatrep

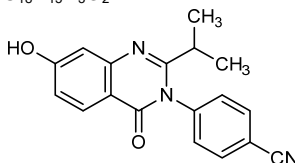
4-[7-hydroxy-4-oxo-2-(propan-2-yl)quinazolin-3(4*H*)-yl]benzotrile
antagoniste des récepteurs membranaires vanilloïdes
sous-type 1 (TRPV1)

libvatrep

4-[7-hidroxi-4-oxo-2-(propan-2-il)quinazolin-3(4*H*)-il]benzotrile
antagonista de los receptores membranarios
vanilloides subtipo 1 (TRPV1)

C₁₈H₁₅N₃O₂

871814-52-7

**licaminlimabum #**

licaminlimab

immunoglobulin scFv, anti-[*Homo sapiens* TNF (tumor necrosis factor, TNFSF2, DIF, TNF-alpha)], humanized monoclonal antibody single chain;
 IG scFv humanized single chain (V-KAPPA-VH) (1-254) [V-KAPPA (*Homo sapiens* IGKV1-5*03 (79.2%) - (IGHD) -IGKJ2*02 (77.8%)) CDR-IMGT [8.3.11] (28-35.53-55.92-102) (1-112)] -21-mer glycy-tetrakis(tetraglycyl-seryl) linker (113-133) -[VH (*Homo sapiens* IGHV3-66*01 (76%) -IGHJ6*01 (92.3%)) CDR-IMGT [8.8.14] (159-166.184-191.230-243) (134-254)], produced in the bacteria *Escherichia coli* (*E. coli*), non-glycosylated
immunomodulator

licaminlimab immunoglobuline scFv, anti-[*Homo sapiens* TNF (facteur de nécrose tumorale, TNFSF2, DIF, TNF-alpha)], anticorps monoclonal humanisé à chaîne unique; IG scFv chaîne unique humanisée (V-KAPPA-VH) (1-254) [V-KAPPA (*Homo sapiens* IGKV1-5*03 (79.2%) -(IGHD) - IGKJ2*02 (77.8%)) CDR-IMGT [8.3.11] (28-35.53-55.92-102) (1-112)] -21-mer glycyil-tétrakis(tétraglycyl-séryl) linker (113-133) -[VH (*Homo sapiens* IGHV3-66*01 (76%) - IGHJ6*01 (92.3%)) CDR-IMGT [8.8.14] (159-166.184-191.230-243) (134-254)], produit dans la bactérie *Escherichia coli* (*E. coli*), non-glycosylé
immunomodulateur

licaminlimab inmunoglobulina scFv, anti-[*Homo sapiens* TNF (factor de necrosis tumoral, TNFSF2, DIF, TNF-alfa)], anticuerpo monoclonal humanizado con cadena única; IG scFv cadena única humanizada (V-KAPPA-VH) (1-254) [V-KAPPA (*Homo sapiens* IGKV1-5*03 (79.2%) -(IGHD) - IGKJ2*02 (77.8%)) CDR-IMGT [8.3.11] (28-35.53-55.92-102) (1-112)] -21-mer glicilil-tetrakis(tetraglicil-seril) linker (113-133) -[VH (*Homo sapiens* IGHV3-66*01 (76%) - IGHJ6*01 (92.3%)) CDR-IMGT [8.8.14] (159-166.184-191.230-243) (134-254)], producido en la bacteria *Escherichia coli* (*E. coli*), no glicosilado
immunomodulador

1688648-13-6

scFv chain / Chaîne scFv / Cadena scFv
 MEIYWTQSPS TLSASVGDV IITCQSSQSV YGNIMAWYQ QKPGRAPKLL 50
 IYQASKLASG VPSRFSGSSG GAFTLTISS LQPDDEPATYI CQGNFNTGDR 100
 YAFGQSTKLT VLGSGGGSSG GSGGGSSG GSEVQLVES GGSVQPGSS 150
 LRLSCTASGF TISRSYWICW VRQAPGKGLE WVGCIYGDND ITPLYAWAK 200
 GRFTISRDTG KNTVYLQMNS LRAEDTATYI CARLGYADYA YDLWGQGTV 250
 TVSS 254

Post-translational modifications

Disulfide bridges location / Position des ponts disulfure / Posiciones de los puentes disulfuro
 Intra-scFv (C23-C104) 24-91 155-231 169-184

No N-glycosylation sites / pas de sites de N-glycosylation / ningún posición de N-glicosilación

lirentelimabum #
lirentelimab

immunoglobulin G1-kappa, anti-[*Homo sapiens* SIGLEC8 (sialic acid binding Ig-like lectin 8, SIGLEC-8, SAF2, SIGLEC8L)], humanized monoclonal antibody; gamma 1 heavy chain humanized (1-450) [VH (*Homo sapiens* IGHV3-66*01 (79.4%) -(IGHD) -IGHJ5*01 (90.9%)) CDR-IMGT [8.7.14] (26-33.51-57.96-109) (1-120) -*Homo sapiens* IGHG1*03 (100%) G1m3, nG1m1 (CH1 R120 (217) (121-218), hinge 1-15 (219-233), CH2 (234-343), CH3 E12 (359), M14 (361) (344-448), CHS (449-450)) (121-450)], (223-213')-disulfide with kappa light chain humanized (1'-213') [V-KAPPA (*Homo sapiens* IGKV3-11*01 (86.3%) - IGKJ3*01 (91.7%)) CDR-IMGT [5.3.9] (27-32.50-52.89-97) (1'-107') -*Homo sapiens* IGKC*01 (100%) Km3 A45.1 (152), V101 (190) (108'-213')]; dimer (229-229'':232-232'')-bisdisulfide, produced in Chinese hamster ovary (CHO) cells, glycoform alfa
immunomodulator

lirentélimab

immunoglobuline G1-kappa, anti-[*Homo sapiens* SIGLEC8 (lectine 8 de type Ig-like liant l'acide sialique, SIGLEC-8, SAF2, SIGLEC8L)], anticorps monoclonal humanisé; chaîne lourde gamma1 humanisée (1-450) [VH (*Homo sapiens* IGHV3-66*01 (79.4%) -(IGHD) -IGHJ5*01 (90.9%)) CDR-IMGT [8.7.14] (26-33.51-57.96-109) (1-120) -*Homo sapiens* IGHG1*03 (100%) G1m3, nG1m1 (CH1 R120 (217) (121-218), charnière 1-15 (219-233), CH2 (234-343), CH3 E12 (359), M14 (361) (344-448), CHS (449-450)) (121-450)], (223-213')-disulfure avec la chaîne légère kappa humanisée (1'-213') [V-KAPPA (*Homo sapiens* IGKV3-11*01 (86.3%) -IGKJ3*01 (91.7%)) CDR-IMGT [5.3.9] (27-32.50-52.89-97) (1'-107') -*Homo sapiens* IGKC*01 (100%) Km3 A45.1 (152), V101 (190) (108'-213')]; dimère (229-229":232-232")-bisdisulfure, produit dans des cellules ovariennes de hamster chinois (CHO), glycoforme alfa
immunomodulateur

lirentelimab

inmunoglobulina G1-kappa, anti-[*Homo sapiens* SIGLEC8 (lectina 8 de tipo Ig-like de unión al ácido siálico, SIGLEC-8, SAF2, SIGLEC8L)], anticuerpo monoclonal humanizado; cadena pesada gamma1 humanizada (1-450) [VH (*Homo sapiens* IGHV3-66*01 (79.4%) -(IGHD) -IGHJ5*01 (90.9%)) CDR-IMGT [8.7.14] (26-33.51-57.96-109) (1-120) -*Homo sapiens* IGHG1*03 (100%) G1m3, nG1m1 (CH1 R120 (217) (121-218), bisagra 1-15 (219-233), CH2 (234-343), CH3 E12 (359), M14 (361) (344-448), CHS (449-450)) (121-450)], (223-213')-disulfuro con la cadena ligera kappa humanizada (1'-213') [V-KAPPA (*Homo sapiens* IGKV3-11*01 (86.3%) -IGKJ3*01 (91.7%)) CDR-IMGT [5.3.9] (27-32.50-52.89-97) (1'-107') -*Homo sapiens* IGKC*01 (100%) Km3 A45.1 (152), V101 (190) (108'-213')]; dímero (229-229":232-232")-bisdisulfuro, producido en las células ováricas de hámster chino (CHO), forma glicosilada alfa
immunomodulador

2283348-97-8

Heavy chain / Chaîne lourde / Cadena pesada

```
EVQLVDSGGG LVQPGGSLRL SCAASGFSLT IYGAHWVRQA PGKGLEWVGV 50
IWAGGSTNYN SALMSRFTIS KDNSKNTVYL QMNSLRAEDT AVYYCARDGS 100
SPYYYSMEYW GQGTTVTVSS ASTKGPSVFP LAPSSKSTSG GTAALGCLWK 150
DYFPEPVTVS WNSGALTSKV HTPFAVLQSS GLYSLSSVVT VPSSSLGTQT 200
YICNVNHKPS NTKVDRKVEP KSCDRKTHCP PCPAPELLGG FSVFLPPPK 250
KDTLMIKSRP EVTCVVDVDS HEDPEVKFNW YVDGVEVHNA KTKPREEQYN 300
STYRVVSVLT VLHQDWLNGK EYKCKVSNKA LPAPIEKTIK KAKGQPREPQ 350
VYTLPPSREE MTKNQVSLTLC LVKGFYPSDI AVEWESNGQP ENNYKTTTPV 400
LDSGDSFFLY SKLTVDKSRW QQGNVPSVCSV MHEALHNHYT QKSLSLSPGK 450
```

Light chain / Chaîne légère / Cadena ligera

```
EIVLTQSPAT LSLSPGERAT LSCSATS SVS YMHWFQKPKG QAPRLLIYST 50
SNLASGIPAR FSGSGSTDF TLTISLLEPE DPAVYQQQR SSYPFTFGPG 100
TKLDIKRTVA APSVFI FPPS DEQLKSGTAS VVCLLNFPY REAKVQWQVD 150
NALQSGNSQE SVTEQDSKDS TYSLSLTITL SKADYERHKV YACEVTHQGL 200
SSPVTKSFNR GEC 213
```

Post-translational modifications

Disulfide bridges location / Position des ponts disulfure / Posiciones de los puentes disulfuro

Intra-H (C23-C104) 22-95 147-203 264-324 370-428
22"-95" 147"-203" 264"-324" 370"-428"

Intra-L (C23-C104) 23'-87' 133'-193'
23"-87" 133"-193"

Inter-H-L (h 5-CL 126) 223-213' 223"-213"
Inter-H-H (h 11, h 14) 229-229' 232-232"

N-glycosylation sites / Sites de N-glycosylation / Posiciones de N-glicosilación

HCH2 N84.4:

300, 300"

Afucosylated complex bi-antennary CHO-type glycans / glycanes de type CHO bi-antennaires complexes afucosylés / glicanos de tipo CHO biantennarios complejos afucosilados.

C-terminal lysine clipping / Coupure de la lysine C-terminale / Recorte de lisina C-terminal

HCHS K2:

450, 450"

locnartecanum #

locnartecan

(4S)-4,11-diethyl-4-hydroxy-3,14-dioxo-3,4,12,14-tetrahydro-1H-pyrano[3',4':6,7]indolizino[1,2-b]quinolin-9-yl 4-[2-(5-{3-[2,4-dihydroxy-5-(propan-2-yl)phenyl]-5-oxo-1,5-dihydro-4H-1,2,4-triazol-4-yl]-1H-indol-1-yl)ethyl]piperidine-1-carboxylate
topoisomerase I inhibitor, antineoplastic

locnartécán

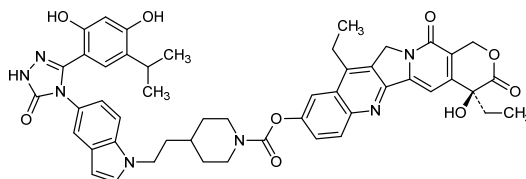
4-[2-(5-{3-[2,4-dihydroxy-5-(propan-2-yl)phényl]-5-oxo-1,5-dihydro-4H-1,2,4-triazol-4-yl]-1H-indol-1-yl)éthyl]pipéridine-1-carboxylate de (4S)-4,11-diéthyl-4-hydroxy-3,14-dioxo-3,4,12,14-tétrahydro-1H-pyrano[3',4':6,7]indolizino[1,2-b]quinoléin-9-yle
inhibiteur de la topoisomerase I, antinéoplasique

locnartecán

4-[2-(5-{3-[2,4-dihidroxi-5-(propan-2-il)fenil]-5-oxo-1,5-dihidro-4H-1,2,4-triazol-4-il]-1H-indol-1-il)etil]piperidina-1-carboxilato de (4S)-4,11-dietil-4-hidroxi-3,14-dioxo-3,4,12,14-tetrahydro-1H-pirano[3',4':6,7]indolizino[1,2-b]quinolein-9-ilo
inhibidor de la topoisomerasa I, antineoplásico

C₄₉H₄₉N₇O₉

1472614-83-7

**lonigutamabum #**

lonigutamab

immunoglobulin G1-kappa, anti-[*Homo sapiens* IGF1R (insulin like growth factor 1 receptor, IGF1-R, IGF-1R, CD221)], humanized monoclonal antibody; gamma1 heavy chain humanized (1-449) [VH humanized (*Homo sapiens* IGHV1-46*01 (92.8%) - (IGHD) -IGHJ4*01 (100%)) CDR-IMGT [8.8.13] (26-33.51-58.97-109) (1-120) -*Homo sapiens* IGHG1*03 (100%) G1m3, nG1m1 (CH1 R120 (217) (121-218), hinge 1-15 (219-233), CH2 (234-343), CH3 E12 (359), M14 (361) (344-448), CHS K>del (449)) (121-449)], (223-214')-disulfide with kappa light chain humanized (1'-214') [V-KAPPA humanized (*Homo sapiens* IGKV1-39*01 (86.3%) -IGKJ4*01 (100%)) CDR-IMGT [6.3.9] (27-32.50-52.89-97) (1'-107') -*Homo sapiens* IGKC*01 (100%) Km3 A45.1 (153), V101 (191) (108'-214')]; dimer (229-229":232-232")-bisdisulfide, produced in Chinese hamster ovary (CHO)-K1SV cell line lacking the glutamine synthetase gene (GSKO), glycoform alfa
antineoplastic

lonigutamab

immunoglobuline G1-kappa, anti-[*Homo sapiens* IGF1R (récepteur du facteur de croissance 1 analogue à l'insuline, IGF1-R, IGF-1R, CD221)], anticorps monoclonal humanisé;

chaîne lourde gamma1 humanisée (1-449) [VH humanisé (*Homo sapiens* IGHV1-46*01 (92.8%) -(IGHD) -IGHJ4*01 (100%)) CDR-IMGT [8.8.13] (26-33.51-58.97-109) (1-120) -*Homo sapiens* IGHG1*03 (100%) G1m3, nG1m1 (CH1 R120 (217) (121-218), charnière 11-15 (219-233), CH2 (234-343), CH3 E12 (359), M14 (361) (344-448), CHS K>del (449)) (121-449)], (223-214')-disulfure avec la chaîne légère kappa humanisée (1'-214') [V-KAPPA humanisé (*Homo sapiens* IGKV1-39*01 (86.3%) -IGKJ4*01 (100%)) CDR-IMGT [6.3.9] (27-32.50-52.89-97) (1'-107') -*Homo sapiens* IGKC*01 (100%) Km3 A45.1 (153), V101 (191) (108'-214')]; dimère (229-229":232-232")-bisdisulfure, produit dans des cellules ovariennes de hamster chinois (CHO) lignée cellulaire CHO-K1SV ne présentant pas le gène de la glutamine synthétase (GSKO), glycoforme alfa *antineoplasique*

lonigutamab

immunoglobulina G1-kappa, anti-[*Homo sapiens* IGF1R (receptor del factor de crecimiento 1 análogo a la insulina, IGF-1R, IGF-1R, CD221)], anticuerpo monoclonal humanizado; cadena pesada gamma1 humanizada (1-449) [VH humanizado (*Homo sapiens* IGHV1-46*01 (92.8%) -(IGHD) -IGHJ4*01 (100%)) CDR-IMGT [8.8.13] (26-33.51-58.97-109) (1-120) -*Homo sapiens* IGHG1*03 (100%) G1m3, nG1m1 (CH1 R120 (217) (121-218), bisagra 11-15 (219-233), CH2 (234-343), CH3 E12 (359), M14 (361) (344-448), CHS K>del (449)) (121-449)], (223-214')-disulfuro con la cadena ligera kappa humanizada (1'-214') [V-KAPPA humanizado (*Homo sapiens* IGKV1-39*01 (86.3%) -IGKJ4*01 (100%)) CDR-IMGT [6.3.9] (27-32.50-52.89-97) (1'-107') -*Homo sapiens* IGKC*01 (100%) Km3 A45.1 (153), V101 (191) (108'-214')]; dímero (229-229":232-232")-bisdisulfuro, producido en las células ováricas de hámster chino (CHO) línea celular CHO-K1SV en ausencia del gen glutamina sintetasa (GSKO), forma glicosilada alfa *antineoplásico*

2362015-67-4

Heavy chain / Chaîne lourde / Cadena pesada

```

QVQLVQSGAE VKKPGASVKV SCKASGYTFT SYIIHWVRQA PGQGLEWMGW 50
IWPFGDSTKY AQKFGQGRVTM TRDTSTSTVY MELSSLRSED TAVYFCASPM 100
ITPNYAMDYW QGGTLVTVSS ASTKGPSVFP LAPSSKSTSG GTAALGCLVK 150
DYFPEFVTVS WNSGALTSGV HTPFAVLQSS GLYSLSSVWT VPSSSLGTQT 200
YICNVNHHKPS NTKVDKRVFP KSCDKTHTCP PCPAPELLGG PSVFLFPPK 250
KDTLMISRTP ETVCTVVVDSV HEDPEVFNWV YVDGVEVHNA KTKPREEQYN 300
STYRVVSVLT VHQDWLNGK EYKCKVSNKA LPAPIEKTIS KAKGPREPQ 350
VYTLPPSREE MTKNQVSLTC LVKGFYPSDI AVEWESNGQP ENNYKTPFP 400
LDSDEGSFFLY SKLTVDKSRW QQGNVFSCSV MHEALHNHYT QKSLSLSPG 449

```

Light chain / Chaîne légère / Cadena ligera

```

DIQMTQSPSS LSASVGDRTV ITCRASQDIS KYLNWYQQKP GKAPKLLIYY 50
TSRLQSGVPS RFSGRGSGTD YSLTISSLQP EDFATYFCQQ GSTLPYTPGG 100
GTKVEIKRTV AAPSVFIAPP SDEQLKSGTA SVVCLLNIFY PREAKVQWVK 150
DNALQSGNSQ ESVTEQDSKD STYLSLSTLT LSKADYERHKV VYACEVTHQG 200
LSSPVTKSFN RGEK 214

```

Post-translational modifications

Disulfide bridges location / Position des ponts disulfure / Posiciones de los puentes disulfuro

Intra-H (C23-C104) 22"-96" 147"-203" 264"-324" 370"-428"
 22"-96" 147"-203" 264"-324" 370"-428"

Intra-L (C23-C104) 23"-88" 134"-194"
 23"-88" 134"-194"

Inter-H-L (h 5-CL 126) 223"-214" 223"-214"

Inter-H-H (h 11, h 14) 229-229" 232-232"

N-terminal glutaminyl cyclization to pyroglutamyI (pE, 5-oxoprolyl)

HVHQI:

I, I"

N-glycosylation sites / Sites de N-glycosylation / Posiciones de N-glicosilación

H CH2 N84.4:

300, 300"

Fucosylated complex bi-antennary CHO-type glycans / glycanes de type CHO bi-antennaires complexes fucosylés / glicanos de tipo CHO biantennarios complejos fucosilados.

Ionigutamabum ugodotinum #

ionigutamab ugodotin

immunoglobulin G1-kappa, anti-[*Homo sapiens* IGF1R (insulin like growth factor 1 receptor, IGF1-R, IGF-1R, CD221)], humanized monoclonal antibody conjugated to a dolastatin derivative (*ugodotin* groups); gamma1 heavy chain humanized (1-449) [VH humanized (*Homo sapiens* IGHV1-46*01 (92.8%) -(IGHD) -IGHJ4*01 (100%)) CDR-IMGT [8.8.13] (26-33.51-58.97-109) (1-120) - *Homo sapiens* IGHG1*03 (100%) G1m3, nG1m1 (CH1 R120 (217) (121-218), hinge 1-15 (219-233), CH2 (234-343), CH3 E12 (359), M14 (361) (344-448), CHS K>del (449)) (121-449)], (223-214')-disulfide with kappa light chain humanized (1'-214') [V-KAPPA humanized (*Homo sapiens* IGKV1-39*01 (86.3%) -IGKJ4*01 (100%)) CDR-IMGT [6.3.9] (27-32.50-52.89-97) (1'-107') -*Homo sapiens* IGKC*01 (100%) Km3 A45.1 (153), V101 (191) (108'-214')]; dimer (229-229":232-232")-bisdisulfide, produced in Chinese hamster ovary (CHO)-K1SV cell line lacking the glutamine synthetase gene (GSKO), glycoform alfa; conjugated at the cysteines 223, 214', 223" and 214"" with four (3S,6R,7R,8²S,11R,12S,15S,18S,30³RS)-12-[(2S)-butan-2-yl]-3-carboxy-7,11-dimethoxy-6,13,19,23-tetramethyl-5,9,14,17,24,30²,30⁵-heptaoxo-15,18-di(propan-2-yl)-4,13,16,19,23-pentaaza-8(2,1),30(1)-dipyrrolidina-1(1),22(1,4)-dibenzénatricontaphan-30³-yl (*ugodotin*) groups *antineoplastic*

ionigutamab ugodotine

immunoglobuline G1-kappa, anti-[*Homo sapiens* IGF1R (récepteur du facteur de croissance 1 analogue à l'insuline, IGF1-R, IGF-1R, CD221)], anticorps monoclonal humanisé conjugué à un dérivé de dolastatine (groupes ugodotine); chaîne lourde gamma1 humanisée (1-449) [VH humanisé (*Homo sapiens* IGHV1-46*01 (92.8%) -(IGHD) -IGHJ4*01 (100%)) CDR-IMGT [8.8.13] (26-33.51-58.97-109) (1-120) - *Homo sapiens* IGHG1*03 (100%) G1m3, nG1m1 (CH1 R120 (217) (121-218), charnière 1-15 (219-233), CH2 (234-343), CH3 E12 (359), M14 (361) (344-448), CHS K>del (449)) (121-449)], (223-214')-disulfure avec la chaîne légère kappa humanisée (1'-214') [V-KAPPA humanisé (*Homo sapiens* IGKV1-39*01 (86.3%) -IGKJ4*01 (100%)) CDR-IMGT [6.3.9] (27-32.50-52.89-97) (1'-107') -*Homo sapiens* IGKC*01 (100%) Km3 A45.1 (153), V101 (191) (108'-214')]; dimère (229-229":232-232")-bisdisulfure, produit dans des cellules ovariennes de hamster chinois (CHO) lignée cellulaire CHO-K1SV ne présentant pas le gène de la glutamine synthétase (GSKO), glycoforme alfa; conjugué aux cystéines 223, 214', 223" et 214"" avec quatre groupes (3S,6R,7R,8²S,11R,12S,15S,18S,30³RS)-12-[(2S)-butan-2-yl]-3-carboxy-7,11-diméthoxy-6,13,19,23-tétraméthyl-5,9,14,17,24,30²,30⁵-heptaoxo-15,18-di(propan-2-yl)-4,13,16,19,23-pentaaza-8(2,1),30(1)-dipyrrolidina-1(1),22(1,4)-dibenzénatricontaphan-30³-yle (*ugodotine*) *antinéoplasique*

ionigutamab ugodotina

inmunoglobulina G1-kappa, anti-[*Homo sapiens* IGF1R (receptor del factor de crecimiento 1 análogo a la insulina, IGF1-R, IGF-1R, CD221)], anticuerpo monoclonal humanizado conjugado a un derivado de dolastatina (grupos ugodotina);

cadena pesada gamma1 humanizada (1-449) [VH humanizado (*Homo sapiens* IGHV1-46*01 (92.8%) -(IGHD) -IGHJ4*01 (100%)) CDR-IMGT [8.8.13] (26-33.51-58.97-109) (1-120) -*Homo sapiens* IGHG1*03 (100%) G1m3, nG1m1 (CH1 R120 (217) (121-218), bisagra 1-15 (219-233), CH2 (234-343), CH3 E12) (359), M14 (361) (344-448), CHS K>del (449)) (121-449)], (223-214')-disulfuro con la cadena ligera kappa humanizada (1'-214') [V-KAPPA humanizado (*Homo sapiens* IGKV1-39*01 (86.3%) -IGKJ4*01 (100%)) CDR-IMGT [6.3.9] (27-32.50-52.89-97) (1'-107') -*Homo sapiens* IGKC*01 (100%) Km3 A45.1 (153), V101 (191) (108'-214'')]; dímero (229-229'':232-232'')-bisdisulfuro, producido en las células ováricas de hámster chino (CHO) línea celular CHO-K1SV en ausencia del gen glutamina sintetasa (GSKO), forma glicosilada alfa; conjugado a cisteínas 223, 214', 223'' y 214''' con cuatro grupos (3S,6R,7R,8²S,11R,12S,15S,18S,30³RS)-12-[(2S)-butan-2-il]-3-carboxi-6,13,19,23-tetrametil-7,11-dimetoxi-5,9,14,17,24,30²,30⁵-heptaoxo-15,18-di(propan-2-il)-4,13,16,19,23-pentaaza-8(2,1),30(1)-dipirrolidina-1(1),22(1,4)-dibencenatriacontafan-30³-il (ugodotina)
antineoplásico

2363754-30-5

Heavy chain / Chaîne lourde / Cadena pesada

```

QVQLVQSGAE VKKPGASVKV SCKASGYFTF SYIHWVRRQA PGQGLEWMGW 50
IWPFGDGTKY AQKFGQGRVTM TRDTSTSTVY MELSSLRSED TAVYFCASPM 100
ITPNYAMDYW GQGLTIVTSS ASTKGPSVFP LAPSSKSTSG GTAALGCLVK 150
DYFPEPVTVS WNSGALTSGV HTFPAVLQSS GLYSLSVVT VPSSSLGTQT 200
YICNVNHKPS NTKVDRKVEP KSCDKTHTCP PCPAPELLGG PSVFLFPPKP 250
KDTLMISSRTF EVTCVVVDVS HEDPEVKFNW YVDGVEVHNA KTKPREEQYN 300
STYRVSVLT VLHQDWLNGK EYKCKVSNKA LPAPIEKTIK KAKGQPREPQ 350
VYTLPPSREE MTKNQVSLTC LVKGFYPSDI AVEWESNGQP ENNYKTTTPV 400
LDSGSGFLY SKLTVDKSRW QQGNVFSQSV MHEALHNHYT QKSLSLSPG 449

```

Light chain / Chaîne légère / Cadena ligera

```

DIQMTQSPSS LSAASVGRVT ITCRASQDIS KYLNWYQQKPK GKAPKLLIYY 50
TSRLQSGVPS RFSGRGSGTD YSLTISSLQP EDFATYFCQQ GSTLPYTFGG 100
GTKVEIKRTV AAPSPFIKPP SDEQLKSGTA SVVCLLNNFY PREAKVQKWK 150
DNALQSGNSQ ESVTEQDSKD STYLSLSTLT LSKADYEKHK VYACEVTHQG 200
LSSPVTKSFN RGEK 214

```

Post-translational modifications

Disulfide bridges location / Position des ponts disulfure / Posiciones de los puentes disulfuro

Intra-H (C23-C104) 22-96 147-203 264-324 370-428
22''-96'' 147''-203'' 264''-324'' 370''-428''

Intra-L (C23-C104) 23'-88''' 134'-194'''
23'''-88''' 134'''-194'''

Inter-H-L (h 5-CL 126)* 223-214' 223''-214'''

Inter-H-H (h 11, h 14)* 229-229'' 232-232'''

*At least two of the four inter-chain disulfide bridges are not present, an average of 4 cysteinyl being conjugated each via a thioether bond to a drug linker. *Au moins deux des quatre ponts disulfures inter-chaînes ne sont pas présents, 4 cystéinyl en moyenne étant chacun conjugué via une liaison thioéther à un linker-principe actif. *Al menos dos de los cuatro puentes disulfuro inter-catenarios no están presentes, una media de 4 cisteinil está conjugada a conectores de principio activo.

N-terminal glutaminy cyclization to pyroglutamyl (pE, 5-oxopropyl)

H VH Q1:
1, 1''

N-glycosylation sites / Sites de N-glycosylation / Posiciones de N-glicosilación

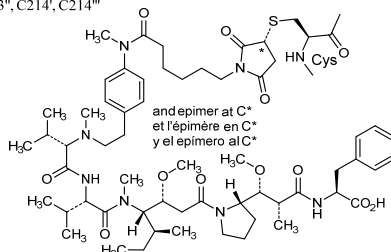
H CH2 N84.4:

300, 300''

Fucosylated complex bi-antennary CHO-type glycans / glycanes de type CHO bi-antennaires complexes fucosylés / glicanos de tipo CHO biantennarios complejos fucosilados.

Conjugation sites / Sites de conjugaison / Posiciones de conjugación:

C223, C223'', C214', C214'''



lusvertikimabum #

lusvertikimab

immunoglobulin G4-kappa, anti-[*Homo sapiens* IL7R (interleukin 7 receptor, CD127, IL7RA)], humanized monoclonal antibody;
 gamma4 heavy chain humanized (1-449) [VH (*Homo sapiens* IGHV3-11*01 (90.8%) -(IGHD) -IGHJ4*01 (100%)) CDR-IMGT [8.8.15] (26-33.51-58.97-111) (1-122)-*Homo sapiens* IGHG4*01 (100%), G4v5 h P10 (CH1 (123-220), hinge 1-12 S10>P (230) (221-232), CH2 (233-342), CH3 (343-447), CHS (448-449)) (123-449)], (136-214')-disulfide with kappa light chain humanized (1'-214') [V-KAPPA (*Homo sapiens* IGKV1-NL1*01 (86.3%) -IGKJ4*01 (91.7%)) CDR-IMGT [6.3.9] (27-32.50-52.89-97) (1'-107') -*Homo sapiens* IGKC*01 (100%), Km3 A45.1 (153), V101 (191) (108'-214')]; dimer (228-228":231-231")-bisdisulfide, produced in a Chinese hamster ovary (CHO)-K1 cell line, glycoform alfa
immunomodulator

lusvertikimab

immunoglobuline G4-kappa, anti-[*Homo sapiens* IL7R (récepteur de l'interleukine 7, CD127, IL7RA)], anticorps monoclonal humanisé;
 chaîne lourde gamma4 humanisée (1-449) [VH (*Homo sapiens* IGHV3-11*01 (90.8%) -(IGHD) -IGHJ4*01 (100%)) CDR-IMGT [8.8.15] (26-33.51-58.97-111) (1-122)-*Homo sapiens* IGHG4*01 (100%), G4v5 h P10 (CH1 (123-220), charnière 1-12 S10>P (230) (221-232), CH2 (233-342), CH3 (343-447), CHS (448-449)) (123-449)], (136-214')-disulfure avec la chaîne légère kappa humanisée (1'-214') [V-KAPPA (*Homo sapiens* IGKV1-NL1*01 (86.3%) -IGKJ4*01 (91.7%)) CDR-IMGT [6.3.9] (27-32.50-52.89-97) (1'-107') -*Homo sapiens* IGKC*01 (100%), Km3 A45.1 (153), V101 (191) (108'-214')]; dimère (228-228":231-231")-bisdisulfure, produit dans des cellules ovariennes de hamster chinois (CHO) lignée cellulaire CHO-K1, glycoforme alfa
immunomodulateur

lusvertikimab

immunoglobulina G4-kappa, anti-[*Homo sapiens* IL7R (receptor de la interleukina 7, CD127, IL7RA)], anticuerpo monoclonal humanizado;
 cadena pesada gamma4 humanizada (1-449) [VH (*Homo sapiens* IGHV3-11*01 (90.8%) -(IGHD) -IGHJ4*01 (100%)) CDR-IMGT [8.8.15] (26-33.51-58.97-111) (1-122)-*Homo sapiens* IGHG4*01 (100%), G4v5 h P10 (CH1 (123-220), bisagra 1-12 S10>P (230) (221-232), CH2 (233-342), CH3 (343-447), CHS (448-449)) (123-449)], (136-214')-disulfuro con la cadena ligera kappa humanizada (1'-214') [V-KAPPA (*Homo sapiens* IGKV1-NL1*01 (86.3%) -IGKJ4*01 (91.7%)) CDR-IMGT [6.3.9] (27-32.50-52.89-97) (1'-107') -*Homo sapiens* IGKC*01 (100%), Km3 A45.1 (153), V101 (191) (108'-214')]; dímero (228-228":231-231")-bisdisulfuro, producido en las células ováricas de hámster chino (CHO) línea celular CHO-K1, forma glicosilada alfa
immunomodulador

2375835-91-7

Heavy chain / Chaîne lourde / Cadena pesada

QVQLVESGSGG LVKPGGSLRL SCAVSGFTLS DYYMAWIRQA PGKGLEWVST 50
 ISASGLRITYY PDSVKGRTFI SRDNKAKNSLY LQMNSLRAED TAVVYCARPL 100
 SAHYGFNVFD YWGGTTLVTV SSASTKGSV FPLAPCSRST SESTAALGCL 150
 VKDYFFPEVFT VWSNMGALTS GVHTFFAVLQ SSGLYLSLSSV VTFPSSSLGT 200
 KTYTCNVDPK PSNTKVDKRV ESKYGPCCFP CPAPEFLGGP SVFLFPPKPK 250
 DTLMSIRTFE VTCVVDVDSQ EDPEVQFNWY VDGVEVHNAK TKPREQFNS 300
 TYRVVSVLTV LHQDNLNGKE YKCKVSNKGL PPSIEKTIK AKGQPREPQV 350
 YTLFPSQSEEM TKNQVSLTCL VKGFYPSDIA VEWESNGQPE NNYKTPFPVL 400
 DSDGSFFLYS RLTVDKSRWQ EGNVFSQSVM HEALHNNHTQ KSLSLSPGK 449

Light chain / Chaîne légère / Cadena ligera

DIQMTQSPSS LSASVGDRTV ITCRTSEDIY QGLAWYQQKPK GKAPKLLLYS 50
 ANTLHIGVES RFSGSGSGTD YTLTISLQF EDFATYYCQQ YIDYPLAFGG 100
 GTRKVEIKRTV AAFSVFIPTP SDEQLKSGTA SVVCLLNIFY PREAKVQWKV 150
 DNALQSGNSQ ESVTEQDSKD STYSLSTLT LSKADYERHK VYACEVTHQG 200
 LSSPVTKSFN RGECC 214

Post-translational modifications

Disulfide bridges location / Position des ponts disulfure / Posiciones de los puentes disulfuro
 Intra-H (C23-C104) 22-96 149-205 263-323 369-427

22"-96" 149"-205" 263"-323" 369"-427"

Intra-L (C23-C104) 23"-88" 134"-194"

23"-88"" 134""-194""

Inter-H-L (CH1 10-CL 126) 136-214" 136"-214"

Inter-H-H (h 8, h 11) 228-228" 231-231"

N-terminal glutaminyl cyclization to pyroglutamyl (pE, 5-oxoprolyl)

H VH Q1:

1, 1"

N-glycosylation sites / Sites de N-glycosylation / Posiciones de N-glicosilación

H CH2 N84,4:

299, 299"

Fucosylated complex bi-antennary CHO-type glycans / glycanes de type CHO bi-antennaires complexes fucosylés / glicanos de tipo CHO biantennarios complejos fucosilados.

C-terminal lysine clipping / Coupeure de la lysine C-terminale / Recorte de lisina C-terminal

H CHS K2:

449, 449"

mevidalenum

mevidalenum

2-(2,6-dichlorophenyl)-1-[(1*S*,3*R*)-3-(hydroxymethyl)-5-(3-hydroxy-3-methylbutyl)-1-methyl-3,4-dihydroisoquinolin-2(1*H*)-yl]ethan-1-one
dopamine D1 receptor positive allosteric modulator

mévidalène

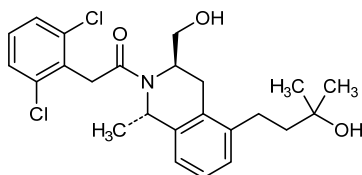
2-(2,6-dichlorophényl)-1-[(1*S*,3*R*)-3-(hydroxyméthyl)-5-(3-hydroxy-3-méthylbutyl)-1-méthyl-3,4-dihydroisoquinoléin-2(1*H*)-yl]éthan-1-one
modulateur allostérique positif des récepteurs D1 de la dopamine

mevidaleno

2-(2,6-diclorofenil)-1-[(1*S*,3*R*)-3-(hidroximetil)-5-(3-hidroxil-3-metilbutil)-1-metil-3,4-dihidroisoquinolein-2(1*H*)-il]etan-1-ona
modulador alostérico positivo del receptor D1 de la dopamina

C₂₄H₂₉Cl₂NO₃

1638667-79-4



mibavademabum #

mibavademab

immunoglobulin G4-kappa, anti-[*Homo sapiens* LEPR (leptin receptor, OBR, CD295)], monoclonal antibody; gamma4 heavy chain (1-446) [VH (*Homo sapiens* IGHV3-30*15 (86.7%) -(IGHD) -IGHJ2*01 (100%)) CDR-IMGT [8.8.12] (26-33.51-58.97-108) (1-119)-*Homo sapiens* IGHG4*01 (100%), G4v5 h P10 (CH1 (120-217), hinge 1-12 S10>P (227) (218-229), CH2 (230-339), CH3 (340-444), CHS (445-446)) (120-446)], (133-215')-disulfide with kappa light chain (1'-215') [V-KAPPA (*Homo sapiens* IGKV1-39*01 (100%) -IGKJ5*01 (100%)) CDR-IMGT [6.3.10] (27-32.50-52.89-98) (1'-108') -*Homo sapiens* IGKC*01 (100%), Km3 A45.1 (154), V101 (192) (109'-215')]; dimer (225-225":228-228")-bisdisulfide, produced in Chinese hamster ovary (CHO) cells, glycoform alfa
leptin receptor agonist

mibavadémab

immunoglobuline G4-kappa, anti-[*Homo sapiens* LEPR (récepteur de la leptine, OBR, CD295)], anticorps monoclonal;
chaîne lourde gamma4 (1-446) [VH (*Homo sapiens* IGHV3-30*15 (86.7%) -(IGHD) -IGHJ2*01 (100%)) CDR-IMGT [8.8.12] (26-33.51-58.97-108) (1-119)-*Homo sapiens* IGHG4*01 (100%), G4v5 h P10 (CH1 (120-217), charnière 1-12 S10>P (227) (218-229), CH2 (230-339), CH3 (340-444), CHS (445-446)) (120-446)], (133-215')-disulfure avec la chaîne légère kappa (1'-215') [V-KAPPA (*Homo sapiens* IGKV1-39*01 (100%) -IGKJ5*01 (100%)) CDR-IMGT [6.3.10] (27-32.50-52.89-98) (1'-108') -*Homo sapiens* IGKC*01 (100%), Km3 A45.1 (154), V101 (192) (109'-215')]; dimère (225-225":228-228")-bisdisulfure, produit dans des cellules ovariennes de hamster chinois (CHO), glycoforme alfa
agoniste du récepteur de la leptine

mibavademab

inmunoglobulina G4-kappa, anti-[*Homo sapiens* LEPR (receptor de la leptina, OBR, CD295)], anticuerpo monoclonal;
cadena pesada gamma4 (1-446) [VH (*Homo sapiens* IGHV3-30*15 (86.7%) -(IGHD) -IGHJ2*01 (100%)) CDR-IMGT [8.8.12] (26-33.51-58.97-108) (1-119)-*Homo sapiens* IGHG4*01 (100%), G4v5 h P10 (CH1 (120-217), bisagra 1-12 S10>P (227) (218-229), CH2 (230-339), CH3 (340-444), CHS (445-446)) (120-446)], (133-215')-disulfuro con la cadena ligera kappa (1'-215') [V-KAPPA (*Homo sapiens* IGKV1-39*01 (100%) -IGKJ5*01 (100%)) CDR-IMGT [6.3.10] (27-32.50-52.89-98) (1'-108') -*Homo sapiens* IGKC*01 (100%), Km3 A45.1 (154), V101 (192) (109'-215')]; dímero (225-225":228-228")-bisdisulfuro, producido en las células ováricas de hámster chino (CHO), forma glicosilada alfa
agonista del receptor de leptina

2305770-44-7

Heavy chain / Chaîne lourde / Cadena pesada

QVQLVESGGS VVQPGRSRLR SCAASGFTFS TYAMYWVRQT PGKGLEWVAV 50
 LYSYDGSNKYY IDSVKGRFTI SRDTSNTLY LQMSLRADD SALYCARLN 100
 WDWYVFDLWG RGLTVTVSSA STKGFVFFEL APCRSSTSES TAALGGLVKD 150
 YFPEPVTVSW NSGALTSVGH TFPVAVLQSSG LYSLSVVTV PSSSLGRTY 200
 TCNVDHKFSN TKVDKRVESK YGPPCPPCPA PEFLLGGPSVF LFPPKPKDTL 250
 MISRTPEVTC VVVDVSDQEDP EVQFNWYVDG VEVHNAKTKP REEQFNSTYR 300
 VVSVLTVLHQ DWLNGKEYK KVSNGKLPSS IEKTIKAKG QPREPQVYTL 350
 PPSQEEMTKN QVSLTCLVRG FYPSDIAVEW ESNQGPENNY KTTPLVLDSD 400
 GSFFLYSLRT VDKSRWQEGN VFSCSVMHEA LHNHYTQKSL SLSLGG 446

Light chain / Chaîne légère / Cadena ligera

DIQMTQSPSS LSASVGDRTV ITCRASQSI S YLNWYQQKPK GKAPKLLIYA 50
 ASSLQSGVPS RFGSGSGTD FTLTISLQPF EDFATYYCQQ SYSTPPITFG 100
 QGTRLEIKRT VAAFSVPIFP PSDEQLKSGT ASVVCLNNF YPREAKVQWK 150
 VDNALQSGNS QESVTEQDSK DSTYLSSTL TISKADYKHK VYACEVTHQ 200
 GLSSPVTKSF NRGEC 215

Post-translational modifications

Disulfide bridges location / Position des ponts disulfure / Posiciones de los puentes disulfuro

Intra-H (C23-C104) 22-96' 146-202' 260-320' 366-424'
 22"-96" 146"-202" 260"-320" 366"-424"

Intra-L (C23-C104) 23'-88' 135'-195'
 23"-88" 135"-195"

Inter-H-L (CH1 10-CL 126) 133'-215' 133"-215"

Inter-H-H (h 8, h 11) 225'-225" 228'-228"

N-terminal glutaminyl cyclization to pyroglutamyl (pE, 5-oxoprolyl)

H VHQI:

I, I"

N-glycosylation sites / Sites de N-glycosylation / Posiciones de N-glicosilación

H CH2N84.4:

296, 296"

Fucosylated complex bi-antennary CHO-type glycans / glycanes de type CHO bi-antennaires complexes fucosylés / glicanos de tipo CHO biantennarios complejos fucosilados.

C-terminal lysine clipping / Coupeure de la lysine C-terminale / Recorte de lisina C-terminal

H CHSK2:

446, 446"

mipicoledinum

mipicoledine

cholest-5-en-3 β -yl 3,5-dichloro-2-methoxy-6-(trichloromethyl)pyridin-4-yl carbonate
alkylating agent

mipicolédine

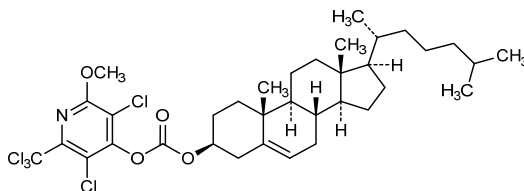
carbonate de cholest-5-én-3 β -yle et de 3,5-dichloro-2-méthoxy-6-(trichlorométhyl)pyridin-4-yle
agent alkylant

mipicoledina

carbonato de colest-5-en-3 β -ilo y de 3,5-dicloro-2-metoxi-6-(triclorometil)piridin-4-ilo
agente alquilante

C₃₅H₄₈Cl₅NO₄

942149-56-6



nadecnemabum #

nadecnemab

immunoglobulin G4-kappa, anti-[*Homo sapiens* GFRA3 (glial cell derived neurotrophic factor family receptor alpha 3, GFRa-3)], *Homo sapiens* monoclonal antibody;

gamma4 heavy chain *Homo sapiens* (1-451) [VH (*Homo sapiens* IGHV3-23*04 (95.9%) -(IGHD) -IGHJ6*01 (94.4%)) CDR-IMGT [8.8.17] (26-33.51-58.97-113) (1-124)-*Homo sapiens* IGHG4*01 (100%), G4v5 h P10 (CH1 (125-222), hinge 1-12 S10>P (232) (223-234), CH2 (235-344), CH3 (345-449), CHS (450-451)) (125-451)], (138-214')-disulfide with kappa light chain *Homo sapiens* (1'-214') [V-KAPPA (*Homo sapiens* IGKV1-12*01 (98.9%) -IGKJ3*01 (91.7%)) CDR-IMGT [6.3.9] (27-32.50-52.89-97) (1'-107') -*Homo sapiens* IGKC*01 (100%), Km3 A45.1 (153), V101 (191) (108'-214')]; dimer (230-230":233-233")-bisulfide, produced in Chinese hamster ovary (CHO) cells, glycoform alfa
analgesic

nadecnébab

immunoglobuline G4-kappa, anti-[*Homo sapiens* GFRA3 (récepteur-3 alfa de la famille du facteur neurotrophe dérivé de la glie, GFRa-3)], anticorps monoclonal *Homo sapiens*;

chaîne lourde gamma4 *Homo sapiens* (1-451) [VH (*Homo sapiens* IGHV3-23*04 (95.9%) -(IGHD) -IGHJ6*01 (94.4%)) CDR-IMGT [8.8.17] (26-33.51-58.97-113) (1-124)-*Homo sapiens* IGHG4*01 (100%), G4v5 h P10 (CH1 (125-222), charnière 1-12 S10>P (232) (223-234), CH2 (235-344), CH3 (345-449), CHS (450-451)) (125-451)], (138-214')-disulfure avec la chaîne légère kappa *Homo sapiens* (1'-214') [V-KAPPA (*Homo sapiens* IGKV1-12*01 (98.9%) -IGKJ3*01 (91.7%)) CDR-IMGT [6.3.9] (27-32.50-52.89-97) (1'-107') -*Homo sapiens* IGKC*01 (100%), Km3 A45.1 (153), V101 (191) (108'-214')]; dimère (230-230":233-233")-bisulfure, produit dans des cellules ovariennes de hamster chinois (CHO), glycoforme alfa
analgésique

nadecnemab

inmunoglobulina G4-kappa, anti-[*Homo sapiens* GFRA3 (receptor-3 alfa de la familia del factor neurotrófico derivado de la glia, GFRa-3)], anticuerpo monoclonal *Homo sapiens*;

cadena pesada gamma4 *Homo sapiens* (1-451) [VH (*Homo sapiens* IGHV3-23*04 (95.9%) -(IGHD) -IGHJ6*01 (94.4%)) CDR-IMGT [8.8.17] (26-33.51-58.97-113) (1-124)-*Homo sapiens* IGHG4*01 (100%), G4v5 h P10 (CH1 (125-222), bisagra 1-12 S10>P (232) (223-234), CH2 (235-344), CH3 (345-449), CHS (450-451)) (125-451)], (138-214')-disulfuro con la cadena ligera kappa *Homo sapiens* (1'-214') [V-KAPPA (*Homo sapiens* IGKV1-12*01 (98.9%) -IGKJ3*01 (91.7%)) CDR-IMGT [6.3.9] (27-32.50-52.89-97) (1'-107') -*Homo sapiens* IGKC*01 (100%), Km3 A45.1 (153), V101 (191) (108'-214')]; dímero (230-230":233-233")-bisulfuro, producido en las células ováricas de hámster chino (CHO), forma glicosilada alfa
analgésico

2377679-19-9

Heavy chain / Chaîne lourde / Cadena pesada

EVQLVESGGG LVQPFGSLRL SCAASGTFSS SYAMSWVRQA PGKGLEWVSV 50
 ISGSGGSTYY ADAVKGRFTI SRDNSKHTLY LQMNSLRAED TAVYCTKPS 100
 SYSSSNFYFG MDVWGQGTTV TVSSASTKGP SVFPLAPCSR STSESTAALG 150
 CLVKDYFFEP VTVSWNSGAL TSGVHTFPAV LQSSGLYSLS SVVTVPSSSL 200
 GTKTYTCNVD HKPSNTKVDK RVESKYGPPC PPCPAPEFLG GFSVFLFPPK 250
 PKDTLMSIRT PEVTCVVVDV SQEDPEVQFN WYVDGVEVHN AKTKPREEQF 300
 NSTYRVVSVL TVLHQDWLNG KEYKCKVSNK GLPSSIEKTI SKAKGQPREP 350
 QVYTLPPSQE EMTKNQVSLT CLVKGFPYPSD IAVEWESNGQ PENNYKTPP 400
 VLDSDGSEFL YSRLTVDKSR WQEGNVFSCS VMHEALHNNH TQKSLSLSLG 450
 K 451

Light chain / Chaîne légère / Cadena ligera

DIQMTQSPFS VSASVDRVT ITCRASQGIS SWLAWYQQKPK GKAPKLLIYA 50
 ASLQSGVPS RFGSGSGTD FTLTISSLQP EDFATYTCQQ TNSFPPFPFP 100
 GTKVDIKRTV AAPSVFIFPP SDEQLKSGTA SVVCLLNIFY PREAKVQWVK 150
 DNALQSGNSQ ESVTEQDSKDT STYLSSTLT LSKADYEKHK VYACEVTHQG 200
 LSSPVTKSFN RGEK 214

Post-translational modifications

Disulfide bridges location / Position des ponts disulfure / Posiciones de los puentes disulfuro

Intra-H (C23-C104) 22-96 151-207 265-325 371-429
 22"-96" 151"-207" 265"-325" 371"-429"

Intra-L (C23-C104) 23"-88" 134"-194"
 23"-88" 134"-194"

Inter-H-L (CH1 10-CL 126) 138-214' 138"-214"

Inter-H-H (h 8, h 11) 230-230" 233-233"

N-glycosylation sites / Sites de N-glycosylation / Posiciones de N-glicosilación

H CH2 N84.4:

301, 301*

Fucosylated complex bi-antennary CHO-type glycans / glycanes de type CHO bi-antennaires complexes fucosylés / glicanos de tipo CHO biantennarios complejos fucosilados.

C-terminal lysine clipping / Coupeure de la lysine C-terminale / Recorte de lisina C-terminal

H CHS K2:

451, 451*

nanvuranlatum

nanvuranlat

O-[(5-amino-2-phenyl-1,3-benzoxazol-7-yl)methyl]-3,5-dichloro-L-tyrosine

L-type amino acid transporter 1 (LAT1) inhibitor, antineoplastic

nanvuranlat

O-[(5-amino-2-phényl-1,3-benzoxazol-7-yl)méthyl]-3,5-dichloro-L-tyrosine

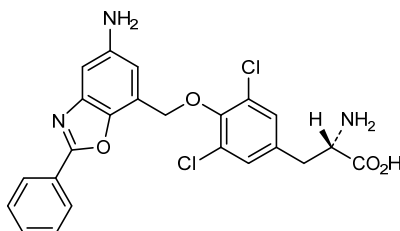
inhibiteur du transporteur-1 des acides aminés L (LAT1), antinéoplasique

nanvuranlat

O-[(5-amino-2-fenil-1,3-benzoxazol-7-il)metil]-3,5-dicloro-L-tirosina

*inhibidor del transportador 1 de aminoácidos L (LAT1), antineoplásico*C₂₃H₁₉Cl₂N₃O₄

1037592-40-7



navtemadlinum

navtemadlin

{{(3R,5R,6S)-5-(3-chlorophenyl)-6-(4-chlorophenyl)-3-methyl-1-[(2S)-3-methyl-1-(propane-2-sulfonyl)butan-2-yl]-2-oxopiperidin-3-yl}acetic acid
E3 ubiquitin-protein ligase Mdm2 (Hdm2) inhibitor, antineoplastic

navtémadline

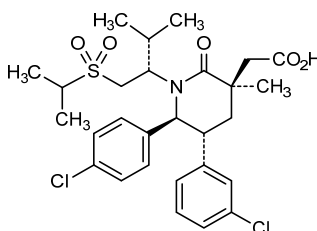
acide {(3R,5R,6S)-5-(3-chlorophényl)-6-(4-chlorophényl)-3-méthyl-1-[(2S)-3-méthyl-1-(propane-2-sulfonyl)butan-2-yl]-2-oxopipéridin-3-yl}acétique
inhibiteur de l'ubiquitine-protéine ligase E3 Mdm2, antinéoplasique

navtemadlina

ácido {(3R,5R,6S)-5-(3-clorofenil)-6-(4-clorofenil)-3-metil-1-[(2S)-3-metil-1-(propano-2-sulfonyl)butan-2-il]-2-oxopiperidin-3-il}acético
inhibidor de ubiquitina-proteína ligasa E3 Mdm2, antineoplásico

C₂₈H₃₅Cl₂NO₅S

1352066-68-2

**nemtabrutinibum**

nemtabrutinib

(1³R,1⁶S)-5²-chloro-1⁶-(hydroxymethyl)-3⁷H-6-oxa-2-aza-3(4,5)-pyrrolo[2,3-d]pyrimidina-1(3)-oxana-5(1,4),7(1)-dibenzenaheptaphan-4-one
Bruton's tyrosine kinase inhibitor

nemtabrutinib

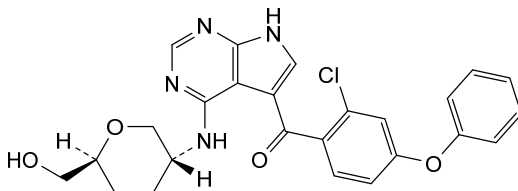
(1³R,1⁶S)-5²-chloro-1⁶-(hydroxyméthyl)-3⁷H-6-oxa-2-aza-3(4,5)-pyrrolo[2,3-d]pyrimidina-1(3)-oxana-5(1,4),7(1)-dibenzénaheptaphan-4-one
inhibiteur de la tyrosine kinase de Bruton

nemtabrutinib

(1³R,1⁶S)-5²-cloro-1⁶-(hidroximetil)-3⁷H-6-oxa-2-aza-3(4,5)-pirrolo[2,3-d]pirimidina-1(3)-oxana-5(1,4),7(1)-dibencenaheptafan-4-ona
inhibidor de la tirosina kinasa de Bruton

C₂₅H₂₃ClN₄O₄

2095393-15-8



nendratareotidum

nendratareotide

S², S⁷-cyclo(D-phenylalanyl-L-cysteinyl-L-tyrosyl-D-tryptophyl-L-lysyl-L-threonyl-L-cysteinyl-L-cysteinamide)
somatostatin analogue

nendraréotide

S², S⁷-cyclo(D-phénylalanyl-L-cystéinyl-L-tyrosyl-D-tryptophyl-L-lysyl-L-thréonyl-L-cystéinyl-L-cystéinamide)
analogue de la somatostatine

nendratareotida

S², S⁷-ciclo(D-fenilalanil-L-cisteinil-L-tirosil-D-triptofil-L-lisil-L-treonil-L-cisteinil-L-cisteinamide)
análogo de la somatostatina

C₄₈H₆₃N₁₁O₁₀S₃

2251119-65-8

H-D-Phe—Cys—Tyr—D-Trp—Lys—Thr—Cys—Cys—NH₂

nendratareotidum uzatansinum

nendratareotide uzatansine

S², S⁷-cyclo[D-phenylalanyl-L-cysteinyl-L-tyrosyl-D-tryptophyl-L-lysyl-L-threonyl-L-cysteinyl-3-[(3-[[[(2S)-1-[[[(1⁴S, 1⁶S, 2R, 3²S, 3³S, 4S, 10E, 12E, 14R)-8⁶-chloro-1⁴-hydroxy-8⁵, 14-dimethoxy-2, 3³, 7, 10-tetramethyl-1², 6-dioxo-7-aza-1(6,4)-[1,3]oxazinana-3(2,3)-oxirana-8(1,3)-benzenacyclotetradecaphane-10, 12-dien-4-yl]oxy}-1-oxopropan-2-yl](methyl)amino)-3-oxopropyl]disulfanyl]-L-alaninamide}
cytotoxic agent targeting somatostatin receptor-expressing cells

nendraréotide uzatansine

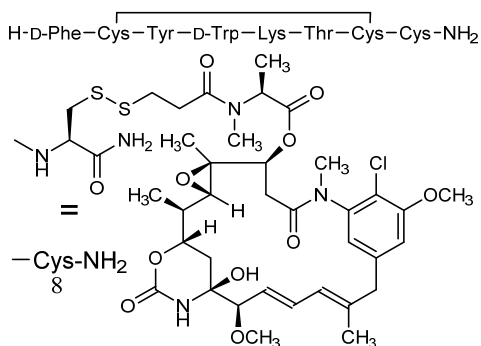
S², S⁷-cyclo[D-phénylalanyl-L-cystéinyl-L-tyrosyl-D-tryptophyl-L-lysyl-L-thréonyl-L-cystéinyl-3-[(3-[[[(2S)-1-[[[(1⁴S, 1⁶S, 2R, 3²S, 3³S, 4S, 10E, 12E, 14R)-8⁶-chloro-1⁴-hydroxy-8⁵, 14-diméthoxy-2, 3³, 7, 10-tétraméthyl-1², 6-dioxo-7-aza-1(6,4)-[1,3]oxazinana-3(2,3)-oxirana-8(1,3)-benzénacyclotétradecaphane-10, 12-dién-4-yl]oxy}-1-oxopropan-2-yl](méthyl)amino)-3-oxopropyl]disulfanyl]-L-alaninamide}
agent cytotoxique ciblant des cellules exprimant les récepteurs de la somatostatine

nendratareotida uzatansina

S², S⁷-ciclo[D-fenilalanil-L-cisteinil-L-tirosil-D-triptofil-L-lisil-L-treonil-L-cisteinil-3-[(3-[[[(2S)-1-[[[(1⁴S, 1⁶S, 2R, 3²S, 3³S, 4S, 10E, 12E, 14R)-8⁶-cloro-1⁴-hidroxi-2, 3³, 7, 10-tetrametil-8⁵, 14-dimetoxi-1², 6-dioxo-7-aza-1(6,4)-[1,3]oxazinana-3(2,3)-oxirana-8(1,3)-bencenacicotetradecafano-10, 12-dien-4-il]oxi}-1-oxopropan-2-il](metil)amino)-3-oxopropil]disulfanil]-L-alaninamida}
agente citotóxico dirigido a las células que expresan receptores de la somatostatina

C₈₃H₁₀₉ClN₁₄O₂₀S₄

1853254-97-3

**nilofabycinum**

nilofabycin

1-[(3-amino-2-methylphenyl)methyl]-4-[2-(thiophen-2-yl)ethoxy]pyridin-2(1H)-one
enoyl-acyl carrier protein (ACP) reductase (FabL) inhibitor, antibacterial

nilofabicine

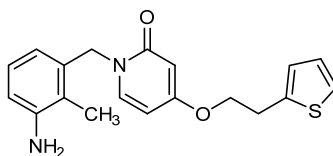
1-[(3-amino-2-méthylphényl)méthyl]-4-[2-(thiophén-2-yl)éthoxy]pyridin-2(1H)-one
inhibiteur de la réductase de la protéine de transport de l'énoyle-acyle, antibactérien

nilofabicina

1-[(3-amino-2-metilfenil)metil]-4-[2-(tiofen-2-il)etoxil]piridin-2(1H)-ona
inhibidor de la reductasa de la proteina transportadora de enoilo-acilo, antibacteriano

C₁₉H₂₀N₂O₂S

934628-27-0

**ninerafaxstatum**

ninerafaxstat

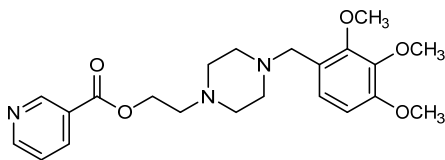
2-{4-[(2,3,4-trimethoxyphenyl)methyl]piperazin-1-yl}ethyl pyridine-3-carboxylate
3-ketoacyl-CoA thiolase inhibitor

ninérafaxstat

pyridine-3-carboxylate de 2-{4-[(2,3,4-triméthoxyphényl)méthyl]pipérazin-1-yl}éthyle
inhibiteur de la 3-cétoacyl-coenzyme-A thiolase

ninerafaxstat

piridina-3-carboxilato de 2-{4-[(2,3,4-trimetoxifenil)metil]piperazin-1-il}etilo
inhibidor de 3-cetoacil-CoA tiolasa

**nivadstrocelum**

nivadstrocel

Allogeneic mesenchymal stromal cells derived from subcutaneous adipose tissue collected by liposuction. The cells are isolated from the adipose tissue by enzymatic digestion and are expanded in a three-dimensional hydrogel matrix with scaffold structure. The cells express cell surface markers CD105 and CD90 ($\geq 95\%$), lack cell surface expression ($< 2\%$ positive) of CD45, CD34, and do not express T cell co-stimulatory molecules CD40, CD80 or CD86 and major histocompatibility complex (MHC) class II (HLA-DR). The cells also secrete various growth factors (e.g. insulin-like growth factor (IGF), hepatocyte growth factor (HGF) and vascular endothelial growth factor (VEGF)) and express extracellular matrix proteins, in particular collagen type VII.

cell therapy

nivadstrocel

Cellules stromales mésenchymateuses allogéniques dérivées du tissu adipeux sous-cutané recueillies par liposuction. Les cellules ont été isolées du tissu adipeux par digestion enzymatique et ont été expansées dans une matrice d'hydrogel tridimensionnelle avec une structure d'échafaudage. Les cellules expriment les marqueurs cellulaires de surface CD105 et CD90 ($\geq 95\%$), présentent une absence d'expression à la surface cellulaire ($< 2\%$ positive) de CD45, CD34, et n'expriment pas les molécules co-stimulatrices des lymphocytes T CD40, CD80 ou CD86 ainsi que le complexe majeur d'histocompatibilité (MHC) de classe II (HLA-DR). Les cellules sécrètent aussi différents facteurs de croissance (p. ex. le facteur de croissance analogue à l'insuline (IGF), le facteur de croissance des hépatocytes (HGF) et le facteur de croissance de l'endothélium vasculaire (VEGF)) et expriment des protéines de la matrice extracellulaire, en particulier le collagène de type VII.

thérapie cellulaire

nivadstrocel

Células estromales mesenquimales alogénicas derivadas de tejido adiposo subcutáneo obtenido por liposucción. Las células se aíslan del tejido adiposo mediante digestión enzimática y se expanden en una matriz tridimensional de hidrogel con estructura de andamiaje. Las células expresan los marcadores de superficie CD105 y CD90 ($\geq 95\%$), carecen de expresión en la superficie celular ($< 2\%$ positivo) de CD45, CD34 y no expresan las moléculas coestimuladoras de linfocitos T CD40, CD80 o CD86 ni complejo principal de histocompatibilidad (MHC) clase II (HLA-DR). Las células también secretan varios factores de crecimiento (por ejemplo el factor de crecimiento similar a insulina (IGF), el factor de crecimiento de hepatocitos (HGF) y el factor de crecimiento del endotelio vascular (VEGF)) y expresan proteínas de la matriz extracelular, en particular colágeno tipo VII.

terapia celular

nivatrotamabum #

nivatrotamab

immunoglobulin G1-kappa anti-[*Homo sapiens* GD2 (ganglioside GD2)], each kappa chain being fused to a scFv anti-[*Homo sapiens* CD3E (CD3 epsilon, Leu-4)], monoclonal antibody, bispecific; gamma1 heavy chain anti-GD2 (1-449) [VH (*Mus musculus* IGHV2-9*02 (79.2%) -(IGHD) -IGHJ3*01 (91.7%) A128>S (119)/*Homo sapiens* IGHV3-33*01 (72.2%) -(IGHD) -IGHJ4*01 (92.3%))] CDR-IMGT [8.7.13] (26-33.51-57.96-108) (1-119) -*Homo sapiens* IGHG1*08p (100%), G1m3,1, G1v29 CH2 A84.4, G1v20 CH2 A105 (CH1 R120 (216) (120-217), hinge 1-15 (218-232), CH2 N84.4>A (299), K105>A (324) (233-342), CH3 D12 (358), L14 (360) (343-447), CHS (448-449)) (120-449)], (222-211')-disulfide with kappa light chain anti-GD2 fused to scFv anti-CD3E (1'-484') [kappa light chain anti-GD2 (1'-211') [V-KAPPA anti-GD2 (*Mus musculus* IGKV6-32*02 (84.9%) -(IGHD) -IGKJ2*03 (90.0%) S120>Q (97)/*Homo sapiens* IGKV3-15*01 (78.9%) -IGKJ2*03 (100%))] CDR-IMGT [6.3.6] (27-32.50-52.89-94) (1'-104') -*Homo sapiens* IGKC*01 (100%) Km3 A45.1 (150), V101 (188) (105'-211')] -17-mer threonyl-seryl-tris(tetraglycyl-seryl) linker (212'-228') -scFv heavy-kappa anti-CD3E (229'-484') [VH anti-CD3E G49>C (272), C114>S (333) (*Homo sapiens* IGHV3-30*10 (70.4%) -(IGHD) -IGHJ4*01 (85.7%) L123>P (342)) CDR-IMGT [8.8.12] (254-261.279-286.325-336) (229'-347') -30-mer hexakis(tetraglycyl-seryl) linker (348'-377') -V-KAPPA anti-CD3E (*Homo sapiens* IGKV1-33*01 (81.1%) -IGKJ2*02 (80.0%) Q120>C (476), E125>Q (481)) CDR-IMGT [5.3.9] (404-408.426-428.465-473) (378'-484')]]; dimer (228-228":231-231")-bisdisulfide, produced in Chinese hamster ovary (CHO) cells, non-glycosylated
antineoplastique

nivatrotamab

immunoglobuline G1-kappa anti-[*Homo sapiens* GD2 (ganglioside GD2)], chaque chaîne kappa étant fusionnée à un scFv anti-[*Homo sapiens* CD3E (CD3 epsilon, Leu-4)], anticorps monoclonal, bispécifique; chaîne lourde gamma1 anti-GD2 (1-449) [VH (*Mus musculus* IGHV2-9*02 (79.2%) -(IGHD) -IGHJ3*01 (91.7%) A128>S (119)/*Homo sapiens* IGHV3-33*01 (72.2%) -(IGHD) -IGHJ4*01 (92.3%))] CDR-IMGT [8.7.13] (26-33.51-57.96-108) (1-119) -*Homo sapiens* IGHG1*08p (100%), G1m3,1, G1v29 CH2 A84.4, G1v20 CH2 A105 (CH1 R120 (216) (120-217), charnière 1-15 (218-232), CH2 N84.4>A (299), K105>A (324) (233-342), CH3 D12 (358), L14 (360) (343-447), CHS (448-449)) (120-449)], (222-211')-disulfure avec la chaîne légère kappa anti-GD2 fusionnée au scFv anti-CD3E (1'-484') [chaîne légère kappa anti-GD2 (1'-211') [V-KAPPA anti-GD2 (*Mus musculus* IGKV6-32*02 (84.9%) -(IGHD) -IGKJ2*03 (90.0%) S120>Q (97)/*Homo sapiens* IGKV3-15*01 (78.9%) -IGKJ2*03 (100%))] CDR-IMGT [6.3.6] (27-32.50-52.89-94) (1'-104') -*Homo sapiens* IGKC*01 (100%) Km3 A45.1 (150), V101 (188) (105'-211')] -17-mer thréonyl-séryl-tris(tétraglycyl-séryl linker) (212'-228') -scFv lourd-kappa anti-CD3E (229'-484') [VH anti-CD3E G49>C (272), C114>S (333) (*Homo sapiens* IGHV3-30*10 (70.4%) -(IGHD) -IGHJ4*01 (85.7%) L123>P (342)) CDR-IMGT [8.8.12] (254-261.279-286.325-336) (229'-347') -30-mer hexakis(tétraglycyl-séryl linker) (348'-377') -V-KAPPA anti-CD3E (*Homo sapiens* IGKV1-33*01 (81.1%) -IGKJ2*02 (80.0%) Q120>C (476), E125>Q (481)) CDR-IMGT [5.3.9] (404-408.426-428.465-473) (378'-484')]]; dimère (228-228":231-231")-bisdisulfure, produit dans des cellules ovariennes de hamster chinois (CHO), non-glycosylé
antinéoplasique

nivatrotamab

inmunoglobulina G1-kappa anti-[*Homo sapiens* GD2 (gangliósido GD2)], cada cadena kappa estando fusionada a un scFv anti-[*Homo sapiens* CD3E (CD3 épsilon, Leu-4)], anticuerpo monoclonal, biespecífico;

cadena pesada gamma1 anti-GD2 (1-449) [VH (*Mus musculus* IGHV2-9*02 (79.2%) -(IGHD) -IGHJ3*01 (91.7%) A128>S (119)/*Homo sapiens* IGHV3-33*01 (72.2%) -(IGHD) -IGHJ4*01 (92.3%)) CDR-IMGT [8.7.13] (26-33.51-57.96-108) (1-119) -*Homo sapiens* IGHG1*08p (100%), G1m3,1, G1v29 CH2 A84.4, G1v20 CH2 A105 (CH1 R120 (216) (120-217), bisagra 1-15 (218-232), CH2 N84.4>A (299), K105>A (324) (233-342), CH3 D12 (358), L14 (360) (343-447), CHS (448-449))] (120-449)], (222-211')-disulfuro con la cadena ligera kappa anti-GD2 fusionada con scFv anti-CD3E (1'-484') [cadena ligera kappa anti-GD2 (1'-211' [V-KAPPA anti-GD2 (*Mus musculus* IGKV6-32*02 (84.9%) -(IGHD) -IGKJ2*03 (90.0%) S120>Q (97)/*Homo sapiens* IGKV3-15*01 (78.9%) -IGKJ2*03 (100%)) CDR-IMGT [6.3.6] (27-32.50-52.89-94) (1'-104') -*Homo sapiens* IGKC*01 (100%) Km3 A45.1 (150), V101 (188) (105'-211')]-17-mer treonil-seril-tris(tetraglicil-seril) linker (212'-228') -scFv pesado-kappa anti-CD3E (229'-484') [VH anti-CD3E G49>C (272), C114>S (333) (*Homo sapiens* IGHV3-30*10 (70.4%) -(IGHD) -IGHJ4*01 (85.7%) L123>P (342)) CDR-IMGT [8.8.12] (254-261.279-286.325-336) (229'-347') -30-mer hexakis(tetraglicil-seril) linker (348'-377') -V-KAPPA anti-CD3E (*Homo sapiens* IGKV1-33*01 (81.1%) -IGKJ2*02 (80.0%) Q120>C (476), E125>Q (481)) CDR-IMGT [5.3.9] (404-408.426-428.465-473) (378'-484')]]; dímero (228-228":231-231")-bisulfuro, producido en las células ováricas de hámster chino (CHO), no glicosilado

antineoplásico

2278244-14-5

Heavy chain / Chaîne lourde / Cadena pesada

```

VQQLVDSGPG VVQPGRLRI SCAVSGFSVT NYGVHWVRQP PGKLEWLVG 50
IWAGGITNIN SAFMSRLTIS KDNKNTVYL QMNSLRAEDT AMYYCASRGG 100
HYGYALDYWG QGTLVTVSSA STRKSPVFLP APSKSTSGG TAALGCLVKD 150
YFPEPVTVSW NSGALTSVGH TFPVAVLQSSG LYSLSVVTV PSSLGTQTY 200
ICNVNHPKSN TKVDKRVPEK SCDKTHTCPP CPAPELLGGP SVFLFPKPK 250
DTLMISRTPE VTCVVVDVSH EDPEVKFNMY VDGVEVHNAK TKPREQYAS 300
TYRIVSVLTV LHQDNLNGKE YKCAVSNKAL PAPIEKTISK AKGQPREPQV 350
YTLPPSRDEL TRNQVSLTCL VKGFYPSDIA VEWESNGQPE NNYKTPPV 400
DSDGSPFLYS KLTVDKSRWQ QGNVFCSCVM HEALTHHYTQ KSLSLSPGK 449

```

Light chain / Chaîne légère / Cadena ligera

```

EIVMTQTPAT LSVSAGERVT ITCKASQSVS NDTVWYQQPK GQAPRLLIYS 50
ASNRYSGVPA RFSGSGYGTE FTFISSVQS EDFAVYFCQQ DYSSFGQGTK 100
LEIKRTVAAP SVFIFFPSPDE QLKSGTASV CLNNFYPRE ARVQWVDNA 150
LQSGNSQESV TEQDSKDSY SLSSTLTLK ADYEKHKVYA CEVTHQGLSS 200
PVTKSFNRGE CTSGGGSGGG GSGGGGQV QLVQSGGGVV QPGRSLRLSC 250
KASGYTFTRY TMHWVRQAPG KCLEWIGYIN PSRGYTNYNQ KFKDRFTISR 300
DNSKNTAFIQ MDSLRPEDTG VYFCARYYDD HYSLDYWGQG TPVTVSSGGG 350
GSGGGGSGGG GSGGGGSGGG GSGGGSDIQ MTQSPSLSA SVGDRVITTC 400
SASSSVSYMN WYQQTPGKAP KRWIYDTSKL ASGVPSRFSG SSGSDYTFPT 450
ISSLQPEDIA TYCQQWSSN PFTFGCCTKL QITR 484

```

Post-translational modifications

Disulfide bridges location / Position des ponts disulfure / Posiciones de los puentes disulfuro

```

Intra-H (C23-C104) 22-95 146-202 263-323 369-427
                  22"-95" 146"-202" 263"-323" 369"-427"
Intra-L (C23-C104) 23-88 131-191 250-324 400-464
                  23"-88" 131"-191" 250"-324" 400"-464"
Intra-L (scFv VH C49-VL IGKJ C120) 272-476
                                   272"-476"
Inter-H-L (h 5-CL 126) 222-211' 222"-211"
Inter-H-H (h 11, h 14) 228-228" 231-231"

```

N-terminal glutaminyl cyclization to pyroglutamy (pE, 5-oxoprolin)

L VH Q1:
1, 1"

No N-glycosylation sites / pas de sites de N-glycosylation / ningún posición de N-glicosilación
CH2 N84.4>A:
299, 299"

Aglycosylated

C-terminal lysine clipping / Coupure de la lysine C-terminale / Recorte de lisina C-terminal

H CHS K2:
449, 449"

ocarcocoxibum

ocarcocoxib

rac-(2*R*)-6-(trifluoromethoxy)-2-(trifluoromethyl)-2*H*-1-benzopyran-3-carboxylic acid
non-steroidal anti-inflammatory (veterinary use)

ocarcocoxib

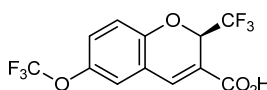
acide *rac*-(2*R*)-6-(trifluorométhoxy)-2-(trifluorométhyl)-2*H*-1-benzopyrane-3-carboxylique
anti-inflammatoire non-stéroïdien (usage vétérinaire)

ocarcocoxib

ácido *rac*-(2*R*)-2-(trifluorometil)-6-(trifluorometoxi)-2*H*-1-benzopirano-3-carboxílico
antiinflamatorio no esteroide (uso veterinario)

C₁₂H₆F₆O₄

215122-22-8



and enantiomer
et énantiomère
y enantiómero

onilcamotidum

onilcamotide

RhoC (Rho-related GTP-binding protein RhoC, Ras homolog gene family member C protein) proprotein C-terminal (174-193)-peptide:

L-alanyl-L-threonyl-L-arginyl-L-alanylglycyl-L-leucyl-L-glutaminy-L-valyl-L-arginyl-L-lysyl-L-asparaginy-L-lysyl-L-arginyl-L-arginyl-L-arginylglycyl-L-cysteinyl-L-prolyl-L-isoleucyl-L-leucine

immunological agent for active immunization, antineoplastic

onilcamotide

peptide 174-193 C-terminal de la proprotéine de RhoC (protéine RhoC de liaison au GTP RhoC apparentée à Rho, membre C des protéines de la famille de gènes homologues Ras):

L-alanyl-L-thréonyl-L-arginyl-L-alanylglycyl-L-leucyl-L-glutaminy-L-valyl-L-arginyl-L-lysyl-L-asparaginy-L-lysyl-L-arginyl-L-arginyl-L-arginylglycyl-L-cystéinyl-L-prolyl-L-isoleucyl-L-leucine

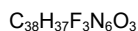
agent immunologique permettant une immunisation active, antinéoplasique

onilcamotida

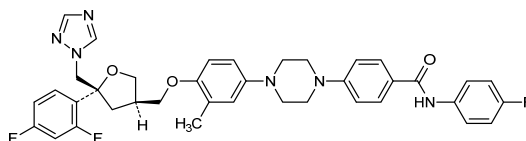
péptido 174-193 C-terminal de la proproteína del RhoC (proteína RhoC de unión a GTP relacionada con Rho, miembro C de proteínas en la familia de genes homólogos Ras):

L-alanil-L-treonil-L-arginil-L-alanilglicil-L-leucil-L-glutaminil-L-valil-L-arginil-L-lisil-L-asparaginil-L-lisil-L-arginil-L-arginil-L-arginilglicil-L-cisteinil-L-proil-L-isoleucil-L-leucina

agente inmunológico para inmunización activa, antineoplásico



1931946-73-4



ordesekimabum #
ordesekimab

immunoglobulin G1-kappa, anti-[*Homo sapiens* IL15 (interleukin 15, IL-15)], *Homo sapiens* monoclonal antibody; gamma1 heavy chain *Homo sapiens* (1-448) [VH (*Homo sapiens* IGHV5-51*01 (95.9%) -(IGHD) -IGHJ4*01 (100%)) CDR-IMGT [8.8.11] (26-33.51-58.97-107) (1-118) -*Homo sapiens* IGHG1*08p (100%), G1m3,1 (CH1 R120 (215) (119-216), hinge 1-15 (217-231), CH2 (232-341), CH3 D12 (357), E14 (359) (342-446), CHS (447-448)) (119-448)], (221-214')-disulfide with kappa light chain *Homo sapiens* (1'-214') [V-KAPPA (*Homo sapiens* IGKV3-20*01 (97.9%) -IGKJ2*01 (100%)) CDR-IMGT [7.3.8] (27-33.51-53.90-97) (1'-107') -*Homo sapiens* IGKC*01 (100%) Km3 A45.1 (153), V101 (191) (108'-214')]; dimer (227-227":230-230")-bisdisulfide, produced in Chinese hamster ovary (CHO) cells, glycoform alfa
immunomodulator

ordésékimab

immunoglobuline G1-kappa, anti-[*Homo sapiens* IL15 (interleukine 15, IL-15)], anticorps monoclonal *Homo sapiens*; chaîne lourde gamma1 *Homo sapiens* (1-448) [VH (*Homo sapiens* IGHV5-51*01 (95.9%) -(IGHD) -IGHJ4*01 (100%)) CDR-IMGT [8.8.11] (26-33.51-58.97-107) (1-118) -*Homo sapiens* IGHG1*08p (100%), G1m3,1 (CH1 R120 (215) (119-216), charnière 1-15 (217-231), CH2 (232-341), CH3 D12 (357), E14 (359) (342-446), CHS (447-448)) (119-448)], (221-214')-disulfure avec la chaîne légère kappa *Homo sapiens* (1'-214') [V-KAPPA (*Homo sapiens* IGKV3-20*01 (97.9%) -IGKJ2*01 (100%)) CDR-IMGT [7.3.8] (27-33.51-53.90-97) (1'-107') -*Homo sapiens* IGKC*01 (100%) Km3 A45.1 (153), V101 (191) (108'-214')]; dimère (227-227":230-230")-bisdisulfure, produit dans des cellules ovariennes de hamster chinois (CHO), glycoforme alfa
immunomodulateur

ordesekimab

inmunoglobulina G1-kappa, anti-[*Homo sapiens* IL15 (interleukina 15, IL-15)], anticuerpo monoclonal *Homo sapiens*; cadena pesada gamma1 *Homo sapiens* (1-448) [VH (*Homo sapiens* IGHV5-51*01 (95.9%) -(IGHD) -IGHJ4*01 (100%)) CDR-IMGT [8.8.11] (26-33.51-58.97-107) (1-118) -*Homo sapiens* IGHG1*08p (100%), G1m3,1 (CH1 R120 (215) (119-216), bisagra 1-15 (217-231), CH2 (232-341), CH3 D12 (357), E14 (359) (342-446), CHS (447-448)) (119-448)], (221-214')-disulfuro con la cadena ligera kappa *Homo sapiens* (1'-214') [V-KAPPA (*Homo sapiens* IGKV3-20*01 (97.9%) -IGKJ2*01 (100%)) CDR-IMGT [7.3.8] (27-33.51-53.90-97) (1'-107') -*Homo sapiens* IGKC*01 (100%) Km3 A45.1 (153), V101 (191) (108'-214')]; dímero (227-227":230-230")-bisdisulfuro, producido en las células ováricas de hámster chino (CHO), forma glicosilada alfa
inmunomodulador

2394931-19-0

Heavy chain / Chaîne lourde / Cadena pesada

EVQLVQSGAE VKKPGESLKI SCKVSGYFFT TYWIGWVRQM PGKGLEYMGI 50
 IYPGDSSTRY SPSFQGGVTI SADKSIATY LQWSSLKASD TAMYYCARGG 100
 NNWCFDYWQO GTLTVSSAS TKGPSVFPLA PSSKSTSGGT AALGCLVKDY 150
 FPEFVTVSWN SGALTSGVHT FPAVLQSSGL YSLSSVVTVP SSSLGTQTYI 200
 CNVNHKPSNT KVDKRVKPKS CDKTHTCPPC PAPELLGGES VFLFPPKPKD 250
 TLMISRTPEV TCVVVDVDSHE DPEVKFNWYV DGVEVHNAKT KPREEQYNST 300
 YRVVSVLTVL HQDWLNGKEY KCKVSNKALP APIEKTIKKA KGQPREPQVY 350
 TLPFSDRELT KNQVSLTCLV KGFYPSDIAV EWESNGQPEN NYKTTPEPLVD 400
 SDGSFFFLYSK LTVDKSRWQQ GNVFSCSVMH EALHNNHYTQK SLSLSPGK 448

Light chain / Chaîne légère / Cadena ligera

EIVLTQSPGT LSLSPGERAT LSCRASQSVS SSYLAWYQOK PGQAPRLLIY 50
 GASRRATGIP DRFSGSGSGT DFTLTISRLE PEDFAVYCYO RYGSSTHTFG 100
 GTKLEISRTV AAPSVFIFPP SDEQLKSGTA SIVCLLNIFY PREAKVQWVK 150
 DNALQSGNSQ ESVTEQDSKD STYLSSTLT LSKADYKHKH VYACEVTHQG 200
 LSSPVTKSFN RGEK 214

Post-translational modifications

Disulfide bridges location / Position des ponts disulfure / Posiciones de los puentes disulfuro

Intra-H (C23-C104) 22°-96' 145°-201' 262°-322' 368°-426'
 22°-96" 145°-201" 262°-322" 368°-426"

Intra-L (C23-C104) 23°-89' 134°-194'
 23°-89" 134°-194"

Inter-H-L (h 5-CL 126) 221°-214' 221°-214"
 221°-214" 221°-214"

Inter-H-H (h 11, h 14) 227°-227' 230°-230"
 227°-227" 230°-230"

N-glycosylation sites / Sites de N-glycosylation / Posiciones de N-glicosilación

H CH2 N84.4:

298, 298"

Fucosylated complex bi-antennary CHO-type glycans / glycanes de type CHO bi-antennaires complexes fucosylés / glicanos de tipo CHO biantennarios complejos fucosilados.

C-terminal lysine clipping / Coupure de la lysine C-terminale / Recorte de lisina C-terminal

H CHS K2:

448, 448"

oremeperninum alfa #

oremepernin alfa

human hepatocyte growth factor isoform 3 (HGF3, hepatopietin A isoform 3, five amino acid-deleted variant of hepatocyte growth factor, dHGF), heterodimer (alpha and beta chains), glycosylated, produced in Chinese hamster ovary (CHO) cells; hepatocyte growth factor isoform 3 (*Homo sapiens* HGF3, hepatopietin A isoform 3, des[SFLPS (130-134)]-hepatocyte growth factor, dHGF), produced in Chinese hamster ovary (CHO) cells, glycoform alfa
hepatocyte growth factor

orémépermine alfa

isoforme 3 du facteur de croissance des hépatocytes humains (HGF3, isoforme 3 de l'hépatopoiétine A, variant du facteur de croissance des hépatocytes avec cinq acides aminés supprimés, dHGF), hétérodimère (chaînes alpha et bêta), glycosylée, produite dans des cellules ovariennes de hamster (CHO); isoforme 3 du facteur de croissance des hépatocytes (HGF3 d'*Homo sapiens*, isoforme 3 de l'hépatopoiétine A, dés[SFLPS (130-134)]-facteur de croissance des hépatocytes, dHGF), produite dans des cellules ovariennes de hamster chinois (CHO), glycoforme alfa
facteur de croissance des hépatocytes

oremepernina alfa

factor de crecimiento de hepatocitos humano isoforma 3 (HGF3, hepatopoyetina A isoforma 3, cinco aminoácidos eliminados variante del factor de crecimiento de hepatocitos, dHGF), heterodímero (cadenas alfa y beta), glicosilado, producido en células ováricas de hámster chino (CHO); factor de crecimiento de hepatocitos, isoforma 3 (HGF3 de *Homo sapiens*, isoforma 3 de hepatopoyetina A, des[SFLPS (130-134)]-factor de crecimiento de hepatocitos, dHGF), producido en células ováricas de hámster chino (CHO), glicofoma alfa
factor de crecimiento de los hepatocitos

2396744-46-8

 α Chain / Chaîne α / Cadena α

QRKRRNTIHE	FKKSAKTTLL	KIDPALKIKT	KKVNTADQCA	NRCTRNGKLP	50
FTCKAFVFDK	ARKQCLWFPF	NSMSSGVKKE	FGHEFDLYEN	KDYIRNCIIG	100
KGRSYKGTVS	ITKSGIKCQP	WSSMIPHEHS	YRGKDLQENY	CRNPRGEEGG	150
PWCFTSNPEV	RYEVCDFPQC	SEVECMTCNG	ESYRGLMDHT	ESGKICQQRW	200
HQTPHRHKFL	PERYPDRGFD	DNYCRNPDGQ	PRFWCYTLDF	HTRWEYCAIK	250
TCADNTMNDT	DVPLETTECI	QGQGBGYRGT	VNTIWNIGPC	QRWDSQYPHE	300
HDMPENFCK	KDLRENYCRN	PDGSEPWCF	TTDPNIRVGY	CSQIPNCDMS	350
HGQDCYRNG	KNYMGNSQT	RSGLTCSMWD	KNMEDLHRHI	FWEPDASKLN	400
ENYCRNPDD	AHGPWCYTG	FLIPWDYCP	SRCEGDTTPT	IVNLDHFVIS	450
CAKTRQQLR					458

 β Chain / Chaîne β / Cadena β

VVNGIPTRTN	IGWVSLRYR	NKHICGGLI	KESWVLTARQ	CFPSRDLKDY	50
EAWLGIHVDH	GRGDEKCKQV	LNVSQLYVGP	EGSDLVLMKL	ARPAVLDDFV	100
STIDLPNVGC	TIPERTSCSV	YGWYTGGLN	YDGLLRVAHL	YIMGKRCQJ	150
HHRGKVTINE	SEICAGAETI	GSGPCGDYD	GPLVCEQHKM	RMVLGVIVPG	200
RGCAIPNREG	IFVRVAYYAK	WIHKIILTYK	VEQS		234

Post-translational modifications

Disulfide bridges location / Position des ponts disulfure / Posiciones de los puentes disulfuro

Intra- α	39-65, 43-53, 97-170, 118-153, 141-165, 175-252, 196-235, 224-247, 269-347, 290-329, 318-341, 355-433, 376-416, 404-428
-----------------	---

Intra- β	25'-41', 118'-185', 148'-164', 175'-203'
----------------	--

Inter- α - β	451-110'
---------------------------	----------

N-glycosylation sites / Sites de N-glycosylation / Posiciones de N-glicosilación

 α N258, α N366, β N72, β N159

O-glycosylation sites / Sites de O-glycosylation / Posiciones de O-glicosilación

 α T440**orludodstatum**

orludodstat

N-(2-chloro-6-fluorophenyl)-4-[4-ethyl-3-(hydroxymethyl)-5-oxo-4,5-dihydro-1*H*-1,2,4-triazol-1-yl]-5-fluoro-2-[[{(2*S*)-1,1,1-trifluoropropan-2-yl]oxy}benzamide
dihydroorotate dehydrogenase (DHODH) inhibitor

orludodstat

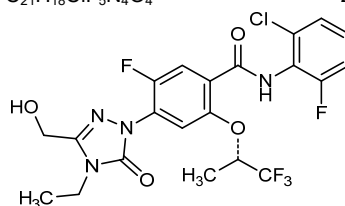
N-(2-chloro-6-fluorophényl)-4-[4-éthyl-3-(hydroxyméthyl)-5-oxo-4,5-dihydro-1*H*-1,2,4-triazol-1-yl]-5-fluoro-2-[[{(2*S*)-1,1,1-trifluoropropan-2-yl]oxy}benzamide
inhibiteur de la dihydroorotate déshydrogénase (DHODH)

orludodstat

N-(2-cloro-6-fluorofenil)-4-[4-etil-3-(hidroximetil)-5-oxo-4,5-dihidro-1*H*-1,2,4-triazol-1-il]-5-fluoro-2-[[{(2*S*)-1,1,1-trifluoropropan-2-il]oxi}benzamida
inhibidor de la dihidroorotato deshidrogenasa (DHODH)

C₂₁H₁₈ClF₅N₄O₄

2225819-06-5



osugacestatum

osugacestat

(2*R*,3*S*)-*N*¹-[(3*S*)-1-méthyl-2-oxo-5-phényl-2,3-dihydro-1*H*-1,4-benzodiazépin-3-yl]-2,3-bis(3,3,3-trifluoropropyl)butanediamide
gamma-secretase inhibitor

osugacestat

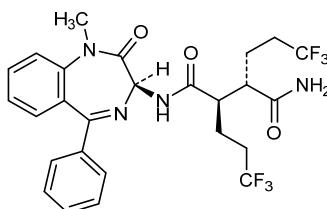
(2*R*,3*S*)-*N*¹-[(3*S*)-1-méthyl-2-oxo-5-phényl-2,3-dihydro-1*H*-1,4-benzodiazépin-3-yl]-2,3-bis(3,3,3-trifluoropropyl)butanediamide
inhibiteur de la gamma-sécrétase

osugacestat

(2*R*,3*S*)-*N*¹-[(3*S*)-5-fenil-1-metil-2-oxo-2,3-dihydro-1*H*-1,4-benzodiazépin-3-il]-2,3-bis(3,3,3-trifluoropropil)butanodiamida
inhibidor de la gamma secretasa

C₂₆H₂₆F₆N₄O₃

1401066-79-2

**ozarlimogenum inteplasmidum #**

ozarlimogene inteplasmid

A DNA plasmid encoding *Streptococcus pyogenes* serotype M55 (emm55) cell surface protein (variant).

A DNA plasmid encoding *Streptococcus pyogenes* serotype M55 (emm55) cell surface protein [variant, with 98% identity to the original source isolate A928171 (X72090.1)] under the control of a human cytomegalovirus (CMV) enhancer/promoter and an SV40 polyA signal sequence. Absence of the original stop codon results in the addition of 15 C-terminal plasmid-encoded amino acid residues. The plasmid also contains a bacterial origin (ori) of replication, F1 bacteriophage origin of replication, the SV40 virus origin of replication and a NeoR/KanR resistance coding sequence under the control of AmpR/SV40 promoters and a Herpes simplex virus (HSV) thymidine kinase (TK) poly(A) signal.
gene therapy (antineoplastic)

ozarlimogène intéplasmide

Un plasmide d'ADN codant pour une protéine de surface cellulaire (variant) du *Streptococcus pyogenes* de sérotype M55 (emm55).

Un plasmide d'ADN codant pour une protéine de surface cellulaire du *Streptococcus pyogenes* de sérotype M55 (emm55) [variant, ayant une identité de 98% avec la source originelle de l'isolat A928171 (X72090.1)] sous le contrôle d'un activateur/promoteur du cytomégalovirus (CMV) humain et d'une séquence signal polyA SV40. L'absence du codon stop originel résulte de l'addition de 15 résidus d'acides aminés en C-terminal encodés par le plasmide. Le plasmide contient aussi une origine (ori) de réplication bactérienne, une origine de réplication du bactériophage F1, une origine de réplication du virus SV40 et une séquence codant une résistance NeoR/KanR sous le contrôle des promoteurs AmpR/SV40 et d'un signal poly(A) de la thymidine kinase (TK) du virus Herpès simplex (HSV).
thérapie génique (antinéoplasique)

ozarlimogén inteplásmido

Un plásmido de DNA que codifica para una variante de la proteína de superficie de *Streptococcus pyogenes* serotipo M55 (emm55).

Un plásmido de DNA que codifica para la proteína de superficie de *Streptococcus pyogenes* serotipo M55 (emm55) [variante, con un 98% de identidad con el aislado original A928171 (X72090.1)] bajo el control de un potenciador/promotor del citomegalovirus (CMV) humano y una secuencia señal polyA de SV40. La ausencia del codón de terminación original resulta en la adición a la región C-terminal de 15 residuos de aminoácidos codificados en el plásmido. El plásmido también contiene un origen de replicación (ori) bacteriano, un origen de replicación del bacteriófago F1, el origen de replicación del virus SV40 y una secuencia que codifica la resistencia NeoR/KanR, bajo el control de los promotores AmpR/SV40 y una señal poly(A) de la timidín quinasa (TK) del virus Herpes simplex (HSV).
terapia génica (antineoplásico)

2366304-08-5

pafolacianinum

pafolacianine

(2*E*,4³*E*,8*S*)-14²-amino-8-carboxy-4³-{(2*E*)-2-[3,3-dimethyl-5-sulfo-1-(4-sulfobutyl)-1,3-dihydro-2*H*-indol-2-ylidene]ethylidene}-1³,1³-dimethyl-10,14⁴-dioxo-1¹-(4-sulfobutyl)-14³,14⁴-dihydro-1³*H*-5-oxa-9,12-diaza-14(6)-pteridina-1(2)-indola-6,11(1,4)-dibenzena-4(1,2)-cyclohexanetetradecaphane-2,4¹-dien-1¹-ium-1⁵-sulfonate
folate receptor-directing imaging agent

pafolacianine

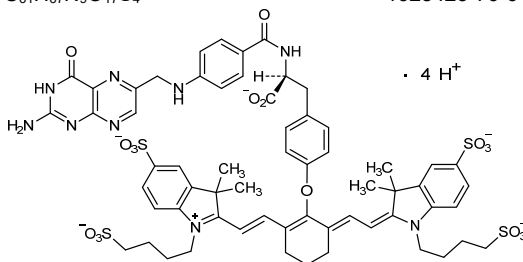
(2*E*,4³*E*,8*S*)-14²-amino-8-carboxy-4³-{(2*E*)-2-[3,3-diméthyl-5-sulfo-1-(4-sulfobutyl)-1,3-dihydro-2*H*-indol-2-ylidène]éthylidène)-1³,1³-diméthyl-10,14⁴-dioxo-1¹-(4-sulfobutyl)-14³,14⁴-dihydro-1³*H*-5-oxa-9,12-diaza-14(6)-ptéridina-1(2)-indola-6,11(1,4)-dibenzéna-4(1,2)-cyclohexanotétradécaphane-2,4¹-dién-1¹-ium-1⁵-sulfonate
agent de diagnostic dirigé vers le récepteur de folates

pafolacianina

(2*E*,4³*E*,8*S*)-14²-amino-8-carboxi-4³-{(2*E*)-2-[3,3-dimetil-5-sulfo-1-(4-sulfobutil)-1,3-dihidro-2*H*-indol-2-ilideno]etilideno}-1³,1³-dimetil-10,14⁴-dioxo-1¹-(4-sulfobutil)-14³,14⁴-dihidro-1³*H*-5-oxa-9,12-diaza-14(6)-pteridina-1(2)-indola-6,11(1,4)-dibencena-4(1,2)-ciclohexanetetradecafano-2,4¹-dien-1¹-ium-1⁵-sulfonato
agente de diagnóstico guiado al receptor de folato

C₆₁H₆₇N₉O₁₇S₄

1628423-76-6



palopegteriparatidum
palopegteriparatide

human parathyroid hormone (PTH) synthetic peptide fragment (1-34), conjugated at the N-terminal amino group via a cleavable linker to O-methylpolyethylene glycol (2 x 20 kDa mPEG);
2-methylalanyl-(1-34)-peptide of parathyroid hormone (*Homo sapiens* parathyrin, parathormone, PTH) conjugated with O-methylpolyethylene glycol via a cleavable linker at the N-terminal amino group:
N-({2-[(6-[(3*RS*)-1-{3-[(3-[(2*E*)-2,3-bis[α-methylpoly(oxyethylene)-ω-oxy]propoxy)propyl]amino]-3-oxopropyl]-2,5-dioxopyrrolidin-3-yl)sulfanyl]hexyl)amino]ethyl}carbamoyl)-2-methylalanyl-L-seryl-L-valyl-L-seryl-L-α-glutamyl-L-isoleucyl-L-glutaminy-L-leucyl-L-methionyl-L-histidyl-L-asparaginy-L-leucylglycyl-L-lysyl-L-histidyl-L-leucyl-L-asparaginy-L-seryl-L-methionyl-L-α-glutamyl-L-arginyl-L-valyl-L-α-glutamyl-L-tryptophyl-L-leucyl-L-arginyl-L-lysyl-L-lysyl-L-leucyl-L-glutaminy-L-α-aspartyl-L-valyl-L-histidyl-L-asparaginy-L-phenylalanine
parathyroid hormone

palopegteriparatide

fragment peptidique synthétique (1-34) de l'hormone parathyroïdienne humaine (HPT) conjugué au groupe aminé en N-terminal via un linker clivable au O-méthylpolyéthylène glycol (2 x 20 kDa mPEG);
2-méthylalanyl-(1-34)-peptide de l'hormone parathyroïdienne d'*Homo sapiens* (parathyrine, parathormone, PTH), conjugué à un O-méthylpoly-éthylène glycol via un linker clivable au groupe aminé en N-terminal:
N-({2-[(6-[(3*RS*)-1-{3-[(3-[(2*E*)-2,3-bis[α-méthylpoly(oxyéthylène)-ω-oxy]propoxy)propyl]amino]-3-oxopropyl]-2,5-dioxopyrrolidine-3-yl]sulfanyl]hexyl)amino]éthyl}carbamoil)-2-méthylalanyl-L-séryl-L-valyl-L-séryl-L-α-glutamyl-L-isoleucyl-L-glutaminy-L-leucyl-L-méthionyl-L-histidyl-L-asparaginy-L-leucylglycyl-L-lysyl-L-histidyl-L-leucyl-L-asparaginy-L-séryl-L-méthionyl-L-α-glutamyl-L-arginyl-L-valyl-L-α-glutamyl-L-tryptophyl-L-leucyl-L-arginyl-L-lysyl-L-lysyl-L-leucyl-L-glutaminy-L-α-aspartyl-L-valyl-L-histidyl-L-asparaginy-L-phénylalanine
hormone parathyroïdienne

palopegteriparatida

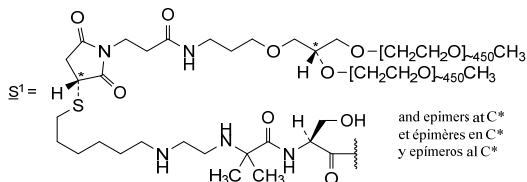
fragmento de péptido sintético (1-34) de la hormona paratiroidea humana (PTH) conjugado en el grupo amino N-terminal, a través de un enlace escindible, al glicol O-metilpolietileno (2 x 20 kDa mPEG);
2-metilalanyl-péptido 1-34 de la hormona paratiroidea del *Homo sapiens* (paratirina, parathormona, PTH), conjugado con O-metilpolietilenglicol a través de un grupo de unión separable escindible en el grupo amino N-terminal:
N-({2-[(6-[(3*RS*)-1-{3-[(3-[(2*E*)-2,3-bis[α-metilpoli(oxi)etileno)-ω-oxi]propoxi]propil]amino]-3-oxopropil]-2,5-dioxopirrolidin-3-il]sulfanil]hexil)amino]etil}carbamoil)-2-metilalanyl-L-seril-L-valil-L-seril-L-α-glutamyl-L-isoleucil-L-glutaminy-L-leucil-L-metionil-L-histidil-L-asparaginy-L-leucilglycil-L-lisil-L-histidil-L-leucil-L-asparaginy-L-seril-L-metionil-L-α-glutamyl-L-arginil-L-valil-L-α-glutamyl-L-triptofil-L-leucil-L-arginil-L-lisil-L-lisil-L-leucil-L-glutaminy-L-α-aspartil-L-valil-L-histidil-L-asparaginy-L-fenilalanina
hormona paratiroidea

$C_{209}H_{340}N_{60}O_{59}S_3(C_2H_4O)_{2n}$, $n \approx 450$ 2222514-07-8
($2 \times \sim 20$ kDa)

Sequence / Séquence / Secuencia

SVSEIQLMHN LGKHLNSMER VEWLRKKLQD VHNF 34

Modified residues / Résidus modifiés / Restos modificados



peboctocogenum camaparvecum

peboctocogene camaparvec

A non-replicating adeno-associated virus serotype hu37 (AAVhu37) vector encoding B-domain deleted human blood-coagulation factor VIII.

A recombinant, non-replicating, adeno-associated virus serotype hu37 (AAVhu37) vector, encoding a codon-optimised B-domain deleted SQ variant of human blood-coagulation factor VIII (hFVIII-SQ), under the control of a hybrid liver promoter (*Mus musculus* transthyretin enhancer-human transthyretin promoter) and a synthetic polyA signal sequence, flanked by AAV2 inverted terminal repeats; the A2 and A3 domains of hFVIII are linked by a DNA sequence encoding a 14-amino acid peptide (SQ) from the B domain.

gene therapy (haemophilia A)

péboctocogène camaparvec

Un vecteur du virus adéno-associé de sérotype hu37 (AAVhu37) non-répliquant codant le facteur VIII de coagulation sanguine humaine avec délétion du domaine B.

Un vecteur du virus adéno-associé de sérotype hu37 (AAVhu37) non-répliquant, recombinant, codant un variant SQ aux codons optimisés avec délétion du domaine B du facteur VIII de coagulation sanguine humaine (hFVIII-SQ), sous le contrôle d'un promoteur hybride de foie (activateur de la transthyréline de *Mus musculus* - promoteur de la transthyréline humaine) et d'une séquence signal polyA synthétique, flanquée de répétitions terminales inversées du AAV2; les domaines A2 et A3 du hFVIII sont liés par une séquence d'ADN codant un peptide (SQ) de 14 acides aminés provenant du domaine B.

thérapie génique (hémophilie A)

peboctocogén camaparvec

Un vector de virus adeno-asociado de serotipo hu37 (AAVhu37) no replicativo que codifica para el factor de coagulación sanguínea VIII humano con el dominio B delecionado.

Un vector de virus adeno-asociado de serotipo hu37 (AAVhu37) recombinante, no replicativo, que codifica una variante SQ con el dominio B delecionado del factor de coagulación sanguínea VIII humano (hFVIII-SQ), con

codones optimizados, bajo el control de un promotor híbrido de hígado (potenciador de transtiretina de *Mus musculus* - promotor de transtiretina humana) y una secuencia señal de polyA sintética, flanqueado por las repeticiones terminales invertidas de AAV2; los dominios A2 y A3 de hFVIII están ligados mediante una secuencia de DNA que codifica para un péptido de 14 aminoácidos (SQ) del dominio B.
terapia génica (hemofilia A)

2408734-39-2

pelgifatamabum corixetanum #

pelgifatamab corixetan

immunoglobulin G1-kappa, anti-[*Homo sapiens* FOLH1 (folate hydrolase, prostate specific membrane antigen, PSMA)], *Homo sapiens* monoclonal antibody conjugated to chelator *corixetan*; gamma1 heavy chain *Homo sapiens* (1-453) [VH (*Homo sapiens*IGHV3-33*01 (96.9%) -(IGHD) -IGHJ6*01 (100%)) CDR-IMGT [8.8.16] (26-33.51-58.97-112) (1-123) -*Homo sapiens*IGHG1*03 (100%) G1m3, nG1m1 (CH1 R120 (220) (124-221), hinge 1-15 (222-236), CH2 (237-346), CH3 E12 (362), M14 (364) (347-451), CHS (452-453)) (124-453)], (226-214')-disulfide with kappa light chain *Homo sapiens* (1'-214') [V-KAPPA (*Homo sapiens*IGKV1-27*01 (94.7%) -IGKJ3*01 (100%)) CDR-IMGT [6.3.9] (27-32.50-52.89-97) (1'-107') -*Homo sapiens*IGKC*01 (100%) Km3 A45.1 (153), V101 (191) (108'-214')]; dimer (232-232":235-235")-bisdisulfide, produced in a Chinese hamster ovary (CHO)-K1 cell line, glycoform alfa; conjugated to chelator *corixetan*, with an average of 0.8 chelator groups per antibody

For the *corixetan* part, please refer to the Proposed INN List 121, published in the *WHO Drug Information, Vol.33, No.2, 2019. antineoplastic*

pelgifatamab corixétan

immunoglobuline G1-kappa, anti-[*Homo sapiens* FOLH1 (folate hydrolase, antigène membranaire spécifique de la prostate, PSMA)], anticorps monoclonal *Homo sapiens* conjugué au chélateur *corixétan*; chaîne lourde gamma1 *Homo sapiens* (1-453) [VH (*Homo sapiens*IGHV3-33*01 (96.9%) -(IGHD) -IGHJ6*01 (100%)) CDR-IMGT [8.8.16] (26-33.51-58.97-112) (1-123) -*Homo sapiens*IGHG1*03 (100%) G1m3, nG1m1 (CH1 R120 (220) (124-221), charnière 1-15 (222-236), CH2 (237-346), CH3 E12 (362), M14 (364) (347-451), CHS (452-453)) (124-453)], (226-214')-disulfure avec la chaîne légère kappa *Homo sapiens* (1'-214') [V-KAPPA (*Homo sapiens*IGKV1-27*01 (94.7%) -IGKJ3*01 (100%)) CDR-IMGT [6.3.9] (27-32.50-52.89-97) (1'-107') -*Homo sapiens*IGKC*01 (100%) Km3 A45.1 (153), V101 (191) (108'-214')]; dimère (232-232":235-235")-bisdisulfure, produit dans des cellules ovariennes de hamster chinois (CHO) lignée cellulaire CHO-K1, glycoforme alfa; conjugué au chélateur *corixétan*, avec une moyenne de 0.8 groupes chélateurs par anticorps

Pour la partie *corixétan*, veuillez-vous référer à la Liste 121 des DCI proposées, publiée dans le *WHO Drug Information, Vol.33, No.2, 2019. antinéoplasique*

pelgifatamab corixetán

inmunoglobulina G1-kappa, anti-[*Homo sapiens* FOLH1 (folato hidrolasa, antígeno membranario específico de la próstata, PSMA)], anticuerpo monoclonal *Homo sapiens* conjugado con el quelante *corixetán*;

cadena pesada gamma 1 *Homo sapiens* (1-453) [VH (*Homo sapiens* IGHV3-33*01 (96.9%) -(IGHD) -IGHJ6*01 (100%)) CDR-IMGT [8.8.16] (26-33.51-58.97-112) (1-123) -*Homo sapiens* IGHG1*03 (100%) G1m3, nG1m1 (CH1 R120 (220) (124-221), bisagra 1-15 (222-236), CH2 (237-346), CH3 E12 (362), M14 (364) (347-451), CHS (452-453)) (124-453)], (226-214')-disulfuro con la cadena ligera kappa *Homo sapiens* (1'-214') [V-KAPPA (*Homo sapiens* IGKV1-27*01 (94.7%) -IGKJ3*01 (100%)) CDR-IMGT [6.3.9] (27-32.50-52.89-97) (1'-107') -*Homo sapiens* IGKC*01 (100%) Km3 A45.1 (153), V101 (191) (108'-214')]; dímero (232-232'':235-235'')-bisdisulfuro, producido en las células ováricas de hámster chino (CHO) línea celular CHO-K1, forma glicosilada alfa; conjugado con el quelante *corixetán*, con una media de 0.8 grupos quelantes por anticuerpo

Para la parte *corixetán*, por favor vaya a la Lista 121 de los DCI propuestas, publicada en el WHO Drug Information, Vol.33, No.2, 2019.
antineoplásico

2413858-99-6

Heavy chain / Chaîne lourde / Cadena pesada

QVQLVESGGG VVQPGSRSLR SCAASGFAFS RYGMHWVRQA PGKGLEWVAV 50
IWDYDSNKYY ADSVKGRFTI SRDNRKNTQY LQMNSLRRAED TAVYYCARG 100
DFLYYYYYGM DVMGQGTTVT VSSASTKGPS VFELAPSSKKS TSGGTAALGC 150
LVKDYFPEPV TVSWNSGALT SGVHTFPAVL QSSGLYSLSS VVTVPSSSLG 200
TQTYLNCVNH KPSNTKVDKR VEPKSCDKTH TCPPCPAPEL LGGPSVFLFP 250
FKPKDTLMIS RTPEVTCVVV DVSHEDPEVK FNYVDGVEV HNAKTKPRE 300
IQYNSTYRVVS VLTVLHQDWL NGKEYKCKVS NKALPAPIEK TISKARGQPR 350
EPQVYTLPPS REEMTKQVS LTCLVKGFPY SDIAVEWESN GQFENNYKTT 400
FPVLSDGSF FLYSKLTVDK SRWQQGNVFS CSMVHEALHN HYTQKSLSL 450
FGK 453

Light chain / Chaîne légère / Cadena ligera

DIQMTQSPSS LSASVGRVIT ITCRASQGIS NYLAWYQQRT GKVPKFLIYE 50
ASTLQSGVPS RFSGGGSGTD FTLTISLQPE EDVATYYCQN YNSAPFTFGP 100
GTRVDIKRTV AAPSVFIFFP SDEQLKSGTA SVVCLLNFPY PREAKVQWKV 150
DNALQSGNSQ ESVTEQDSKD STYLSLSTLT LSKADYERKH VYACEVTHQG 200
LSSPVTRKSN RGE 214

Post-translational modifications

Disulfide bridges location / Position des ponts disulfure / Posiciones de los puentes disulfuro

Intra-H (C23-C104) 22-96 150-206 267-327 373-431
22"-96" 150"-206" 267"-327" 373"-431"

Intra-L (C23-C104) 23'-88' 134'-194'
23'''-88''' 134'''-194'''

Inter-H-L (h 5-CL 126) 226-214' 226"-214"

Inter-H-H (h 11, h 14) 232-232" 235-235"

N-terminal glutaminy cyclization to pyroglutamyl (pE, 5-oxopropyl)

L VH Q1:

I, I"

N-glycosylation sites / Sites de N-glycosylation / Posiciones de N-glicosilación

H CH2 N84.4:

303, 303"

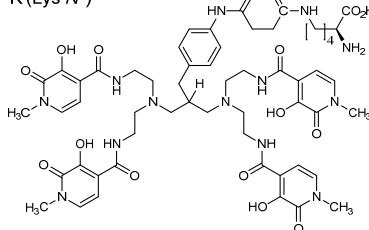
Fucosylated complex bi-antennary CHO-type glycans / glycanes de type CHO bi-antennaires complexes fucosylés / glicanos de tipo CHO biantenarijos complejos fucosilados.

C-terminal lysine clipping / Coupeure de la lysine C-terminale / Recorte de lisina C-terminal

H CHS K2:

453, 453"

Potential modified residues / résidus modifiés potentiels / restos modificados potenciales:

K (Lys-N^ε)

plazinemdorom

plazinemdor

5-(3-chloro-4-fluorophenyl)-7-cyclopropyl-3-[2-(3-fluoro-3-methylazetidin-1-yl)-2-oxoethyl]-3,7-dihydro-4*H*-pyrrolo[2,3-*d*]pyrimidin-4-one
N-methyl-*D*-aspartate (NMDA) receptor positive allosteric modulator

plazinemdor

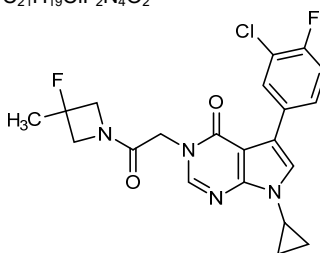
5-(3-chloro-4-fluorophényl)-7-cyclopropyl-3-[2-(3-fluoro-3-méthylazétidin-1-yl)-2-oxoéthyl]-3,7-dihydro-4*H*-pyrrolo[2,3-*d*]pyrimidin-4-one
*modulateur allostérique positif du récepteur du N-méthyl-*D*-aspartate (NMDA)*

plazinemdor

7-ciclopopil-5-(3-cloro-4-fluorofenil)-3-[2-(3-fluoro-3-metilazetidin-1-il)-2-oxoetil]-3,7-dihidro-4*H*-pirrolo[2,3-*d*]pirimidin-4-ona
*modulador alostérico positivo del receptor de N-metil-*D*-aspartato (NMDA)*

C₂₁H₁₉ClF₂N₄O₂

2378285-59-5

**plonmarlimabum #**

plonmarlimab

immunoglobulin G1-kappa, anti-[*Homo sapiens* CSF2 (colony stimulating factor 2 (granulocyte-macrophage), GM-CSF, GMCSF)], humanized monoclonal antibody; gamma1 heavy chain humanized (1-450) [VH (*Homo sapiens* IGHV1-2*02 (85.7%) -(IGHD) -IGHJ3*01 (92.9%) M123>T (115)) CDR-IMGT [8.8.13] (26-33.51-58.97-109) (1-120) -*Homo sapiens* IGHG1*03v, G1m3>G1m17, nG1m1 (CH1 R120>K (217) (121-218), hinge 1-15 (219-233), CH2 (234-343), CH3 E12 (359), M14 (361) (344-448), CHS (449-450)) (121-450)], (223-214')-disulfide with kappa light chain humanized (1'-214') [V-KAPPA (*Homo sapiens* IGKV1-9*01 (78.9%) -IGKJ4*01 (100%)) CDR-IMGT [6.3.9] (27-32.50-52.89-97) (1'-107') -*Homo sapiens* IGKC*01 (100%), Km3 A45.1 (153), V101 (191) (108'-214')]; dimer (229-229":232-232")-bisdisulfide, produced in Chinese hamster ovary (CHO) cells, glycoform alfa
immunomodulator

plonmarlimab

immunoglobuline G1-kappa, anti-[*Homo sapiens* CSF2 (facteur 2 stimulant les colonies (granulocyte-macrophage), GM-CSF, GMCSF)], anticorps monoclonal humanisé;

chaîne lourde gamma1 humanisée (1-450) [VH (*Homo sapiens* IGHV1-2*02 (85.7%) -(IGHD) -IGHJ3*01 (92.9%) M123>T (115)) CDR-IMGT [8.8.13] (26-33.51-58.97-109) (1-120) -*Homo sapiens* IGHG1*03v, G1m3>G1m17, nG1m1 (CH1 R120>K (217) (121-218), charnière 1-15 (219-233), CH2 (234-343), CH3 E12 (359), M14 (361) (344-448), CHS (449-450)) (121-450)], (223-214')-disulfure avec la chaîne légère kappa humanisée (1'-214') [V-KAPPA (*Homo sapiens* IGKV1-9*01 (78.9%) -IGKJ4*01 (100%)) CDR-IMGT [6.3.9] (27-32.50-52.89-97) (1'-107') -*Homo sapiens* IGKC*01 (100%), Km3 A45.1 (153), V101 (191) (108'-214')]; dimère (229-229":232-232")-bisdisulfure, produit dans des cellules ovariennes de hamster chinois (CHO), glycoforme alfa
immunomodulateur

plonmarlimab

inmunoglobulina G1-kappa, anti-[*Homo sapiens* CSF2 (factor 2 estimulante de las colonias (granulocito-macrófago), GM-CSF, GMCSF)], anticuerpo monoclonal humanizado;
cadena pesada gamma1 humanizada (1-450) [VH (*Homo sapiens* IGHV1-2*02 (85.7%) -(IGHD) -IGHJ3*01 (92.9%) M123>T (115)) CDR-IMGT [8.8.13] (26-33.51-58.97-109) (1-120) -*Homo sapiens* IGHG1*03v, G1m3>G1m17, nG1m1 (CH1 R120>K (217) (121-218), bisagra 1-15 (219-233), CH2 (234-343), CH3 E12 (359), M14 (361) (344-448), CHS (449-450)) (121-450)], (223-214')-disulfuro con la cadena ligera kappa humanizada (1'-214') [V-KAPPA (*Homo sapiens* IGKV1-9*01 (78.9%) -IGKJ4*01 (100%)) CDR-IMGT [6.3.9] (27-32.50-52.89-97) (1'-107') -*Homo sapiens* IGKC*01 (100%), Km3 A45.1 (153), V101 (191) (108'-214')]; dímero (229-229":232-232")-bisdisulfuro, producido en las células ováricas de hámster chino (CHO), forma glicosilada alfa
immunomodulador

2377482-36-3

Heavy chain / Chaîne lourde / Cadena pesada

EVQLVQSGAE VKKPGASVRK SCKASGYTFT SHYLHWVRQA PGQGLEWMGW 50
 IIPGDDDKTKY NEKFRGRVTM TSPTSISTAY MELSLRLSDD TAVVYCARGT 100
 KYLNWNFDVW QGGTIVTVSS ASTKGPSVFP LAPSSKSTSG GTAALGLCVK 150
 DYFPEFVTVS WNSGALTSV HTPFAVLQSS GLYSLSSVWT VPSSSLGTQT 200
 YICNVNHPKS NTKVDKKEVP KSCDKTHTCP PCPAPPELLGG PSVFLFPPKP 250
 KDTLMISRTP EVTCVVVDVS HEDPEVKFNW YVDGVEVHNA KTKFPEEQYN 300
 STYRVVSVLT VLNQDNLNGK EYKCKVSNKA LPAPIEKTIK KAKGQPREPQ 350
 VYTLPPSREE MTKNQVSLT LVKGFYPSDI AVEVESNGQP ENNYKTTPEV 400
 LQSDGSEFELY SKLTVDKSRW QQGNVFSQSV MHEALHNYHT QKSLSLSPGK 450

Light chain / Chaîne légère / Cadena ligera

DIQLTQSPSF LSASVGDRTV ITCKANQVNG TTLAWYQQKPK GKSPKALIYS 50
 ASYRYSQVDP RFSGSGSDTD FTLTISLQEP EDFATYFCHQ YTTYPLTFGG 100
 GTKVEIKRTV AAPSVFIFPP SDEQLKSGTA SUVCLLNIFY PREAKVQWKV 150
 DNALQSGNSQ ESVTEQDSKD STYLSLSTLT LSKADYKHKH VYACEVTHQG 200
 LSSPVTKSFN RGEC 214

Post-translational modifications

Disulfide bridges location / Position des ponts disulfure / Posiciones de los puentes disulfuro

Intra-H (C23-C104) 22-96 147-203 264-324 370-428
 22"-96" 147"-203" 264"-324" 370"-428"

Intra-L (C23-C104) 23'-88" 134'-194"
 23"-88" 134"-194"

Inter-H-L (h 5-CL 126) 223-214' 223"-214"

Inter-H-H (h 11, h14) 229-229" 232-232"

N-glycosylation sites / Sites de N-glycosylation / Posiciones de N-glicosilación

H CH2 N84.4:

300, 300"

Fucosylated complex bi-antennary CHO-type glycans / glycanes de type CHO bi-antennaires complexes fucosylés / glicanos de tipo CHO biantennarios complejos fucosilados.

C-terminal lysine clipping / Coupure de la lysine C-terminale / Recorte de lisina C-terminal

H CHS K2:

450, 450"

ponsegromabum #

ponsegromab

immunoglobulin G1-kappa, anti-[*Homo sapiens* GDF15 (growth differentiation factor 15, PLAB, MIC-1, PDF, MIC1, NAG-1, PTGFB)], monoclonal antibody;
 gamma1 heavy chain (1-449) [VH (*Homo sapiens* IGHV1-69*01 (93.9%) -(IGHD) -IGHJ1*01 (100%)) CDR-IMGT [8.8.13] (26-33.51-58.97-109) (1-120) -*Homo sapiens* IGHG1*03v, G1m3>G1m17, nG1m1, G1v14 CH2 A1.3, A1.2 (CH1 R120>K (217) (121-218), hinge 1-15 (219-233), CH2 L1.3>A (237), L1.2>A (238), G1>A (240) (234-343), CH3 E12 (359), M14 (361) (344-448), CHS K>del (449)) (121-449)], (223-214')-disulfide with kappa light chain (1'-214') [V-KAPPA (*Homo sapiens* IGKV3-11*01 (91.6%) -IGKJ1*01 (100%)) CDR-IMGT [6.3.9] (27-32.50-52.89-97) (1'-107') -*Homo sapiens* IGKC*01 (100%) Km3 A45.1 (153), V101 (191) (108'-214')]; dimer (229-229":232-232")-bisdisulfide, produced in Chinese hamster ovary (CHO)-K1SV cell line lacking the glutamine synthetase gene (GSKO), glycoform alfa
human growth differentiation factor 15 binder

ponségromab

immunoglobuline G1-kappa, anti-[*Homo sapiens* GDF15 (facteur 15 de croissance et de différenciation, PLAB, MIC-1, PDF, MIC1, NAG-1, PTGFB)], anticorps monoclonal;
 chaîne lourde gamma1 (1-449) [VH (*Homo sapiens* IGHV1-69*01 (93.9%) -(IGHD) -IGHJ1*01 (100%)) CDR-IMGT [8.8.13] (26-33.51-58.97-109) (1-120) -*Homo sapiens* IGHG1*03v, G1m3>G1m17, nG1m1, G1v14 CH2 A1.3, A1.2 (CH1 R120>K (217) (121-218), charnière 1-15 (219-233), CH2 L1.3>A (237), L1.2>A (238), G1>A (240) (234-343), CH3 E12 (359), M14 (361) (344-448), CHS K>del (449)) (121-449)], (223-214')-disulfure avec la chaîne légère kappa (1'-214') [V-KAPPA (*Homo sapiens* IGKV3-11*01 (91.6%) -IGKJ1*01 (100%)) CDR-IMGT [6.3.9] (27-32.50-52.89-97) (1'-107') -*Homo sapiens* IGKC*01 (100%) Km3 A45.1 (153), V101 (191) (108'-214')]; dimère (229-229":232-232")-bisdisulfure, produit dans des cellules ovariennes de hamster chinois (CHO) lignée cellulaire CHO-K1SV ne présentant pas le gène de la glutamine synthétase (GSKO), glycoforme alfa
ligand du facteur de différenciation de croissance 15 humain

ponsegromab

immunoglobulina G1-kappa, anti-[*Homo sapiens* GDF15 (factor 15 de crecimiento y de diferenciación, PLAB, MIC-1, PDF, MIC1, NAG-1, PTGFB)], anticuerpo monoclonal;
 cadena pesada gamma1 (1-449) [VH (*Homo sapiens* IGHV1-69*01 (93.9%) -(IGHD) -IGHJ1*01 (100%)) CDR-IMGT [8.8.13] (26-33.51-58.97-109) (1-120) -*Homo sapiens* IGHG1*03v, G1m3>G1m17, nG1m1, G1v14 CH2 A1.3, A1.2 (CH1 R120>K (217) (121-218), bisagra 1-15 (219-233), CH2 L1.3>A (237), L1.2>A (238), G1>A (240) (234-343), CH3 E12 (359), M14 (361) (344-448), CHS K>del (449)) (121-449)], (223-214')-disulfuro con la cadena ligera kappa (1'-214') [V-KAPPA (*Homo sapiens* IGKV3-11*01 (91.6%) -IGKJ1*01 (100%)) CDR-IMGT [6.3.9] (27-32.50-52.89-97) (1'-107') -*Homo sapiens* IGKC*01 (100%) Km3 A45.1 (153), V101 (191) (108'-214')]; dímero (229-229":232-232")-bisdisulfuro, producido en las células ováricas de hámster chino (CHO) línea celular CHO-K1SV en ausencia del gen glutamina sintetasa (GSKO), forma glicosilada alfa
ligando del factor de diferenciación de crecimiento 15 humano

2368950-15-4

Heavy chain / Chaîne lourde / Cadena pesada

QVQLVQSGAE VVKFGSSVKV SCKASGYTFS SYNIDWVRQA PGQGLEWMGG 50
 INPIFGTAFY NQKFGQGRVTI TADESTSTAY MELSLRSED TAVYVCAREA 100
 ITTVGAMDHW GQGTLVTVSS ASTKGPSVFP LAPSSKSTSG GTAALGCLVK 150
 DYFPEFVTVS WNSGALTSVG HTFPAVLQSS GLYSLSSVVT VPSSSLGTQT 200
 YICNVNHKPS NTKVDKKEP KSCDKTHTCP PCPAPAEAGA PSVFLFPPKP 250
 KDTLMSRTP EYTCVVVDVS HEDPEVKFNW YVDGVEVHNA KTKPREEQYN 300
 STYRVVSVLT VLGHWLNGK EYKCKVSNKA LPAPIEKTIS KAKGQPREPQ 350
 VYTLPPSREE MTKNQVSLTC LVKGFYPSDI AVEWESNGQP ENNYKTPPV 400
 LQSDGSFFELY SKLTVDKSRW QQGNVFSCSV MHEALHNHYT QKSLSLSPG 449

Light chain / Chaîne légère / Cadena ligera

EIVLTQSPAT LSLSPGERAT LSCRTSQSVH NYLAWYQQKP GQAPRLLIYD 50
 ASTRADGIPA RFGSGSGTD FTLTISLSLEP EDFAVYCCQ FWSWPWTFGQ 100
 GTKVEIKRTV AAPSVFIFPP SDEQLKSGTA SVVCLLNIFY PREAKVQNKV 150
 DNALQSGNSQ ESVTEQDSKD STYLSLSTLT LSKADYEKHK VYACEVTHQG 200
 LSSPVTKSFN RGEK 214

Post-translational modifications

Disulfide bridges location / Position des ponts disulfure / Posiciones de los puentes disulfuro

Intra-H (C23-C104) 22"-96" 147"-203" 264"-324" 370"-428"
 22"-96" 147"-203" 264"-324" 370"-428"

Intra-L (C23-C104) 23"-88" 134"-194"
 23"-88" 134"-194"

Inter-H-L (h 5-CL 126) 223"-214" 223"-214"

Inter-H-H (h 11, h 14) 229"-229" 232"-232"

N-terminal glutaminy cyclization to pyroglutamyl (pE, 5-oxoprolyl)

H VH Q1:

I, I"

N-glycosylation sites / Sites de N-glycosylation / Posiciones de N-glicosilación

H CH2 N84.4:

300, 300"

Fucosylated complex bi-antennary CHO-type glycans / glycanes de type CHO bi-antennaires complexes fucosylés / glicanos de tipo CHO biantennarios complejos fucosilados.

prusogliptinum

prusogliptin

(2*S*,4*S*)-4-fluoro-1-({[2-methyl-4-oxo-4-(pyrrolidin-1-yl)butan-2-yl]amino}acetyl)pyrrolidine-2-carbonitrile
dipeptidyl peptidase 4 (DPP4) inhibitor

prusogliptine

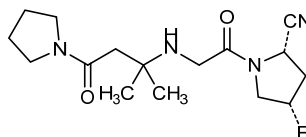
(2*S*,4*S*)-4-fluoro-1-({[2-méthyl-4-oxo-4-(pyrrolidin-1-yl)butan-2-yl]amino}acétyl)pyrrolidine-2-carbonitrile
inhibiteur de la dipeptidyle peptidase 4 (DPP4)

prusogliptina

(2*S*,4*S*)-4-fluoro-1-({[2-metil-4-oxo-4-(pirrolidina-1-il)butan-2-il]amino}acetil)pirrolidina-2-carbonitrilo
inhibidor de la dipeptidilo peptidasa 4 (DPP4)

C₁₆H₂₅FN₄O₂

1186426-66-3

**pucotenlimabum #**

pucotenlimab

immunoglobulin G4-kappa, anti-[*Homo sapiens* PDCD1 (programmed cell death 1, PD1, PD-1, CD279)], monoclonal antibody;

	<p>gamma4 heavy chain (1-445) [VH (<i>Mus musculus</i>IGHV5-9-2*01 (87.8%) -(IGHD) -IGHJ3*01 (93.3%)/<i>Homo sapiens</i>IGHV3-23*04 (86.7%) -(IGHD) -IGHJ6*01 (90.9%)) CDR-IMGT [8.8.11] (26-33.51-58.97-107) (1-118)-<i>Homo sapiens</i>IGHG4*01, G4v5 h P10, G4v22 CH2 T16, P91, CH3 A114 (CH1 (119-216), hinge 1-12 S10>P (226) (217-228), CH2 S16>T (252), V91>P (306) (229-338), CH3 N114>A (432) (339-443), CHS (444-445)) (119-445)], (132-218')-disulfide with kappa light chain (1'-218') [V-KAPPA (<i>Mus musculus</i>IGKV3-2*01 (92.9%) -IGKJ1*01 (100%)/<i>Homo sapiens</i>IGKV3D-11*02 (64.9%) -IGKJ4*01 (90.9%)) CDR-IMGT [10.3.9] (27-36.54-56.93-101) (1'-111') -<i>Homo sapiens</i>IGKC*01 (100%), Km3 A45.1 (157), V101 (195) (112'-218')]; dimer (224-224":227-227")-bisdisulfide, produced in Chinese hamster ovary (CHO) cells, glycoform alfa <i>immunomodulator, antineoplastic</i></p>
pucotenlimab	<p>immunoglobuline G4-kappa, anti-[<i>Homo sapiens</i> PDCD1 (protéine 1 de mort cellulaire programmée, PD-1, PD1, CD279)], anticorps monoclonal; chaîne lourde gamma4 (1-445) [VH (<i>Mus musculus</i>IGHV5-9-2*01 (87.8%) -(IGHD) -IGHJ3*01 (93.3%)/<i>Homo sapiens</i>IGHV3-23*04 (86.7%) -(IGHD) -IGHJ6*01 (90.9%)) CDR-IMGT [8.8.11] (26-33.51-58.97-107) (1-118)-<i>Homo sapiens</i>IGHG4*01, G4v5 h P10, G4v22 CH2 T16, P91, CH3 A114 (CH1 (119-216), charnière 1-12 S10>P (226) (217-228), CH2 S16>T (252), V91>P (306) (229-338), CH3 N114>A (432) (339-443), CHS (444-445)) (119-445)], (132-218')-disulfure avec la chaîne légère kappa (1'-218') [V-KAPPA (<i>Mus musculus</i>IGKV3-2*01 (92.9%) -IGKJ1*01 (100%)/<i>Homo sapiens</i>IGKV3D-11*02 (64.9%) -IGKJ4*01 (90.9%)) CDR-IMGT [10.3.9] (27-36.54-56.93-101) (1'-111') -<i>Homo sapiens</i>IGKC*01 (100%), Km3 A45.1 (157), V101 (195) (112'-218')]; dimère (224-224":227-227")-bisdisulfure, produit dans des cellules ovariennes de hamster chinois (CHO), glycoforme alfa <i>immunomodulateur, antinéoplasique</i></p>
pucotenlimab	<p>immunoglobulina G4-kappa, anti-[<i>Homo sapiens</i> PDCD1 (proteína 1 de muerte celular programada, PD-1, PD1, CD279)], anticuerpo monoclonal; cadena pesada gamma4 (1-445) [VH (<i>Mus musculus</i>IGHV5-9-2*01 (87.8%) -(IGHD) -IGHJ3*01 (93.3%)/<i>Homo sapiens</i>IGHV3-23*04 (86.7%) -(IGHD) -IGHJ6*01 (90.9%)) CDR-IMGT [8.8.11] (26-33.51-58.97-107) (1-118)-<i>Homo sapiens</i>IGHG4*01, G4v5 h P10, G4v22 CH2 T16, P91, CH3 A114 (CH1 (119-216), bisagra 1-12 S10>P (226) (217-228), CH2 S16>T (252), V91>P (306) (229-338), CH3 N114>A (432) (339-443), CHS (444-445)) (119-445)], (132-218')-disulfuro con la cadena ligera kappa (1'-218') [V-KAPPA (<i>Mus musculus</i>IGKV3-2*01 (92.9%) -IGKJ1*01 (100%)/<i>Homo sapiens</i>IGKV3D-11*02 (64.9%) -IGKJ4*01 (90.9%)) CDR-IMGT [10.3.9] (27-36.54-56.93-101) (1'-111') -<i>Homo sapiens</i>IGKC*01 (100%), Km3 A45.1 (157), V101 (195) (112'-218')]; dímero (224-224":227-227")-bisdisulfuro, producido en las células ováricas de hámster chino (CHO), forma glicosilada alfa <i>inmunomodulador, antineoplásico</i></p>

2403647-03-8

Heavy chain / Chaîne lourde / Cadena pesada

EVQLVQSGGG LVQPGGSLKL SCAASGFTFS SYGMSWVRQA PGKGLDWVAT 50
 ISGGGRDTYY PDSVKGRFTI SRDNSKNNLY LQMNSLRAED TALYYCARQK 100
 GEAWFAYWQI GTLTVSSAS TKGPSVFPLA PCSRSTSEST AALGCLVKDY 150
 FPEPFTVSWN SGALTSVHT FPAVLQSSGL YSLSSVTVTP SSSLGKTKYT 200
 CNVDHKPSNT KVDKRVESKY GPCCPCPAP EFLGGPSVFL FPPKPKDTLM 250
 ITRTPEVTCV VVDVSDQDPE VQFNWYVDG EVHNAKTKPR EEQFNSTYRV 300
 VSVLTPFHQD WLNKKEYKCK VSNKGLPSSI EKTISKAKGQ PREPQVYITLP 350
 PSQEMTKNQ VSLTCLVKG F YPSDIAVEWE SNGQPENNYK TTPPVLDSDG 400
 SFFLYSRITV DKSRWQEGNV FSCSVMEAL HAHYTQRSL SLSLGLK 445

Light chain / Chaîne légère / Cadena ligera

DIVLTQSPAS LAVSPGQRAT ITCRAESVD NYGISFMNWF QOKPGQPPKL 50
 LIYAASNKGT GVPARFSGSG SGTDFTLNIN PMEENDTAMY FCQQSKEVPW 100
 TFGGKTKLEI KRTVAAPSVF IPPPSDEQLK SGTASVVCLL NNFYPREAKV 150
 QWKVDNALQS GNSQESVTEQ DSKDSTYSLS SFTLTLKADY EKHKVYACEV 200
 THQGLSSPVT KSPNRGEC 218

Post-translational modifications

Disulfide bridges location / Position des ponts disulfure / Posiciones de los puentes disulfuro

Intra-H (C23-C104) 22-96 145-201 259-319 365-423

22"-96" 145"-201" 259"-319" 365"-423"

Intra-L (C23-C104) 23"-92" 138"-198"

23"-92" 138"-198"

Inter-H-L (CH1 10-CL 126) 132-218" 132"-218"

Inter-H-H (h 8, h 11) 224-224" 227-227"

N-glycosylation sites / Sites de N-glycosylation / Posiciones de N-glicosilación

H CH2 N84.4:

295, 295"

Fucosylated complex bi-antennary CHO-type glycans / glycanes de type CHO bi-antennaires complexes fucosylés / glicanos de tipo CHO biantennarios complejos fucosilados.

C-terminal lysine clipping / Coupeure de la lysine C-terminale / Recorte de lisina C-terminal

H CHS K2:

445, 445"

pulrodemstatum

pulrodemstat

4-[2-(4-aminopiperidin-1-yl)-5-(3-fluoro-4-methoxyphenyl)-1-methyl-6-oxo-1,6-dihydropyrimidin-4-yl]-2-fluorobenzonitrile
lysine-specific histone demethylase 1 (LSD1) inhibitor, antineoplastic

pulrodemstat

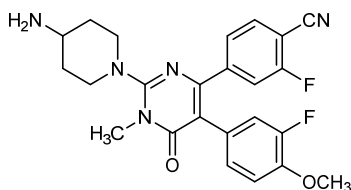
4-[2-(4-aminopipéridin-1-yl)-5-(3-fluoro-4-méthoxyphényl)-1-méthyl-6-oxo-1,6-dihydropyrimidin-4-yl]-2-fluorobenzonitrile
inhibiteur de l'histone déméthylase-1 spécifique de la lysine (LSD1), antinéoplasique

pulrodemstat

4-[2-(4-aminopiperidin-1-il)-5-(3-fluoro-4-metoxifenil)-1-metil-6-oxo-1,6-dihidropirimidin-4-il]-2-fluorobenzonitrilo
inhibidor de la histona demetilasa-1 específica de la lisina (LSD1), antineoplásico

C₂₄H₂₃F₂N₅O₂

1821307-10-1



quaratusugenum ozeplasmidum #

quaratusugene ozeplasmid

A DNA plasmid encoding tumour suppressor candidate 2 (TUSC2).

A DNA plasmid encoding tumour suppressor candidate 2 (TUSC2), also referred to as fusion 1 protein (FUS1), under the control of an adenovirus E1 enhancer, human cytomegalovirus (hCMV) immediate early enhancer/ promoter and a bovine growth hormone (bGH) polyadenylation signal (polyA). The plasmid also contains a pMB1 origin of replication and a NeoR/KanR antibiotic resistance coding sequence.
gene therapy (antineoplastic)

quaratusugène ozéplasmide

Un plasmide d'ADN codant pour le candidat 2 suppresseur de tumeur (TUSC2).

Un plasmide d'ADN codant pour le candidat 2 suppresseur de tumeur (TUSC2), aussi appelé la protéine de fusion 1 (FUS1), sous le contrôle d'un activateur de l'adénovirus E1, du promoteur/activateur précoce immédiat du cytomégalo virus humain (hCMV) et d'un signal de polyadénylation (polyA) de l'hormone de croissance bovine (bGH). Le plasmide contient aussi une origine de réplication pMB1 et une séquence codant une résistance aux antibiotiques NeoR/KanR.
thérapie génique (antineoplasique)

quaratusugén ozeplásmido

Un plásmido de DNA que codifica para el candidato supresor de tumores 2 (TUSC2).

Un plásmido de DNA que codifica para el candidato supresor de tumores 2 (TUSC2), también referido como proteína de fusión 1 (FUS1), bajo el control de un potenciador E1 de adenovirus, un potenciador/promotor inmediato temprano de citomegalovirus humano (hCMV) y una señal de poliadenilación (polyA) de la hormona de crecimiento bovina (bGH). El plásmido también contiene un origen de replicación pMB1 y una secuencia NeoR/KanR que codifica para la resistencia a antibióticos.
terapia génica (antineoplásico)

1396823-56-5

quemliclstatum

quemliclstat

2-chloro-*N*⁶-[(1*S*)-1-(2-fluorophenyl)ethyl]-8-aza-1,7-dicarbaadenosine 5'-(trihydrogen 2-carbadiphosphate) 5'-*nucleotidase (CD73) inhibitor, antineoplastic*

quémliclstat

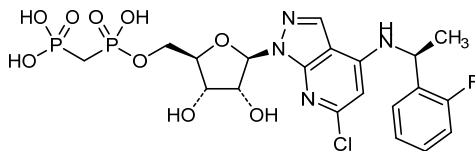
2-chloro-*N*⁶-[(1*S*)-1-(2-fluorophényl)éthyl]-8-aza-1,7-dicarbaadenosine 5'-(trihydrogène-2-carbadiphosphate)
inhibiteur de 5'-nucleotidase (CD73), antineoplasique

quemliclstat

2-cloro-*N*⁶-[(1*S*)-1-(2-fluorofenil)etil]-8-aza-1,7-dicarbaadenosina 5'-(trihidrógeno-2-carbadifosfato)
inhibidor de la 5'-nucleotidasa (CD73), antineoplásico

C₂₀H₂₄ClFN₄O₉P₂

2105904-82-1

**retlirafuspum alfa #**

retlirafusp alfa

human immunoglobulin G4-kappa anti-(human programmed cell death 1 ligand 1, PD-L1) variant (H⁵²>G, G⁵⁷>F, S²²⁷>P, F²³³>A, L²³⁴>A, K⁴⁴⁶>A in the heavy chain and N⁸⁵>E in the light chain), fused at the C-terminus of both heavy chains (1-446) via peptidyl linker ⁴⁴⁷GGGSGGGSGGGSGGGSGGGSG⁴⁶⁷ to human transforming growth factor β type II (TGFR-2) extracellular fragment (20-136, 468-584 in the current sequence), dimer; glycosylated; produced in Chinese hamster ovary (CHO) cells;

immunoglobulin G4-kappa, anti-[*Homo sapiens* programmed cell death 1 ligand 1 (PD-L1, programmed death ligand 1, PDCD1 ligand 1, B7 homolog 1, B7-H1, CD274)], *Homo sapiens* monoclonal antibody, fused at the C-terminus of both heavy chains via a (G₄S)₄G peptide linker (447-467) to fragment 20-136 of the extracellular domain of transforming growth factor β receptor type II (*Homo sapiens* TGF-β receptor 2, TGFR-2, TGFBR2) (468-584);

gamma4 heavy chain *Homo sapiens* (1-446) [*Homo sapiens* IGHV1-46*01; *Homo sapiens* IGHJ4*01; *Homo sapiens* IGHG4*01; VH: 1-119 (H52G G57F); CH1: 120-217; hinge 218-229 (S227P); CH2: 230-339 (F233A L234A); CH3: 340-444; CHS: 445-446 (K446A); CDRKabatH1: SYWMH (31-35); CDRKabatH2: RIGPNSGFTSYNEKFKN (50-66); CDRKabatH3: GGSSYDYFDY (99-108)], (133-218)-disulfide with kappa light chain *Homo sapiens* (1'-218') [*Homo sapiens* IGKV4-1*01; *Homo sapiens* IGKJ2*01; *Homo sapiens* IGKC*01; VL: 1-111 (N85E); CL: 112-218; CDRKabatL1: RASESVSIHGTHLMH (24-38); CDRKabatL2: AASNLES (54-60); CDRKabatL: QQSFEPLT (93-101)]; dimer (225-225":228-228")-bisdisulfide, produced in Chinese hamster ovary (CHO) cells, glycoform alfa

immunomodulator, antineoplastic

retlirafusp alfa

immunoglobuline G4-kappa humaine anti-(ligand 1 humain de mort cellulaire programmée 1, PD-L1) variant (H⁵²>G, G⁵⁷>F, S²²⁷>P, F²³³>A, L²³⁴>A, K⁴⁴⁶>A dans la chaîne lourde et N⁸⁵>E dans la chaîne légère), fusionné à la partie C-terminale des deux chaînes lourdes (1-446) via le linker peptidique ⁴⁴⁷GGGSGGGSGGGSGGGSGGGSG⁴⁶⁷ au fragment extracellulaire (20-136, 468-584 dans la séquence actuelle) du récepteur de type II du facteur β de croissance transformant humain (TGFR-2), dimère; glycosylé; produit dans des cellules ovariennes de hamster chinois (CHO);

immunoglobuline G4-kappa, anti-[ligand 1 de mort cellulaire programmée 1 d'*Homo sapiens* (PD-L1, ligand 1 de PDCD1, homologue 1 de B7, B7-H1, CD274)], anticorps monoclonal d'*Homo sapiens*, fusionnée à la partie C-terminale des deux chaînes lourdes via un linker peptidique (G₄S)₄G (447-467) au fragment 20-136 du domaine extracellulaire du récepteur de type II du facteur β de croissance transformant (récepteur 2 de TGF-β d'*Homo sapiens*, TGFR-2, TGFBR2) (468-584); chaîne lourde gamma4 d'*Homo sapiens* (1-446) [*Homo sapiens* IGHV1-46*01; *Homo sapiens* IGHJ4*01; *Homo sapiens* IGHG4*01; VH: 1-119 (H52G G57F); CH1: 120-217; charnière 218-229 (S227P); CH2: 230-339 (F233A L234A); CH3: 340-444; CHS: 445-446 (K446A); CDRKabatH1: SYWMH (31-35); CDRKabatH2: RIGPNSGFTSYNEKFKN (50-66); CDRKabatH3: GGSSYDYFDY (99-108)], (133-218')-disulfure avec la chaîne légère kappa d'*Homo sapiens* (1'-218') [*Homo sapiens* IGKV4-1*01; *Homo sapiens* IGKJ2*01; *Homo sapiens* IGKC*01; VL: 1-111 (N85E); CL: 112-218; CDRKabatL1: RASESVSIHGTHLMH (24-38); CDRKabatL2: AASNLES (54-60); CDRKabatL: QQSFEPLT (93-101)]; dimère (225-225":228-228")-bisdisulfure, produite dans des cellules ovariennes de hamster chinois (CHO), glycoforme alfa
immunomodulateur, antinéoplasique

retirafusp alfa

immunoglobulina G4-kappa humana anti-(muerte celularprogramada 1 humana ligando 1, PD-L1) variante (H⁶²>G, G⁵⁷>F, S²²⁷>P, F²³³>A, L²³⁴>A, K⁴⁴⁶>A en la cadena pesada y N⁸⁵>E en la cadena ligera), fusionado al C-terminal de ambas cadenas pesadas (1-446) a través de un enlace peptidil ⁴⁴⁷GGGGSGGGSGGGSGGGGGSG⁴⁶⁷ al factor de crecimiento transformante β tipo II humano (TGFR-2) fragmento extracelular (20-136, 468-584 en la secuencia actual), dímero; glicosilado; producido en células ováricas de hámster chino (CHO);
immunoglobulina G4-kappa, anti-[*Homo sapiens* ligando 1 de muerte programada (PD-L1, ligando 1 de PDCD1, homólogo 1 de B7, B7-H1, CD274)], anticuerpo monoclonal *Homo sapiens*, fusionado en los residuos C-terminales de ambas cadenas pesadas a través de un péptido conector (G₄S)₄G (447-467) con el fragmento 20-136 del dominio extracelular del receptor de tipo II del factor β de crecimiento transformante (receptor 2 de TGF-β de *Homo sapiens*, TGFR-2, TGFBR2) (468-584); cadena pesada gamma4 *Homo sapiens* (1-446) [*Homo sapiens* IGHV1-46*01; *Homo sapiens* IGHJ4*01; *Homo sapiens* IGHG4*01; VH: 1-119 (H52G G57F); CH1: 120-217; hinge 218-229 (S227P); CH2: 230-339 (F233A L234A); CH3: 340-444; CHS: 445-446 (K446A); CDRKabatH1: SYWMH (31-35); CDRKabatH2: RIGPNSGFTSYNEKFKN (50-66); CDRKabatH3: GGSSYDYFDY (99-108)], (133-218')-disulfuro con la cadena ligera kappa *Homo sapiens* (1'-214') [*Homo sapiens* IGKV4-1*01; *Homo sapiens* IGKJ2*01; *Homo sapiens* IGKC*01; VL: 1-111 (N85E); CL: 112-218; CDRKabatL1: RASESVSIHGTHLMH (24-38); CDRKabatL2: AASNLES (54-60); CDRKabatL: QQSFEPLT (93-101)];dímero (225-225":228-228")-bisdisulfuro, producido en células ováricas de hámsters chinos (CHO), glicofoma alfa
immunomodulador, antineoplásico

2395839-91-3

Heavy chain / Chaîne lourde / Cadena pesada	
QVQLVQSGAE VPKPGASVKV SCRASGITFT SYMMHWVQA PGQGLEWMGR	50
IGNSGSETY MEKFRKRVIM TRDISISTVY MELSLRSED TAVFYCARGG	100
SSYDYFDYNG QGTTVTYSSA STKGPSVFLP APCSRSTSES TAALGLVKD	150
YFPEPVTVSW NSGALTSVGH TFPVLQSSG LYSLSVVTV PSSLSGKTXY	200
TCNVDPKFSN TKVDKRVESK YGPPCPCEPA PEAGGGSVVF LFPPPKPDTL	250
MISRTPEVTC VVVDVSEQEP EVQFNWVVDG VEVHNAKTP REEQFNSTYR	300
VVSVLTVLHQ DWLNGKEYKC KVSNGKLPS IEKTIKAKG QPREPQVYTL	350
PSPQEMTRN QVSLTCLVKG FYPSDIAVEH ESNQGPENNY KTFPPVLDS	400
GSFFLYSRLT VDKSRWQEN VFSCSMVHEA LHNHYTKSL SLSLGAGGGG	450
SGGGGSGGGG SGGGGSGGAV KFPQLCKFD VRFSTCDNQK SCMSNCSITS	500
ICEKPEVVCV AVWRKNDENI TLETVCHDEK LPYHDFILED AASPCKIMKE	550
KKKPGETFFM CSCSSECDND NIIFSEEYNT SNPD	584
Light chain / Chaîne légère / Cadena ligera	
DIVLTQSPAS LAVSPGQRAT ITCRASEVSV IHGTHLMHWY QQKPGPPKPL	50
LIYAASNLES GVPARFSGSG SGTDFTLTIN PVEAEDTANY YCQSFEDPL	100
TFGGGTKLEI KRTVAAPSVF IFPPSDQLK SGTASVCLL NNFYPREAKV	150
QWKVDNALQS GNSQESVTEQ DSKDSTYSLS STLTLSKADY EKHKVYACEV	200
THQGLSSPVT KSFNRGEC	218

Mutation sites / Sites de mutation / Posiciones de mutación
H52>^S G57>^E S227>^E F233>^D L234>^D K446>^D N85>^E
H52>^S G57>^E S227>^E F233>^D L234>^D K446>^D N85>^E

Post-translational modifications / Modifications post-traduccionnelles / Modificaciones postraduccionales
Disulfide bridges location / Position des ponts disulfure / Posiciones de los puentes disulfuro
Intra-H 22-96 146-202 260-320 366-424
22"-96" 146"-202" 260"-320" 366"-424"
Intra-PDL 476-509 479-496 486-492 502-526 546-561 563-568
476"-509" 479"-496" 486"-492" 502"-526" 546"-561" 563"-568"
Intra-L 23-92 138-198
23"-92" 138"-198"
Inter-H-L 133-218 133"-218"
Inter-H-H 225-225" 228-228"

Glycosylation sites / Sites de glycosylation / Posiciones de glicosilación
N296, N495, N519, N579,
N296", N495", N519", N579"

N-terminal pyroglutamylation / Pyroglutamylation / Piroglutaminylation
Q1, Q1"> pE (5-oxo-L-prolyl, pyroglutamylation)

ropanicantum

ropanicant

(1*R*,3*S*,5*R*)-3-[[6-chloropyridin-3-yl]oxy]methyl]-2-azabicyclo[3.1.0]hexane
nicotinic alpha-4-beta-2 receptor antagonist

ropanicant

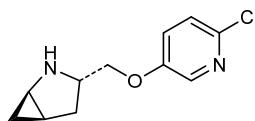
(1*R*,3*S*,5*R*)-3-[[6-chloropyridin-3-yl]oxy]méthyl]-2-azabicyclo[3.1.0]hexane
antagoniste du récepteur nicotinique à l'acétylcholine type alpha 4 bêta 2

ropanicant

(1*R*,3*S*,5*R*)-3-[[6-cloropiridin-3-il]oxi]metil]-2-azabicyclo[3.1.0]hexano
agonista del receptor nicotínico de la acetilcolina tipo alfa 4 beta 2

C₁₁H₁₃ClN₂O

2414674-70-5

**runimotamabum #**

runimotamab

immunoglobulin G1-kappa, anti-[*Homo sapiens* ERBB2 (epidermal growth factor receptor 2, receptor tyrosine protein kinase erbB-2, EGFR2, HER2, HER-2, p185cerbB2, NEU, CD340)] and anti-[*Homo sapiens* CD3E (CD3 epsilon, Leu-4)], monoclonal antibody, bispecific;

- gamma1 heavy chain anti-ERBB2 (1-450) [VH anti-ERBB2 (*Homo sapiens* IGHV3-66*01 (81.6%) -(IGHD) -IGHJ4*01 (100%)) CDR-IMGT [8.8.13] (26-33.51-58.97-109) (1-120) -*Homo sapiens* IGHG1*03v, G1m3>G1m17, nG1m1, G1v30 CH2 G84.4, G1v32 CH3 W22 (CH1 R120>K (217) (121-218), hinge 1-15 (219-233), CH2 N84.4>G (300) (234-343), CH3 E12 (359), M14 (361), T22>W (369) (344-448), CHS (449-450)) (121-450)], (223-214')-disulfide with kappa light chain anti-ERBB2 (1'-214') [V-KAPPA anti-ERBB2 (*Homo sapiens* IGKV1-39*01 (86.3%) -IGKJ1*01 (100%)) CDR-IMGT [6.3.9] (27-32.50-52.89-97) (1'-107') -*Homo sapiens* IGKC*01 (100%), Km3 A45.1 (153), V101 (191) (108'-214')];
- gamma1 heavy chain anti-CD3E (1"-449") [VH anti-CD3E (*Mus musculus* IGHV1-66*01 (82.7%) -(IGHD) -IGHJ2*01 (86.7%))/*Homo sapiens* anti-CD3E IGHV1-3*01 (82.7%) -(IGHD) -IGHJ4*01 (100%)) CDR-IMGT [8.8.12] (26-33.51-58.97-108) (1"-119") -*Homo sapiens* IGHG1*03v, G1m3>G1m17, nG1m1, G1v30 CH2 G84.4, G1v33 CH3 S22, A24, V86 (CH1 R120>K (216) (120"-217"), hinge 1-15 (218"-232"), CH2 N84.4>G (299) (233-342), CH3 E12 (358), M14 (360), T22>S (368), L24>A (370), Y86>V (409) (343"-447"), CHS (448"-449")) (120"-449")], (222"-219"")-disulfide with kappa light chain anti-CD3E (1""-219"" [V-KAPPA anti-CD3E (*Homo sapiens* IGKV4-1*01 (91.8%) -IGKJ1*01 (100%)) CDR-IMGT [12.3.8] (27-38.56-58.95-102) (1""-112"" -*Homo sapiens* IGKC*01 (100%), Km3 A45.1 (158), V101 (196) (113""-219"")]; dimer (229-228":232-231")-bisdisulfide, produced in Chinese hamster ovary (CHO) cells, non-glycosylated
immunomodulator, antineoplastic
- runimotamab immunoglobuline G1-kappa, anti-[*Homo sapiens* ERBB2 (récepteur 2 du facteur de croissance épidermique, récepteur tyrosine-protéine kinase erbB2, EGFR2, HER2, HER-2, p185c-erbB2, NEU, CD340)] et anti-[*Homo sapiens* CD3E (CD3 epsilon, Leu-4)], anticorps monoclonal, bispécifique; chaîne lourde gamma1 anti-ERBB2 (1-450) [VH anti-ERBB2 (*Homo sapiens* IGHV3-66*01 (81.6%) -(IGHD) -IGHJ4*01 (100%)) CDR-IMGT [8.8.13] (26-33.51-58.97-109) (1-120) -*Homo sapiens* IGHG1*03v, G1m3>G1m17, nG1m1, G1v30 CH2 G84.4, G1v32 CH3 W22 (CH1 R120>K (217) (121-218), charnière1-15 (219-233), CH2 N84.4>G (300) (234-343), CH3 E12 (359), M14 (361), T22>W (369), (344-448), CHS (449-450)) (121-450)], (223-214')-disulfure avec la chaîne légère kappa anti-ERBB2 (1'-214') [V-KAPPA anti-ERBB2 (*Homo sapiens* IGKV1-39*01 (86.3%) -IGKJ1*01 (100%)) CDR-IMGT [6.3.9] (27-32.50-52.89-97) (1'-107') -*Homo sapiens* IGKC*01 (100%), Km3 A45.1 (153), V101 (191) (108'-214')]; chaîne lourde gamma1 anti-CD3E (1"-449") [VH anti-CD3E (*Mus musculus* IGHV1-66*01 (82.7%) -(IGHD) -IGHJ2*01 (86.7%))/*Homo sapiens* IGHV1-3*01 (82.7%) -(IGHD) -IGHJ4*01 (100%)) CDR-IMGT [8.8.12] (26-33.51-58.97-108) (1"-119") -*Homo sapiens* IGHG1*03v, G1m3>G1m17, nG1m1, G1v30 CH2 G84.4, G1v33 CH3 S22, A24, V86 (CH1 R120>K (216) (120"-217"), charnière1-15 (218"-232"), CH2 N84.4>G (299) (233-342), CH3 E12 (358), M14 (360), T22>S (368), L24>A (370), Y86>V (409) (343"-447"), CHS (448"-449")) (120"-449")], (222"-219"")-disulfure avec la chaîne légère kappa anti-CD3E (1""-219"" [V-KAPPA anti-CD3E (*Homo sapiens* IGKV4-1*01 (91.8%) -IGKJ1*01 (100%)) CDR-IMGT [12.3.8] (27-38.56-58.95-102) (1""-112"" -*Homo sapiens* IGKC*01 (100%), Km3 A45.1 (158), V101 (196) (113""-219"")]; dimère (229-228":232-231")-bisdisulfure, produit dans des cellules ovariennes de hamster chinois (CHO), non-glycosylé
immunomodulateur, antinéoplasique
- runimotamab inmunoglobulina G1-kappa, anti-[*Homo sapiens* ERBB2 (receptor 2 del factor de crecimiento epidérmico, receptor tirosina-proteína kinasa erbB2, EGFR2, HER2, HER-2, p185c-erbB2, NEU, CD340)] y anti-[*Homo sapiens* CD3E (CD3 épsilon, Leu-4)], anticuerpo monoclonal, biespecifico;

cadena pesada gamma1 anti-ERBB2 (1-450) [VH anti-ERBB2 (*Homo sapiens* IGHV3-66*01 (81.6%) -(IGHD) -IGHJ4*01 (100%)) CDR-IMGT [8.8.13] (26-33.51-58.97-109) (1-120) -*Homo sapiens* IGHG1*03v, G1m3>G1m17, nG1m1, G1v30 CH2 G84.4, G1v32 CH3 W22 (CH1 R120>K (217) (121-218), bisagra 1-15 (219-233), CH2 N84.4>G (300) (234-343), CH3 E12 (359), M14 (361), T22>W (369), (344-448), CHS (449-450)) (121-450)], (223-214')-disulfuro con la cadena ligera kappa anti-ERBB2 (1'-214') [V-KAPPA anti-ERBB2 (*Homo sapiens* IGKV1-39*01 (86.3%) -IGKJ1*01 (100%)) CDR-IMGT [6.3.9] (27-32.50-52.89-97) (1'-107') -*Homo sapiens* IGKC*01 (100%), Km3 A45.1 (153), V101 (191) (108'-214')];

cadena pesada gamma1 anti-CD3E (1"-449") [VH anti-CD3E (*Mus musculus* IGHV1-66*01 (82.7%) -(IGHD) -IGHJ2*01 (86.7%)/*Homo sapiens* IGHV1-3*01(82.7%) -(IGHD) -IGHJ4*01 (100%)) CDR-IMGT [8.8.12] (26-33.51-58.97-108) (1"-119") -*Homo sapiens* IGHG1*03v, G1m3>G1m17, nG1m1, G1v30 CH2 G84.4, G1v33 CH3 S22, A24, V86 (CH1 R120>K (216) (120"-217"'), bisagra 1-15 (218"-232"'), CH2 N84.4>G (299) (233-342), CH3 E12 (358), M14 (360), T22>S (368), L24>A (370), Y86>V (409) (343"-447"'), CHS (448"-449"')], (222"-219"')-disulfuro con la cadena ligera kappa anti-CD3E (1"'-219"') [V-KAPPA anti-CD3E (*Homo sapiens* IGKV4-1*01 (91.8%) -IGKJ1*01 (100%)) CDR-IMGT [12.3.8] (27-38.56-58.95-102) (1"'-112"') -*Homo sapiens* IGKC*01 (100%), Km3 A45.1 (158), V101 (196) (113"'-219"')]; dimer (229-228":232-231")-bidisulfuro, producido en las células ováricas de hámster chino (CHO), no glicosilado

inmunomodulador, antineoplásico

2361325-98-4

Heavy chain / Chaîne lourde / Cadena pesada (anti-ERBB2)

```
EVQLVESGGG LVQPGGSLRL SCAASGFNIK DTYIHWVRQA PGKLEWVAR 50
IYPTNGYTRY ADSVKGKRFIT SADTSKNTAY LQMNLSRAED TAVYYCSRWG 100
GDGFYAMDYWG QGQTLVTVSS ASTRGPSVFP LAPSSKSTSG GTAALGCLVK 150
DYFPEPVTVS WNSGALTSVGF HTFPAVLQSS GLYSLSSVVT VPSSSLGTQT 200
YICNVNHPKS NTKVDKKEVP KSCDKTHTCP PCPAPELLGGP SVFLFPPKPK 250
KDTLMSRTP EVTGVVVDVS HEDPEVKFNW YVDGVEVHNA KTKPREEQYG 300
STYRVVSVLT VHQDQLNGK EYKCKVSNKA LPAPIEKTI S KAKGQPREPQ 350
VYTLPPSREE MTKNQVSLWC LVKGFYPSDI AVEWESNGQP ENNYKTTTPV 400
LDSGGSFFLY SKLTVDKSRW QQGNVFCSCV MHEALHNHYT QKSLSLSPGK 450
```

Heavy chain / Chaîne lourde / Cadena pesada (anti-CD3E)

```
EVQLVQSGAE VVKPGASVKV SCKASGYTFT NYYIHWVRQA FGQGLEWIGW 50
IYPGDGNTRY NEKFKGRATL TADTSTSTAY LELSSLSRSD TAVYYCARD 100
YSNYFDYWG QGTLVTVSSA STKGPSVFPPL APSSKSTSG TAALGCLVKD 150
YFPEPVTVSW NSGALTSVGF TFPVAVLQSSG LYSLSSVVT VPSSSLGTQTY 200
ICNVNHPKSN TKVDKKEVEK SCDKTHTCPP CPAPELLGGP SVFLFPPKPK 250
DTLMSRTP E VTCVVVDVSH EDPEVKFNW YVDGVEVHNA KTKPREEQYG 300
TYRVVSVLTV LHQDQLNGKE YKCKVSNKAL PAPIEKTI S AKGQPREPQV 350
YTLPPSREEM TKNQVLSLCA VKGFYPSDIA VEWESNGQPE NNYKTTTPVL 400
DSGGSFFLVS KLTVDKSRW QQGNVFCSCVM HEALHNHYT QKSLSLSPGK 449
```

Light chain / Chaîne légère / Cadena ligera (anti-ERBB2)

```
DIQMTQSPSS LSAVGDRTV ITCRASQDVN TAVAWYQQKPK GKAPKLLIYS 50
ASFLYSGVPS RFGSGRSGTD FTLTISLQPE EDFATYYCQQ HYTTPPTFGQ 100
GTRKVEIKRTV AAFPSVFIKPP SDEQLKSGTA SVVCLLNNFY PREAKVQWKV 150
DNALQSGNSQ ESVTEQDSKD STYSLSLTIT LSKADYKHK YVACEVTHQG 200
LSSPVTKSFN RGEK 214
```

Light chain / Chaîne légère / Cadena ligera (anti-CD3E)

```
DIVMTQSPDS LAVSLGERAT INCKSSQLL NSRTRKNYLA WYQKPGQPP 50
KLLIYWASTR ESGVDRFSG SSGSDFTLIT ISSLQAEDVA VYCTQSFIL 100
RTFGQGTQVE IKRTVAAPSV FIFPPSDEQL KSGTASVVCV LNNFYPREAK 150
VQWKVDNALQ SGNSQESVTE QDSKDSYSL SSTLTLSKAD YEKHKVYACE 200
VTHQGLSSPV TKSFNREGC 219
```

Post-translational modifications

Intra-H bridges location / Position des ponts disulfure / Posiciones de los puentes disulfuro

Disulfide (C23-C104) 22-96 147-203 264-324 370-428
22"-96" 146"-202" 263"-323" 369"-427"

Intra-L (C23-C104) 23'-88" 134'-194'
23"'-94" 139"'-199"

Inter-H-L (h 5-CL 126) 223-214' 222"-219"

Inter-H-H (h 11, h 14) 229-228" 232-231"

No N-glycosylation sites / pas de sites de N-glycosylation / ningún posición de N-glicosilación

CH2 N84.4>G:

300, 299"

Aglycosylated

C-terminal lysine clipping / Coupeure de la lysine C-terminale / Recorte de lisina C-terminal

HCHSK2:

450, 449"

sapablursenum

sapablursen

*all-P-ambo-5'-O-(28-[(2-acetamido-2-deoxy-β-D-galactopyranosyl)oxy]-16,16-bis[[3-({6-[(2-acetamido-2-deoxy-β-D-galactopyranosyl)oxy]hexyl)amino]-3-oxopropoxy]methyl]-1-hydroxy-1,10,14,21-tetraoxo-2,18-dioxa-9,15,22-triaza-1λ⁵-phosphaoctacosan-1-yl)-2'-O-(2-methoxyethyl)-5-methyl-*P*-thiocytidylyl-(3'→5')-2'-O-(2-methoxyethyl)-5-methyluridylyl-(3'→5')-2'-O-(2-methoxyethyl)-5-methyluridylyl-(3'→5')-2'-O-(2-methoxyethyl)adenylyl-(3'→5')-*P*-thiothymidylyl-(3'→5')-*P*-thiothymidylyl-(3'→5')-2'-deoxy-5-methyl-*P*-thiocytidylyl-(3'→5')-2'-deoxy-5-methyl-*P*-thiocytidylyl-(3'→5')-2'-deoxy-*P*-thioadenylyl-(3'→5')-2'-deoxy-*P*-thioadenylyl-(3'→5')-2'-deoxy-*P*-thioguanylyl-(3'→5')-2'-deoxy-*P*-thioguanylyl-(3'→5')-2'-deoxy-*P*-thioguanylyl-(3'→5')-2'-O-(2-methoxyethyl)-5-methylcytidylyl-(3'→5')-2'-O-(2-methoxyethyl)adenylyl-(3'→5')-2'-O-(2-methoxyethyl)-*P*-thioguanylyl-(3'→5')-2'-O-(2-methoxyethyl)-5-methyl-*P*-thiocytidylyl-(3'→5')-2'-O-(2-methoxyethyl)-5-methyluridine*

transmembrane protease serine 6 synthesis reducer

sapablursen

*tout-P-ambo-5'-O-(28-[(2-acétamido-2-désoxy-β-D-galactopyranosyl)oxy]-16,16-bis[[3-({6-[(2-acétamido-2-désoxy-β-D-galactopyranosyl)oxy]hexyl)amino]-3-oxopropoxy]méthyl]-1-hydroxy-1,10,14,21-tétraoxo-2,18-dioxa-9,15,22-triaza-1λ⁵-phosphaoctacosan-1-yl)-2'-O-(2-méthoxyéthyl)-5-méthyl-*P*-thiocytidylyl-(3'→5')-2'-O-(2-méthoxyéthyl)-5-méthyluridylyl-(3'→5')-2'-O-(2-méthoxyéthyl)-5-méthyluridylyl-(3'→5')-2'-O-(2-méthoxyéthyl)adénylyl-(3'→5')-*P*-thiothymidylyl-(3'→5')-*P*-thiothymidylyl-(3'→5')-2'-désoxy-5-méthyl-*P*-thiocytidylyl-(3'→5')-2'-désoxy-5-méthyl-*P*-thiocytidylyl-(3'→5')-2'-désoxy-*P*-thioadénylyl-(3'→5')-2'-désoxy-*P*-thioadénylyl-(3'→5')-2'-désoxy-*P*-thioguanylyl-(3'→5')-2'-désoxy-*P*-thioguanylyl-(3'→5')-2'-désoxy-*P*-thioguanylyl-(3'→5')-2'-O-(2-méthoxyéthyl)-5-méthylcytidylyl-(3'→5')-2'-O-(2-méthoxyéthyl)adénylyl-(3'→5')-2'-O-(2-méthoxyéthyl)-*P*-thioguanylyl-(3'→5')-2'-O-(2-méthoxyéthyl)-5-méthyl-*P*-thiocytidylyl-(3'→5')-2'-O-(2-méthoxyéthyl)-5-méthyluridine*

réducteur de la synthèse de la protéase transmembranaire à sérine 6

sapablursén

*todo-P-ambo-5'-O-(28-[(2-acetamido-2-desoxi-β-D-galactopiranosil)oxi]-16,16-bis[[3-({6-[(2-acetamido-2-desoxi-β-D-galactopiranosil)oxi]hexil)amino]-3-oxopropoxi]metil]-1-hidroxi-1,10,14,21-tetraoxo-2,18-dioxa-9,15,22-triaza-1λ⁵-fosfaoctacosan-1-il)-5-metil-2'-O-(2-metoxietil)-*P*-tiocitidilil-(3'→5')-5-metil-2'-O-(2-metoxietil)uridilil-(3'→5')-5-metil-2'-O-(2-metoxietil)uridilil-(3'→5')-5-metil-2'-O-(2-metoxietil)adenilil-(3'→5')-*P*-tiotimidilil-(3'→5')-*P*-tiotimidilil-(3'→5')-2'-desoxi-5-metil-*P*-tiocitidilil-(3'→5')-2'-desoxi-5-metil-*P*-tiocitidilil-(3'→5')-2'-desoxi-*P*-tioadenilil-(3'→5')-2'-desoxi-*P*-tioadenilil-(3'→5')-2'-desoxi-*P*-tioadenilil-(3'→5')-2'-desoxi-*P*-tioguanilil-(3'→5')-2'-desoxi-*P*-tioguanilil-(3'→5')-5-metil-2'-O-(2-metoxietil)citidilil-(3'→5')-2'-O-(2-metoxietil)adenilil-(3'→5')-2'-O-(2-metoxietil)-*P*-tioguanilil-(3'→5')-5-metil-2'-O-(2-metoxietil)uridina*

reductor de la síntesis de la proteasa transmembranaria a la serina 6

C₂₉₆H₄₃₆N₈₀O₁₅₅P₂₀S₁₃

2273007-95-5

(3'-5') R1-C=U-U-U-A-d(T=T=C=C=A=A=A=G=G=G=C)-A-G=C=U

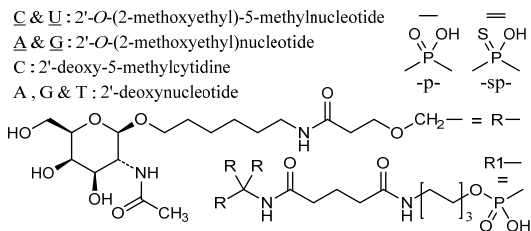
Legend:

C & U : 2'-O-(2-methoxyethyl)-5-methylnucleotide

A & G : 2'-O-(2-methoxyethyl)nucleotide

C : 2'-deoxy-5-methylcytidine

A, G & T : 2'-deoxynucleotide

**sesiclenegenum cosaparvovecum #**

sesiclenegene cosaparvovec

A non-replicating self-complementary adeno-associated virus (scAAV) vector encoding human ceroid-lipofuscinosis neuronal protein 6.

A recombinant non-replicating self-complementary adeno-associated virus serotype 9 (scAAV9) vector, encoding human ceroid-lipofuscinosis neuronal protein 6 (CLN6), under the control of a hybrid CMV enhancer/chicken-beta-actin promoter and a bovine growth hormone (bGH) polyA sequence, with an SV40 intron 5' to the transgene, and flanked by AAV2 inverted terminal repeats (ITRs). The vector genome is a head-to-head, self-complementary dimer, with the vector genome cassette located 5' of the mutated internal inverted terminal repeat (Δ -ITR) in a reverse complementary orientation and 3' of the Δ -ITR in a forward orientation.

gene therapy (neuronal ceroid lipofuscinosis)

sésiclénégène cosaparvovec

Un vecteur viral adéno-associé auto-complémentaire (scAAV) non-répliquant codant la protéine neuronale céroïde-lipofuscine 6 humaine.

Un vecteur viral adéno-associé de sérotype 9 auto-complémentaire (scAAV9), recombinant, non-répliquant, codant la protéine neuronale céroïde-lipofuscine 6 (CLN6) humaine, sous le contrôle de l'activateur hybride CMV/promoteur de la bêta-actine de poulet et d'une séquence polyA de l'hormone de croissance bovine (bGH), avec un intron SV40 dans la partie 5' du transgène, et flanquée de répétitions terminales inversées (ITRs) AAV2. Le génome du vecteur est un dimère en tête à tête, auto-complémentaire, avec la cassette génomique du vecteur localisée en 5' des répétitions terminales internes inversées mutées (Δ -ITR) en une orientation complémentaire inverse et en 3' de la Δ -ITR en une orientation en avant.

thérapie génique (céroïde-lipofuscine neuronale)

sesiclenegén cosaparvovec

Un vector de virus adeno-asociado auto complementario (scAAV), no replicativo, que codifica para la proteína 6 de la lipofuscinosis neuronal ceroidea humana.

Un vector de virus adeno-asociado serotipo 9 auto complementario (scAAV9), recombinante, no replicativo, que codifica para la proteína 6 de la lipofuscinosis neuronal ceroidea (CLN6) humana, bajo el control de un híbrido del potenciador de CMV/promotor de la beta actina de pollo y una secuencia polyA de la hormona de crecimiento bovina (bGH), con un intrón de SV40 en 5' del transgén, y flanqueado por las repeticiones terminales invertidas (ITRs) del AAV2. El genoma del vector es un dímero cabeza con cabeza auto complementario, con el casete del genoma del vector localizado 5' de la repetición terminal invertida mutada (Δ -ITR) en una orientación complementaria reversa y 3' de (Δ -ITR) en orientación hacia adelante.

terapia génica (lipofuscinosis ceroide neuronal)

2379806-98-9

sibeprenlimabum #

sibeprenlimab

immunoglobulin G2-kappa, anti-[*Homo sapiens* TNFSF13 (tumor necrosis factor (TNF) superfamily member 13, APRIL, CD256)], humanized monoclonal antibody; gamma2 heavy chain humanized (1-446) [VH (*Homo sapiens*IGHV1-46*01 (85.7%) -(IGHD) -IGHJ4*01 (100%)) CDR-IMGT [8.8.13] (26-33.51-58.97-109) (1-120) -*Homo sapiens*IGHG2*01 (100%), G2m.. CH2 V45.1 (CH1 (121-218), hinge 1-12 (219-230), CH2 V45.1 (281) (231-339), CH3 (340-444), CHS (445-446)) (121-446)], (134-218')-disulfide with kappa light chain humanized (1'-218') [V-KAPPA (*Homo sapiens*IGKV3-15*01 (85.9%) -IGKJ4*01 (100%)) CDR-IMGT [10.3.9] (27-36.54-56.93-101) (1'-111') -*Homo sapiens*IGKC*01 (100%), Km3 A45.1 (157), V101 (195) (112'-218')]; dimer (222-222":223-223":226-226":229-229")-tetrakisdisulfide, produced in a Chinese hamster ovary (CHO)-K1 derived cell line, glycoform alfa *immunomodulator*

sibéprelimab

immunoglobuline G2-kappa, anti-[*Homo sapiens* TNFSF13 (membre 13 de la superfamille du facteur de nécrose tumorale, APRIL, CD256)], anticorps monoclonal humanisé; chaîne lourde gamma2 humanisée (1-446) [VH (*Homo sapiens*IGHV1-46*01 (85.7%) -(IGHD) -IGHJ4*01 (100%)) CDR-IMGT [8.8.13] (26-33.51-58.97-109) (1-120) -*Homo sapiens*IGHG2*01 (100%), G2m.. CH2 V45.1 (CH1 (121-218), charnière 1-12 (219-230), CH2 V45.1 (281) (231-339), CH3 (340-444), CHS (445-446)) (121-446)], (134-218')-disulfure avec la chaîne légère kappa humanisée (1'-218') [V-KAPPA (*Homo sapiens*IGKV3-15*01 (85.9%) -IGKJ4*01 (100%)) CDR-IMGT [10.3.9] (27-36.54-56.93-101) (1'-111') -*Homo sapiens*IGKC*01 (100%), Km3 A45.1 (157), V101 (195) (112'-218')]; dimère (222-222":223-223":226-226":229-229")-tétrakisdisulfure, produite dans une lignée cellulaire dérivée des cellules ovariennes de hamster chinois (CHO)-K1, glycoforme alfa *immunomodulateur*

sibeprenlimab

inmunoglobulina G2-kappa, anti-[*Homo sapiens* TNFSF13 (miembro 13 de la superfamilia del factor de necrosis tumoral, APRIL, CD256)], anticuerpo monoclonal humanizado;
cadena pesada gamma2 humanizada (1-446) [VH (*Homo sapiens* IGHV1-46*01 (85.7%) -(IGHD) - IGHJ4*01 (100%)) CDR-IMGT [8.8.13] (26-33.51-58.97-109) (1-120) -*Homo sapiens* IGHG2*01 (100%), G2m.. CH2 V45.1 (CH1 (121-218), bisagra 1-12 (219-230), CH2 V45.1 (281) (231-339), CH3 (340-444), CHS (445-446)) (121-446)], (134-218')-disulfuro con la cadena ligera kappa humanizada (1'-218') [V-KAPPA (*Homo sapiens* IGKV3-15*01 (85.9%) -IGKJ4*01 (100%)) CDR-IMGT [10.3.9] (27-36.54-56.93-101) (1'-111') -*Homo sapiens* IGKC*01 (100%), Km3 A45.1 (157), V101 (195) (112'-218')]; dímero (222-222":223-223":226-226":229-229")-tetrakisdisulfuro, producido en una línea celular derivada de las células ováricas de hámster chino (CHO)-K1, forma glicosilada alfa *immunomodulador*

2382896-07-1

Heavy chain / Chaîne lourde / Cadena pesada

QVQLVQSGAE VKKPGASVKV SCKASGYTFT DYTIHWVRQA TGGGLEWGMW 50
IYPLRGSINY AQKFGQGRVTM TADKSISTVY MELSSLRSED TAVYFCARHG 100
AYYSNADFYW GQGTLTVTSS ASTKGPSVFP LAPCSRSTSE STAALGLCVK 150
DYFPEPVTVS WNSGALTSKV HTFPAVLQSS GLYSLSSVVT VPSSNFGTQT 200
YTCNVDRKPS NTKVDKTVR KCCVECPPEP APPVAGPSVF LFPPPKKDTL 250
MISRTPFVTC VVVDVSHEDP EVQFNWYVDG VEVHNAKTP REEQFNSTFR 300
VVSVLTVVHQ DWLNGKEYKC KVSNGKLEAP IEKTIKSTKG QPREPQVYTL 350
PPSREEMTKN QVSLTCLVKG FYPSDIAVEW ESNQGPENNY KTTFPMLDSD 400
GSPFLYSKLT VDKSRWQQGN VFSCSVMHFA LHNHYTQKSL SLSPGK 446

Light chain / Chaîne légère / Cadena ligera

EIVMTQSFAT LSVSPGERAT LSCRASEVD NDGIRFLHWY QQKFGQAPRL 50
LIYRASTRAT GIPARFSGSG SRTEFTLTIS SLQSEDFAVY YCQQSNKDPY 100
TFGGGKVELI KRTVAAPSVF IFPPSDEQLK SGTASVVCLL NNFYPREAKV 150
QWKVDNALQS GNSQESVTEQ DSKDSTYSLS STLTLSKADY EKHKVYACEV 200
THQGLSSPVT KSFNRGEC 218

Post-translational modifications

Disulfide bridges location / Position des ponts disulfure / Posiciones de los puentes disulfuro

Intra-H (C23-C104) 22-96 147-203 260-320 366-424
22"-96" 147"-203" 260"-320" 366"-424"

Intra-L (C23-C104) 23'-92' 138'-198'
23"-92'" 138"-198'"

Inter-H-L (CH1 10-CL 126) 134-218' 134"-218"

Inter-H-H (h 4, h 5, h 8, h 11) 222-222" 223-223" 226-226" 229-229"

N-terminal glutaminyl cyclization to pyroglutamyl (pE, 5-oxoprolyl)

H VH Q1:
1, 1"

N-glycosylation sites / Sites de N-glycosylation / Posiciones de N-glicosilación

H CH2 N84.4:
296, 296"

Fucosylated complex bi-antennary CHO-type glycans / glycanes de type CHO bi-antennaires complexes fucosylés / glicanos de tipo CHO biantenarijos complejos fucosilados.

C-terminal lysine clipping / Coupeure de la lysine C-terminale / Recorte de lisina C-terminal

H CHS K2:
446, 446"

simpiniclinum
simpinicline

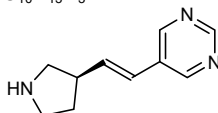
5-{{(1E)-2-[(3R)-pyrrolidin-3-yl]ethen-1-yl}pyrimidine
nicotinic acetylcholine receptor (nAChR) agonist

simpinicline

5-{{(1E)-2-[(3R)-pyrrolidin-3-yl]éthén-1-yl}pyrimidine
agoniste du récepteur nicotinique à l'acétylcholine

simpiniclina

5-{{(1E)-2-[(3R)-pirrolidin-3-il]eten-1-il}pirimidina
agonista del receptor nicotínico de la acetilcolina



sirelretigenum suboparovecum #
sirelretigene suboparovec

A non-replicating self-complementary adeno-associated virus serotype 8 (scAAV8) vector, encoding human cellular retinaldehyde-binding protein 1 (RLBP1).

A recombinant non-replicating self-complementary adeno-associated virus serotype 8 (scAAV8) vector, encoding human cellular retinaldehyde-binding protein 1 (RLBP1) under the control of the retinaldehyde-binding protein 1 promoter (pRLBP1) and SV40 polyadenylation (polyA) sequence. The vector genome is a head-to-head, self-complementary dimer, with the vector genome cassette located 5' of the mutated internal inverted terminal repeat (Δ -ITR) in a reverse complementary orientation and 3' of the Δ -ITR in a forward orientation.

gene therapy (retinal dystrophy)

sirelretigène suboparovec

Un vecteur du virus adéno-associé de sérotype 8 auto-complémentaire (scAAV8), non-répliquant, codant la protéine 1 cellulaire humaine liée au rétinaldéhyde (RLBP1).

Un vecteur du virus adéno-associé de sérotype 8 auto-complémentaire (scAAV8) recombinant, non-répliquant codant la protéine 1 cellulaire humaine liée au rétinaldéhyde (RLBP1) sous le contrôle du promoteur de la protéine 1 liée au rétinaldéhyde (pRLBP1) et de la séquence polyadénylée (polyA) SV40. Le génome du vecteur est un dimère en tête à tête, auto-complémentaire, avec la cassette génomique du vecteur localisée en 5' des répétitions terminales internes inversées mutées (Δ -ITR) en une orientation complémentaire inverse et en 3' de la Δ -ITR en une orientation en avant.

thérapie génique (dystrophie rétinienne)

sirelretigén suboparovec

Un vector de virus adeno-asociado serotipo 8 auto complementario (scAAV8), no replicativo, que codifica para la proteina de unión a retinaldehído celular 1 (RLBP1) humana.

Un vector de virus adeno-asociado serotipo 8 auto complementario (scAAV8) recombinante, no replicativo, que codifica para la proteina de unión a retinaldehído celular 1 (RLBP1) humana bajo el control del promotor de la proteina de unión a retinaldehído 1 (pRLBP1) y la secuencia de poliadenilación (polyA) de SV40. El genoma del vector es un dímero cabeza con cabeza auto complementario, con el casete del genoma del vector localizado 5' de la repetición terminal invertida mutada (Δ -ITR) en una orientación complementaria reversa y 3' de (Δ -ITR) en orientación hacia delante.

terapia génica (distrofia retiniana)

sudubrilimabum #

sudubrilimab

immunoglobulin G1-kappa, anti-[*Homo sapiens* CD274 (programmed death ligand 1, PDL1, PD-L1, B7 homolog 1, B7H1)], monoclonal antibody; gamma1 heavy chain (1-447) [VH (*Homo sapiens*IGHV3-23*04 (85.7%) -(IGHD) -IGHJ4*01 (100%)) CDR-IMGT [8.8.11] (26-33.51-58.97-107) (1-118) - *Homo sapiens*IGHG1*03v G1m3>G1m17, nG1m1 (CH1 R120>K (215) (119-216), hinge 1-15 (217-231), CH2 N84.4>A (298) (232-341), CH3 E12 (357), M14 (359) (342-446), CHS K>del (447)) (119-447)], (221-214')-disulfide with kappa light chain (1'-214') [V-KAPPA (*Homo sapiens*IGKV1-12*01 (90.0%) -IGKJ1*01 (100%)) CDR-IMGT [6.3.9] (27-32.50-52.89-97) (1'-107') -*Homo sapiens*IGKC*01 (100%), Km3 A45.1 (153), V101 (191) (108'-214')]; dimer (227-227":230-230")-bisdisulfide, produced in a Chinese hamster ovary (CHO)-K1 cell line, non-glycosylated *immunomodulator, antineoplastic*

sudubrilimab

immunoglobuline G1-kappa, anti-[*Homo sapiens* CD274 (ligand 1 de mort programmée, PDL1, PD-L1, homologue 1 de B7, B7H1)], anticorps monoclonal; chaîne lourde gamma1 (1-447) [VH (*Homo sapiens*IGHV3-23*04 (85.7%) -(IGHD) -IGHJ4*01 (100%)) CDR-IMGT [8.8.11] (26-33.51-58.97-107) (1-118) - *Homo sapiens*IGHG1*03v G1m3>G1m17, nG1m1 (CH1 R120>K (215) (119-216), charnière 1-15 (217-231), CH2 N84.4>A (298) (232-341), CH3 E12 (357), M14 (359) (342-446), CHS K>del (447)) (119-447)], (221-214')-disulfure avec la chaîne légère kappa (1'-214') [V-KAPPA (*Homo sapiens*IGKV1-12*01 (90.0%) -IGKJ1*01 (100%)) CDR-IMGT [6.3.9] (27-32.50-52.89-97) (1'-107') -*Homo sapiens*IGKC*01 (100%), Km3 A45.1 (153), V101 (191) (108'-214')]; dimère (227-227":230-230")-bisdisulfure, produit dans des cellules ovariennes de hamster chinois (CHO) lignée cellulaire CHO-K1, non-glycosylé *immunomodulateur, antinéoplasique*

sudubrilimab

immunoglobulina G1-kappa, anti-[*Homo sapiens* CD274 (ligando 1 de muerte programada, PDL1, PD-L1, homólogo 1 de B7, B7H1)], anticuerpo monoclonal; cadena pesada gamma1 (1-447) [VH (*Homo sapiens*IGHV3-23*04 (85.7%) -(IGHD) -IGHJ4*01 (100%)) CDR-IMGT [8.8.11] (26-33.51-58.97-107) (1-118) - *Homo sapiens*IGHG1*03v G1m3>G1m17, nG1m1 (CH1 R120>K (215) (119-216), bisagra 1-15 (217-231), CH2 N84.4>A (298) (232-341), CH3 E12 (357), M14 (359) (342-446), CHS K>del (447)) (119-447)], (221-214')-disulfuro con la cadena ligera kappa (1'-214') [V-KAPPA (*Homo sapiens*IGKV1-12*01 (90.0%) -IGKJ1*01 (100%)) CDR-IMGT [6.3.9] (27-32.50-52.89-97) (1'-107') -*Homo sapiens*IGKC*01 (100%), Km3 A45.1 (153), V101 (191) (108'-214')]; dímero (227-227":230-230")-bisdisulfuro, producido en las células ováricas de hamster chino (CHO) línea celular CHO-K1, no glicosilado *immunomodulador, antineoplásico*

2387417-06-1

Heavy chain / Chaîne lourde / Cadena pesada

EVQLVESGGG LVQFGGSLRL SCAASGFTFS ETWLHWVQQA PGKLEWVAV 50
 VSPFPGSTYY ADSVKGRFTI SADTSKNTAY LQMNSLRAED TAVYYCARRH 100
 WPGGFDYWQQ GTLVTVSSAS TKGPSVFPLA PSSKSTSGGT AALGCLVKDY 150
 FPEPVTVSWN SGALTSQVHT FPAVLQSSGL YSLSSVTVF SSSLGTQTYI 200
 CNVNHKPSNT KVDKKEPKS CDKTHCTPPC PAPELLGGPS VFLLFPKPKD 250
 TLMISRTPEV TCVVVDVSHS DPEVKFNWYV DGVEVHNAKT KPREEQYAST 300
 YRVVSVLTVL HQDNLNGKEY KCKVSNKALP APIEKTISKA KGQPREPQVY 350
 TLPSPREEMT KNQVSLTCLV KGFYPSDIAV EWESNGQPEN NYKTTTPVLD 400
 SDGSFFLYSK LTVDKSRWQQ GNVFSCSVMH EALHNHYTQK SLSLSPG 447

Light chain / Chaîne légère / Cadena ligera

DIQMTQSPSS LSASVGDRTV ITCRASQDVS TAVAWYQQK GKAPKLLIYS 50
 ASFLYSGVPS RFSGSGSGTD FTLTISSSLQP EDFATYYCQQ FLYHPATFGQ 100
 GTRVEIKRTV AAPSFVIFPP SDEQLKSGTA SVVCLLNIFY PREAKVQWVK 150
 DNALQSGNSQ ESVTEQDSKD STYLSLSLTLT LSKADYEKHK VYACEVTHQG 200
 LSSPVTKSFN RGEK 214

Post-translational modifications

Disulfide bridges location / Position des ponts disulfure / Posiciones de los puentes disulfuro

Intra-H (C23-C104) 22-96 145-201 262-322 368-426
 22"-96" 145"-201" 262"-322" 368"-426"

Intra-L (C23-C104) 23"-88" 134"-194"

23"-88" 134"-194"

Inter-H-L (h 5-CL 126) 221-214' 221"-214"

Inter-H-H (h 11, h 14) 227-227" 230-230"

No N-glycosylation sites / Pas de sites de N-glycosylation / ningún posición de N-glicosilación

CH2 N84,4-A:

298, 298"

Aglycosylated

sunobinopum

sunobinop

4-[(1*R*,1'*R*,3*r*,3'*r*,5*S*,5'*S*)-9'-aza[3,9'-
 bi(bicyclo[3.3.1]nonan)]-3'-yl]-3-oxo-3,4-
 dihydroquinoxaline-2-carboxylic acid
nociceptin (orphanin FQ) receptor agonist

sunobinop

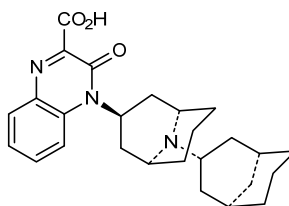
acide 4-[(1*R*,1'*R*,3*r*,3'*r*,5*S*,5'*S*)-9'-aza[3,9'-
 bi(bicyclo[3.3.1]nonan)]-3'-yl]-3-oxo-3,4-
 dihydroquinoxaline-2-carboxylique
*agoniste du récepteur de la nociceptine (orphanine
 FQ)*

sunobinop

ácido 4-[(1*R*,1'*R*,3*r*,3'*r*,5*S*,5'*S*)-9'-aza[3,9'-
 bi(biciclo[3.3.1]nonan)]-3'-il]-3-oxo-3,4-
 dihidroquinoxalina-2-carboxílico
agonista del receptor de la nociceptina (orfanina FQ)

C₂₆H₃₃N₃O₃

1126793-40-5

**surzebiclimabum #**

surzebiclimab

immunoglobulin G1-kappa, anti-[*Homo sapiens*
 HAVCR2 (hepatitis A virus cellular receptor 2, T-cell
 immunoglobulin mucin family member 3, Tim-3, TIM3,
 TIMD3, CD366)], monoclonal antibody;

- gamma1 heavy chain (1-448) [VH (*Homo sapiens*IGHV3-23*04 (93.8%) -(IGHD) -IGHJ4*01 (100%)) CDR-IMGT [8.7.13] (26-33.51-57.96-108) (1-119) - *Homo sapiens*IGHG1*01, G1m17,1, G1v4 CH2 A114 (CH1 K120 (217) (120-217), hinge 1-15 (218-232), linker (233-237), CH2 P114>A (330) (238-341), CH3 D12 (357), L14 (359) (342-446), CHS (447-448)) (120-448)], (222-218')-disulfide with kappa light chain (1'-218') [V-KAPPA (*Homo sapiens*IGKV3-15*01 (84%) -IGKJ4*01 (100%)) CDR-IMGT [10.3.9] (27-36.54-56.93-101) (1'-111') -*Homo sapiens*IGKC*01 (100%) Km3 A45.1 (157), V101 (195) (112'-218')]; dimer (228-228":231-231")-bisdisulfide, produced in Chinese hamster ovary (CHO) cells, glycoform alfa
immunomodulator, antineoplastic
- surzébiclimab
immunoglobuline G1-kappa, anti-[*Homo sapiens* HAVCR2 (récepteur cellulaire 2 du virus de l'hépatite A, CD366, membre 3 de la famille mucine immunoglobuline des cellules T, Tim-3, TIM3, TIMD3, CD366)], anticorps monoclonal;
chaîne lourde gamma1 (1-448) [VH (*Homo sapiens*IGHV3-23*04 (93.8%) -(IGHD) -IGHJ4*01 (100%)) CDR-IMGT [8.7.13] (26-33.51-57.96-108) (1-119) - *Homo sapiens*IGHG1*01, G1m17,1, G1v4 CH2 A114 (CH1 K120 (217) (120-217), charnière 1-15 (218-232), linker (233-237), CH2 P114>A (330) (238-341), CH3 D12 (357), L14 (359) (342-446), CHS (447-448)) (120-448)], (222-218')-disulfure avec la chaîne légère kappa (1'-218') [V-KAPPA (*Homo sapiens*IGKV3-15*01 (84.0%) -IGKJ4*01 (100%)) CDR-IMGT [10.3.9] (27-36.54-56.93-101) (1'-111') -*Homo sapiens*IGKC*01 (100%) Km3 A45.1 (157), V101 (195) (112'-218')]; dimère (228-228":231-231")-bisdisulfure, produit dans des cellules ovariennes de hamster chinois (CHO), glycoforme alfa
immunomodulateur, antinéoplasique
- surzebiclimab
inmunoglobulina G1-kappa, anti-[*Homo sapiens* HAVCR2 (receptor celular 2 del virus de la hepatitis A, CD366, miembro 3 de la familia mucina inmunoglobulina de las células T, Tim-3, TIM3, TIMD3, CD366)], anticuerpo monoclonal;
cadena pesada gamma1 (1-448) [VH (*Homo sapiens*IGHV3-23*04 (93.8%) -(IGHD) -IGHJ4*01 (100%)) CDR-IMGT [8.7.13] (26-33.51-57.96-108) (1-119) - *Homo sapiens*IGHG1*01, G1m17,1, G1v4 CH2 A114 (CH1 K120 (217) (120-217), bisagra 1-15 (218-232), linker (233-237), CH2 P114>A (330) (238-341), CH3 D12 (357), L14 (359) (342-446), CHS (447-448)) (120-448)], (222-218')-disulfuro con la cadena ligera kappa (1'-218') [V-KAPPA (*Homo sapiens*IGKV3-15*01 (84.0%) -IGKJ4*01 (100%)) CDR-IMGT [10.3.9] (27-36.54-56.93-101) (1'-111') -*Homo sapiens*IGKC*01 (100%) Km3 A45.1 (157), V101 (195) (112'-218')]; dímero (228-228":231-231")-bisdisulfuro, producido en las células ováricas de hámster chino (CHO), forma glicosilada alfa
inmunomodulador, antineoplásico

2342597-90-2

Heavy chain / Chaîne lourde / Cadena pesada
 EVQLVDSGGG LVQPGGSLRL SCAASGFTFS RYAMSWVRQA PGKGLEWVAA 50
 ISSGGSLYYP DSVKGRFTIS RDNAKNTLYL QMNSLR AEDT AVYYCARGRE 100
 ADGGYFDYWG QCTLVTVSSA STKGFVFPFL APSSKSTSGG TAALGCLVKD 150
 YFPEPVTVSW NSGALTSGVH TFPVAVLQSSG LYSLSVSVTV PSSSLGQTQY 200
 ICNVNHNKFSN TKVKKVVEPK SCDKTHTCPP CPAPFAAGFS VFLFPFKPKD 250
 TLMISRTPEV TCVVVDVSH EPEVKNWYV DGEVHNAKT KPEEQYNST 300
 YRVVSVLTVL HQDWLNGKEY KCKVSNKALA ARIEKTISKA KGQPREPQVY 350
 TLPFPRDELDT KNQVSLTCLV KGFYPSDIAV EWESNGQPEN NYKTTFPVLD 400
 SDGSFFLYSK LTVDKSRWQQ GNVFSCSVMH EALHNHYTQK SLSLSPGK 448

Light chain / Chaîne légère / Cadena ligera
 EIVLTQSFAT LSVSPGERAT LSCRASESVE YYGTLQMWY QKQPGQAPRL 50
 LIYAASNVES GIPARFSGSG SGTEFTLTIS SLQSEDFAVY YCQQSLKVPVL 100
 TFGGGTKVEL KRTVAAPSVF IPFPPSDEQLK SGTASVVCLL NNFYPREAKV 150
 QWKVDNALQS GNSQESVTEQ DSKDSTYSLS STLTLKADY EKHKVYACEV 200
 THQGLSSPVT KSFNRGEC 218

Post-translational modifications
 Disulfide bridges location / Position des ponts disulfure / Posiciones de los puentes disulfuro
 Intra-H (C23-C104) 22"-95" 146"-202" 262"-322" 368"-426"
 22"-95" 146"-202" 262"-322" 368"-426"
 Intra-L (C23-C104) 23"-92" 138"-198"
 23"-92" 138"-198"
 Inter-H-L (h 5-CL 126) 222"-218" 222"-218"
 Inter-H-H (h 11, h 14) 228"-228" 231"-231"

N-glycosylation sites / Sites de N-glycosylation / Posiciones de N-glicosilación
 H CH2N84.4:
 298, 298"

Fucosylated complex bi-antennary CHO-type glycans / glycanes de type CHO bi-antennaires
 complexes fucosylés / glicanos de tipo CHO biantennarios complejos fucosilados.

C-terminal lysine clipping / Coupeure de la lysine C-terminale / Recorte de lisina C-terminal
 H CHS K2:
 448, 448"

tacatresgenum autoleucelum #

tacatresgene autoleucel

Autologous T cells obtained from the peripheral blood of patients, collected by leukapheresis, modified by CRISPR/Cas9 (clustered regularly interspaced short palindromic repeats/CRISPR-associated protein 9) mediated gene editing consisting of two guide RNAs (gRNAs) introduced transiently as ribonucleoprotein (RNP) complex, and a neoepitope T cell receptor (neo-TCR) gene cassette encoded by plasmid DNA to replace the endogenous T cell receptor (TCR) with a single patient-derived tumour-specific neo-TCR per T cell, with a maximum of three different neo-TCRs in the final drug substance. The constant elements of the neo-TCR are identical for each patient and the neo-TCR gene expression is regulated by the native endogenous TCR promoter. The T cells are cultured in the presence of growth media containing IL-7 and IL-15 and a combination of membrane bound anti-CD3 and anti-CD28 for activation. The T cells are predominantly CD4 and CD8 T cells (generally >80%), including Tmsc (memory stem cells) and Tcm (central memory) phenotypes.
cell-based gene therapy (antineoplastic)

tacatresgène autoleucel

Lymphocytes T autologues obtenus du sang périphérique de patients, recueillis par leucophérèse, modifiés par CRISPR/Cas9 (courtes répétitions palindromiques groupées et régulièrement espacées / protéine 9 associée à CRISPR) induisant une édition génétique consistant en deux ARN guides (gRNAs) introduisant transitoirement un complexe ribonucléoprotéique, et la cassette du gène du récepteur néo-épitope du lymphocyte T (néo-TCR)

encodés par un plasmide d'ADN pour remplacer le récepteur endogène du lymphocyte T (TCR) avec un seul néo-TCR tumeur-spécifique dérivé de patients pour chaque lymphocyte T, avec un maximum de trois néo-TCRs différents dans la substance médicamenteuse finale. Les éléments constants des néo-TCR sont identiques pour chaque patient et l'expression du gène néo-TCR est régulée par le promoteur natif endogène du TCR. Les lymphocytes T sont cultivés en présence de milieu de croissance contenant IL-7 et IL-15 et une combinaison d'anti-CD3 et anti-CD28 liés à la membrane pour l'activation. Les lymphocytes T sont majoritairement des lymphocytes T CD4 et CD8 (généralement >80%), incluant les phénotypes Tmsc (cellules souches à mémoire) et Tcm (à mémoire centrale).

thérapie génique à base de cellules (antineoplasique)

tacatresgén autoleucel

Linfocitos T autólogos obtenidos de sangre periférica de pacientes, recogidos por leucoaféresis, modificados por CRISPR/Cas9 (repeticiones palindrómicas cortas agrupadas y regularmente espaciadas/proteína asociada a CRISPR 9) mediante edición genética consistente en dos RNAs guía (gRNAs) introducidos transitoriamente como un complejo de ribonucleoproteína (RNP), y un casete genético de un receptor de linfocitos T para un neoepitopo (neo-TCR) codificado en un plásmido de DNA, para reemplazar el receptor de linfocitos T (TCR) endógeno con un solo neo-TCR específico de tumor y derivado del paciente por linfocito T, con un máximo de tres neo-TCRs diferentes en el principio activo final. Los elementos constantes de los neo-TCR son idénticos para cada paciente y la expresión del gen del neo-TCR está regulada por el promotor nativo del TCR endógeno. Los linfocitos T se cultivan en presencia de medio de crecimiento que contiene IL-7 e IL-15 y una combinación de anti-CD3 y anti-CD28 de membrana para la activación. Los linfocitos T son predominantemente CD4 y CD8 (generalmente >80%), incluyendo fenotipos de Tmsc (células madre de memoria) y Tcm (memoria central).

terapia génica basada en células (antineoplásico)

tadnersenum

tadnersen

all-P-ambo-2'-O-(2-methoxyethyl)-P-thioguanlyl-(3'→5')-2'-O-(2-methoxyethyl)-5-methylcytidyl-(3'→5')-2'-O-(2-methoxyethyl)-5-methylcytidyl-(3'→5')-2'-O-(2-methoxyethyl)-5-methyl-P-thiocytidyl-(3'→5')-2'-deoxy-5-methyl-P-thiocytidyl-(3'→5')-P-thiothymidyl-(3'→5')-2'-deoxy-P-thioadenyl-(3'→5')-2'-deoxy-P-thioguanlyl-(3'→5')-2'-deoxy-5-methyl-P-thiocytidyl-(3'→5')-2'-deoxy-5-methyl-P-thiocytidyl-(3'→5')-2'-deoxy-5-methyl-P-thiocytidyl-(3'→5')-2'-O-(2-methoxyethyl)-5-methylcytidyl-(3'→5')-2'-O-(2-methoxyethyl)guanylyl-(3'→5')-2'-O-(2-methoxyethyl)adenyl-(3'→5')-2'-O-(2-methoxyethyl)-5-methyl-P-thiocytidyl-(3'→5')-2'-O-(2-methoxyethyl)-5-methyl-P-thiouridyl-(3'→5')-2'-O-(2-methoxyethyl)-5-methylcytidine
mutated C9orf72 gene expression reducer

tadnersen

tout-P-ambo-2'-O-(2-méthoxyéthyl)-P-thioguanilyl-(3'→5')-2'-O-(2-méthoxyéthyl)-5-méthylcytidilyl-(3'→5')-2'-O-(2-méthoxyéthyl)-5-méthylcytidilyl-(3'→5')-2'-O-(2-méthoxyéthyl)-5-méthyl-P-thiocytidylyl-(3'→5')-2'-désoxy-5-méthyl-P-thiocytidylyl-(3'→5')-P-thiothymidylyl-(3'→5')-2'-désoxy-P-thioadénylyl-(3'→5')-2'-désoxy-P-thioguanilyl-(3'→5')-2'-désoxy-5-méthyl-P-thiocytidylyl-(3'→5')-2'-désoxy-P-thioguanilyl-(3'→5')-2'-désoxy-5-méthyl-P-thiocytidylyl-(3'→5')-2'-O-(2-méthoxyéthyl)-5-méthylcytidilyl-(3'→5')-2'-O-(2-méthoxyéthyl)guanylyl-(3'→5')-2'-O-(2-méthoxyéthyl)adénylyl-(3'→5')-2'-O-(2-méthoxyéthyl)-5-méthyl-P-thiocytidylyl-(3'→5')-2'-O-(2-méthoxyéthyl)-5-méthyl-P-thiouridylyl-(3'→5')-2'-O-(2-méthoxyéthyl)-5-méthylcytidine
réducteur de l'expression du gène muté C9orf72

tadnersén

todo-P-ambo-2'-O-(2-metoxietil)-P-tioguanilil-(3'→5')-5-metil-2'-O-(2-metoxietil)citidilil-(3'→5')-5-metil-2'-O-(2-metoxietil)citidilil-(3'→5')-5-metil-2'-O-(2-metoxietil)-P-tiocitidilil-(3'→5')-2'-deoxi-5-metil-P-tiocitidilil-(3'→5')-P-tiotimidilil-(3'→5')-2'-deoxi-P-tioadenilil-(3'→5')-2'-deoxi-P-tioguanilil-(3'→5')-2'-deoxi-5-metil-P-tiocitidilil-(3'→5')-2'-deoxi-P-tioguanilil-(3'→5')-2'-deoxi-5-metil-P-tiocitidilil-(3'→5')-2'-deoxi-P-tioguanilil-(3'→5')-2'-O-(2-metoxietil)guanilil-(3'→5')-2'-O-(2-metoxietil)adenilil-(3'→5')-5-metil-2'-O-(2-metoxietil)-P-tiocitidilil-(3'→5')-5-metil-2'-O-(2-metoxietil)-P-tiouridilil-(3'→5')-5-metil-2'-O-(2-metoxietil)citidina
reductor de la expresión del gen C9orf72 mutado

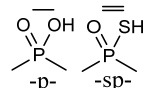
C₂₁₀H₂₉₇N₆₆O₁₁₄P₁₇S₁₂

2170507-65-8

(3'-5') $\overline{\text{G}}=\overline{\text{C}}=\overline{\text{C}}-\overline{\text{C}}-\text{d}(\text{C}=\text{T}=\text{A}=\text{G}=\text{C}=\text{G}=\text{C}=\text{G}=\text{G})\overline{\text{C}}=\overline{\text{G}}-\overline{\text{A}}-\overline{\text{C}}=\overline{\text{U}}=\overline{\text{C}}$ *Legend:*

A, G & T : 2'-deoxynucleotide

C : 2'-deoxy-5-methylnucleotide

 $\overline{\text{A}}$ & $\overline{\text{G}}$: 2'-O-(2-methoxyethyl)nucleotide $\overline{\text{C}}$ & $\overline{\text{U}}$: 2'-O-(2-methoxyethyl)-5-methylnucleotide

tasurgratinibum

tasurgratinib

1¹-(2-hydroxyethyl)-7⁶-(2-methoxyethoxy)-N-methyl-3-oxo-7¹H-6-oxa-4-aza-7(5)-indola-5(2,4)-pyridina-1(4)-piperidina-2(1,4)-benzenaheptaphane-7¹-carboxamide
tyrosine kinase inhibitor, antineoplastique

tasurgratinib

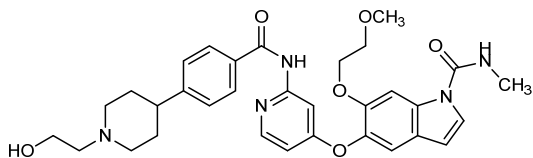
1¹-(2-hydroxyéthyl)-7⁶-(2-méthoxyéthoxy)-N-méthyl-3-oxo-7¹H-6-oxa-4-aza-7(5)-indola-5(2,4)-pyridina-1(4)-pipéridina-2(1,4)-benzénaheptaphane-7¹-carboxamide
inhibiteur de la tyrosine kinase, antinéoplasique

tasurgratinib

1¹-(2-hidroxietyl)-N-metil-7⁶-(2-metoxietoxi)-3-oxo-7¹H-6-oxa-4-aza-7(5)-indola-5(2,4)-piridina-1(4)-piperidina-2(1,4)-bencenaheptafano-7¹-carboxamida
inhibidor de la tirosina kinasa, antineoplásico

C₃₂H₃₇N₅O₆

1622204-21-0

**temgicolurilum**

temgicoluril

cis-1,3,4,6-tetramethyltetrahydroimidazo[4,5-*d*]imidazole-2,5(1*H*,3*H*)-dione
anxiolytic

temgicoluril

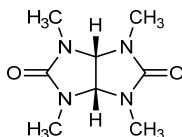
cis-1,3,4,6-tétraméthyltétrahydroimidazo[4,5-*d*]imidazole-2,5(1*H*,3*H*)-dione
anxiolytique

temgicoluril

cis-1,3,4,6-tetrametiltetrahydroimidazo[4,5-*d*]imidazola-2,5(1*H*,3*H*)-diona
ansiolítico

C₈H₁₄N₄O₂

10095-06-4

**tigulixostatam**

tigulixostat

1-[3-cyano-1-(propan-2-yl)-1*H*-indol-5-yl]-1*H*-pyrazole-4-carboxylic acid
xanthine oxidase inhibitor

tigulixostat

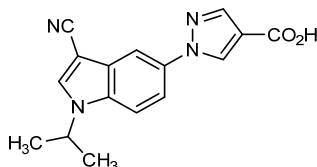
acide 1-[3-cyano-1-(propan-2-yl)-1*H*-indol-5-yl]-1*H*-pyrazole-4-carboxylique
inhibiteur de la xanthine oxydase

tigulixostat

ácido 1-[3-ciano-1-(propan-2-il)-1*H*-indol-5-il]-1*H*-pirazola-4-carboxílico
inhibidor de la xantina oxidasa

C₁₆H₁₄N₄O₂

1287766-55-5

**tirnovetmabum #**

tirnovetmab

immunoglobulin G2-kappa, anti-[*Canis lupus familiaris* IL31 (interleukin 31)], caninized monoclonal antibody;

	<p>gamma2 heavy chain caninized 1-453) [VH caninized (<i>Canis lupus familiaris</i> IGHV4-1*01 (61.2%) -(IGHD) -IGHJ4*01 (100%)) CDR-IMGT [8.7.12] (26-33.51-57.96-107) (1-118) -<i>Canis lupus familiaris</i> IGHG2*02 (100%) (CH1 (119-215), hinge 1-19 (216-234), CH2 (235-344), CH3 (345-451), CHS (452-453)) (119-453)], (133-217')-disulfide with kappa light chain caninized (1'-221') [V-KAPPA caninized (<i>Canis lupus familiaris</i> IGKV3-18*01 (63.8%) -IGKJ3*01 (83.3%) Q120>G (104)) CDR-IMGT [10.3.9] (27-36.54-56.93-101) (1'-111') -<i>Canis lupus familiaris</i> IGKC*01 (100%) (112'-221')]; dimer (230-230":233-233")-bisdisulfide, produced in a Chinese hamster ovary (CHO)-K1 cell line, glycoform alfa <i>immunomodulator (veterinary use)</i></p>
tirnovetmab	<p>immunoglobuline G2-kappa, anti-[<i>Canis lupus familiaris</i> IL31 (interleukine 31)], anticorps monoclonal caninisé; chaîne lourde gamma2 caninisée (1-453) [VH caninisé (<i>Canis lupus familiaris</i> IGHV4-1*01 (61.2%) -(IGHD) -IGHJ4*01 (100%)) CDR-IMGT [8.7.12] (26-33.51-57.96-107) (1-118) CDR-IMGT [8.7.12] (26-33.51-57.96-107) (1-118) -<i>Canis lupus familiaris</i> IGHG2*02 (100%) (CH1 (119-215), charnière 1-19 (216-234), CH2 (235-344), CH3 (345-451), CHS (452-453)) (119-453)], (133-217')-disulfure avec la chaîne légère kappa caninisée (1'-221') [V-KAPPA caninisé (<i>Canis lupus familiaris</i> IGKV3-18*01 (63.8%) -IGKJ3*01 (83.3%) Q120>G (104)) CDR-IMGT [10.3.9] (27-36.54-56.93-101) (1'-111') -<i>Canis lupus familiaris</i> IGKC*01 (100%) (112'-221')]; dimère (230-230":233-233")-bisdisulfure, produit dans des cellules ovariennes de hamster chinois (CHO) lignée cellulaire CHO-K1, glycoforme alfa <i>immunomodulateur (usage vétérinaire)</i></p>
tirnovetmab	<p>inmunoglobulina G2-kappa, anti-[<i>Canis lupus familiaris</i> IL31 (interleukina 31)], anticuerpo monoclonal caninizado; cadena pesada gamma2 caninizada (1-453) [VH caninizado (<i>Canis lupus familiaris</i> IGHV4-1*01 (61.2%) -(IGHD) -IGHJ4*01 (100%)) CDR-IMGT [8.7.12] (26-33.51-57.96-107) (1-118) CDR-IMGT [8.7.12] (26-33.51-57.96-107) (1-118) -<i>Canis lupus familiaris</i> IGHG2*02 (100%) (CH1 (119-215), bisagra 1-19 (216-234), CH2 (235-344), CH3 (345-451), CHS (452-453)) (119-453)], (133-217')-disulfuro con la cadena ligera kappa caninizada (1'-221') [V-KAPPA caninizado (<i>Canis lupus familiaris</i> IGKV3-18*01 (63.8%) -IGKJ3*01 (83.3%) Q120>G (104)) CDR-IMGT [10.3.9] (27-36.54-56.93-101) (1'-111') -<i>Canis lupus familiaris</i> IGKC*01 (100%) (112'-221')]; dímero (230-230":233-233")-bisdisulfuro, producido en las células ováricas de hámster chino (CHO) línea celular CHO-K1, forma glicosilada alfa <i>immunomodulador (uso veterinario)</i></p>

2364504-80-1

Heavy chain / Chaîne lourde / Cadena pesada

EVQLVESGSPS LVKPGGSLRL TCSVTGDSIT SGYWNWIRKF PGNKLEYMGY 50
 ISYSGITDYN PSLKSRITIS RDTSKNQYVL QLNSTVTEED ATYYCARYGN 100
 YGYAMDYWGQ GTSVTVSSAS TTPSPVFPLA PSCGSTSGST VALACLVSQY 150
 FPEPVTVSWN SGLTSGVHT FPSVLQSSGL YLSSTMVTPV SSRWPFSETFT 200
 CNVAHPASKT KVDKVPKRE NGRVFRPPDC PKCPAPEMLG GPSVFIFPPK 250
 PKDTLLIART FEVTCVVDL DPEDPEVQIS WFDGKQMQT AKTQPREEQF 300
 NGTYRVVSVL PIGHQDWLKG KQFTCKVNNK ALPSPFIERTI SKARGAQHP 350
 SVYVLPFSRE ELSKNTVSLT CLIKDFFPPD IDVEWQSNQG QEPESKYRRT 400
 PFQLDEGDSY FLYSKLSVDK SRWQRGDTFI CAVMHREALHN HVTQESLSHS 450
 PGK 453

Light chain / Chaîne légère / Cadena ligera

DIVMTQSPAS LSVSLGQRAT ISCRASEVD TYGNSFMHWY QQKPGQSPKL 50
 LIYRASNLDS GIPARFGGSG SGTDFTLTID PVQADDVATY YCQQSYEDPW 100
 TFGGGTKLEI KRNDAAQPAVY LFPSPDQLH TGSASVCLL NSFYPKDINW 150
 KWKVDGVIQD TGIQESVTEQ DRDSTYLSLS TLTMSSTEYL SHELYSCEIT 200
 HKSLPSTLIK SFQRSECQRV D 221

Post-translational modifications

Disulfide bridges location / Position des ponts disulfure / Posiciones de los puentes disulfuro

Intra-H (C23-C104) 22-95 145-201 265-325 371-431
 22"-95" 145"-201" 265"-325" 371"-431"

Intra-L (C23-C104) 23"-92" 138"-197"
 23"-92" 138"-197"

Inter-H-L (CH1 11-CL 126) 133-217" 133"-217"

Inter-H-H (h 15, h 18) 230-230" 233-233"

N-glycosylation sites / Sites de N-glycosylation / Posiciones de N-glicosilación

H CH2 N84,4:

301, 301"

Fucosylated complex bi-antennary CHO-type glycans / glycanes de type CHO bi-antennaires complexes fucosylés / glicanos de tipo CHO biantennarios complejos fucosilados.

C-terminal lysine clipping / Coupure de la lysine C-terminale / Recorte de lisina C-terminal

H CHS K2:

453, 453"

tolinapantum

tolinapant

(6²R,6⁵R,8³R)-1⁴-fluoro-3⁵-(hydroxymethyl)-3³,3³,6⁵,8³-tetramethyl-3^{2,3}-dihydro-3(6,1)-pyrrolo[3,2-*b*]pyridina-8(4)-morpholina-6(1,2)-piperazina-1(1)-benzenaocaphan-4-one
inhibitor of apoptosis protein (IAP) antagonist

tolinapant

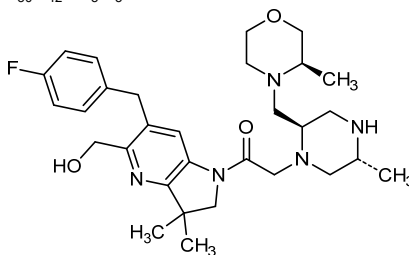
(6²R,6⁵R,8³R)-1⁴-fluoro-3⁵-(hydroxymethyl)-3³,3³,6⁵,8³-tetramethyl-3^{2,3}-dihydro-3(6,1)-pyrrolo[3,2-*b*]pyridina-8(4)-morpholina-6(1,2)-piperazina-1(1)-benzenaocaphan-4-one
antagoniste de protéine inhibitrice de l'apoptose (PIA)

tolinapant

(6²R,6⁵R,8³R)-1⁴-fluoro-3⁵-(hidroximetil)-3³,3³,6⁵,8³-tetrametil-3^{2,3}-dihidro-3(6,1)-pirrolo[3,2-*b*]piridina-8(4)-morfolina-6(1,2)-piperazina-1(1)-bencenaocafan-4-ona
antagonista de la proteína inhibidora de la apoptosis (PIA)

C₃₀H₄₂FN₅O₃

1799328-86-1



tomligisiranum

tomligisiran

*all-P-ambo-O-[(2R,3S)-2-(hydroxymethyl)oxolan-3-yl] hydrogen 5'-O-(((2R,3S)-3-(((cis-4-[(3S,8S)-17-[[2-(acetyl amino)-2-deoxy-β-D-galactopyranosyl]oxy]-3,8-bis[[2-(2-[[2-(acetyl amino)-2-deoxy-β-D-galactopyranosyl]oxy]ethoxy)ethyl]carbamo yl]-6,11-dioxo-15-oxa-2,7,12-triazah eptadecan-1-oyl]cyclohexyl}oxy)hydroxyphosphorothioyl]oxy)-oxolan-2-yl]méthoxy}hydroxyphosphorothioyl)-2'-O-méthylcytidyl-(3'→5')-2'-O-méthylguanylyl-(3'→5')-2'-O-méthylcytidyl-(3'→5')-2'-O-méthyluridyl-(3'→5')-2'-O-méthylguanylyl-(3'→5')-2'-O-méthyluridyl-(3'→5')-2'-O-méthyladénylyl-(3'→5')-2'-O-méthylguanylyl-(3'→5')-2'-deoxy-2'-fluoroguanilyl-(3'→5')-2'-deoxy-2'-fluorocytidyl-(3'→5')-2'-deoxy-2'-fluoroadénylyl-(3'→5')-2'-O-méthyluridyl-(3'→5')-2'-O-méthyladénylyl-(3'→5')-2'-O-méthyladénylyl-(3'→5')-2'-O-méthyluridyl-(3'→5')-2'-O-méthyluridyl-(3'→5')-2'-O-méthyluridyl-(3'→5')-2'-O-méthylguanylyl-(3'→5')-2'-O-méthylguanylyl-(3'→5')-2'-O-méthyluridyl-(3'→5')-2'-O-méthyl-P-thio-3'-adénylate, duplex with *all-P-ambo-2'-O-méthyl-P-thiouridyl-(3'→5')-2'-deoxy-2'-fluoro-P-thioadénylyl-(3'→5')-2'-O-méthyl-P-thiocytidyl-(3'→5')-2'-deoxy-2'-fluorocytidyl-(3'→5')-2'-O-méthyladénylyl-(3'→5')-2'-deoxy-2'-fluoroadénylyl-(3'→5')-2'-O-méthyluridyl-(3'→5')-2'-deoxy-2'-fluorouridyl-(3'→5')-2'-O-méthyluridyl-(3'→5')-2'-deoxy-2'-fluoroadénylyl-(3'→5')-2'-O-méthyluridyl-(3'→5')-2'-deoxy-2'-fluoroguanilyl-(3'→5')-2'-O-méthylcytidyl-(3'→5')-2'-deoxy-2'-fluorocytidyl-(3'→5')-2'-O-méthyluridyl-(3'→5')-2'-deoxy-2'-fluoroadénylyl-(3'→5')-2'-O-méthylcytidyl-(3'→5')-2'-deoxy-2'-fluoroadénylyl-(3'→5')-2'-O-méthylguanylyl-(3'→5')-2'-O-méthyl-P-thiocytidyl-(3'→5')-2'-O-méthylguanosine*
*antiviral**

tomligisiran

*tout-P-ambo-5'-O-(((2R,3S)-3-(((cis-4-[(3S,8S)-17-[[2-(acetyl amino)-2-désoxy-β-D-galactopyranosyl]oxy]-3,8-bis[[2-(2-[[2-(acetyl amino)-2-désoxy-β-D-galactopyranosyl]oxy]éthoxy)éthyl]carbamo yl]-6,11-dioxo-15-oxa-2,7,12-triazah eptadecan-1-oyl]cyclohexyl}oxy)hydroxyphos-phorothioyl]oxy)oxolan-2-yl]méthoxy}hydroxyphosphorothioyl)-2'-O-méthylcytidyl-(3'→5')-2'-O-méthylguanylyl-(3'→5')-2'-O-méthylcytidyl-(3'→5')-2'-O-méthyluridyl-(3'→5')-2'-O-méthylguanylyl-(3'→5')-2'-O-méthyluridyl-(3'→5')-2'-O-méthyladénylyl-(3'→5')-2'-O-méthylguanylyl-(3'→5')-2'-désoxy-2'-fluoroguanilyl-(3'→5')-2'-désoxy-2'-fluorocytidyl-(3'→5')-2'-désoxy-2'-fluoroadénylyl-(3'→5')-2'-O-méthyluridyl-(3'→5')-2'-O-méthyladénylyl-(3'→5')-2'-O-méthyladénylyl-(3'→5')-2'-O-méthyluridyl-(3'→5')-2'-O-méthyluridyl-(3'→5')-2'-O-méthylguanylyl-(3'→5')-2'-O-méthyluridyl-(3'→5')-hydrogéné-2'-O-méthyl-P-thio-3'-adénylate de O-[(2R,3S)-2-(hydroxyméthyl)oxolan-3-yle], duplex avec *tout-P-ambo-2'-O-méthyl-P-thiouridyl-(3'→5')-2'-désoxy-2'-fluoro-P-thioadénylyl-(3'→5')-2'-O-méthyl-P-thiocytidyl-(3'→5')-2'-désoxy-2'-fluorocytidyl-(3'→5')-2'-O-méthyladénylyl-(3'→5')-2'-**

désoxy-2'-fluoroadénylyl-(3'→5')-2'-O-méthyluridylyl-(3'→5')-2'-désoxy-2'-fluorouridylyl-(3'→5')-2'-O-méthyluridylyl-(3'→5')-2'-désoxy-2'-fluoroadénylyl-(3'→5')-2'-O-méthyluridylyl-(3'→5')-2'-désoxy-2'-fluoroguanilyl-(3'→5')-2'-O-méthylcytidilyl-(3'→5')-2'-désoxy-2'-fluorocytidylyl-(3'→5')-2'-O-méthyluridylyl-(3'→5')-2'-désoxy-2'-fluoroadénylyl-(3'→5')-2'-O-méthylcytidilyl-(3'→5')-2'-désoxy-2'-fluoroadénylyl-(3'→5')-2'-O-méthylguanilyl-(3'→5')-2'-O-méthyl-P-thiocytidylyl-(3'→5')-2'-O-méthylguanosine
antiviral

tomligisirán

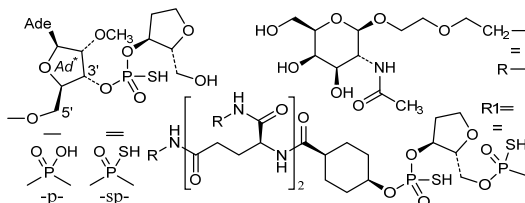
*all-P-ambo-5'-O-(((2R,3S)-3-(((cis-4-[(3S,8S)-17-[[2-(acetilamino)-2-desoxi-β-D-galactopiranosil]oxi)-3,8-bis[[2-(2-[[2-(acetilamino)-2-desoxi-β-D-galactopiranosil]oxi]etoxi)etil]carbamoil]-6,11-dioxo-15-oxa-2,7,12-triazaheptadecan-1-oi]ciclohexil)oxi)hidroxifosforotioil]oxi)oxolan-2-il]metoxi)hidroxifosforotioil)-2'-O-metilcitudilil-(3'→5')-2'-O-metilguanilil-(3'→5')-2'-O-metilcitudilil-(3'→5')-2'-O-metiluridilil-(3'→5')-2'-O-metilguanilil-(3'→5')-2'-O-metiluridilil-(3'→5')-2'-O-metiladenilil-(3'→5')-2'-O-metilguanilil-(3'→5')-2'-desoxi-2'-fluoroguanilil-(3'→5')-2'-desoxi-2'-fluorocitudilil-(3'→5')-2'-desoxi-2'-fluoroadenilil-(3'→5')-2'-O-metiluridilil-(3'→5')-2'-O-metiladenilil-(3'→5')-2'-O-metiladenilil-(3'→5')-2'-O-metiluridilil-(3'→5')-2'-O-metiluridilil-(3'→5')-2'-O-metilguanilil-(3'→5')-2'-O-metilguanilil-(3'→5')-2'-O-metiluridilil-(3'→5')-hidrógeno-2'-O-metil-P-tio-3'-adenilato de O-[(2R,3S)-2-(hidroximetil)oxolan-3-ilo], dúplex con *todo-P-ambo-2'-O-metil-P-tiouridilil-(3'→5')-2'-desoxi-2'-fluoro-P-tioadenilil-(3'→5')-2'-O-metil-P-tiocitudilil-(3'→5')-2'-desoxi-2'-fluorocitudilil-(3'→5')-2'-O-metiladenilil-(3'→5')-2'-desoxi-2'-fluoroadenilil-(3'→5')-2'-O-metiluridilil-(3'→5')-2'-desoxi-2'-fluorouridilil-(3'→5')-2'-O-metiluridilil-(3'→5')-2'-desoxi-2'-fluoroadenilil-(3'→5')-2'-O-metiluridilil-(3'→5')-2'-desoxi-2'-fluoroguanilil-(3'→5')-2'-O-metilcitudilil-(3'→5')-2'-desoxi-2'-fluorocitudilil-(3'→5')-2'-O-metiluridilil-(3'→5')-2'-desoxi-2'-fluoroadenilil-(3'→5')-2'-O-metilcitudilil-(3'→5')-2'-desoxi-2'-fluoroadenilil-(3'→5')-2'-O-metilguanilil-(3'→5')-2'-O-metil-P-tiocitudilil-(3'→5')-2'-O-metilguanosina
*antiviral***

C₄₉₂H₆₅₁F₁₂N₁₆₄O₃₁₀P₄₃S₇

2202803-58-3

(3'-5') R1=C-G-C-U-G-U-A-G-G-C-A-U-A-A-A-U-U-G-G-U-Ad^s

(5'-3') G=C-G-A-C-A-U-C-C-G-U-A-U-U-U-A-A-C=C=A=U

Legend: X : 2'-O-methylNucl. X̄ : 2'-deoxy-2'-fluoroNucl.

torudokimabum #

torudokimab

immunoglobulin G4-kappa, anti-[*Homo sapiens* IL33 (interleukin 33, interleukin-1 family member 11, IL1F11, nuclear factor for high endothelial venules, NF-HEV)], monoclonal antibody;
 gamma4 heavy chain (1-449) [VH (*Homo sapiens* IGHV3-23*04 (95.9%) -(IGHD) -IGHJ3*02 (87.5%) M123>L (118)) CDR-IMGT [8.8.16] (26-33.51-58.97-112) (1-123)-*Homo sapiens* IGHG4*01 G4v5 h P10, G4v4 CH2 A1.3, A1.2 (CH1 (124-221), hinge 1-12 S10>P (231) (222-233), CH2 F1.3>A (237), L1.2>A (238) (234-343), CH3 (344-448), CHS K>del (449)) (124-449)], (137-215')-disulfide with kappa light chain (1'-215') [V-KAPPA (*Homo sapiens* IGKV3-20*01 (88.5%) -IGKJ4*01 (91.7%)) CDR-IMGT [6.3.10] (27-32.50-52.89-98) (1'-108') -*Homo sapiens* IGKC*01 (100%), Km3 A45.1 (154), V101 (192) (109'-215')]; dimer (229-229'':232-232'')-bisdisulfide, produced in a Chinese hamster ovary (CHO)-K1 cell line, glycoform alfa
immunomodulator

torudokimab

immunoglobuline G4-kappa, anti-[*Homo sapiens* IL33 (interleukine 33, membre 11 de la famille 1 d'interleukines, IL1F11, facteur nucléaire des veinules à haut endothélium, NF-HEV)], anticorps monoclonal;
 chaîne lourde gamma4 (1-449) [VH (*Homo sapiens* IGHV3-23*04 (95.9%) -(IGHD) - IGHJ3*02 (87.5%) M123>L (118)) CDR-IMGT [8.8.16] (26-33.51-58.97-112) (1-123)-*Homo sapiens* IGHG4*01 G4v5 h P10, G4v4 CH2 A1.3, A1.2 (CH1 (124-221), charnière 1-12 S10>P (231) (222-233), CH2 F1.3>A (237), L1.2>A (238) (234-343), CH3 (344-448), CHS K>del (449)) (124-449)], (137-215')-disulfure avec la chaîne légère kappa (1'-215') [V-KAPPA (*Homo sapiens* IGKV3-20*01 (88.5%) -IGKJ4*01 (91.7%)) CDR-IMGT [6.3.10] (27-32.50-52.89-98) (1'-108') -*Homo sapiens* IGKC*01 (100%), Km3 A45.1 (154), V101 (192) (109'-215')]; dimère (229-229'':232-232'')-bisdisulfure, produit dans des cellules ovariennes de hamster chinois (CHO) lignée cellulaire CHO-K1, glycoforme alfa
immunomodulateur

torudokimab

immunoglobulina G4-kappa, anti-[*Homo sapiens* IL33 (interleukina 33, miembro 11 de la familia 1 de interleukinas, IL1F11, factor nuclear de las vénulas del alto endotelio, NF-HEV)], anticuerpo monoclonal;
 cadena pesada gamma4 *Homo sapiens* (1-449) [VH (*Homo sapiens* IGHV3-23*04 (95.9%) -(IGHD) - IGHJ3*02 (87.5%) M123>L (118)) CDR-IMGT [8.8.16] (26-33.51-58.97-112) (1-123)-*Homo sapiens* IGHG4*01 G4v5 h P10, G4v4 CH2 A1.3, A1.2 (CH1 (124-221), bisagra 1-12 S10>P (231) (222-233), CH2 F1.3>A (237), L1.2>A (238) (234-343), CH3 (344-448), CHS K>del (449)) (124-449)], (137-215')-disulfuro con la cadena ligera kappa (1'-215') [V-KAPPA (*Homo sapiens* IGKV3-20*01 (88.5%) -IGKJ4*01 (91.7%)) CDR-IMGT [6.3.10] (27-32.50-52.89-98) (1'-108') -*Homo sapiens* IGKC*01 (100%), Km3 A45.1 (154), V101 (192) (109'-215')]; dímero (229-229'':232-232'')-bisdisulfuro, producido en las células ováricas de hámster chino (CHO) línea celular CHO-K1, forma glicosilada alfa
immunomodulador

2241728-76-5

Heavy chain / Chaîne lourde / Cadena pesada
 EVQLVETGGG LIQPGGSLRL SCAASGFTFS FYAMSWVRQA PGKLEWVSA 50
 ISGSGGSTYY ADSVKGRFTI SRDMSKNTLY LQMNSLRAED TAVYYCARTI 100
 HGIRAAAYDAF IIWGQGLTIVT VSSASTKGPS VFPLAPCSRS TSESTAALGC 150
 LVKDYFPEPV TVSWNSGALT SGVHTFPAVL QSSGLYLSLS VVTVPSSSLG 200
 TKTYTCNVVDH KPSNTKVDKR VESKYGPCCP PCPAPEAAGG PSVFLFPPKP 250
 KDTLMIERTP EYTCVVVDVS QEDPEVQFNW YVDGVEVHNA KTKPREQFN 300
 STYRVVSVLT VLHQDMLNGK EYKCKVSNKG LPSSIEKTIK KAKGQPREPQ 350
 VYTLPPSQEE MTKNQVSLTLC LVKGFYPSDI AVEVESNGQP ENNYKTTFPV 400
 LDDSGSFFLY SRLTVDKSRW QEGNVFPCSV MHEALHNNHYT QKSLSLSLG 449

Light chain / Chaîne légère / Cadena ligera
 EIVLTQSPGT LSLSPGERAT LSCRASQSVG INLSWYQQKPK GQAPRLLIYG 50
 ASHRLTGIPD RFGSGSGTD FTLTISRLEP EDFAVYIYCHQ YSQPPPTFFG 100
 GGTKVEIKRT VAAPSVFIFP PSDEQLKSGT ASVVCLLNPF YPREAKVQWK 150
 VDNALQSGNS QESVTEQDSK DSTYISLSSTL TLSKADYERK KVVACEVTHQ 200
 GLSSPVTKSF NRGEC 215

Post-translational modifications
 Disulfide bridges location / Position des ponts disulfure / Posiciones de los puentes disulfuro
 Intra-H (C23-C104) 22-96 150-206 264-324 370-428
 22"-96" 150"-206" 264"-324" 370"-428"
 Intra-L (C23-C104) 23"-88" 135"-195"
 23"-88" 135"-195"
 Inter-H-L (CH1 10-CL 126) 137-215' 137"-215"
 Inter-H-H (h 8, h 11) 229-229" 232-232"

N-glycosylation sites / Sites de N-glycosylation / Posiciones de N-glicosilación
 H CH2 N84.4:
 300, 300"

Fucosylated complex bi-antennary CHO-type glycans / glycanes de type CHO bi-antennaires complexes fucosylés / glicanos de tipo CHO biantennarios complejos fucosilados.

tozorakimabum #
 tozorakimab

immunoglobulin G1-lambda2, anti-[*Homo sapiens* IL33 (interleukin 33, DVS27, NF-HEV, IL1F11)], monoclonal antibody;

gamma1 heavy chain (1-456) [VH (*Homo sapiens* IGHV3-23*01 (93.9%) -(IGHD) -IGHJ4*01 (85.7%) L123>M (121)) CDR-IMGT [8.8.19] (26-33.51-58.97-115) (1-126) -*Homo sapiens* IGHG1*03 (100%) G1m3, nG1m1 (CH1 R120 (223) (127-224), hinge 1-15 (225-239), CH2 (240-349), CH3 E12 (365), M14 (367) (350-454), CHS (455-456)) (127-456)], (229-211')-disulfide with lambda2 light chain (1'-212') [V-LAMBDA (*Homo sapiens* IGLV3-1*01 (86.2%) -IGLJ2*01 (100%)) CDR-IMGT [6.3.9] (26-31.49-51.88-96) (1'-106') -*Homo sapiens* IGLC2*01 (100%) (107'-212')]; dimer (235-235":238-238")-bisdisulfide, produced in a Chinese hamster ovary (CHO) cell line derived from CHO-K1, glycoform alfa

immunomodulator

tozorakimab

immunoglobuline G1-lambda2, anti-[*Homo sapiens* IL33 (interleukine 33, DVS27, NF-HEV, IL1F11)], anticorps monoclonal;

chaîne lourde gamma1 (1-456) [VH (*Homo sapiens* IGHV3-23*01 (93.9%) -(IGHD) -IGHJ4*01 (85.7%) L123>M (121)) CDR-IMGT [8.8.19] (26-33.51-58.97-115) (1-126) -*Homo sapiens* IGHG1*03 (100%) G1m3, nG1m1 (CH1 R120 (223) (127-224), charnière 1-15 (225-239), CH2 (240-349), CH3 E12 (365), M14 (367) (350-454), CHS (455-456)) (127-456)], (229-211')-disulfure avec la chaîne légère lambda2 (1'-212') [V-LAMBDA (*Homo sapiens* IGLV3-1*01 (86.2%) -IGLJ2*01 (100%)) CDR-IMGT [6.3.9] (26-31.49-51.88-96) (1'-106') -*Homo sapiens* IGLC2*01 (100%) (107'-212')]; dimère (235-235":238-238")-bisdisulfure, produit dans des cellules ovariennes de hamster chinois (CHO) dérivant de la lignée cellulaire CHO-K1, glycoforme alfa
immunomodulateur

tozorakimab

inmunoglobulina G1-lambda2, anti-[*Homo sapiens* IL33 (interleukina 33, DVS27, NF-HEV, IL1F11)], anticuerpo monoclonal;
 cadena pesada gamma1 (1-456) [VH (*Homo sapiens* IGHV3-23*01 (93.9%) -(IGHD) -IGHJ4*01 (85.7%) L123>M (121)) CDR-IMGT [8.8.19] (26-33.51-58.97-115) (1-126) -*Homo sapiens* IGHG1*03 (100%) G1m3, nG1m1 (CH1 R120 (223) (127-224), bisagra 1-15 (225-239), CH2 (240-349), CH3 E12 (365), M14 (367) (350-454), CHS (455-456)) (127-456)], (229-211')-disulfuro con la cadena ligera lambda2 (1'-212') [V-LAMBDA (*Homo sapiens* IGLV3-1*01 (86.2%) -IGLJ2*01 (100%)) CDR-IMGT [6.3.9] (26-31.49-51.88-96) (1'-106') -*Homo sapiens* IGLC2*01 (100%) (107'-212')]; dímero (235-235":238-238")-bisdisulfuro, producido en las células ováricas de hámster chino (CHO) línea celular derivada de CHO-K1, forma glicosilada alfa
 inmunomodulador

2376858-66-9

Heavy chain / Chaîne lourde / Cadena pesada

EVQLLESGGG	LVQPGGSLRL	SCAASGFTFS	SYAMSWVRQA	PGKLEWVSG	50
ISAIIDQSTYY	ADSVKGRFTI	SRDNSKNTLY	LQMSLRAED	TAVYYCARQK	100
FMQLWGGGLR	YFPGYWGQGT	MVTVSSASTK	GPSVFLAPS	SKSTSGGATA	150
LGSLVKDYFP	EPVTVSWNSG	ALTSGVHTFP	AVLQSSGLYS	LSSVVTVPSS	200
SLGTQTYICN	VNHKPSNTKV	DKRVEPKSCD	KHTCPCPPA	PELLGGPSVF	250
LFPPKPKDTL	MISRTPEVTC	VVVDVSHEDP	EVKFNWYVDG	VEVHNARTKP	300
REEQYNSTYR	VVSVLTVLHQ	DWLNKKEYKC	KVSNKALPAP	IEKTIKAKG	350
QPREPQVYTL	PPSREEMTKN	QVSLTCLVKG	FYPSDIAVEW	ESNGQPENNY	400
KITPPVLDSD	GSFFLYSKLT	VDKSRWQQGN	VFSCSVWHEA	LHNHYTQKSL	450
SLSPGK					456

Light chain / Chaîne légère / Cadena ligera

SYVLTQPPSV	SVSPGQTASI	TCSGEGMDK	YAAWYQQKPK	QSFVLVIVRD	50
TKRPSGIPER	FSGSNSGNTA	TLTISGTQAM	DEADYICGVI	QDNTGVFPGG	100
TKLTVLGGPK	AAPSVTLFPP	SSEELQANKA	TLVCLISDFY	PGAIVTAVAKA	150
DSSPVKAGVE	TTTPSKQSNN	KYAASSYLSL	TPEQNKSHRS	YSCQVTHEGS	200
TVEKTVAPTE	CS				212

Post-translational modifications

Disulfide bridges location / Position des ponts disulfure / Posiciones de los puentes disulfuro

Intra-H (C23-C104)	22-96	153-209	270-330	376-434
	22*-96*	153*-209*	270*-330*	376*-434*
Intra-L (C23-C104)	22-87	134-193		
	22*-87**	134*-193**		
Inter-H-L (h 5-CL 126)	229-211'	229*-211**		
Inter-H-H (h 11, h 14)	235-235"	238-238**		

N-glycosylation sites / Sites de N-glycosylation / Posiciones de N-glicosilación

H CH2 N84.4:

306, 306*

Fucosylated complex bi-antennary CHO-type glycans / glycanes de type CHO bi-antennaires

complexes fucosylés / glicanos de tipo CHO biantennarios complejos fucosilados.

C-terminal lysine clipping / Coupure de la lysine C-terminale / Recorte de lisina C-terminal

H CHS K2:

456, 456*

ulevistinagum

ulevistinag

cyclo[(*P*³*R*,2'*S*)-2'-deoxy-2'-fluoro-*P*-thioadenylyl-(3'→5')-(*P*²*R*)-3'-deoxy-3'-fluoro-*P*-thioguanilyl-(2'→5')]
 stimulator of interferon genes (STING), antineoplastic

ulévistinag

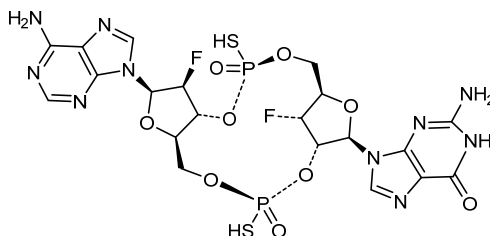
cyclo[(*P*³*R*,2'*S*)-2'-désoxy-2'-fluoro-*P*-thioadénylyl-(3'→5')-(*P*²*R*)-3'-désoxy-3'-fluoro-*P*-thioguanilyl-(2'→5')]
 stimulateur des gènes de l'interféron (STING), antinéoplasique

ulevistinag

cyclo[(*P*³*R*,2'*S*)-2'-désoxy-2'-fluoro-*P*-thioadénylyl-(3'→5')-(*P*²*R*)-3'-désoxy-3'-fluoro-*P*-thioguanilyl-(2'→5')]
 estimulador del gen de interferon (STING), antineoplásico

C₂₀H₂₂F₂N₁₀O₉P₂S₂

2082743-96-0

**ulilédlimabum #**

ulilédlimab

immunoglobulin G1-kappa, anti-[*Homo sapiens* NT5E (5'-nucleotidase ecto, 5' nucleotidase, NT5, eN, eNT NTE, CALJA, CD73)], monoclonal antibody; gamma1 heavy chain (1-450) [VH (*Homo sapiens*IGHV4-38-2*01 (87.6%) -(IGHD) -IGHJ6*01 (100%)) CDR-IMGT [9.7.13] (26-34.52-58.97-109) (1-120) - *Homo sapiens* IGHG1*03v, G1m3>G1m17, nG1m1 (CH1 R>K 120 (217) (121-218), hinge 1-15 (219-233), CH2 N84.4>A (300) (234-343), CH3 E12 (359), M14 (361) (344-448), CHS(449-450)) (121-450)], (223-213')-disulfide with kappa light chain (1'-215') [V-KAPPA (*Mus musculus* IGKV4-72*01 (81.1%) - IGKJ1*01 (90.9%) L124>V (103)]/*Homo sapiens* IGKV3-11*01 (77.9%) -IGKJ4*01 (100%)) CDR-IMGT [5.3.9] (26-31.59-51.88-96) (1'-106') -*Homo sapiens* IGKC*01 (100%), Km3 A45.1 (152), V101 (190) (107'-213')]; dimer (229-229":232-232")-bisdisulfide, produced in a Chinese hamster ovary (CHO)-K1 cell line, non-glycosylated

immunomodulator, antineoplastic

ulilédlimab

immunoglobuline G1-kappa, anti-[*Homo sapiens* NT5E (5' ecto nucléotidase, 5' nucléotidase, NT5, eN, eNT NTE, CALJA, CD73)], anticorps monoclonal; chaîne lourde gamma1 (1-450) [VH (*Homo sapiens*IGHV4-38-2*01 (87.6%) -(IGHD) -IGHJ6*01 (100%)) CDR-IMGT [9.7.13] (26-34.52-58.97-109) (1-120) - *Homo sapiens* IGHG1*03v, G1m3>G1m17, nG1m1 (CH1 R>K 120 (217) (121-218), charnière 1-15 (219-233), CH2 N84.4>A (300) (234-343), CH3 E12 (359), M14 (361) (344-448), CHS(449-450)) (121-450)], (223-213')-disulfure avec la chaîne légère kappa (1'-215') [V-KAPPA (*Mus musculus* IGKV4-72*01 (81.1%) - IGKJ1*01 (90.9%) L124>V (103)]/*Homo sapiens* IGKV3-11*01 (77.9%) -IGKJ4*01 (100%)) CDR-IMGT [5.3.9] (26-31.59-51.88-96) (1'-106') -*Homo sapiens* IGKC*01 (100%), Km3 A45.1 (152), V101 (190) (107'-213')]; dimère (229-229":232-232")-bisdisulfure, produit dans des cellules ovariennes de hamster chinois (CHO) lignée cellulaire CHO-K1, non-glycosylé

immunomodulateur, antinéoplasique

uliledimab

inmunoglobulina G1-kappa, anti-[*Homo sapiens* NT5E (5' ecto nucleotidasa, 5' nucleotidasa, NT5, eN, eNT NTE, CALJA, CD73)], anticuerpo monoclonal;
 cadena pesada gamma1 (1-450) [VH (*Homo sapiens* IGHV4-38-2*01 (87.6%) -(IGHD) -IGHJ6*01 (100%)) CDR-IMGT [9.7.13] (26-34.52-58.97-109) (1-120) -*Homo sapiens* IGHG1*03v, G1m3>G1m17, nG1m1 (CH1 R>K 120 (217) (121-218), bisagra 1-15 (219-233), CH2 N84.4>A (300) (234-343), CH3 E12 (359), M14 (361) (344-448), CHS(449-450)) (121-450)], (223-213')-disulfuro con la cadena ligera kappa (1'-215') [V-KAPPA (*Mus musculus* IGKV4-72*01 (81.1%) -IGKJ1*01 (90.9%) L124>V (103)/*Homo sapiens* IGKV3-11*01 (77.9%) -IGKJ4*01 (100%)) CDR-IMGT [5.3.9] (26-31.59-51.88-96) (1'-106') -*Homo sapiens* IGKC*01 (100%), Km3 A45.1 (152), V101 (190) (107'-213')]; dímero (229-229'' :232-232'')-bisdisulfuro, producido en las células ováricas de hamster chino (CHO) línea celular CHO-K1, no glicosilado
inmunomodulador, antineoplásico

2378407-27-1

Heavy chain / Chaîne lourde / Cadena pesada

```
EVQLQESGGPG LVKPSSETLSL TCAVSGYSIT SGYYWNWIRQ PPGKLEWNG 50
YINYGSGNGY NPSLKSRTTI SROTSKNQFS LKLSSTVAAD TAVYICARDY 100
DAYYEALDDW GQGTTVTVSS ASTKGFVFPF LAPSSKSTSG GTAALGCLVK 150
DYFPEFVTVS WNSGALTSGV HTPFAVLQSS GLYSLSSVVT VPSSSLGTQT 200
YICNVNHKFS NTKVDKKEVP KSCDKHTTCT PCFAPPELLGG PSVFLPFPKP 250
KDTLMSIRTP EVTCVVVDVS HEDPEVKFNW YVDGVEVHNA KTKFEEQDYA 300
STYRVSVLT VLIHQDWLNGK EYKCKVSNKA LPAPIEKTIK KAKGQPREPK 350
VYTLPPSREE MTKNQVSLTLC LVKGFYPSDI AVEWESNQP ENNYKTTPEV 400
LSDSGSFFLY SKLTVDKSRW QQGNVFCSV MHEALHNHYT QKSLSLSPGK 450
```

Light chain / Chaîne légère / Cadena ligera

```
EIVLSQSPAT LSLSPGERAT LSCRASSRVN YMHVYQKPG QSPRFWISAT 50
SNLAGGVPAR FSGSGSGTSY TLTISLSEPE DPAVYICQOW SSNPPTFGGG 100
TKVELIKRTVA AFSVFIPPPS DEQLKSGTAS VVCLLNNFYP REAKVQWKVD 150
NALQSGNSQE SVTEQDSKDS TYSLSSTLTL SKADYERHKV YACEVTHQGL 200
SSPVTKSFNR GEC 213
```

Post-translational modifications

Disulfide bridges location / Position des ponts disulfure / Posiciones de los puentes disulfuro

Intra-H (C23-C104) 22"-96" 147"-203" 264"-324" 370"-428"
 Intra-L (C23-C104) 23"-87" 133"-193"
 23"-87" 133"-193"

Inter-H-L (h 5-CL 126) 223-213' 223"-213"

Inter-H-H (h 11, h 14) 229-229" 232-232"

No N-glycosylation sites / pas de sites de N-glycosylation / ningún posición de N-glicosilación

CH2 N84.4>A:

300, 300"

Aglycosylated

C-terminal lysine clipping / Coupure de la lysine C-terminale / Recorte de lisina C-terminal

HCHS K2:

450, 450"

ulotarontum

ulotaront

1-[(7S)-4,7-dihydro-5H-thieno[2,3-c]pyran-7-yl]-N-methylmethanamine
serotonin receptor (5-HT1A) and trace amine-associated receptor 1 (TAAR1) agonist, neuroleptic

ulotaront

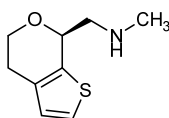
1-[(7S)-4,7-dihydro-5H-thiéno[2,3-c]pyran-7-yl]-N-méthylméthanamine
agoniste des récepteurs de la sérotonine (5-HT1A) et des récepteurs amine de trace associée 1 (TAAR1), neuroleptique

ulotaront

1-[(7S)-4,7-dihidro-5H-tieno[2,3-c]piran-7-il]-N-metilmetanamina
agonista del receptor de la serotonina (5-HT1A) y del receptor de trazas de amina asociado 1 (TAAR1), neuroléptico

C₉H₁₃NOS

1310426-33-5

**umifoxolanerum**

umifoxolaner

4-[(5S)-5-[3-chloro-4-fluoro-5-(trifluoromethyl)phenyl]-5-(trifluoromethyl)-4,5-dihydro-1,2-oxazol-3-yl]-N-[2-oxo-2-[(2,2,2-trifluoroethyl)amino]ethyl]naphthalene-1-carboxamide

gamma-aminobutyric acid (GABA) regulated chloride channels antagonist, antiparasitic agent (veterinary use)

umifoxolaner

4-[(5S)-5-[3-chloro-4-fluoro-5-(trifluorométhyl)phényl]-5-(trifluorométhyl)-4,5-dihydro-1,2-oxazol-3-yl]-N-[2-oxo-2-[(2,2,2-trifluoroéthyl)amino]éthyl]naphthalène-1-carboxamide

antagoniste des canaux chlorure réglementés par l'acide gamma-aminobutyrique (GABA), antiparasitaire (usage vétérinaire)

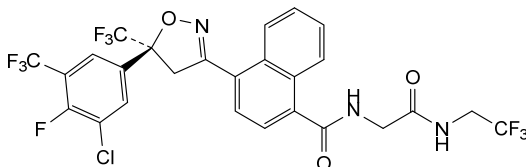
umifoxolaner

4-[(5S)-5-[3-cloro-4-fluoro-5-(trifluorometil)fenil]-5-(trifluorometil)-4,5-dihidro-1,2-oxazol-3-il]-N-[2-oxo-2-[(2,2,2-trifluoroetil)amino]etil]naftaleno-1-carboxamida

antagonista de los canales de cloruro regulado por ácido gamma-aminobutírico (GABA), antiparasitario (uso veterinario)

C₂₆H₁₆ClF₁₀N₃O₃

2021230-37-3

**unasnemabum #**

unasnemab

immunoglobulin G1-kappa, anti-[*Homo sapiens* RGMA (repulsive guidance molecule BMP co-receptor a, RGM)], monoclonal antibody;

gamma1 heavy chain (1-446) [VH (*Mus musculus*IGHV6-6*01 (87%) -(IGHD) -IGHJ1*01 (90.9%)/*Homo sapiens* IGHV3-49*04 (85%) -(IGHD) -IGHJ6*04 (100%)) CDR-IMGT [8.10.7] (26-33.51-60.99-105) (1-116) -*Homo sapiens* IGHG1*01 (100%), G1m17,1 (CH1 K120 (213) (117-214), hinge 1-15 (215-229), CH2 (230-339), CH3 D12 (355), L14 (357) (340-444), CHS (445-446)) (117-446)], (219-214')-disulfide with kappa light chain (1'-214') [V-KAPPA (*Homo sapiens* IGKV1-12*01 (87.4%) -IGKJ4*01 (81.8%)) CDR-IMGT [6.3.9] (27-32.50-52.89-97) (1'-107') -*Homo sapiens* IGKC*01 (100%) Km3 A45.1 (153), V101 (191) (108'-214')]; dimer (225-225''-228-228'')-bisdisulfide, produced in Chinese hamster ovary (CHO) cells, glycoform alfa

neurological

unasnétab

immunoglobuline G1-kappa, anti-[*Homo sapiens* RGMA (co-récepteur BMP de la molécule d'orientation répulsive a, RGM)], anticorps monoclonal;
chaîne lourde gamma1 (1-446) [VH(*Mus musculus* IGHV6-6*01 (87%) -(IGHD) -IGHJ1*01 (90.9%)/*Homo sapiens* IGHV3-49*04 (85%) -(IGHD) -IGHJ6*04 (100%)) CDR-IMGT [8.10.7] (26-33.51-60.99-105) (1-116) -*Homo sapiens* IGHG1*01 (100%), G1m17,1 (CH1 K120 (213) (117-214), charnière 1-15 (215-229), CH2 (230-339), CH3 D12 (355), L14 (357) (340-444), CHS (445-446)) (117-446)], (219-214')-disulfure avec la chaîne légère kappa (1'-214') [V-KAPPA (*Homo sapiens* IGKV1-12*01 (87.4%) -IGKJ4*01 (81.8%)) CDR-IMGT [6.3.9] (27-32.50-52.89-97) (1'-107') -*Homo sapiens* IGKC*01 (100%) Km3 A45.1 (153), V101 (191) (108'-214')]; dimère (225-225":228-228")-bisdisulfure, produit dans des cellules ovariennes de hamster chinois (CHO), glycoforme alfa *neurologique*

unasnemab

immunoglobulina G1-kappa, anti-[*Homo sapiens* RGMA (co-receptor BMP de la molécule de orientation repulsiva a, RGM)], anticuerpo monoclonal;
cadena pesada gamma1 (1-446) [VH (*Mus musculus* IGHV6-6*01 (87%) -(IGHD) -IGHJ1*01 (90.9%)/*Homo sapiens* IGHV3-49*04 (85%) -(IGHD) -IGHJ6*04 (100%)) CDR-IMGT [8.10.7] (26-33.51-60.99-105) (1-116) -*Homo sapiens* IGHG1*01 (100%), G1m17,1 (CH1 K120 (213) (117-214), bisagra 1-15 (215-229), CH2 (230-339), CH3 D12 (355), L14 (357) (340-444), CHS (445-446)) (117-446)], (219-214')-disulfuro con la cadena ligera kappa (1'-214') [V-KAPPA (*Homo sapiens* IGKV1-12*01 (87.4%) -IGKJ4*01 (81.8%)) CDR-IMGT [6.3.9] (27-32.50-52.89-97) (1'-107') -*Homo sapiens* IGKC*01 (100%) Km3 A45.1 (153), V101 (191) (108'-214')]; dímero (225-225":228-228")-bisdisulfuro, producido en las células ováricas de hámster chino (CHO), forma glicosilada alfa *neuroológico*

2379805-59-9

Heavy chain / Chaîne lourde / Cadena pesada

```

EQLVLESGGG LVQPRSLRL SCTASGFTFS DAWMDWVRQA PGKLEWVAE 50
IRSKANNHAT YYAESVKGGRF TISRDDSKSI VYLQMNLSRT EDTALYCYTR 100
RDGAYWGKGT TVTVSSASTK GFSVFFLAPS SKSTSGGTAA LGCLVKDYDF 150
EPVTVSWSNG ALTSQVHTFP AVLQSSGLYS LSSVVTVESS SLGQTQVICN 200
VNHKPSNTKV DKKVEPKSCD KTHTCPFPCA PELLGGPSVF LFPKPKDIL 250
MISRTPPEVTC VVVDVSHEDP EVKENWYVDG VEVHNAKTKP REEQYNSTYR 300
VVSVLTVLHQ DWLNGKEYKC KVSNKALFAP IEKTISKAKG QPREPQVYTL 350
PFSRDELTKN QVSLTCLVKG FYFSDIAVEW ESNQGFENNY KTFPPVLDS 400
GSFELYSKLT VDKSRWQQGN VFSCSVMEHA LHNHYTQKSL SLSPGK 446

```

Light chain / Chaîne légère / Cadena ligera

```

DIQMTQSPSS VSASVGRVIT ITCRASQDIS SYLNWYQKPK GKAPKLLIYY 50
TSRLHSGVPS RFSGSGSGTD FTLTISLQPE EDFASYFCQQ LNTLPWTFGG 100
GKVMERTV AAPSVPFPPP SDEQLKSGTA SVVCLLNNEY PREAKVQKWK 150
DNALQSGNSQ ESVTQDSKDK STYLSLSTLT LSKADYERKHK VYACEVTHQG 200
LSSPVTKSFN RGEK 214

```

Post-translational modifications

Disulfide bridges location / Position des ponts disulfure / Posiciones de los puentes disulfuro

Intra-H (C23-C104) 22-98 143-199 260-320 366-424
22"-98" 143"-199" 260"-320" 366"-424"

Intra-L (C23-C104) 23"-88" 134"-194"
23"-88" 134"-194"

Inter-H-L (h 5-CL 126) 219-214' 219"-214"

Inter-H-H (h 11, h 14) 225-225" 228-228"

N-glycosylation sites / Sites de N-glycosylation / Posiciones de N-glicosilación

H CH2 N84.4:

296, 296"

Fucosylated complex bi-antennary CHO-type glycans / glycanes de type CHO bi-antennaires complexes fucosylés / glicanos de tipo CHO biantennarios complejos fucosilados.

C-terminal lysine clipping / Coupure de la lysine C-terminale / Recorte de lisina C-terminal

H CHS K2:

446, 446"

unesbulinum

unesbulin

5-fluoro-2-(6-fluoro-2-methyl-1*H*-benzimidazol-1-yl)-*N*⁴-[4-(trifluoromethyl)phenyl]pyrimidine-4,6-diamine
tubulin binder, antineoplastic

unesbuline

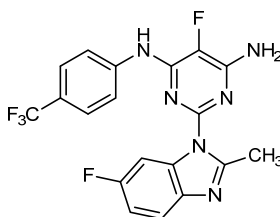
5-fluoro-2-(6-fluoro-2-méthyl-1*H*-benzimidazol-1-yl)-*N*⁴-[4-(trifluorométhyl)phényl]pyrimidine-4,6-diamine
ligand de la tubuline, antinéoplasique

unesbulina

5-fluoro-2-(6-fluoro-2-metil-1*H*-benzimidazol-1-il)-*N*⁴-[4-(trifluorometil)fenil]pirimidina-4,6-diamina
ligando de tubulina, antineoplásico

C₁₉H₁₃F₅N₆

1610964-64-1

**usmarapidum**

usmarapride

3-{5-[1-(3-methoxypropyl)piperidin-4-yl]-1,3,4-oxadiazol-2-yl}-1-(propan-2-yl)-1*H*-indazole
serotonin (5-HT₄) receptor partial agonist

usmarapride

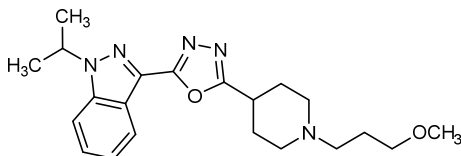
3-{5-[1-(3-méthoxypropyl)pipéridin-4-yl]-1,3,4-oxadiazol-2-yl}-1-(propan-2-yl)-1*H*-indazole
agoniste partiel des récepteurs de la sérotonine (5-HT₄)

usmaraprida

3-{5-[1-(3-metoxipropil)piperidin-4-il]-1,3,4-oxadiazol-2-il}-1-(propan-2-il)-1*H*-indazol
agonista parcial de los receptores de la serotonina (5-HT₄)

C₂₁H₂₉N₅O₂

1428862-32-1

**vanglusagenum ensiparovecum #**

vanglusagene ensiparovec

A recombinant liver-directed adeno-associated virus vector expressing human acid alpha-glucosidase (GAA).

A recombinant liver-directed adeno-associated virus serotype rh74 (AAVrh74) vector that contains a bio-engineered capsid derived from AAVrh74 by four amino-acid substitutions and a codon-optimized transgene expression cassette to drive hepatic

synthesis and secretion of the lysosomal enzyme human acid alpha-glucosidase (GAA, α -1,4-glucosidase, acid maltase) via an apolipoprotein E hepatic control region 1 (ApoE HCR1) enhancer/ human alpha 1-antitrypsin (hAAT) promoter, a modified human beta-globin intron 2 (HBB2) and a bovine growth hormone (bGH) polyA signal sequence, flanked by adeno-associated virus 2 (AAV2) inverted terminal repeats (ITRs).
gene therapy (Pompe disease)

vanglusagène ensiparvec

Un vecteur viral adéno-associé recombinant ciblant le foie exprimant l'alpha-glucosidase acide (GAA) humaine.
Un vecteur viral adéno-associé de sérotype rh74 recombinant (AAVrh74) ciblant le foie qui contient une capsid issue de la bio-ingénierie dérivée du AAVrh74 par quatre substitutions d'acides aminés et une cassette d'expression d'un transgène aux codons optimisés pour induire la synthèse hépatique et la sécrétion de l'alpha-glucosidase acide (GAA, α -1,4-glucosidase, maltase acide) enzyme humaine des lysosomes via un activateur de la région 1 de contrôle hépatique de l'apolipoprotéine E (ApoE HCR1)/promoteur de l'alpha 1-antitrypsine humaine (hAAT), un intron 2 modifié de la bêta-globine humaine (HBB2) et une séquence signal polyA de l'hormone de croissance bovine (bGH), flanquée de répétitions terminales inversées (ITRs) du virus adéno-associé 2 (AAV2).
thérapie génique (maladie de Pompe)

vanglusagén ensiparvec

Un vector de virus adeno-asociado recombinante dirigido al hígado que expresa la alfa-glucosidasa ácida (GAA) humana.
Un vector de virus adeno-asociado serotipo rh74 (AAVrh74) recombinante dirigido al hígado que contiene una cápside bioingenierizada derivada de AAVrh74 mediante sustituciones de cuatro aminoácidos y un casete de expresión con codones optimizados para dirigir la síntesis hepática y la secreción de la enzima lisosomal alfa-glucosidasa ácida humana (GAA, α -1,4-glucosidasa, maltasa ácida) mediante un potenciador de la región de control hepática 1 de la apolipoproteína E (ApoE HCR1)/promotor de alfa 1-antitripsina humana (hAAT), un intrón 2 modificado de la beta-globina humana (HBB2) y una secuencia señal polyA de la hormona de crecimiento bovina (bGH), flanqueado por las repeticiones terminales invertidas (ITRs) del virus adeno-asociado 2 (AAV2).
terapia génica (enfermedad de Pompe)

2382896-00-4

varoglutamstatum

varoglutamstat

(5S)-1-(1H-benzimidazol-5-yl)-5-(4-propoxyphenyl)imidazolidin-2-one
glutaminyl cyclase inhibitor

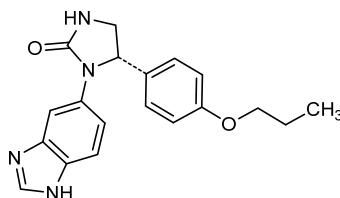
varoglutamstat

(5S)-1-(1H-benzimidazol-5-yl)-5-(4-propoxyphényl)imidazolidin-2-one
inhibiteur de la glutaminyle cyclase

varoglutamstat (5*S*)-1-(1*H*-benzimidazol-5-il)-5-(4-propoxifenil)imidazolidin-2-ona
inhibidor de la glutaminilo ciclasa

$C_{19}H_{20}N_4O_2$

1276021-65-8



vemircopanum

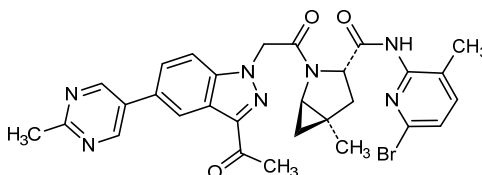
vemircopan (1*R*,3*S*,5*R*)-2-[[3-acetyl-5-(2-methylpyrimidin-5-yl)-1*H*-indazol-1-yl]acetyl]-*N*-(6-bromo-3-methylpyridin-2-yl)-5-methyl-2-azabicyclo[3.1.0]hexane-3-carboxamide
complement factor D inhibitor

vémircopan (1*R*,3*S*,5*R*)-2-[[3-acétyl-5-(2-méthylpyrimidin-5-yl)-1*H*-indazol-1-yl]acétyl]-*N*-(6-bromo-3-méthylpyridin-2-yl)-5-méthyl-2-azabicyclo[3.1.0]hexane-3-carboxamide
inhibiteur du facteur D du complément

vemircopán (1*R*,3*S*,5*R*)-2-[[3-acetil-5-(2-metilpirimidin-5-il)-1*H*-indazol-1-il]acetyl]-*N*-(6-bromo-3-metilpiridin-2-il)-5-metil-2-azabicyclo[3.1.0]hexano-3-carboxamida
inhibidor de factor D del complemento

$C_{29}H_{28}BrN_7O_3$

2086178-00-7



vixtimotamabum

vixtimotamab

immunoglobulin V-kappa-VH-V-lambda-VH' chain homodimer, anti-[*Homo sapiens* CD3E (CD3 epsilon, Leu-4)] and anti-[*Homo sapiens* CD33 (sialic acid binding Ig-like lectin 3, SIGLEC3, SIGLEC-3, gp67, p67)], monoclonal antibody V-kappa-VH-V-lambda-VH' chain noncovalent homodimer, bispecific, tetravalent; IG V-kappa-VH-V-lambda-VH' chain anti-CD3E and anti-CD33 (1-483) [anti-CD3E V-KAPPA (*Homo sapiens* IGKV1-17*01 (72.5%) - IGKJ1*01 (91.7%)) CDR-IMGT [9.3.9] (27-35.53-55.92-100) (1-110)] -6-mer bis(diglycyl-seryl) linker (111-116) -anti-CD33 VH (*Homo sapiens*IGHV1-8*01 (94.9%) -(IGHD) -IGHJ1*01 (100%)) CDR-IMGT [8.8.15] (142-149.167-174.213-227) (117-238) -4-mer diglycyl-seryl-glycyl linker (239-242) -anti-CD33 V-LAMBDA (*Homo sapiens* IGLV1-44*01 (95.9%) -IGLJ3*01 (86.7%)) CDR-IMGT [8.3.11] (268-275.293-295.332-342) (243-352)] -6-mer bis(diglycyl-seryl) linker

- (353-358) -anti-CD3E VH (*Mus musculus* IGHV10-1*02 (89.8%) -(IGHD) -IGHJ3*01 (86.7%)/*Homo sapiens* IGHV3-72*01 (88.0%) -(IGHD) -IGHJ4*01 (93.3%)) CDR-IMGT [8.10.16] (384-391.409-418.457-472) (359-483)]; noncovalent homodimer, produced in a Chinese hamster ovary (CHO)-derived cell line transfected with the glutamine synthetase (GS) gene, non-glycosylated
immunomodulator, antineoplastic
- vixtimotamab
immunoglobuline chaîne V-kappa-VH-V-lambda-VH' homodimère, anti-[*Homo sapiens* CD3E (CD3 epsilon, Leu-4)] et anti-[*Homo sapiens* CD33 (lectine 3 de type Ig-like liant l'acide sialique, SIGLEC3, SIGLEC-3, gp67, p67)], anticorps monoclonal chaîne V-kappa-VH-V-lambda-VH' homodimère non-covalent, bispécifique, tétravalent;
IG chaîne V-kappa-VH-V-lambda-VH' anti-CD3E et anti-CD33 (1-483) [anti-CD3E V-KAPPA (*Homo sapiens* IGKV1-17*01 (72.5%) -IGKJ1*01 (91.7%)) CDR-IMGT [9.3.9] (27-35.53-55.92-100) (1-110)] -6-mer bis(diglycyl-séryl) linker (111-116) -anti-CD33 VH (*Homo sapiens* IGHV1-8*01 (94.9%) -(IGHD) -IGHJ1*01 (100%)) CDR-IMGT [8.8.15] (142-149.167-174.213-227) (117-238) -4-mer diglycyl-séryl-glycyl linker (239-242) -anti-CD33 V-LAMBDA (*Homo sapiens* IGLV1-44*01 (95.9%) -IGLJ3*01 (86.7%)) CDR-IMGT [8.3.11] (268-275.293-295.332-342) (243-352)] -6-mer bis(diglycyl-séryl) linker (353-358) -anti-CD3E VH (*Mus musculus* IGHV10-1*02 (89.8%) -(IGHD) -IGHJ3*01 (86.7%)/*Homo sapiens* IGHV3-72*01 (88.0%) -(IGHD) -IGHJ4*01 (93.3%)) CDR-IMGT [8.10.16] (384-391.409-418.457-472) (359-483)]; homodimère non-covalent, produite dans une lignée cellulaire dérivée des cellules ovariennes de hamster chinois (CHO) transfectée avec le gène de la glutamine synthétase (GS), non-glycosylé
immunomodulateur, antinéoplasique
- vixtimotamab
immunoglobulina cadena V-kappa-VH-V-lambda-VH' homodímero, anti-[*Homo sapiens* CD3E (CD3 épsilon, Leu-4)] y anti-[*Homo sapiens* CD33 (lectina 3 de tipo Ig-like de unión al ácido siálico, SIGLEC3, SIGLEC-3, gp67, p67)], anticuerpo monoclonal cadena V-kappa-VH-V-lambda-VH' homodímero no covalente, biespecífica, tetraivalente;
IG cadena V-kappa-VH-V-lambda-VH' anti-CD3E y anti-CD33 (1-483) [anti-CD3E V-KAPPA (*Homo sapiens* IGKV1-17*01 (72.5%) -IGKJ1*01 (91.7%)) CDR-IMGT [9.3.9] (27-35.53-55.92-100) (1-110)] -6-mer bis(diglicil-seril) linker (111-116) -anti-CD33 VH (*Homo sapiens* IGHV1-8*01 (94.9%) -(IGHD) -IGHJ1*01 (100%)) CDR-IMGT [8.8.15] (142-149.167-174.213-227) (117-238) -4-mer diglicil-seril-glicil linker (239-242) -anti-CD33 V-LAMBDA (*Homo sapiens* IGLV1-44*01 (95.9%) -IGLJ3*01 (86.7%)) CDR-IMGT [8.3.11] (268-275.293-295.332-342) (243-352)] -6-mer bis(diglicil-seril) linker (353-358) -anti-CD3E VH (*Mus musculus* IGHV10-1*02 (89.8%) -(IGHD) -IGHJ3*01 (86.7%)/*Homo sapiens* IGHV3-72*01 (88.0%) -(IGHD) -IGHJ4*01 (93.3%)) CDR-IMGT [8.10.16] (384-391.409-418.457-472) (359-483)]; homodímero no covalente, producido en una línea celular derivada de las células ováricas de hámster chino (CHO) transfectada con el gen de la glutamina sintetasa (GS), no glicosilado
immunomodulador, antineoplásico

2243775-32-6

Chain / Chaîne / Cadena
 DIQMTQSFSS LSASVGDVRT ITCRSSTGAV TTSNYANVWQ QKPGKAPKAL 50
 IGGTNKRAPG VPSRFSGSLI GDKATLTISS LQPEDFATYY CALWYSNLWV 100
 FGQGTKEIK GSGGGSQVL VQSGAEVKKP GASVKVSKA SGYTFYSYDI 150
 NWRVQAQGG LEWGMWNPV SGNTPAQKF QGRVTMTRDT STSTVYMELS 200
 SLRSEDNAV YCARDRANTD YSLGMDVWQQ GTLVTVSSGG SGQSVLTQPP 250
 SASGTFQQRV TISCSGSRSN IGSNTVNWYQ QLPGTAPKLL IYGNQRPSG 300
 VPDFRSGSKS GTSASLAISG LQSEDEADY CATWDDSLIG WVFGGTKLT 350
 VLGSGGSEV QLVESGGGLV QPGLRLRSC AASGTFSTY AMNWRVQAPG 400
 KGLEWVGRIR SKYNNYATYY ADSVKDRPTI SRDDSKNSLY LQMNSLKTED 450
 TAVYICARHG NFGNSYVSF AYWGQGLVTV VSS 483

Post-translational modifications
 Disulfide bridges location / Position des ponts disulfure / Posiciones de los puentes disulfuro
 Intra-chain (C23-C104) 23-91 138-212 264-331 380-456

No N-glycosylation sites / pas de sites de N-glycosylation / ningún posición de N-glicosilación

voxeralgagenum autotemcelum #

voxeralgagene autotemcel

Autologous CD34+ hematopoietic stem cells (HSCs) transduced *ex vivo* with a self-inactivating lentiviral vector encoding human alpha-galactosidase A (GLA).

Autologous CD34+ hematopoietic stem cells (HSCs) obtained by apheresis, transduced with a non-replicating, self-inactivating lentiviral vector encoding codon-optimized human alpha-galactosidase A (GLA) under the control of the human elongation factor 1 alpha short (EFS-1 alpha) promoter and a modified woodchuck hepatitis virus posttranscriptional regulatory element (WPRE). The vector genome also contains a packaging signal, a partial *gag* sequence, a Rev response element (RRE), a central polypurine tract (cPPT) and a Kozak sequence.
cell-based gene therapy (Fabry disease)

voxéralgagène autotemcel

Cellules souches hématopoïétiques autologues CD34+ (HSCs) transduites *ex vivo* avec un vecteur lentiviral auto-inactivant codant pour la galactosidase-alpha A (GLA).

Les cellules souches hématopoïétiques autologues CD34+ (HSCs) obtenues par aphérese, transduites avec un vecteur lentiviral non-répliquant, auto-inactivant codant pour une galactosidase-alpha A humaine aux codons optimisés (GLA) sous le contrôle du promoteur humain du facteur d'élongation 1 alpha court (EFS-1 alpha) et un élément de régulation post-transcriptionnelle du virus de l'hépatite de la marmotte (WPRE). Le génome du vecteur contient aussi un signal de compaction, une séquence partielle *gag*, un élément de réponse Rev (RRE), un tractus central de polypurine (cPPT) et une séquence Kozak.
thérapie génique à base de cellules (maladie de Fabry)

voxeralgagén autotemcel

Células madre hematopoyéticas (HSC) CD34+ autólogas transducidas *ex vivo* con un vector lentiviral auto inactivante que codifica para la galactosidasa alfa A (GLA) humana.

Células madre hematopoyéticas (HSC) CD34+ autólogas obtenidas por aféresis, transducidas con un vector lentiviral no replicativo y auto inactivante que codifica para la galactosidasa alfa A (GLA) humana, con codones optimizados, bajo el control del promotor del factor de elongación corto 1 alfa (EFS-1 alfa) humano y un elemento regulador post-transcripcional del virus de la hepatitis de la marmota (WPRE) modificado. El genoma del vector también contiene una señal empaquetadora, una secuencia *gag* parcial, un elemento de respuesta Rev (RRE), un segmento central de polipurinas (cPPT) y una secuencia Kozak.
terapia génica basada en células (enfermedad de Fabry)

zabedoseritibum

zabedoseritib

N-{6-(2-hydroxypropan-2-yl)-2-[2-(methanesulfonyl)ethyl]-2*H*-indazol-5-yl}-6-(trifluoromethyl)pyridine-2-carboxamide
serine/ threonine kinase inhibitor

zabédoseritib

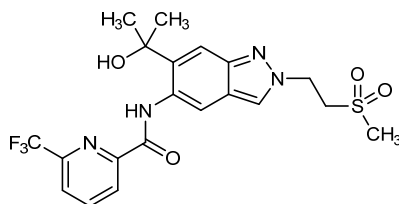
N-{6-(2-hydroxypropan-2-yl)-2-[2-(méthanesulfonyl)éthyl]-2*H*-indazol-5-yl}-6-(trifluorométhyl)pyridine-2-carboxamide
inhibiteur de sérine/ thréonine kinase

zabedoseritib

N-{6-(2-hidroxiopropan-2-il)-2-[2-(metanosulfonyl)etil]-2*H*-indazol-5-il}-6-(trifluorometil)piridina-2-carboxamida
inhibidor de serina / treonina kinasa

C₂₀H₂₁F₃N₄O₄S

1931994-81-8

**zaloglanstatum**

zaloglanstat

N-[(4-chloro-3-{5-oxo-1-[4-(trifluoromethyl)phenyl]-2,5-dihydro-1*H*-1,2,4-triazol-3-yl}phenyl)methyl]-2,2-dimethylpropanamide
prostaglandin synthase inhibitor

zaloglanstat

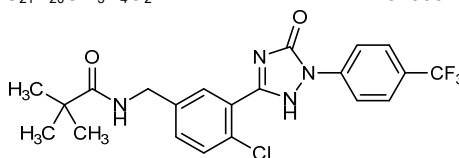
N-[(4-chloro-3-{5-oxo-1-[4-(trifluorométhyl)phényl]-2,5-dihydro-1*H*-1,2,4-triazol-3-yl}phényl)méthyl]-2,2-diméthylpropanamide
inhibiteur de la prostaglandine synthase

zaloglanstat

N-[(4-cloro-3-{5-oxo-1-[4-(trifluorometil)fenil]-2,5-dihydro-1*H*-1,2,4-triazol-3-il}fenil)metil]-2,2-dimetilpropanamida
inhibidor de la prostaglandina sintasa

C₂₁H₂₀ClF₃N₄O₂

1513852-12-4

**zamtocabtagenum autoleucelum #**

zamtocabtagene autoleucel

Autologous T cells obtained from peripheral blood collected by leukapheresis, transduced with a non-replicating lentiviral vector, pseudotyped with vesicular stomatitis virus (VSV) glycoprotein (G), encoding a codon-optimized chimeric antigen receptor (CAR) targeting the human B-lymphocyte antigens CD19 and CD20.

Cells are activated in the presence of a colloidal polymeric nanomatrix covalently attached to anti-CD3 and anti-CD28, transduced, and then cultured in the presence of IL-7 and IL-15. The T cells are predominantly central memory (>80%; CD4+/CD8+, CD62L+, CD45RO+) and effector memory T cells (CD4+/CD8+, CD62L-, CD45RO+). The target binding moieties of the CAR are two single-chain variable fragments (scFv), derived from a murine anti-human CD20 and a murine anti-human CD19 hybridoma clone linked with a (GGGGS)₅ sequence, fused to intracellular signaling domains from 4-1BB and CD3 zeta, under the control of the elongation factor 1 alpha (EF1α) promoter. The genome also contains a 5' splice donor site and a 3' splice acceptor site, a *gag* truncated open reading frame, an *env* truncated open reading frame, a Rev response element (RRE) 5' to the transgene, and a non-coding artificial sequence for viral titre determination and a *nef* truncated open reading frame 3' to the transgene.

cell-based gene therapy (antineoplastic)

zamtocabtagène autoleucel

Lymphocytes T autologues du sang périphérique recueillis par leucophérese, transduits avec un vecteur lentiviral non-répliquant, pseudotypés avec une glycoprotéine (G) du virus de la stomatite vésiculaire (VSV), codant un récepteur antigénique chimérique (CAR) aux codons optimisés ciblant les antigènes CD19 et CD20 du lymphocyte B humain. Les cellules sont activées en présence d'une nanomatrice polymérique colloïdale attachée de manière covalente à l'anti-CD3 et l'anti-CD28, transduites, et ensuite cultivées en présence d'IL-7 and IL-15. Les cellules sont majoritairement des lymphocytes T à mémoire centrale (>80%; CD4+/CD8+, CD62L+, CD45RO+) et à mémoire effectrice (CD4+/CD8+, CD62L-, CD45RO+). Les moitiés liées aux cibles du CAR sont deux fragments variables à chaîne simple (scFv), dérivées des clones murins antihumains d'hybridome CD19 et CD20 liés à la séquence (GGGGS)₅, fusionnées aux domaines de signalisation intracellulaire des zêta 4-1BB et CD3, sous le contrôle du promoteur du facteur 1 alpha d'élongation (EF1α). Le génome contient aussi un site d'épissage donneur en 5' et un site d'épissage accepteur en 3', un cadre de lecture ouvert *gag* tronqué, un cadre de lecture ouvert *env* tronqué, un élément de réponse Rev (RRE) dans la partie 5' du transgène, et une séquence artificielle non-codante pour la détermination de la titration virale et un cadre de lecture *nef* tronqué dans la partie 3' du transgène.

thérapie génique à base de cellules (antinéoplasique)

zamtocabtagén autoleucel

Linfocitos T autólogos obtenidos de sangre periférica recogidos por leucoaféresis, transducidos con un vector lentiviral no replicativo, seudotipado con la glicoproteína (G) del virus de la estomatitis vesicular (VSV), que codifica, con codones optimizados, para un receptor de antígenos quimérico (CAR) dirigido a los antígenos CD19 y CD20 de los linfocitos B humanos. Las células se activan en presencia de una nanomatriz coloidal polimérica anclada covalentemente a anti-CD3 y anti-CD28, transducidas, y luego se cultivan en presencia de IL-7 e IL-15. Los linfocitos T son predominantemente de memoria central (>80%; CD4+/CD8+, CD62L+, CD45RO+) y memoria efectora (CD4+/CD8+, CD62L-, CD45RO+). Las fracciones de unión a la diana del CAR son dos fragmentos de cadena variable sencilla (scFv), derivados de un clon de hibridoma murino anti-CD20 humano y anti-CD19 humano ligados con una secuencia (GGGGS)₅, fusionada a los dominios de señalización intracelulares de 4-1BB y CD3 zeta, bajo el control del promotor del factor de elongación 1 alfa (EF1α). El genoma también contiene un sitio 5' donante del procesamiento y un sitio 3' aceptor del procesamiento, un marco de lectura abierto truncado *gag*, un marco de lectura abierto truncado *env*, un elemento de respuesta Rev (RRE) en 5' con respecto al transgén, y una secuencia no codificante artificial para la determinación del título viral y un marco de lectura abierto truncado *nef* en 3' con respecto al transgén.

terapia génica basada en células (antineoplásico)

zavegepantum
zavegepant

N-{(2*R*)-3-(7-methyl-1*H*-indazol-5-yl)-1-[4-(1-methylpiperidin-4-yl)piperazin-1-yl]-1-oxopropan-2-yl]-4-(2-oxo-1,2-dihydroquinolin-3-yl)piperidine-1-carboxamide

calcitonin gene-related peptide receptor antagonist

zavégépant

N-{(2*R*)-3-(7-méthyl-1*H*-indazol-5-yl)-1-[4-(1-méthylpipéridin-4-yl)pipérazin-1-yl]-1-oxopropan-2-yl]-4-(2-oxo-1,2-dihydroquinoléin-3-yl)pipéridine-1-carboxamide

antagoniste du récepteur du peptide lié au gène de la calcitonine

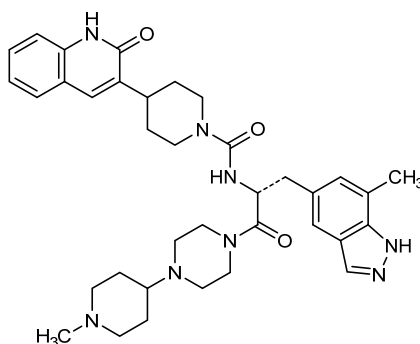
zavegepant

N-{(2*R*)-3-(7-metil-1*H*-indazol-5-il)-1-[4-(1-metilpiperidin-4-il)piperazin-1-il]-1-oxopropan-2-il]-4-(2-oxo-1,2-dihidroquinolein-3-il)piperidina-1-carboxamida

antagonista del receptor del péptido relacionado con el gen de la calcitonina

C₃₆H₄₆N₈O₃

1337918-83-8



zeluvalimabum #
zeluvalimab

immunoglobulin G1-kappa, anti-[*Homo sapiens* PDCD1 (programmed cell death 1, PD-1, PD1, CD279)], monoclonal antibody; gamma1 heavy chain (1-450) [VH (*Homo sapiens* IGHV3-23*03 (92.8%) -(IGHD) -IGHJ3*01 (92.3%)) CDR-IMGT [8.8.13] (26-33.50-58.97-109) (1-120) - *Homo sapiens* IGHG1*03v, G1m3>G1m17, nG1m1 (CH1 R120>K (217) (121-218), hinge 1-15 (219-233), CH2 R83>C (295), N84.4>G (300), V85>C (305) (234-343), CH3 E12 (359), M14 (361) (344-448), CHS (449-450)) (121-450)], (223-214')-disulfide with kappa light chain (1'-214') [V-KAPPA (*Homo sapiens* IGKV1-12*01 (96.8%) -IGKJ4*01 (100%)) CDR-IMGT [6.3.9](27-32.50-52.89-97) (1'-107') -*Homo sapiens* IGKC*01 (100%), Km3 A45.1 (153), V101 (191) (108'-214')]; dimer (229-229":232-232")-bisdisulfide, produced in Chinese hamster ovary (CHO) cells, non-glycosylated
immunomodulator, antineoplastic

zéluvalimab

immunoglobuline G1-kappa, anti-[*Homo sapiens* PDCD1 (protéine 1 de mort cellulaire programmée, PD-1, PD1, CD279)], anticorps monoclonal; chaîne lourde gamma1 (1-450) [VH (*Homo sapiens* IGHV3-23*03 (92.8%) -(IGHD) -IGHJ3*01 (92.3%)) CDR-IMGT [8.8.13] (26-33.50-58.97-109) (1-120) - *Homo sapiens* IGHG1*03v, G1m3>G1m17, nG1m1 (CH1 R120>K (217) (121-218), charnière 1-15 (219-233), CH2 R83>C (295), N84.4>G (300), V85>C (305) (234-343), CH3 E12 (359), M14 (361) (344-448), CHS (449-450)) (121-450)], (223-214')-disulfure avec la chaîne légère kappa (1'-214') [V-KAPPA (*Homo sapiens* IGKV1-12*01 (96.8%) -IGKJ4*01 (100%)) CDR-IMGT [6.3.9](27-32.50-52.89-97) (1'-107') -*Homo sapiens* IGKC*01 (100%), Km3 A45.1 (153), V101 (191) (108'-214')]; dimère (229-229":232-232")-bisdisulfure, produit dans des cellules ovariennes de hamster chinois (CHO), non-glycosylé
immunomodulateur, antinéoplasique

zeluvalimab

inmunoglobulina G1-kappa, anti-[*Homo sapiens* PDCD1 (proteína 1 de muerte celular programada, PD-1, PD1, CD279)], anticuerpo monoclonal; cadena pesada gamma1 (1-450) [VH (*Homo sapiens* IGHV3-23*03 (92.8%) -(IGHD) -IGHJ3*01 (92.3%)) CDR-IMGT [8.8.13] (26-33.50-58.97-109) (1-120) -*Homo sapiens* IGHG1*03v, G1m3>G1m17, nG1m1 (CH1 R120>K (217) (121-218), bisagra 1-15 (219-233), CH2 R83>C (295), N84.4>G (300), V85>C (305) (234-343), CH3 E12 (359), M14 (361) (344-448), CHS (449-450)) (121-450)], (223-214')-disulfuro con la cadena ligera kappa (1'-214') [V-KAPPA (*Homo sapiens* IGKV1-12*01 (96.8%) -IGKJ4*01 (100%)) CDR-IMGT [6.3.9](27-32.50-52.89-97) (1'-107') -*Homo sapiens* IGKC*01 (100%), Km3 A45.1 (153), V101 (191) (108'-214')]; dímero (229-229":232-232")-bisdisulfuro, producido en las células ováricas de hámster chino (CHO), no glicosilado
inmunomodulador, antineoplásico

2315361-37-4

Heavy chain / Chaîne lourde / Cadena pesada

```
EVQLLESGGG LVQPFGSLRL SCAASGTFPS SYDMSWVRQA PGKLEWVSL 50
ISGGGSQTYE AESVKGRFTI SRDNSKNTLY LQMNSLRAED TAVYFCASPS 100
GHYFYAMDVW GQGTIVTVSS ASTKGPVFP LAPSSKSTSG GTAALGLVKV 150
DYFPEFVTVS WNSGALTKSGV HTFPVAVLQSS GLYSLSSVVT VPSSSLGTQT 200
YICNVNHHKPS NTKVDKKEVP KSCDKHTTCT PCPAPELLGG PVSFLFPPKPT 250
KDTLMSRTP EIVTCVVVDVSD HEDPEVKFNW YVDGVEVHNA KTKPCEEQYG 300
STYRCVSVLT VLHQDWLNGK EYKCKVSNKA LPAPIEKTIS KAKGQPREPQ 350
VYTLPPSREE MTKNQVSLTLC LVKGFYPSDI AVEWESNGQP ENNYKTTTPV 400
LSDGGSFFLY SKLTVDKSRW QQGNVFCSCV MHEALHNHYT QKSLSLSPGK 450
```

Light chain / Chaîne légère / Cadena ligera

```
DIQMTQSPSS VSASVGDRTV ITCRASQGIS NWLAWYQQKPK GKAPKLLIFA 50
ASSLQSGVPS RFSGSGSGTD FTLTISLQPE EDFATYCYCQ AESFPHTFGG 100
GTRKVEIKRTV AAPSVFIFPP SDEQLKSGTA SVVCLLNIFY BREAKVQWKV 150
DNALQSGNSQ ESVTEQDSKD STYLSLSTLT LSKADYERHK VYACEVTHQG 200
LSSPVTKSFN RGEC 214
```

Post-translational modifications

Disulfide bridges location / Position des ponts disulfure / Posiciones de los puentes disulfuro

Intra-H (C23-C104) 22-96 147-203 264-324 295-305 370-428
22"-96" 147"-203" 264"-324" 295"-305" 370"-428"

Intra-L (C23-C104) 23"-88" 134"-194"
23"-88" 134"-194"

Inter-H-L (h 5-CL 126) 223-214' 223"-214"

Inter-H-H (h 11, h14) 229-229" 232-232"

No N-glycosylation sites / pas de sites de N-glycosylation / ningún posición de N-glicosilación

CH2 N84.4-G:

300, 300"

Aglycosylated

C-terminal lysine clipping / Coupure de la lysine C-terminale / Recorte de lisina C-terminal

H CHS K2:

450, 450"

zeteletinibum

zeteletinib

2-[6-(6,7-dimethoxyquinolin-3-yl)pyridin-3-yl]-N-[3-(1,1,1-trifluoro-2-methylpropan-2-yl)-1,2-oxazol-5-yl]acetamide
tyrosine kinase inhibitor, antineoplásico

zételétinib

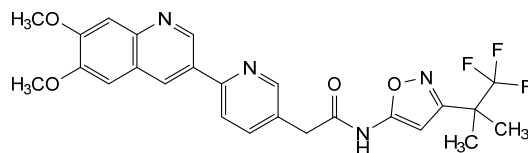
2-[6-(6,7-diméthoxyquinoléin-3-yl)pyridin-3-yl]-N-[3-(1,1,1-trifluoro-2-méthylpropan-2-yl)-1,2-oxazol-5-yl]acétamide
inhibiteur de tyrosine kinase, antinéoplasique

zeteletinib

2-[6-(6,7-dimetoxiquinolein-3-il)piridin-3-il]-N-[3-(1,1,1-trifluoro-2-metilpropan-2-il)-1,2-oxazol-5-il]acetamida
inhibidor de la tirosina kinasa, antineoplásico

C₂₅H₂₃F₃N₄O₄

2216753-97-6

**zilebesiranum**

zilebesiran

[(2*S*,4*R*)-1-{1-[(2-acetamido-2-deoxy-β-D-galactopyranosyl)oxy]-16,16-bis({3-[(3-{5-[(2-acetamido-2-deoxy-β-D-galactopyranosyl)oxy]pentanamido}propyl)amino]-3-oxopropoxy)methyl}-5,11,18-trioxo-14-oxa-6,10,17-triazanonacosan-29-oyl)-4-hydroxypyrrolidin-2-yl]methyl *all-P-ambo*-2'-*O*-methyl-*P*-thioguanlyl-(3'→5')-2'-*O*-methyl-*P*-thiouridylyl-(3'→5')-2'-*O*-methylcytidylyl-(3'→5')-2'-*O*-methyladenylyl-(3'→5')-2'-*O*-methyluridylyl-(3'→5')-2'-*O*-methylcytidylyl-(3'→5')-2'-deoxy-2'-fluorocytidylyl-(3'→5')-2'-*O*-methyladenylyl-(3'→5')-2'-deoxy-2'-fluorocytidylyl-(3'→5')-2'-*O*-methyladenylyl-(3'→5')-2'-deoxy-2'-fluoroadenylyl-(3'→5')-2'-deoxy-2'-fluoroadenylyl-(3'→5')-2'-*O*-methyluridylyl-(3'→5')-2'-*O*-methylguanylyl-(3'→5')-2'-*O*-methyladenylyl-(3'→5')-2'-*O*-methylguanylyl-(3'→5')-2'-*O*-methyladenylyl-(3'→5')-2'-*O*-methylguanylyl-(3'→5')-2'-*O*-methyladenylyl-(3'→5')-2'-*O*-methyluridylyl-(3'→5')-2'-*O*-methyladenylyl-(3'→5')-2'-*O*-methylcytidylyl-(3'→5')-2'-*O*-methyl-3'-adenylate, duplex with *all-P-ambo*-2'-*O*-methyl-*P*-thioadenylyl-(5'→3')-2'-*O*-methyl-*P*-thioguanlyl-(5'→3')-2'-*O*-methylcytidylyl-(5'→3')-2'-*O*-methyladenylyl-(5'→3')-2'-*O*-methylguanylyl-(5'→3')-2'-*O*-methyluridylyl-(5'→3')-2'-*O*-methyladenylyl-(5'→3')-2'-deoxy-2'-fluoroguanlyl-(5'→3')-2'-*O*-methylguanylyl-(5'→3')-2'-deoxy-2'-fluorouridylyl-(5'→3')-2'-*O*-methylguanylyl-(5'→3')-2'-*O*-methyluridylyl-(5'→3')-2'-*O*-methyluridylyl-(5'→3')-2'-*O*-methyladenylyl-(5'→3')-2'-*O*-methylcytidylyl-(5'→3')-2'-*O*-methyluridylyl-(5'→3')-2'-*O*-methylcytidylyl-(5'→2')-1-de-β-D-ribofuranosyl-1-[(2*S*)-2,3-dihydroxypropyl]-5-methyluridylyl-(3'→3')-2'-*O*-methylcytidylyl-(5'→3')-2'-*O*-methyladenylyl-(5'→3')-2'-*O*-methyl-*P*-thiouridylyl-(5'→3')-2'-deoxy-2'-fluoro-*P*-thioguanlyl-(5'→3')-2'-*O*-methyluridine

angiotensinogen synthesis reducer, antihypertensive

zilébésiran

tout-P-ambo-2'-*O*-méthyl-*P*-thioguanlyl-(3'→5')-2'-*O*-méthyl-*P*-thiouridylyl-(3'→5')-2'-*O*-methylcytidylyl-(3'→5')-2'-*O*-methyladenylyl-(3'→5')-2'-*O*-methyluridylyl-(3'→5')-2'-*O*-methylcytidylyl-(3'→5')-2'-désoxy-2'-fluorocytidylyl-(3'→5')-2'-*O*-methyladenylyl-(3'→5')-2'-désoxy-2'-fluorocytidylyl-(3'→5')-2'-désoxy-2'-fluoroadenylyl-(3'→5')-2'-désoxy-2'-fluoroadenylyl-(3'→5')-2'-*O*-methyluridylyl-(3'→5')-2'-*O*-methylguanylyl-(3'→5')-2'-*O*-methyladenylyl-(3'→5')-2'-*O*-methylguanylyl-(3'→5')-2'-*O*-methyladenylyl-(3'→5')-2'-*O*-methylguanylyl-(3'→5')-2'-*O*-methyladenylyl-(3'→5')-2'-*O*-methyluridylyl-(3'→5')-2'-*O*-methyladenylyl-(3'→5')-2'-*O*-methylcytidylyl-(3'→5')-2'-*O*-methyl-3'-adénylate de [(2*S*,4*R*)-1-{1-[(2-acétamido-2-désoxy-β-D-galactopyranosyl)oxy]-16,16-bis({3-[(3-{5-[(2-acétamido-2-désoxy-β-D-galactopyranosyl)oxy]pentanamido}propyl)amino]-3-oxopropoxy)méthyl}-5,11,18-trioxo-14-oxa-6,10,17-triazanonacosan-29-oyl)-4-hydroxypyrrolidin-2-yl]méthyle, duplex avec *tout-P-ambo*-2'-*O*-méthyl-*P*-thioadenylyl-(5'→3')-2'-*O*-méthyl-*P*-thioguanlyl-(5'→3')-2'-*O*-methylcytidylyl-(5'→3')-2'-*O*-methyladenylyl-(5'→3')-2'-*O*-methylguanylyl-(5'→3')-2'-*O*-methyluridylyl-(5'→3')-2'-*O*-methyladenylyl-(5'→3')-2'-désoxy-2'-fluoroguanlyl-(5'→3')-2'-*O*-methylguanylyl-(5'→3')-2'-désoxy-2'-fluorouridylyl-(5'→3')-2'-*O*-methylguanylyl-(5'→3')-2'-*O*-methyluridylyl-(5'→3')-2'-*O*-methyluridylyl-(5'→3')-2'-*O*-methyladenylyl-(5'→3')-2'-*O*-methylcytidylyl-(5'→3')-2'-*O*-methyluridylyl-(5'→3')-2'-*O*-methylcytidylyl-(5'→2')-1-des-β-D-ribofuranosyl-1-[(2*S*)-2,3-dihydroxypropyl]-5-methyluridylyl-(3'→3')-2'-*O*-methylcytidylyl-(5'→3')-2'-*O*-methyladenylyl-(5'→3')-2'-*O*-methyl-*P*-thiouridylyl-(5'→3')-2'-désoxy-2'-fluoro-*P*-thioguanlyl-(5'→3')-2'-*O*-methyluridine

réducteur de la synthèse de l'angiotensinogène, antihypertenseur

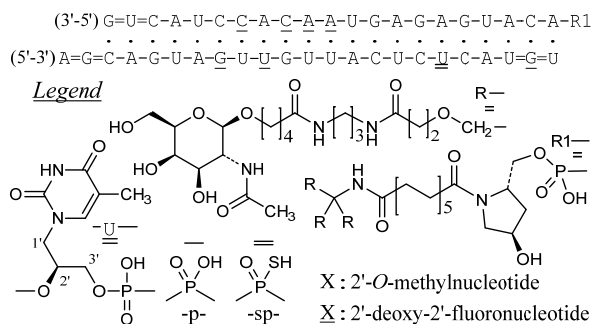
zilebesirán

*todo-P-ambo-2'-O-metil-P-tioguanilil-(3'→5')-2'-O-metil-P-tiouridilil-(3'→5')-2'-O-metilcitolilil-(3'→5')-2'-O-metiladenilil-(3'→5')-2'-O-metiluridilil-(3'→5')-2'-O-metilcitolilil-(3'→5')-2'-desoxi-2'-fluorocitolilil-(3'→5')-2'-O-metiladenilil-(3'→5')-2'-desoxi-2'-fluorocitolilil-(3'→5')-2'-desoxi-2'-fluoroadenilil-(3'→5')-2'-desoxi-2'-fluoroadenilil-(3'→5')-2'-O-metiluridilil-(3'→5')-2'-O-metilguanilil-(3'→5')-2'-O-metiladenilil-(3'→5')-2'-O-metilguanilil-(3'→5')-2'-O-metiluridilil-(3'→5')-2'-O-metiladenilil-(3'→5')-2'-O-metilguanilil-(3'→5')-2'-O-metiluridilil-(3'→5')-2'-O-metiladenilil-(3'→5')-2'-O-metilcitolilil-(3'→5')-2'-O-metil-3'-adenilato de [(2S,4R)-1-{1-[(2-acetamido-2-desoxi-β-D-galactopiranosil)oxil]-16,16-bis{[3-[[3-{5-[(2-acetamido-2-desoxi-β-D-galactopiranosil)oxil]pentanamido)propil)amino]-3-oxopropoxi}metil)-5,11,18-trioxa-14-oxa-6,10,17-triazanonacosan-29-ol]-4-hidroxipirrolidin-2-il]metilo, dúplex con *todo-P-ambo-2'-O-metil-P-tioadenilil-(5'→3')-2'-O-metil-P-tioguanilil-(5'→3')-2'-O-metilcitolilil-(5'→3')-2'-O-metiladenilil-(5'→3')-2'-O-metilguanilil-(5'→3')-2'-O-metiluridilil-(5'→3')-2'-O-metiladenilil-(5'→3')-2'-desoxi-2'-fluoroguanilil-(5'→3')-2'-O-metilguanilil-(5'→3')-2'-desoxi-2'-fluorouridilil-(5'→3')-2'-O-metilguanilil-(5'→3')-2'-O-metiluridilil-(5'→3')-2'-O-metiluridilil-(5'→3')-2'-O-metiladenilil-(5'→3')-2'-O-metilcitolilil-(5'→3')-2'-O-metiluridilil-(5'→3')-2'-O-metilcitolilil-(5'→2')-1-des-β-D-ribofuranosil-1-[(2S)-2,3-dihidroxi]propil]-5-metiluridilil-(3'→3')-2'-O-metilcitolilil-(5'→3')-2'-O-metiladenilil-(5'→3')-2'-O-metil-P-tiouridilil-(5'→3')-2'-desoxi-2'-fluoro-P-tioguanilil-(5'→3')-2'-O-metiluridina**

reductor de la síntesis de angiotensinógeno, antihipertensivo

C₅₃₂H₇₂₁F₇N₁₇₇O₃₂₁P₄₃S₆

2380166-33-4



zilovertamabum #

zilovertamab

immunoglobulin G1-kappa, anti-[*Homo sapiens* ROR1 (receptor tyrosine kinase like orphan receptor 1, NTRKR1)], humanized monoclonal antibody;
 gamma1 heavy chain humanized (1-446) [VH (*Homo sapiens* IGHV2-70*19 (65.0%) -(IGHD) -IGHJ4*01 (93.3%) Q120>H (108) CDR-IMGT [8.7.10] (26-33.51-57.96-105) (1-116) -*Homo sapiens* IGHG1*01 (100%) G1m17.1 (CH1 K120 (213) (117-214), hinge 1-15 (215-229), CH2 (230-339), CH3 D12 (355), L14 (357) (340-444), CHS (445-446)) (117-446)], (219-214')-disulfide with kappa light chain humanized (1'-214') [V-KAPPA (*Homo sapiens* IGKV3D-11*02 (67.8%) -IGKJ4*01 (90.9%) G120>E (100)) CDR-IMGT [6.3.9] (27-32.50-52.89-97) (1'-107') -*Homo sapiens* IGKC*01 (100%) Km3 A45.1 (153), V101 (191) (108'-214')]; dimer (225-225''-228-228'')-bisdisulfide, produced in Chinese hamster ovary (CHO) cells, glycoform alfa

antineoplastica

- zilovertamab** immunoglobuline G1-kappa, anti-[*Homo sapiens* ROR1 (récepteurs orphelins de type récepteur 1 à tyrosine kinase, NTRKR1)], anticorps monoclonal humanisé; chaîne lourde gamma1 humanisée (1-446) [VH (*Homo sapiens* IGHV2-70*19 (65%) -(IGHD) -IGHJ4*01 (93.3%) Q120>H (108)) CDR-IMGT [8.7.10] (26-33.51-57.96-105) (1-116) -*Homo sapiens* IGHG1*01 (100%) G1m17,1 (CH1 K120 (213) (117-214), charnière 1-15 (215-229), CH2 (230-339), CH3 D12 (355), L14 (357) (340-444), CHS (445-446)) (117-446)], (219-214')-disulfure avec la chaîne légère kappa humanisée (1'-214') [V-KAPPA (*Homo sapiens* IGKV3D-11*02 (67.8%) -IGKJ4*01 (90.9%) G120>E (100)) CDR-IMGT [6.3.9] (27-32.50-52.89-97) (1'-107') -*Homo sapiens* IGKC*01 (100%) Km3 A45.1 (153), V101 (191) (108'-214')]; dimère (225-225":228-228")-bisdisulfure, produit dans des cellules ovariennes de hamster chinois (CHO), glycoforme alfa antinéoplasique
- zilovertamab** inmunoglobulina G1-kappa, anti-[*Homo sapiens* ROR1 (receptores huérfanos de tipo receptor 1 con tirosina kinasa, NTRKR1)], anticuerpo monoclonal humanizado; cadena pesada gamma1 humanizada (1-446) [VH (*Homo sapiens* IGHV2-70*19 (65%) -(IGHD) -IGHJ4*01 (93.3%) Q120>H (108)) CDR-IMGT [8.7.10] (26-33.51-57.96-105) (1-116) -*Homo sapiens* IGHG1*01 (100%) G1m17,1 (CH1 K120 (213) (117-214), bisagra 1-15 (215-229), CH2 (230-339), CH3 D12 (355), L14 (357) (340-444), CHS (445-446)) (117-446)], (219-214')-disulfuro con la cadena ligera kappa humanizada (1'-214') [V-KAPPA (*Homo sapiens* IGKV3D-11*02 (67.8%) -IGKJ4*01 (90.9%) G120>E (100)) CDR-IMGT [6.3.9] (27-32.50-52.89-97) (1'-107') -*Homo sapiens* IGKC*01 (100%) Km3 A45.1 (153), V101 (191) (108'-214')]; dímero (225-225":228-228")-bisdisulfuro, producido en las células ováricas de hámster chino (CHO), forma glicosilada alfa antineoplásico

2485779-13-1

Heavy chain / Chaîne lourde / Cadena pesada

```

QVQLQESGPG LVRKFSQTLSL TCTVSGYAPT AYNIHVVRQA PGQGLEWMGS 50
FDPYDGGSSY NQRFKDRLEI SKDTSKNQVV LMTNMDEVD TATYYCARGW 100
YFDYWGHT LVTVSSASTK GPSVFLPLAS SKTSGGTAA LGCLVKDYFP 150
EPTVTSWNSG ALTSGVHTFP AVLQSSGLYS LSSVTVPESS SLGTQTYICN 200
VNHKPSNTKV DRKVEPKSCD KHTCTPCCPA PELLGGPSVF LFPKPKDPL 250
MISRTPVEVC VVVDVSHEDP EVKFNWYVDG VEVHNAKTP REEQYNSTYR 300
VVSVLTLVHQ DWLNGKEYKC KVSNKALPAP IEKTIKAKG QPREPQVYTL 350
PFSRDELTKN QVSLTCLVKG FYPSPDAVEW ESNQPEPENNY KTTTPVLDS 400
GSFFLYSKLT VDKSRWQQGN VFSCVMHEA LHNHYTQKSL SLSPGK 446

```

Light chain / Chaîne légère / Cadena ligera

```

DIVMTQTPLS LPVTFGEPAS ISCRASKSIS KYLAWYQQKP GQAPRLLIYS 50
GSTLQSGIPP RFGSGVYGTD FTLTINNIIES EDAAYYFCQQ HDESPYTFGE 100
GTKVEIKRTV AAFSFIFFPP SDEQLKSGTA SVVCLLNFFY PREAKVQWKV 150
DNALQSGNSQ ESVTEQDSKD STYLSLSTLT LSKADYEKHK VYACEVTHQG 200
LSSPVTKSFN RGEK 214

```

Post-translational modifications

Disulfide bridges location / Position des ponts disulfure / Posiciones de los puentes disulfuro

Intra-H (C23-C104) 22-96 143-199 260-320 366-424
22"-96" 143"-199" 260"-320" 366"-424"

Intra-L (C23-C104) 23'-88" 134'-194"
23"'-88"' 134"'-194'"

Inter-H-L (h 5-CL 126) 219-214' 219"-214"

Inter-H-H (h 11, h 14) 225-225" 228-228"

N-terminal glutaminylation cyclization to pyroglutamyl (pE, 5-oxoprolyl)

HVH Q1:
1, 1"

N-glycosylation sites / Sites de N-glycosylation / Posiciones de N-glicosilación

HCH2 N84.4:

296, 296"

Fucosylated complex bi-antennary CHO-type glycans / glycanes de type CHO bi-antennaires complexes fucosylés / glicanos de tipo CHO biantenarijos complejos fucosilados.

C-terminal lysine clipping / Coupure de la lysine C-terminale / Recorte de lisina C-terminal

HCHS K2:

446, 446"

zilovertamabum vedotinum #

zilovertamab vedotin

immunoglobulin G1-kappa, anti-[*Homo sapiens* ROR1 (receptor tyrosine kinase like orphan receptor 1, NTRKR1)], humanized monoclonal antibody conjugated to auristatin E;
 gamma1 heavy chain humanized (1-446) [VH (*Homo sapiens* IGHV2-70*19 (65.0%) -(IGHD) -IGHJ4*01 (93.3%) Q120>H (108)) CDR-IMGT [8.7.10] (26-33.51-57.96-105) (1-116) -*Homo sapiens* IGHG1*01 (100%) G1m17,1 (CH1 K120 (213) (117-214), hinge 1-15 (215-229), CH2 (230-339), CH3 D12 (355), L14 (357) (340-444), CHS (445-446)) (117-446)], (219-214')-disulfide with kappa light chain humanized (1'-214') [V-KAPPA (*Homo sapiens* IGKV3D-11*02 (67.8%) -IGKJ4*01 (90.9%) G120>E (100)) CDR-IMGT [6.3.9] (27-32.50-52.89-97) (1'-107') -*Homo sapiens* IGKC*01 (100%) Km3 A45.1 (153), V101 (191) (108'-214')]; dimer (225-225":228-228")-bisdisulfide, produced in Chinese hamster ovary (CHO) cells, glycoform alfa; conjugated on an average of 4.0 ± 0.5 cysteinyl to monomethylauristatin E (MMAE), via a cleavable maleimidocaproyl-valyl-citrullinyl-*p*-aminobenzyloxycarbonyl (mc-val-cit-PABC) type linker
 For the vedotin part, please refer to the document "INN for pharmaceutical substances: Names for radicals, groups and others"
 antineoplastic

zilovertamab védotine

immunoglobuline G1-kappa, anti-[*Homo sapiens* ROR1 (récepteurs orphelins de type récepteur 1 à tyrosine kinase, NTRKR1)], anticorps monoclonal humanisé conjugué à l'auristatine E;
 chaîne lourde gamma1 humanisée (1-446) [VH (*Homo sapiens* IGHV2-70*19 (65%) -(IGHD) -IGHJ4*01 (93.3%) Q120>H (108)) CDR-IMGT [8.7.10] (26-33.51-57.96-105) (1-116) -*Homo sapiens* IGHG1*01 (100%) G1m17,1 (CH1 K120 (213) (117-214), charnière 1-15 (215-229), CH2 (230-339), CH3 D12 (355), L14 (357) (340-444), CHS (445-446)) (117-446)], (219-214')-disulfure avec la chaîne légère kappa humanisée (1'-214') [V-KAPPA (*Homo sapiens* IGKV3D-11*02 (67.8%) -IGKJ4*01 (90.9%) G120>E (100)) CDR-IMGT [6.3.9] (27-32.50-52.89-97) (1'-107') -*Homo sapiens* IGKC*01 (100%) Km3 A45.1 (153), V101 (191) (108'-214')]; dimère (225-225":228-228")-bisdisulfure, produit dans des cellules ovariennes de hamster chinois (CHO), glycoforme alfa; conjugué sur 4.0 ± 0.5 cystéinyl en moyenne, au monométhylauristatine E (MMAE), via un linker clivable de type maléimidocaproyl-valyl-citrullinyl-*p*-aminobenzyloxycarbonyl (mc-val-cit-PABC)
 Pour la partie védotine, veuillez-vous référer au document "INN for pharmaceutical substances: Names for radicals, groups and others"
 antinéoplasique

zilovertamab vedotina

immunoglobulina G1-kappa, anti-[*Homo sapiens* ROR1 (receptores huérfanos de tipo receptor 1 con tirosina kinasa, NTRKR1)], anticuerpo monoclonal humanizado conjugado con la auristatina E;
 cadena pesada gamma1 humanizada (1-446) [VH (*Homo sapiens* IGHV2-70*19 (65%) -(IGHD) -IGHJ4*01 (93.3%) Q120>H (108)) CDR-IMGT [8.7.10] (26-33.51-57.96-105) (1-116) -*Homo sapiens*

IGHG1*01 (100%) G1m17,1 (CH1 K120 (213) (117-214), bisagra 1-15 (215-229), CH2 (230-339), CH3 D12 (355), L14 (357) (340-444), CHS (445-446)) (117-446)], (219-214')-disulfuro con la cadena ligera kappa humanizada 1'-214') [V-KAPPA (*Homo sapiens* IGKV3D-11*02 (67.8%) -IGKJ4*01 (90.9%) G120>E (100)) CDR-IMGT [6.3.9] (27-32.50-52.89-97) (1'-107') -*Homo sapiens* IGKC*01 (100%) Km3 A45.1 (153), V101 (191) (108'-214')]; dímero (225-225":228-228")-bisulfuro, producido en las células ováricas de hámster chino (CHO), forma glicosilada alfa; conjugado en 4.0 ± 0.5 restos cisteinil por término medio, con monometilauristatina E (MMAE), mediante un conector escindible de tipo maleimidocaproyl-valil-citrulinil-*p*-aminobenziloxicarbonil (mc-val-cit-PABC) Para la parte vedotina, por favor vaya al documento "INN for pharmaceutical substances: Names for radicals, groups and others" antineoplásico

2376463-48-6

Heavy chain / Chaîne lourde / Cadena pesada
 QVQLQESGPG LVKPSQTLSTL TCTVSGYAFT AYNIHWRQA PGQGLEWMSG 50
 FDPYDGGSSY NQKFKDRLTI SKDTSKNQVV LTMNMDPVD TATYYCARGW 100
 YFPDYWGHT LVTVSSASTK GPSVFPLAPS SKSTSGGTA LGCLVKDYFP 150
 EPVTYVNSNG ALTSQVHTFP AVLQSSGLYS LSSVTVFSS SLGFTQYICN 200
 VNHKPSNTRV DKKVEPKSCD KHTCCPCPA PELLGGPSVF LFPKPKDYL 250
 MISRTPEVTC VVVVSHEDP EVKFNWYVDG VEVHNAKTF REEQYNSTYR 300
 VVSVTLVHLQ DWLNGKEYKC KVSNKALPAP IEKTIKSKAG QPREPQVYTL 350
 PPSRDELTKN QVSLTCLVKG FYPSDIAVEW ESNQGPENNY KTTTPVLDSD 400
 GSFFLYSKLT VDKSERWQQGN VFSCSVMHEA LHNHYTQKSL SLSPGK 446

Light chain / Chaîne légère / Cadena ligera
 DIVMTQTPLS LPVTPGEPAS ISCRASKSIS KYLAWYQQKQ GQAPRLLIYS 50
 GSTLQSGIPP RFGSGVGTD FTLTINNIES EDAAYYFCQQ HDESPYTFGE 100
 GTKVEIKRTV AAFSVFIFFP SDEQLKSGTA SVVCLLNIFY PREAKVQWKV 150
 DNALQSGNSQ ESVTEQDSKD STYLSLSTLT LSKADYKHK VYACEVTHQG 200
 LSSPVTKSPN RGEK 214

Post-translational modifications
 Disulfide bridges location / Position des ponts disulfure / Posiciones de los puentes disulfuro
 Intra-H (C23-C104) 22"-96" 143"-199" 260"-320" 366"-424"
 22"-96" 143"-199" 260"-320" 366"-424"
 Intra-L (C23-C104) 23"-88" 134"-194"
 23"-88" 134"-194"
 Inter-H-L (h 5-CL 126)* 219-214' 219"-214"
 Inter-H-H (h 11, h 14)* 225-225" 228-228"

*At least two of the four inter-chain disulfide bridges are not present, an average of 4 cysteinyl being conjugated each via a thioether bond to a drug linker. *Au moins deux des quatre ponts disulfures inter-chaînes ne sont pas présents, 4 cystéinyl en moyenne étant chacun conjugué via une liaison thioéther à un linker-principe actif. *Al menos dos de los cuatro puentes disulfuro inter-catenarios no están presentes, una media de 4 cisteinil está conjugada a conectores de principio activo.

N-terminal glutaminyl cyclization to pyrroglutamyl (pE, 5-oxoprolyl)
 H VH Q1:
 1, 1"

N-glycosylation sites / Sites de N-glycosylation / Posiciones de N-glicosilación
 H CH2 N84.4:
 296, 296"

Fucosylated complex bi-antennary CHO-type glycans / glycanes de type CHO bi-antennaires complexes fucosylés / glicanos de tipo CHO biantenarios complejos fucosilados.

C-terminal lysine clipping / Coupeure de la lysine C-terminale / Recorte de lisina C-terminal
 H CHS K2:
 446, 446"

- # Electronic structure available on Mednet: <http://mednet.who.int/>
 # Structure électronique disponible sur Mednet: <http://mednet.who.int/>
 # Estructura electrónica disponible en Mednet: <http://mednet.who.int/>
 * <http://www.who.int/medicines/services/inn/publication/en/>

**AMENDMENTS TO PREVIOUS LISTS
MODIFICATIONS APPORTÉES AUX LISTES ANTÉRIEURES
MODIFICACIONES A LAS LISTAS ANTERIORES**

Proposed International Nonproprietary Names (Prop. INN): List 114
Dénominations communes internationales proposées (DCI Prop.): Liste 114
Denominaciones Comunes Internacionales Propuestas (DCI Prop.): Lista 114
(WHO Drug Information, Vol. 29, No. 4, 2015)

- p.508 **blontuvmabum #**
-509 blontuvmab *replace the description by the following one*
blontuvmab *remplacer la description par la suivante*
blontuvmab *sustitúyase la descripción por la siguiente*
- immunoglobulin G2_V-kappa-C-lambda, anti-**[Canis lupus familiaris MS4A1**
(membrane-spanning 4-domains subfamily A member 1, CD20)], caninized
monoclonal antibody;
gamma2 heavy chain chimeric (1-448) [*Mus musculus* VH (*Mus musculus* IGHV1-
15*01 -(IGHD) -IGHJ1*03) [8.8.6] (1-113) -*Canis lupus familiaris* IGHG2*02 (CH1
T26>Q (131) (114-211), hinge (212-229), CH2 (230-339), CH3 (340-446), CHS
(447-448)) (114-448)], (128-218')-disulfide with V-kappa-C-lambda light chain
chimeric (1'-219') [*Mus musculus* V-KAPPA (*Mus musculus* IGKV8-30*01 -
IGKJ5*01) [12.3.9] (1'-112') -*Canis lupus familiaris* IGL1CS1*01 V45.3>I (162)
(114'-219'')]; dimer (225-225":228-228")-bisdisulfide
- immunoglobuline G2_V-kappa-C-lambda, anti-**[Canis lupus familiaris MS4A1**
(membre 1 de la sous-famille A à 4 domaines transmembranaires, CD20)],
anticorps monoclonal caninisé;
chaîne lourde gamma2 chimérique (1-448) [*Mus musculus* VH (*Mus musculus*
IGHV1-15*01 -(IGHD) -IGHJ1*03) [8.8.6] (1-113) -*Canis lupus familiaris*
IGHG2*02 (CH1 T26>Q (131) (114-211), charnière (212-229), CH2 (230-339),
CH3 (340-446), CHS (447-448)) (114-448)], (128-218')-disulfure avec la chaîne
légère V-kappa-C-lambda chimérique (1'-219') [*Mus musculus* V-KAPPA (*Mus*
musculus IGKV8-30*01 -IGKJ5*01) [12.3.9] (1'-112') -*Canis lupus familiaris*
IGL1CS1*01 V45.3>I (162) (114'-219'')]; dimère (225-225":228-228")-bisdisulfure
- inmunoglobulina G2_V-kappa-C-lambda, anti-**[Canis lupus familiaris MS4A1**
(miembro 1 de la subfamilia A con 4 dominios transmembranarios, CD20)],
anticuerpo monoclonal caninizado;
cadena pesada gamma2 quimérica (1-448) [*Mus musculus* VH (*Mus musculus*
IGHV1-15*01 -(IGHD) -IGHJ1*03) [8.8.6] (1-113) -*Canis lupus familiaris*
IGHG2*02 (CH1 T26>Q (131) (114-211), bisagra (212-229), CH2 (230-339), CH3
(340-446), CHS (447-448)) (114-448)], (128-218')-disulfuro con la cadena ligera
V-kappa-C-lambda quimérica (1'-219') [*Mus musculus* V-KAPPA (*Mus musculus*
IGKV8-30*01 -IGKJ5*01) [12.3.9] (1'-112') -*Canis lupus familiaris* IGL1CS1*01
V45.3>I (162) (114'-219'')]; dímero (225-225":228-228")-bisdisulfuro
- p.568 **tamtuvmabum #**
tamtuvmab *replace the description by the following one*
tamtuvmab *remplacer la description par la suivante*
tamtuvmab *sustitúyase la descripción por la siguiente*
- immunoglobulin G2_V-kappa-C-lambda, anti-**[Canis lupus familiaris CD52]**,
caninized monoclonal antibody;
gamma2 heavy chain chimeric (1-456) [chimeric VH (*Rattus norvegicus*
IGHV7S6*01 (97.00%) -(IGHD) -*Canis lupus familiaris* IGHJ-E2RCC8) [8.10.12]

(1-121) -*Canis lupus familiaris* IGHG2*02 (CH1 (122-219), hinge (220-237), CH2 (238-347), CH3 (348-454), CHS (455-456))(122-456)], (136-212')-disulfide with V-kappa-C-lambda light chain chimeric (1'-213') [*Rattus norvegicus* V-KAPPA (*Rattus norvegicus* IGKV22S7 (93.70%) -IGKJ1*01) [6.3.9] (1'-107')] -*Canis lupus familiaris* IGLC1S1*01 V45.3>I (156) (108'-213'); dimer (233-233":236-236")-bisdisulfide

immunoglobuline G2_V-kappa-C-lambda, anti-[*Canis lupus familiaris* CD52], anticorps monoclonal caninisé;
chaîne lourde gamma2 chimérique (1-456) [VH chimérique (*Rattus norvegicus* IGHV7S6*01 (97.00%) -(IGHD) -*Canis lupus familiaris* IGHJ-E2RCC8) [8.10.12] (1-121) -*Canis lupus familiaris* IGHG2*02 (CH1 (122-219), charnière (220-237), CH2 (238-347), CH3 (348-454), CHS (455-456)) (122-456)], (136-212')-disulfure avec la chaîne légère V-kappa-C-lambda chimérique (1'-213') [*Rattus norvegicus* V-KAPPA (*Rattus norvegicus* IGKV22S7 (93.70%) -IGKJ1*01) [6.3.9] (1'-107')] -*Canis lupus familiaris* IGLC1S1*01 V45.3>I (156) (108'-213'); dimère (233-233":236-236")-bisdisulfure

immunoglobulina G2_V-kappa-C-lambda, anti-[*Canis lupus familiaris* CD52], anticuerpo monoclonal caninizado;
cadena pesada gamma2 quimérica (1-456) [VH quimérico (*Rattus norvegicus* IGHV7S6*01 (97.00%) -(IGHD) -*Canis lupus familiaris* IGHJ-E2RCC8) [8.10.12] (1-121) -*Canis lupus familiaris* IGHG2*02 (CH1 (122-219), bisagra (220-237), CH2 (238-347), CH3 (348-454), CHS (455-456))(122-456)], (136-212')-disulfuro con la cadena ligera V-kappa-C-lambda quimérica (1'-213') [*Rattus norvegicus* V-KAPPA (*Rattus norvegicus* IGKV22S7 (93.70%) -IGKJ1*01) [6.3.9] (1'-107')] -*Canis lupus familiaris* IGLC1S1*01 V45.3>I (156) (108'-213'); dímero (233-233":236-236")-bisdisulfuro

Proposed International Nonproprietary Names (Prop. INN): List 115

Dénominations communes internationales proposées (DCI Prop.): Liste 115

Denominaciones Comunes Internacionales Propuestas (DCI Prop.): Lista 115

(WHO Drug Information, Vol. 30, No. 2, 2016)

p.301 **ranevetmabum #**

-302 ranevetmab *replace the description by the following one*
ranevetmab *remplacer la description par la suivante*
ranevetmab *sustitúyase la descripción por la siguiente*

immunoglobulin G1-kappa, anti-[*Canis lupus familiaris* NGF (nerve growth factor, nerve growth factor beta polypeptide, NGFB, beta-NGF)], caninized monoclonal antibody;
gamma1 heavy chain (1-453) [caninized VH (*Rattus norvegicus* IGHV5S13*01 (71.40%) -(IGHD)-IGHJ4*01) [8.7.16] (1-122) -*Canis lupus familiaris* IGHG1*01 (CH1 (123-219), hinge (220-233), CH2 (234-343), CH3 (344-451), CHS (452-453)) (123-453)], (137-213')-disulfide with kappa light chain (1'-217') [caninized V-KAPPA (*Rattus norvegicus* IGKV12S34*01 (76.80%) -IGKJ2-3*01) [6.3.9] (1'-107')] -*Canis lupus familiaris* IGKC*01 (108'-213') -4-mer (214'-217'); dimer (224-224":226-226":232-232")-trisdisulfide

immunoglobuline G2-kappa, anti-[*Canis lupus familiaris* NGF (facteur de croissance du nerf, facteur de croissance du nerf polypeptide bêta, NGFB, bêta-NGF)], anticorps monoclonal caninisé;
chaîne lourde gamma2 (1-453) [VH caninisé (*Rattus norvegicus* IGHV5S13*01 (71.40%) -(IGHD)-IGHJ4*01) [8.7.16] (1-122) -*Canis lupus familiaris* IGHG1*01 (CH1 (123-219), charnière (220-233), CH2 (234-343), CH3 (344-451), CHS (452-453)) (123-453)], (137-213')-disulfure avec la chaîne légère kappa (1'-217') [V-KAPPA caninisé (*Rattus norvegicus* IGKV12S34*01 (76.80%) -IGKJ2-3*01) [6.3.9] (1'-107')] -*Canis lupus familiaris*

IGKC*01 (108'-213') -4-mer (214'-217'); dimère (224-224'':226-226'':232-232'')-trisdifulfure

inmunoglobulina G2-kappa, anti-[**Canis lupus familiaris** NGF (factor de crecimiento de los nervios, factor de crecimiento de nervios polipéptido beta, NGFB, beta-NGF)], anticuerpo monoclonal caninizado; cadena pesada gamma2 (1-453) [VH caninizado (*Rattus norvegicus* IGHV5S13*01 (71.40%) -(IGHD)-IGHJ4*01) [8.7.16] (1-122) -*Canis lupus familiaris* IGHG1*01 (CH1 (123-219), bisagra (220-233), CH2 (234-343), CH3 (344-451), CHS (452-453)) (123-453)], (137-213')-disulfuro con la cadena ligera kappa (1'-217') [V-KAPPA caninizado (*Rattus norvegicus* IGKV12S34*01 (76.80%) -IGKJ2-3*01) [6.3.9] (1'-107') -*Canis lupus familiaris* IGKC*01 (108'-213') -4-mer (214'-217'); dímero (224-224'':226-226'':232-232'')-trisdifulfuro

Proposed International Nonproprietary Names (Prop. INN): List 119

Dénominations communes internationales proposées (DCI Prop.): Liste 119

Denominaciones Comunes Internacionales Propuestas (DCI Prop.): Lista 119

(*WHO Drug Information, Vol. 32, No. 2, 2018*)

olenasufigenium relduparvecum #

olenasufigene relduparvecum *A revised sequence has been uploaded to the INN MedNet, which includes three nucleotide insertions within the CAG promoter compared to the previous version, increasing the total length of the vector to 4075bp. The table of features was revised accordingly.*

oléna-sufligène relduparvecum *Une séquence révisée a été téléchargée sur MedNet DCI, et comprend trois insertions de nucléotides dans le promoteur CAG par rapport à la version précédente, augmentant la longueur totale du vecteur à 4075 pb. Le tableau des caractéristiques a été révisé en conséquence.*

olenasufigén relduparvecum *Se cargó una secuencia revisada en MedNet DCI e incluye tres inserciones de nucleótidos dentro del promotor CAG en comparación con la versión anterior, aumentando la longitud total del vector a 4075 pb. La tabla de características se revisó en consecuencia.*

Proposed International Nonproprietary Names (Prop. INN): List 121

Dénominations communes internationales proposées (DCI Prop.): Liste 121

Denominaciones Comunes Internacionales Propuestas (DCI Prop.): Lista 121

(*WHO Drug Information, Vol. 33, No. 2, 2019*)

p.261 efbemalenograstimum alfa #

-262 efbemalenograstim alfa *replace the description and the structure by the following ones*

efbémalénograstim alfa *remplacer la description et la structure par les suivantes*

efbemalenograstim alfa *sustitúyase la descripción y la estructura por las siguientes*

human granulocyte colony-stimulating factor (G-CSF) fragment fused via a peptidyl linker to a human immunoglobulin G2 Fc fragment variant, dimer: [human granulocyte colony-stimulating factor (G-CSF, pluripoiectin) short **V³⁶**,

S³⁷, E³⁸>del] isoform (1-174)]-[GSG₃S(G₄S)₂ linker (175-190)]-[human immunoglobulin G2 Fc fragment (223 C-terminal residues) (*Homo sapiens* IGHG2*01 (natural S³⁴⁴>A variant); hinge (191-197), CH2 (P²⁹⁷>S) (198-306), CH3 (307-411), CHS (412-413) (191-413))] fusion protein, dimer (193-193':196-196')-bisdisulfide, produced in Chinese hamster ovary (CHO) cells, glycoform alfa

fragment du facteur de stimulation des colonies de granulocytes humain (G-CSF) lié par un peptide à un variant du fragment Fc de l'immunoglobuline humaine G2, dimère:

[facteur humain de stimulation des colonies de granulocytes (G-CSF, pluripoiétine) **[V³⁶, S³⁷, E³⁸>del]** isoforme courte (1-174)]-[GSG₃S(G₄S)₂ linker (175-190)]-[fragment Fc de l'immunoglobuline humaine G2 (résidu 223 C-terminaux) (*Homo sapiens* IGHG2*01 (variant naturel S³⁴⁴>A); charnière (191-197), CH2 (P²⁹⁷>S) (198-306), CH3 (307-411), CHS (412-413) (191-413))] protéine de fusion, dimère (193-193':196-196')-bisdisulfure, produit par des cellules ovariennes de hamster chinois (CHO), glycoforme alfa

fragmento del factor de estimulación de las colonias de granulocitos humano (G-CSF) que se une por un péptido a una variante del fragment Fc de la inmunoglobulina humana G2, dímero:

[factor humano de estimulación de las colonias de granulocitos (G-CSF, pluripoyetina) **[V³⁶, S³⁷, E³⁸>del]** isoforma corta (1-174)]-[GSG₃S(G₄S)₂ conector (175-190)]-[fragmento Fc de la inmunoglobulina humana G2 (residuo 223 C-terminal) (*Homo sapiens* IGHG2*01 (variante natural S³⁴⁴>A); bisagra (191-197), CH2 (P²⁹⁷>S) (198-306), CH3 (307-411), CHS (412-413) (191-413))] proteína de fusión, dímero (193-193':196-196')-bisdisulfuro, producido en las células ováricas de hamsters chinos (CHO), glicofoma alfa

Sequence / Séquence / Secuencia:

```
TPLGPASSLP QSFLLKCLEQ VRKIQDGGAA LQEKLCATYK LCHPEELVLL 50
GHSLLGIPWAP LSSCPSQALQ LAGCLS QLHS GLFLYQGLLQ ALEGISPELG 100
PTLDLTLQLDV ADFATTIWQQ MEELGMAPAL QPTQGAMPAF ASAFQRRAGG 150
VLVASHLQSF LEVSYRVLRH LAQPGSGGGG GGGGSGGGG VECFPCCAPP 200
VAGPSVFLFP PKPKDTLMIS RTPEVTCVVV DVSHEDPEVQ FNWYVDGVEV 250
HNAKTKPREE QFNSTFRVVS VLTVVHQDWL NGKEYKCKVS NKGLPASIEK 300
TISKTKGQPR EPQVYTLPPS REEMTKNQVS LTCLVKGFYP SDIAVEWESN 350
GQPENNYKTT PMLDSDGSF FLYSKLTVDK SRWQQGNVFS CSVMHEALHN 400
HYTQKSLSL S PGK 413
```

Disulfide bridge location / Position de la pont disulfure / Posición del puente disulfuro:

intra-G-CSF: 36-42, 64-74, 36'-42', 64'-74'
 intra-IgG2 Fc: 227-287, 333-391, 227'-287', 333'-391'
 inter-IgG2 Fc: 193-193', 196-196'

Glycosylation sites / Sites de glycosylation / Posiciones de glicosilación

N-linked glycans: Asn263, Asn263'
 O-linked glycans: Thr133, Thr133'

p.298
-299

narsoplimabum #

narsoplimab *replace the description by the following one*
 narsoplimab *remplacer la description par la suivante*
 narsoplimab *sustitúyase la descripción por la siguiente*

immunoglobulin G4-lambda, anti-[*Homo sapiens* MASP2 (mannan-binding lectin serine peptidase 2, mannan-binding lectin serine protease 2, mannan-binding lectin serine protease 1 pseudogene 1, MASP1P1)], *Homo sapiens* monoclonal antibody;
gamma4 heavy chain *Homo sapiens* (1-445) [VH (*Homo sapiens*IGHV2-26*01 (94.0%) -(IGHD) -IGHJ4*01 (100%)] [10.7.10] (1-118) -

Homo sapiens IGHG4*01 (CH1 (119-216), hinge 1-12 S10>P (226) (217-228), CH2 (229-338), CH3 (339-443), CHS (444-445)) (119-445)], (132-211')-disulfide with lambda light chain *Homo sapiens* (1'-212') [V-LAMBDA (*Homo sapiens* IGLV3-1*01 (93.5%) -IGLJ2*01 (100%))] [6.3.9] (1'-106') -*Homo sapiens* IGLC2*01 (100%) (107'-212)]; dimer (224-224":227-227")-bisdisulfide, produced in Chinese hamster ovary (CHO)-S cell line, glycoform alfa

immunoglobuline G4-lambda, anti-[*Homo sapiens* MASP2 (sérine peptidase 2 de la lectine liant le mannane, sérine protéase 2 de la lectine liant le mannane, pseudogène 1 de la protéase 1 de la lectine liant le mannane, MASP1P1)], anticorps monoclonal *Homo sapiens*; chaîne lourde gamma4 *Homo sapiens* (1-445) [VH (*Homo sapiens* IGHV2-26*01 (94.0%) -(IGHD) -IGHJ4*01 (100%))] [10.7.10] (1-118) - *Homo sapiens* IGHG4*01 (CH1 (119-216), charnière 1-12 S10>P (226) (217-228), CH2 (229-338), CH3 (339-443), CHS (444-445)) (119-445)], (132-211')-disulfure avec la chaîne légère lambda *Homo sapiens* (1'-212') [V-LAMBDA (*Homo sapiens* IGLV3-1*01 (93.5%) -IGLJ2*01 (100%))] [6.3.9] (1'-106') -*Homo sapiens* IGLC2*01 (100%) (107'-212)]; dimère (224-224":227-227")-bisdisulfure, produit dans des cellules ovariennes de hamsters chinois (CHO) lignée cellulaire S, glycoforme alfa

immunoglobulina G4-lambda, anti-[*Homo sapiens* MASP2 (serina peptidasa 2 de la lectina que se une al manano, serina proteasa 2 de la lectina unida al manano, pseudogen 1 de la proteasa 1 de la lectina unida al manano, MASP1P1)], anticuerpo monoclonal *Homo sapiens*; cadena pesada gamma4 *Homo sapiens* (1-445) [VH (*Homo sapiens* IGHV2-26*01 (94.0%) -(IGHD) -IGHJ4*01 (100%))] [10.7.10] (1-118) - *Homo sapiens* IGHG4*01 (CH1 (119-216), bisagra 1-12 S10>P (226) (217-228), CH2 (229-338), CH3 (339-443), CHS (444-445)) (119-445)], (132-211')-disulfuro con la cadena ligera lambda *Homo sapiens* (1'-212') [V-LAMBDA (*Homo sapiens* IGLV3-1*01 (93.5%) -IGLJ2*01 (100%))] [6.3.9] (1'-106') -*Homo sapiens* IGLC2*01 (100%) (107'-212)]; dímero (224-224":227-227")-bisdisulfuro, producido en las células ováricas de hamsters chinos (CHO) línea celular S, glicoforma alfa

Proposed International Nonproprietary Names (Prop. INN): List 122

Dénominations communes internationales proposées (DCI Prop.): Liste 122

Denominaciones Comunes Internacionales Propuestas (DCI Prop.): Lista 122

(WHO Drug Information, Vol. 33, No. 2, 2019)

p.831 **eflepedocokinum alfa#**

-832 eflépedocokine alfa *remplacer la description par la suivante*
eflepedocokina alfa *sustitúyase la descripción por la siguiente*

interleukine 22 humaine (IL22, cytokine Zcyto18, facteur inductible dérivé des lymphocytes T lié à IL10, IL-TIF) (1-146), fusionnée via un peptide liant GSG₃S(G₄S)₂ (147-162) au fragment Fc C-terminal de l'immunoglobuline G2 humaine (163-385), P²⁶⁹>S-mutant **S³¹⁶>A-variant**, dimère (165-165':168-168')-bisdisulfure, produit dans des cellules ovariennes de hamster chinois (CHO), glycoforme alfa

interleukina 22 humana (IL22, citoquina Zcyto18, factor inducible derivado de los linfocitos T relacionado con IL10, IL-TIF) (1-146), fusionada a través de un péptido que se une a GSG₃S(G₄S)₂ (147-

162) con el fragmento Fc C-terminal de la inmunoglobulina G2 humana (163-385), P²⁶⁹>S-mutante S³¹⁶>A-variante, dímero (165-165':168-168')-bisdisulfuro, producido en las células ováricas de hamster chino (CHO), glicofoma alfa

p.842 -843	<i>delete/supprimer/suprimáse</i> icatolimabum icatolimab icatolimab icatolimab	<i>insert/insérer/insertese</i> tifcemalimabum tifcemalimab tifcémalimab tifcemalimab
p.887	<i>delete/supprimer/suprimáse</i> rulabricinum alfa rulabricin alfa rulabricine alfa rulabricina alfa	<i>insert/insérer/insertese</i> ledelabricinum alfa ledelabricin alfa lédélabricine alfa ledelabricina alfa

Proposed International Nonproprietary Names (Prop. INN): List 123
Dénominations communes internationales proposées (DCI Prop.): Liste 123
Denominaciones Comunes Internacionales Propuestas (DCI Prop.): Lista 123
(WHO Drug Information, Vol. 34, No. 2, 2020)

p.266	acapatamabum # acapatamab acapatamab acapatamab	<i>replace the structure by the following one</i> <i>remplacer la structure par la suivante</i> <i>sustitúyase la estructura por la siguiente</i>
-------	---	---

Heavy chain / Chaîne lourde / Cadena pesada

```

QVQLVESGGG LVKPGESLRL SCAASGFTFS DYMYWVRQA PGKCLEWVAI 50
ISDGGYYTYY SDIIRGRFTI SRDNAKNSLY LQMNSLKAED TAVYYCARGF 100
PLLRHGAMDY WQGTTLVTVS SGGGSGGGG SGGGSDIQM TQSPSSLAS 150
VGRVITITCK ASQNVDTNVA WYQKPGQAP KSLIYSASY YWVPSRFSG 200
SASGTDFTLT ISSVQSEDFE TYQCQYDQQ LITFGCGTKL EIKSGGGGSE 250
VQLVESGGGL VQPGGSLKLS CAASGFTFNK YAMNWRQAP GKLEWVARI 300
RSKYNVYATY YADSVKDRFT ISRDDSKNTA YLQMNVLKTE DTAVYYCVRH 350
GNFGNSYISY WAYWGQGTLV TVSSGGGGSG GGGSGGGGSG TVVTQEPSLT 400
VSPGTVTLT CGSSTGAVTS GNYPNWVQK PGQAPRGLIG GTKFLAPGTP 450
ARFSGSLLGG KAALTLGSGVQ PEDEAEYYCV LWYSNRWVFG GGTKLTVLGG 500
GGDKTHTCPP CPAPELLGGP SVFLFPPKPK DTLMISRTPE VTCVVDVSH 550
EDPEVKFNWY VDGVEVHNAK TKPCEEQYGS TYRCVSVLTV LHQDWLNGKE 600
YKCKVKNKAL PAPIEKTISK AKGQPREPQV YTLPPSREEM TKNQVSLTCL 650
VKGFYPSDIA VEWESNGQPE NNYKTPPVVL DSDGSFFLYS KLTVDKSRWQ 700
QGNVFCFSVM HEALHNHYTQ KSLSLSPGKG GGGSGGGGSG GGGSGGGGSG 750
GGGSGGGGSD KHTHTCPPCPA PELLGGPSVF LFPPPKPDTL MISRTPPEVTC 800
VVVDVSHEDP EVKFNWYVDG VEVHNAKTKP CEEQYGSTYR CVSVLTVLHQ 850
DWLNGKEYK KVSINKALPAP IEKTIISKARG QPREPQVYTL PPSREEMTKN 900
QVSLTCLVKG FYPSDIAVEW ESNGQPENNY KTTTPVLDSD GSFPLYSKLT 950
VDKSRWQQGN VFSCVMHEA LHNHYTKQSL SLSPGK 986

```

Post-translational modifications

Disulfide bridges location / Position des ponts disulfure / Posiciones de los puentes disulfuro

Intra-V (C23-C104)	22-96	159-224	271-347	411-479
Intra-C (C23-C104)	543-603	649-707	800-860	906-964
Intra-CH2 (C83-C85)	574-584	831-841		
Inter-VH-VL (C49-C120)	44-236			
Inter-h11 (h 11 - h 11)	508-765			
Inter-h14 (h 14 - h 14)	511-768			

No N-glycosylation sites / pas de sites de N-glycosylation / ningún posición de N-glicosilación

CH2 N84,4>G:
579, 836
Aglycosylated

C-terminal lysine clipping / Coupure de la lysine C-terminale / Recorte de lisina C-terminal
CHS K2:

986

p.379 -380	atidarsagenum autotemcelum #	
	atidarsagene autotemcel	<i>replace the description by the following one</i>
	atidarsagène autotemcel	<i>remplacer la description par la suivante</i>
	atidarsagén autotemcel	<i>sustitúyase la descripción por la siguiente</i>

Autologous CD34+ hematopoietic stem and progenitor cells transduced *ex vivo* with a replication-**incompetent** lentiviral vector encoding human arylsulfatase A (ARSA).

Autologous CD34+ hematopoietic stem and progenitor cells (HSPC), obtained from bone marrow (BM) or mobilised peripheral blood (mPB), transduced *ex vivo* with a replication-**incompetent** pseudotyped HIV-1 based lentiviral vector encoding the human arylsulfatase A (ARSA) transgene under the control of a human phosphoglycerate kinase (PGK) promoter. The vector is pseudotyped with the vesicular stomatitis virus (VSV) envelope glycoprotein. The vector genome also contains a **mutated Woodchuck hepatitis virus post-transcriptional regulatory element (WPRE)**, a fragment of the HIV-1 *gag*, the HIV-1 Rev response element (RRE), the HIV-1 central polypurine tract (cPPT) and a fragment of *nef*. The CD34+ cell population **corresponds to an heterogenous population of stem and progenitor cells, some expressing the CD90 and/or CD133 markers.**

Des cellules souches et progénitrices hématopoïétiques CD34+ autologues ont été transduites *ex vivo* avec un vecteur lentiviral **incompétent** à la réplication codant pour l'arylsulfatase A humaine (ARSA).

Des cellules souches et progénitrices hématopoïétiques CD34+ autologues (HSPC), obtenues à partir de moelle osseuse (BM) ou de sang périphérique mobilisé (mPB), ont été transduites *ex vivo* avec un vecteur lentiviral, à base de VIH-1 pseudotypé et **incompétent** à la réplication, codant pour le transgène de l'arylsulfatase A humaine (ARSA), sous le contrôle d'un promoteur de la phosphoglycérate kinase (PGK) humaine. Le vecteur est pseudotypé avec la glycoprotéine d'enveloppe du virus de la stomatite vésiculeuse (VSV). Le génome du vecteur contient également **l'élément régulateur post-transcriptionnel Woodchuck (WPRE) du virus de l'hépatite**, un fragment du *gag* du VIH-1, l'élément de réponse Rev (RRE) du VIH-1 et le tractus central de polypurine du VIH-1 (cPPT), ainsi qu'un fragment de *nef*. La population de cellules CD34+ **correspond à une population hétérogène de cellules souches et progénitrices, certaines exprimant les marqueurs CD90 et/ou CD133.**

Células troncales y progenitoras hematopoyéticas CD34+ autólogas transducidas *ex vivo* con un vector lentiviral **incompetente** en replicación que codifica para la arilsulfatasa A humana (ARSA). Las células troncales y progenitoras hematopoyéticas CD34+ autólogas, obtenidas de médula ósea o movilizadas de sangre periférica, se transducen *ex vivo* con un vector lentiviral basado en VIH-1 seudotipado y **incompetente** en replicación, que codifica el transgen de la arilsulfatasa A humana (ARSA) bajo el control de un promotor de la fosfoglicerato quinasa humana (PGK). El vector está seudotipado con la glicoproteína de la envuelta del virus de la estomatitis vesicular (VSV). El genoma del vector también contiene **el elemento regulador post-transcripcional del virus de la hepatitis de la marmota (WPRE)**, un fragmento de *gag* del VIH-1, el elemento de respuesta Rev (RRE) del VIH-1 y el tramo central de poli-purinas (cPPT) de VIH-1, así como un fragmento de *nef*. La población de células CD34+ **corresponde en una población de celulas troncales y progenitoras, algunas expressando los marcadores CD90 y/o CD133.**

p.276 -278	azercabtagenum zapreleucelum # azercabtagene zapreleucel azercabtagène zapréleucel azercabtagén zapreleucel	<i>replace the description by the following one</i> <i>remplacer la description par la suivante</i> <i>sustitúyase la descripción por la siguiente</i>
---------------	---	--

Adult allogeneic CD4+ and CD8+ enriched T cells transduced with an anti-CD19 chimeric antigen receptor (CAR) that is site-specific integrated into the cellular genome.

Adult allogeneic CD4+ and CD8+ enriched T cells, gene edited through the electroporation of homing endonuclease mRNA, which is translated into endonuclease protein that introduces a double-stranded DNA break in exon 1 of the endogenous T cell receptor alpha constant (TRAC) locus. Cells are subsequently transduced with a recombinant non-replicating adeno-associated virus type 6 (rAAV6) vector, encoding an anti-CD19 CAR transgene consisting of a murine CD19-specific scFv (clone FMC63), a CD8 hinge/transmembrane domain, a novel 6 (N6) co-stimulatory domain and CD3 zeta signaling domain, under the control of the synthetic promoter JeT and the SV40 poly(A) signal. CAR transgene integration is achieved via homology directed recombination at the endonuclease target site (exon 1 of TRAC). Depletion of CD3+ cells is performed on the transduced cells to remove cells with functional endogenous T cell receptor (TCR).

The substance is a mixture of non-effector (naive, stem cell memory, central memory) (CCR7+) and effector memory and effector (CCR7-) CD4+ and CD8+ T cells with generally ≥99% T cell receptor knockout, and ≥40% anti-CD19 CAR knock-in.

Activation of the cells is accompanied *in vitro* by release of IFN γ , IL-2, IL-6, and TNF α in an antigen-dependent manner.

Lymphocytes T adultes allogéniques de type CD4+ et CD8+ transduits avec un récepteur d'antigène chimérique (CAR) anti-CD19 qui est intégré de manière spécifique au site.

Lymphocytes T allogéniques enrichies en cellules de type CD4+ et CD8+, dont les gènes ont été édités par l'électroporation du mRNA de l'endonucléase de ciblage, qui est traduite en une protéine endonucléase qui introduit une rupture d'ADN double brin dans l'exon 1 du locus du récepteur alpha endogène aux cellules T (TRAC). Les cellules sont transduites ensuite avec un vecteur du virus recombinant adéno-associé, non répliatif de type 6 (rAAV6), qui code pour un transgène anti-CD19 CAR, qui consiste en un scFv spécifique à CD19 (clone FMC63), un domaine CD8 transmembranaire/charnière, en un nouveau domaine de co-stimulation 6 (N6) et en un domaine de signalisation CD3 zéta, sous le contrôle du promoteur synthétique JeT et d'un signal poly(A) SV40. L'intégration du transgène CAR est obtenue via la recombinaison homologue dirigée au site de ciblage de l'endonucléase (l'exon 1 du TRAC). La déplétion des cellules CD3+ est effectuée sur les cellules transduites pour éliminer les cellules avec des récepteurs T (TCR) endogènes. **La substance est un mélange de lymphocytes T non-effecteurs (naïfs, cellules souches mémoire, mémoire centrale) (CCR7+) et lymphocytes T mémoire effecteurs et effecteurs (CCR7-) CD4+ et CD8+ avec en général ≥99% de récepteurs des lymphocytes T knock-out et ≥40% de CAR anti-CD19 knock-in.** L'activation des cellules est accompagnée *in vitro* par le relâchement d'IFN γ , IL-2, IL-6, et TNF α d'une manière antigène-dépendante.

Linfocitos T adultos, alogénicos, enriquecidos en CD4+ y CD8+, transducidos con un receptor de antígenos quimérico (CAR) anti-CD19 que se integra en el genoma celular de forma específica de sitio.

Linfocitos T adultos, alogénicos, enriquecidos en CD4+ y CD8+, con genes editados mediante la electroporación del ARNm de una endonucleasa de homing, que se traduce a una proteína endonucleasa que introduce una rotura en el ADN de doble cadena en el exón 1 del locus de la región constante del receptor alfa de células T endógenas (TRAC). Las células son posteriormente transducidas con un vector recombinante, no replicativo, de virus adeno-asociado tipo 6 (rAAV6) que codifica para un transgén de CAR anti-CD19 que consiste en un scFv murino anti-CD19 (clon FMC63), un dominio bisagra/transmembrana CD8, un nuevo dominio de co-estimulación 6 (N6) y el dominio de señalización CD3 zeta, bajo el control del promotor sintético JeT y la señal poly(A) del SV40. La integración del transgén CAR se consigue mediante recombinación homóloga dirigida en el sitio diana de la endonucleasa (exón 1 de TRAC). Se realiza la depleción de células CD3+ en las células transducidas para eliminar las células con un receptor de células T (TCR) endógeno funcional. **La sustancia es una mezcla de linfocitos T no efectores (ingenuos, células troncales memoria, memoria central) (CCR7+) y linfocitos T memoria efectores y efectores (CCR7-) CD4+ y CD8+ con en general ≥99% de receptores de linfocitos T (TCR) knock-out y ≥40% de CAR anti-CD19 knock-in.** La activación de las células está acompañada *in vitro* por la liberación de IFN γ , IL-2, IL-6, y TNF α de una manera antígeno-dependiente.

p.285 **bepirovirsenum #**
bepirovirsen
bépirovirsén
bepirovirsen

replace the structure by the following one
remplacer la structure par la suivante
sustitúyase la estructura por la siguiente

(3'-5') $\underline{\text{G}}=\underline{\text{C}}=\underline{\text{A}}=\underline{\text{G}}=\underline{\text{A}}=\underline{\text{d}}[\underline{\text{G}}=\underline{\text{G}}=\underline{\text{T}}=\underline{\text{G}}=\underline{\text{A}}=\underline{\text{A}}=\underline{\text{G}}=\underline{\text{C}}=\underline{\text{G}}=\underline{\text{A}}=\underline{\text{A}}=\underline{\text{G}}=\underline{\text{U}}=\underline{\text{G}}=\underline{\text{C}}$

Legend d : 2'-deoxynucleotides

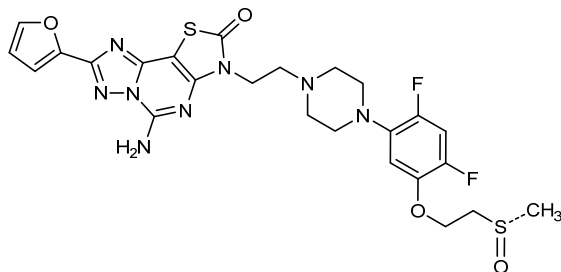
X : 2'-O-(2-methoxyethyl)nucleotide

C, C, U : 5-methylnucleotide



p.337 **inupadenantum #**
inupadenant
inupadénant
inupadenant

replace the structure by the following one
remplacer la structure par la suivante
sustitúyase la estructura por la siguiente



p.354 **nedosiranum #**

-356 **nedosiran** *replace the chemical name and structure by the following ones*
nédosiran *remplacer le nom chimique et la structure par les suivants*
nedosirán *sustitúyase el nombre químico y la estructura por los siguientes*

all-P-ambo-2'-O-methyl-P-thioadenylyl-(3'→5')-2'-O-methyluridylyl-(3'→5')-2'-deoxy-2'-fluoroguanlylyl-(3'→5')-2'-O-methyluridylyl-(3'→5')-2'-deoxy-2'-fluorouridylyl-(3'→5')-2'-O-methylguanylyl-(3'→5')-2'-O-methyluridylyl-(3'→5')-2'-deoxy-2'-fluorocytidylyl-(3'→5')-2'-deoxy-2'-fluorocytidylyl-(3'→5')-2'-deoxy-2'-fluorouridylyl-(3'→5')-2'-deoxy-2'-fluorouridylyl-(3'→5')-2'-O-methyluridylyl-(3'→5')-2'-deoxy-2'-fluorouridylyl-(3'→5')-2'-O-methyluridylyl-(3'→5')-2'-deoxy-2'-fluoroadenylyl-(3'→5')-2'-O-methyluridylyl-(3'→5')-2'-deoxy-2'-fluorocytidylyl-(3'→5')-2'-O-methyluridylyl-(3'→5')-2'-O-methylguanylyl-(3'→5')-2'-O-methyladenylyl-(3'→5')-2'-O-methylguanylyl-(3'→5')-2'-O-methylcytidylyl-(3'→5')-2'-O-methyladenylyl-(3'→5')-2'-O-methylguanylyl-(3'→5')-2'-O-methylcytidylyl-(3'→5')-2'-O-methylcytidylyl-(3'→5')-2'-O-[[2-(2-{5-[(2-acetamido-2-deoxy-β-D-galactopyranosyl)oxy]pentanamido}ethoxy)ethoxy)methyl]guanylyl-(3'→5')-2'-O-[[2-(2-{5-[(2-acetamido-2-deoxy-β-D-galactopyranosyl)oxy]pentanamido}ethoxy)ethoxy)methyl]adenylyl-(3'→5')-2'-O-[[2-(2-{5-[(2-acetamido-2-deoxy-β-D-galactopyranosyl)oxy]pentanamido}ethoxy)ethoxy)methyl]adenylyl-(3'→5')-2'-O-methylguanylyl-(3'→5')-2'-O-methylguanylyl-(3'→5')-2'-O-methylcytidylyl-(3'→5')-2'-O-methyluridylyl-(3'→5')-2'-O-methylguanylyl-(3'→5')-2'-O-methylcytidine
duplex with all-P-ambo-2'-O-methyl-P-thioguanlylyl-(5'→3')-2'-O-methyl-P-thioguanlylyl-(5'→3')-2'-O-methyluridylyl-(5'→3')-2'-O-methyladenylyl-(5'→3')-2'-deoxy-2'-fluorocytidylyl-(5'→3')-2'-O-methyladenylyl-(5'→3')-2'-deoxy-2'-fluoroadenylyl-(5'→3')-2'-O-methylcytidylyl-(5'→3')-2'-deoxy-2'-fluoroadenylyl-(5'→3')-2'-O-methylguanylyl-(5'→3')-2'-O-methylguanylyl-(5'→3')-2'-O-methyladenylyl-(5'→3')-2'-deoxy-2'-fluoroadenylyl-(5'→3')-2'-deoxy-2'-fluoroadenylyl-(5'→3')-2'-O-methyladenylyl-(5'→3')-2'-deoxy-2'-fluoroadenylyl-(5'→3')-2'-O-methyluridylyl-(5'→3')-2'-deoxy-2'-fluoroadenylyl-(5'→3')-2'-deoxy-2'-fluoro-P-thioguanlylyl-(5'→3')-2'-deoxy-2'-fluoro-P-thiocytidylyl-(5'→3')-methyl hydrogen 2'-O-methyl-5'-oxa-O-5'-carba-α-L-lyxo-5'-uridylate

tout-P-ambo-2'-O-méthyl-P-thioadénylyl-(3'→5')-2'-O-méthyluridylyl-(3'→5')-2'-désoxy-2'-fluoroguanlylyl-(3'→5')-2'-O-méthyluridylyl-(3'→5')-2'-désoxy-2'-fluorouridylyl-(3'→5')-2'-O-méthylguanylyl-(3'→5')-2'-O-méthyluridylyl-(3'→5')-2'-désoxy-2'-fluorocytidylyl-(3'→5')-2'-désoxy-2'-fluorocytidylyl-(3'→5')-2'-désoxy-2'-fluorouridylyl-(3'→5')-2'-O-méthyluridylyl-(3'→5')-2'-désoxy-2'-fluorouridylyl-(3'→5')-2'-O-méthyluridylyl-(3'→5')-2'-désoxy-2'-fluoroadénylyl-(3'→5')-2'-O-méthyluridylyl-(3'→5')-2'-désoxy-2'-fluorocytidylyl-(3'→5')-2'-O-méthyluridylyl-(3'→5')-2'-O-méthylguanylyl-(3'→5')-2'-O-méthyladénylyl-(3'→5')-2'-O-méthylguanylyl-(3'→5')-2'-O-méthylcytidylyl-(3'→5')-2'-O-méthyladénylyl-(3'→5')-2'-O-méthylguanylyl-(3'→5')-2'-O-méthylcytidylyl-(3'→5')-2'-O-méthylcytidylyl-(3'→5')-2'-O-[[2-(2-{5-[(2-acétamido-2-désoxy-β-D-galactopyranosyl)oxy]pentanamido}éthoxy)éthoxy)méthyl]guanylyl-(3'→5')-2'-O-[[2-(2-{5-[(2-acétamido-2-désoxy-β-D-galactopyranosyl)oxy]pentanamido}éthoxy)éthoxy)méthyl]adénylyl-(3'→5')-2'-O-[[2-(2-{5-[(2-acétamido-2-désoxy-β-D-galactopyranosyl)oxy]pentanamido}éthoxy)éthoxy)méthyl]adénylyl-(3'→5')-2'-O-[[2-(2-{5-[(2-acétamido-2-désoxy-β-D-galactopyranosyl)oxy]pentanamido}éthoxy)éthoxy)méthyl]adénylyl-(3'→5')-2'-O-méthylguanylyl-(3'→5')-2'-O-méthylguanylyl-(3'→5')-2'-O-

p.379 **posoleucelum #**
 -380 posoleucel
 posoleucel
 posoleucel

replace the description by the following one
remplacer la description par la suivante
sustitúyase la descripción por la siguiente

Allogeneic human leukocyte antigen (HLA)-matched virus-specific T cells reactive to cytomegalovirus (CMV), EBV, BK virus, adenovirus and human herpesvirus-6 (HHV-6). The cells are derived from peripheral blood mononuclear cells (PBMCs) from donors seropositive **for all five of these viruses**.

The cells are expanded and co-cultured with 15-mer peptides overlapping by 11 amino acids spanning antigenic proteins from **polyomaviruses BK and JC** (VP1 and large T), from adenovirus (hexon and penton), from cytomegalovirus (IE1 and pp65), from Epstein-Barr virus (LMP2, EBNA1, BZLF1), and from human herpesvirus-6 (U90, U11 and U14). The cells **have specific anti-virus reactivity for each virus above a pre-specified potency threshold**, and predominantly express CD3 (generally >95%) with a mixture of CD4+ (average 60%) and CD8+ (average 34%) subsets, including both central (CD45RA-/62L+/CCR7+) and effector (CD45RA-/62L-/CCR7-) memory markers.

Lymphocytes T allogéniques, compatibles pour les antigènes leucocytaires humains (HLA) et spécifiques pour le cytomégalovirus (CMV), l'EBV, le virus BK, l'adénovirus et le virus herpès humain 6 (HHV-6). Les cellules sont dérivées de cellules mononucléaires du sang périphérique (PBMC) provenant de donneurs séropositifs pour ces **cinq** virus.

Les cellules sont amplifiées et cultivées avec des peptides de 15 résidus se chevauchant par 11 acides aminés couvrant les protéines antigéniques **du polyomavirus BK et JC** (VP1 et grand T), de l'adénovirus (hexon et penton), du cytomégalovirus (IE1 et pp65), du virus d'Epstein-Barr (LMP2, EBNA1, BZLF1), et du virus herpès humain 6 (U90, U11 et U14).

Les cellules **ont une réactivité antivirus spécifique pour chacun des virus au-delà d'un seuil prédéfini**, et expriment principalement CD3 (généralement >95%) avec un mélange de sous-populations de CD4+ (60% en moyenne) et de CD8+ (34% en moyenne), comprenant des marqueurs des mémoires centrale (CD45RA-/62L+/CCR7+) et effectrice (CD45RA-/62L-/CCR7-).

Células T alogénicas específicas de virus con compatibilidad para el antígeno leucocitario humano (HLA) reactivas frente a citomegalovirus (CMV), EBV, virus BK, adenovirus y herpesvirus humano 6 (HHV-6). Las células se obtienen a partir de células mononucleares de sangre periférica (PBMCs) de donantes seropositivos para estos **cinco** virus.

Las células **tienen una reactividad antivirus específica para cada de estos virus por encima de un umbral de potencia preestablecido**, y se expanden y co-cultivan con péptidos de 15 residuos que solapan en 11 amino ácidos cubriendo proteínas antigénicas de **poliomavirus BK y JC** (VP1 y T grande), de adenovirus (hexón y pentón), de citomegalovirus (IE1 y pp65), de virus de Epstein-Barr (LMP2, EBNA1, BZLF1), y de herpesvirus humano 6 (U90, U11 and U14).

Las células expresan predominantemente CD3 (generalmente >95%) con una mezcla de subtipos CD4+ (60% como media) y CD8+ (34% como media), incluyendo marcadores de memoria central (CD45RA-/62L+/CCR7+) y efectora (CD45RA-/62L-/CCR7-).

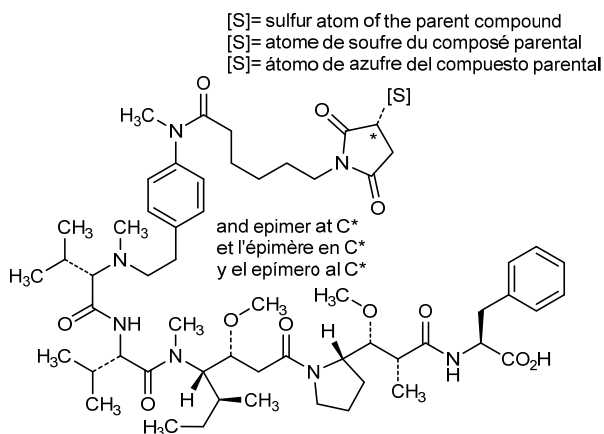
p.300 **daplusiranum #**
daplusiran
daplusiran
daplusirán

*replace the CAS registry number by the following one
remplacer le numéro de registre du CAS par le suivant
sustitúyase el número del registro del CAS por el siguiente*

2202783-35-3

p.267

<i>delete/supprimer/suprimáse</i>	<i>insert/insérer/insertese</i>
acidum valiloxibicum	valiloxybatum
valiloxibic acid	valiloxybate
acide valiloxibique	valiloxybate
ácido valiloxíbico	valiloxibato

**uzatansinum**

uzatansine

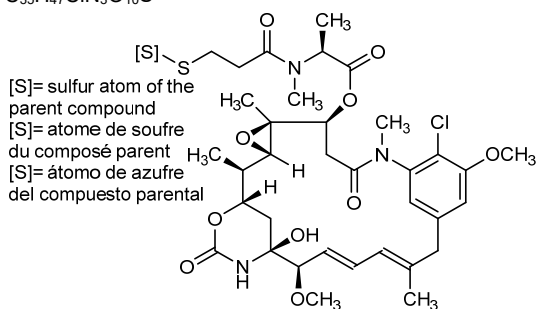
(3-[[[(2S)-1-[[[(1⁴S,1⁶S,2R,3²S,3³S,4S,10E,12E,14R)-8⁶-chloro-1⁴-hydroxy-8⁵,14-dimethoxy-2,3³,7,10-tetramethyl-1²,6-dioxo-7-aza-1(6,4)-[1,3]oxazinana-3(2,3)-oxirana-8(1,3)-benzenacyclotetradecaphane-10,12-dien-4-yl]oxy}-1-oxopropan-2-yl](methyl)amino}-3-oxopropyl)sulfanyl

uzatansine

(3-[[[(2S)-1-[[[(1⁴S,1⁶S,2R,3²S,3³S,4S,10E,12E,14R)-8⁶-chloro-1⁴-hydroxy-8⁵,14-diméthoxy-2,3³,7,10-tétraméthyl-1²,6-dioxo-7-aza-1(6,4)-[1,3]oxazinana-3(2,3)-oxirana-8(1,3)-benzénacyclotétradecaphane-10,12-dién-4-yl]oxy}-1-oxopropan-2-yl](méthyl)amino}-3-oxopropyl)sulfanyle

uzatansina

(3-[[[(2S)-1-[[[(1⁴S,1⁶S,2R,3²S,3³S,4S,10E,12E,14R)-8⁶-cloro-1⁴-hidroxi-2,3³,7,10-tetrametil-8⁵,14-dimetoxi-1²,6-dioxo-7-aza-1(6,4)-[1,3]oxazinana-3(2,3)-oxirana-8(1,3)-bencenaciotetradecafano-10,12-dien-4-il]oxi}-1-oxopropan-2-il](metil)amino}-3-oxopropil)sulfanilo

C₃₅H₄₇ClN₃O₁₀S

ANNEX 1

PROCEDURE FOR THE SELECTION OF RECOMMENDED INTERNATIONAL NONPROPRIETARY NAMES FOR PHARMACEUTICAL SUBSTANCES¹

The following procedure shall be followed by the World Health Organization (hereinafter also referred to as "WHO") in the selection of recommended international nonproprietary names for pharmaceutical substances, in accordance with resolution WHA3.11 of the World Health Assembly, and in the substitution of such names.

Article 1 - Proposals for recommended international nonproprietary names and proposals for substitution of such names shall be submitted to WHO on the form provided therefore. The consideration of such proposals shall be subject to the payment of an administrative fee designed only to cover the corresponding costs of the Secretariat of WHO ("the Secretariat"). The amount of this fee shall be determined by the Secretariat and may, from time to time, be adjusted.

Article 2 - Such proposals shall be submitted by the Secretariat to the members of the Expert Advisory Panel on the International Pharmacopoeia and Pharmaceutical Preparations designated for this purpose, such designated members hereinafter referred to as "the INN Expert Group", for consideration in accordance with the "General principles for guidance in devising International Nonproprietary Names for Pharmaceutical Substances", annexed to this procedure². The name used by the person discovering or first developing and marketing a pharmaceutical substance shall be accepted, unless there are compelling reasons to the contrary.

Article 3 - Subsequent to the examination provided for in article 2, the Secretariat shall give notice that a proposed international nonproprietary name is being considered.

a) Such notice shall be given by publication in *WHO Drug Information*³ and by letter to Member States and to national and regional pharmacopoeia commissions or other bodies designated by Member States.

i) Notice shall also be sent to the person who submitted the proposal ("the original applicant") and other persons known to be concerned with a name under consideration.

b) Such notice shall:

i) set forth the name under consideration;

ii) identify the person who submitted the proposal for naming the substance, if so requested by such person;

iii) identify the substance for which a name is being considered;

iv) set forth the time within which comments and objections will be received and the person and place to whom they should be directed;

v) state the authority under which WHO is acting and refer to these rules of procedure.

c) In forwarding the notice, the Secretariat shall request that Member States take such steps as are necessary to prevent the acquisition of proprietary rights in the proposed name during the period it is under consideration by WHO.

Article 4 - Comments on the proposed name may be forwarded by any person to WHO within four months of the date of publication, under article 3, of the name in *WHO Drug Information*.

¹ See Annex 1 in WHO Technical Report Series, No. 581, 1975. The original text was adopted by the Executive Board in resolution EB15.R7 and amended in resolutions EB43.R9 and EB115.R4.

² See Annex 2.

³ Before 1987, lists of international nonproprietary names were published in the *Chronicle of the World Health Organization*.

Article 5 - A formal objection to a proposed name may be filed by any interested person within four months of the date of publication, under article 3, of the name in *WHO Drug Information*.

Such objection shall:

- i) identify the person objecting;
- ii) state his or her interest in the name;
- iii) set forth the reasons for his or her objection to the name proposed.

Article 6 - Where there is a formal objection under article 5, WHO may either reconsider the proposed name or use its good offices to attempt to obtain withdrawal of the objection. Without prejudice to the consideration by WHO of a substitute name or names, a name shall not be selected by WHO as a recommended international nonproprietary name while there exists a formal objection thereto filed under article 5 which has not been withdrawn.

Article 7 - Where no objection has been filed under article 5, or all objections previously filed have been withdrawn, the Secretariat shall give notice in accordance with subsection (a) of article 3 that the name has been selected by WHO as a recommended international nonproprietary name.

Article 8 - In forwarding a recommended international nonproprietary name to Member States under article 7, the Secretariat shall:

- a) request that it be recognized as the nonproprietary name for the substance; and
- b) request that Member States take such steps as are necessary to prevent the acquisition of proprietary rights in the name and to prohibit registration of the name as a trademark or trade name.

Article 9

a) In the extraordinary circumstance that a previously recommended international nonproprietary name gives rise to errors in medication, prescription or distribution, or a demonstrable risk thereof, because of similarity with another name in pharmaceutical and/or prescription practices, and it appears that such errors or potential errors cannot readily be resolved through other interventions than a possible substitution of a previously recommended international nonproprietary name, or in the event that a previously recommended international nonproprietary name differs substantially from the nonproprietary name approved in a significant number of Member States, or in other such extraordinary circumstances that justify a substitution of a recommended international nonproprietary name, proposals to that effect may be filed by any interested person. Such proposals shall be submitted on the form provided therefore and shall:

- i) identify the person making the proposal;
- ii) state his or her interest in the proposed substitution; and
- iii) set forth the reasons for the proposal; and
- iv) describe, and provide documentary evidence regarding the other interventions undertaken in an effort to resolve the situation, and the reasons why these other interventions were inadequate.

Such proposals may include a proposal for a new substitute international nonproprietary name, devised in accordance with the General principles, which takes into account the pharmaceutical substance for which the new substitute international nonproprietary name is being proposed.

The Secretariat shall forward a copy of the proposal, for consideration in accordance with the procedure described in subsection (b) below, to the INN Expert Group and the original applicant or its successor (if different from the person bringing the proposal for substitution and provided that the original applicant or its successor is known or can be found through diligent effort, including contacts with industry associations).

In addition, the Secretariat shall request comments on the proposal from:

- i) Member States and national and regional pharmacopoeia commissions or other bodies designated by Member States (by including a notice to that effect in the letter referred to in article 3(a), and
- ii) any other persons known to be concerned by the proposed substitution.

The request for comments shall:

- i) state the recommended international nonproprietary name that is being proposed for substitution (and the proposed substitute name, if provided);
- ii) identify the person who submitted the proposal for substitution (if so requested by such person);
- iii) identify the substance to which the proposed substitution relates and reasons put forward for substitution;
- iv) set forth the time within which comments will be received and the person and place to whom they should be directed; and
- v) state the authority under which WHO is acting and refer to these rules of procedure.

Comments on the proposed substitution may be forwarded by any person to WHO within four months of the date of the request for comments.

b) After the time period for comments referred to above has elapsed, the Secretariat shall forward any comments received to the INN Expert Group, the original applicant or its successor and the person bringing the proposal for substitution. If, after consideration of the proposal for substitution and the comments received, the INN Expert Group, the person bringing the proposal for substitution and the original applicant or its successor all agree that there is a need to substitute the previously recommended international nonproprietary name, the Secretariat shall submit the proposal for substitution to the INN Expert Group for further processing. Notwithstanding the foregoing, the original applicant or its successor shall not be entitled to withhold agreement to a proposal for substitution in the event the original applicant or its successor has no demonstrable continuing interest in the recommended international nonproprietary name proposed for substitution.

In the event that a proposal for substitution shall be submitted to the INN Expert Group for further processing, the INN Expert Group will select a new international nonproprietary name in accordance with the General principles referred to in article 2 and the procedure set forth in articles 3 to 8 inclusive. The notices to be given by the Secretariat under article 3 and article 7, respectively, including to the original applicant or its successor (if not the same as the person proposing the substitution, and provided that the original applicant or its successor is known or can be found through diligent effort, including contacts with industry associations), shall in such event indicate that the new name is a substitute for a previously recommended international nonproprietary name and that Member States may wish to make transitional arrangements in order to accommodate existing products that use the previously recommended international nonproprietary name on their label in accordance with national legislation.

If, after consideration of the proposal for substitution and the comments received in accordance with the procedure described above, the INN Expert Group, the original applicant or its successor and the person bringing the proposal for substitution do not agree that there are compelling reasons for substitution of a previously recommended international nonproprietary name, this name shall be retained (provided always that the original applicant or its successor shall not be entitled to withhold agreement to a proposal for substitution in the event that the original applicant or its successor has no demonstrable continuing interest in the recommended international nonproprietary name proposed to be substituted). In such an event, the Secretariat shall advise the person having proposed the substitution, as well as the original applicant or its

successor (if not the same as the person proposing the substitution, and provided that the original applicant or its successor is known or can be found through diligent effort, including contacts with industry associations), Member States, national and regional pharmacopoeia commissions, other bodies designated by Member States, and any other persons known to be concerned by the proposed substitution that, despite a proposal for substitution, it has been decided to retain the previously recommended international nonproprietary name (with a description of the reason(s) why the proposal for substitution was not considered sufficiently compelling).

ANNEX 2

GENERAL PRINCIPLES FOR GUIDANCE IN DEVISING INTERNATIONAL NONPROPRIETARY NAMES FOR PHARMACEUTICAL SUBSTANCES¹

1. International Nonproprietary Names (INN) should be distinctive in sound and spelling. They should not be inconveniently long and should not be liable to confusion with names in common use.

2. The INN for a substance belonging to a group of pharmacologically related substances should, where appropriate, show this relationship. Names that are likely to convey to a patient an anatomical, physiological, pathological or therapeutic suggestion should be avoided.

These primary principles are to be implemented by using the following secondary principles:

3. In devising the INN of the first substance in a new pharmacological group, consideration should be given to the possibility of devising suitable INN for related substances, belonging to the new group.

4. In devising INN for acids, one-word names are preferred; their salts should be named without modifying the acid name, e.g. "oxacillin" and "oxacillin sodium", "ibufenac" and "ibufenac sodium".

5. INN for substances which are used as salts should in general apply to the active base or the active acid. Names for different salts or esters of the same active substance should differ only in respect of the name of the inactive acid or the inactive base.

For quaternary ammonium substances, the cation and anion should be named appropriately as separate components of a quaternary substance and not in the amine-salt style.

6. The use of an isolated letter or number should be avoided; hyphenated construction is also undesirable.

7. To facilitate the translation and pronunciation of INN, "f" should be used instead of "ph", "t" instead of "th", "e" instead of "ae" or "oe", and "i" instead of "y"; the use of the letters "h" and "k" should be avoided.

8. Provided that the names suggested are in accordance with these principles, names proposed by the person discovering or first developing and marketing a pharmaceutical preparation, or names already officially in use in any country, should receive preferential consideration.

9. Group relationship in INN (see General principle 2) should if possible be shown by using a common stem. The following list contains examples of stems for groups of substances, particularly for new groups. There are many other stems in active use.² Where a stem is shown without any hyphens it may be used anywhere in the name.

¹ In its Twentieth report (WHO Technical Report Series, No. 581, 1975), the WHO Expert committee on Nonproprietary Names for Pharmaceutical Substances reviewed the general principles for devising, and the procedures for selecting, INN in the light of developments in pharmaceutical compounds in recent years. The most significant change has been the extension to the naming of synthetic chemical substances of the practice previously used for substances originating in or derived from natural products. This practice involves the use of a characteristic "stem" indicative of a common property of the members of a group. The reason for, and the implications of, the change are fully discussed.

The guiding principles were updated during the 13th consultation on nonproprietary names for pharmaceutical substances (Geneva, 27-29 April 1983) (PHARM S/NOM 928 13 May 1983, revised 18 August 1983).

² A more extensive listing of stems is contained in the working document WHO/EMP/RHT/TSN/2018.1 which is regularly updated and can be requested from the INN Programme, WHO, Geneva.

Latin	English	
-acum	-ac	anti-inflammatory agents, ibufenac derivatives
-adolum	-adol }	analgesics
-adol-	-adol-}	
-astum	-ast	antiasthmatic, antiallergic substances not acting primarily as antihistaminics
-astinum	-astine	antihistaminics
-azepamum	-azepam	diazepam derivatives
bol	bol	steroids, anabolic
-cain-	-cain-	class I antiarrhythmics, procainamide and lidocaine derivatives
-cainum	-caine	local anaesthetics
cef-	cef-	antibiotics, cephalosporanic acid derivatives
-cillinum	-cillin	antibiotics, 6-aminopenicillanic acid derivatives
-conazolom	-conazole	systemic antifungal agents, miconazole derivatives
cort	cort	corticosteroids, except prednisolone derivatives
-coxibum	-coxib	selective cyclo-oxygenase inhibitors
-entanum	-entan	endothelin receptor antagonists
gab	gab	gabamimetic agents
gado-	gado-	diagnostic agents, gadolinium derivatives
-gatrimum	-gatrimum	thrombin inhibitors, antithrombotic agents
gest	gest	steroids, progestogens
gli	gli	antihyperglycaemics
io-	io-	iodine-containing contrast media
-metacinum	-metacin	anti-inflammatory, indometacin derivatives
-mycinum	-mycin	antibiotics, produced by <i>Streptomyces</i> strains
-nidazolom	-nidazole	antiprotozoal substances, metronidazole derivatives
-ololum	-olol	β-adrenoreceptor antagonists
-oxacinum	-oxacin	antibacterial agents, nalidixic acid derivatives
-platinum	-platin	antineoplastic agents, platinum derivatives
-poetinum	-poetin	erythropoietin type blood factors
-pril(at)um	-pril(at)	angiotensin-converting enzyme inhibitors
-profenum	-profen	anti-inflammatory substances, ibuprofen derivatives
prost	prost	prostaglandins
-relinum	-relin	pituitary hormone release-stimulating peptides
-sartanum	-sartan	angiotensin II receptor antagonists, antihypertensive (non-peptidic)
-vaptanum	-vaptan	vasopressin receptor antagonists
vin-	vin- }	vinca-type alkaloids
-vin-	-vin-}	

ANNEXE 1

PROCEDURE A SUIVRE EN VUE DU CHOIX DE DENOMINATIONS COMMUNES INTERNATIONALES RECOMMANDEES POUR LES SUBSTANCES PHARMACEUTIQUES¹

L'Organisation mondiale de la Santé (également désignée ci-après sous l'appellation « OMS ») observe la procédure exposée ci-dessous pour l'attribution de dénominations communes internationales recommandées pour les substances pharmaceutiques, conformément à la résolution WHA3.11 de l'Assemblée mondiale de la Santé, et pour le remplacement de telles dénominations.

Article 1 - Les propositions de dénominations communes internationales recommandées et les propositions de remplacement de telles dénominations sont soumises à l'OMS sur la formule prévue à cet effet. L'examen de telles propositions est soumis au paiement d'une taxe administrative destinée uniquement à couvrir les coûts correspondants assumés par le Secrétariat de l'OMS (« le Secrétariat »). Le montant de cette taxe est déterminé par le Secrétariat et peut être modifié de temps à autre.

¹ Voir annexe 1 dans OMS, Série de Rapports techniques, N° 581, 1975. Le texte original a été adopté par le Conseil exécutif dans sa résolution EB15.R7 et amendé dans ses résolutions EB43.R9 et EB115.R4.

Article 2 - Ces propositions sont soumises par le Secrétariat aux experts désignés à cette fin parmi les personnalités inscrites au Tableau d'experts de la Pharmacopée internationale et des Préparations pharmaceutiques, ci-après désignés sous l'appellation « le Groupe d'experts des DCI » ; elles sont examinées par les experts conformément aux « Directives générales pour la formation de dénominations communes internationales pour les substances pharmaceutiques » reproduites ci-après¹. La dénomination acceptée est la dénomination employée par la personne qui découvre ou qui, la première, fabrique et lance sur le marché une substance pharmaceutique, à moins que des raisons majeures n'obligent à s'écarter de cette règle.

Article 3 - Après l'examen prévu à l'article 2, le Secrétariat notifie qu'un projet de dénomination commune internationale est à l'étude.

a) Cette notification est faite par une insertion dans *WHO Drug Information*² et par l'envoi d'une lettre aux Etats Membres et aux commissions nationales et régionales de pharmacopée ou autres organismes désignés par les Etats Membres.

i) Notification est également faite à la personne qui a soumis la proposition (« le demandeur initial ») et à d'autres personnes portant à la dénomination mise à l'étude un intérêt notoire.

b) Cette notification contient les indications suivantes :

i) dénomination mise à l'étude;

ii) nom de l'auteur de la proposition tendant à attribuer une dénomination à la substance, si cette personne le demande ;

iii) définition de la substance dont la dénomination est mise à l'étude ;

iv) délai pendant lequel seront reçues les observations et les objections à l'égard de cette dénomination ; nom et adresse de la personne habilitée à recevoir ces observations et objections ;

v) mention des pouvoirs en vertu desquels agit l'OMS et référence au présent règlement.

c) En envoyant cette notification, le Secrétariat demande aux Etats Membres de prendre les mesures nécessaires pour prévenir l'acquisition de droits de propriété sur la dénomination proposée pendant la période au cours de laquelle cette dénomination est mise à l'étude par l'OMS.

Article 4 - Des observations sur la dénomination proposée peuvent être adressées à l'OMS par toute personne, dans les quatre mois qui suivent la date de publication de la dénomination dans *WHO Drug Information* (voir l'article 3).

Article 5 - Toute personne intéressée peut formuler une objection formelle contre la dénomination proposée dans les quatre mois qui suivent la date de publication de la dénomination dans *WHO Drug Information* (voir l'article 3).

Cette objection doit s'accompagner des indications suivantes :

i) nom de l'auteur de l'objection ;

ii) intérêt qu'il ou elle porte à la dénomination en cause ;

iii) raisons motivant l'objection contre la dénomination proposée.

Article 6 - Lorsqu'une objection formelle est formulée en vertu de l'article 5, l'OMS peut soit soumettre la dénomination proposée à un nouvel examen, soit intervenir pour tenter d'obtenir le retrait de l'objection. Sans préjudice de l'examen par l'OMS d'une ou de plusieurs appellations de

¹ Voir annexe 2.

² Avant 1987, les listes de dénominations communes internationales étaient publiées dans la *Chronique de l'Organisation mondiale de la Santé*.

remplacement, l'OMS n'adopte pas d'appellation comme dénomination commune internationale recommandée tant qu'une objection formelle présentée conformément à l'article 5 n'est pas levée.

Article 7 - Lorsqu'il n'est formulé aucune objection en vertu de l'article 5, ou que toutes les objections présentées ont été levées, le Secrétariat fait une notification conformément aux dispositions du paragraphe a) de l'article 3, en indiquant que la dénomination a été choisie par l'OMS en tant que dénomination commune internationale recommandée.

Article 8 - En communiquant aux Etats Membres, conformément à l'article 7, une dénomination commune internationale recommandée, le Secrétariat :

- a) demande que cette dénomination soit reconnue comme dénomination commune de la substance considérée ; et
- b) demande aux Etats Membres de prendre les mesures nécessaires pour prévenir l'acquisition de droits de propriété sur cette dénomination et interdire le dépôt de cette dénomination comme marque ou appellation commerciale.

Article 9 -

a) Dans le cas exceptionnel où une dénomination commune internationale déjà recommandée donne lieu à des erreurs de médication, de prescription ou de distribution ou en comporte un risque démontrable, en raison d'une similitude avec une autre appellation dans la pratique pharmaceutique et/ou de prescription, et où il apparaît que ces erreurs ou ces risques d'erreur ne peuvent être facilement évités par d'autres interventions que le remplacement éventuel d'une dénomination commune internationale déjà recommandée, ou dans le cas où une dénomination commune internationale déjà recommandée diffère sensiblement de la dénomination commune approuvée dans un nombre important d'Etats Membres, ou dans d'autres circonstances exceptionnelles qui justifient le remplacement d'une dénomination commune internationale recommandée, toute personne intéressée peut formuler une proposition dans ce sens. Cette proposition est présentée sur la formule prévue à cet effet et doit s'accompagner des indications suivantes :

- i) nom de l'auteur de la proposition ;
- ii) intérêt qu'il ou elle porte au remplacement proposé ;
- iii) raisons motivant la proposition ; et
- iv) description, faits à l'appui, des autres interventions entreprises pour tenter de régler le problème et exposé des raisons pour lesquelles ces interventions ont échoué.

Les propositions peuvent comprendre une proposition de nouvelle dénomination commune internationale de remplacement, établie conformément aux Directives générales, compte tenu de la substance pharmaceutique pour laquelle la nouvelle dénomination commune internationale de remplacement est proposée.

Le Secrétariat transmet une copie de la proposition pour examen, conformément à la procédure exposée plus loin au paragraphe b), au Groupe d'experts des DCI et au demandeur initial ou à son successeur (s'il s'agit d'une personne différente de celle qui a formulé la proposition de remplacement et pour autant que le demandeur initial ou son successeur soit connu ou puisse être retrouvé moyennant des efforts diligents, notamment des contacts avec les associations industrielles).

De plus, le Secrétariat demande aux entités et personnes ci-après de formuler des observations sur la proposition :

- i) les Etats Membres et les commissions nationales et régionales de pharmacopée ou d'autres organismes désignés par les Etats Membres (en insérant une note à cet effet dans la lettre mentionnée à l'article 3.a), et
- ii) toutes autres personnes portant au remplacement proposé un intérêt notoire.

La demande d'observations contient les indications suivantes :

- i) dénomination commune internationale recommandée pour laquelle un remplacement est proposé (et la dénomination de remplacement proposée, si elle est fournie) ;
- ii) nom de l'auteur de la proposition de remplacement (si cette personne le demande) ;
- iii) définition de la substance faisant l'objet du remplacement proposé et raisons avancées pour le remplacement ;
- iv) délai pendant lequel seront reçus les commentaires et nom et adresse de la personne habilitée à recevoir ces commentaires ; et
- v) mention des pouvoirs en vertu desquels agit l'OMS et référence au présent règlement.

Des observations sur la proposition de remplacement peuvent être communiquées par toute personne à l'OMS dans les quatre mois qui suivent la date de la demande d'observations.

b) Une fois échu le délai prévu ci-dessus pour la communication d'observations, le Secrétariat transmet les observations reçues au Groupe d'experts des DCI, au demandeur initial ou à son successeur et à l'auteur de la proposition de remplacement. Si, après avoir examiné la proposition de remplacement et les observations reçues, le Groupe d'experts des DCI, l'auteur de la proposition de remplacement et le demandeur initial ou son successeur reconnaissent tous qu'il est nécessaire de remplacer la dénomination commune internationale déjà recommandée, le Secrétariat soumet la proposition de remplacement au Groupe d'experts des DCI pour qu'il y donne suite.

Nonobstant ce qui précède, le demandeur initial ou son successeur n'est pas habilité à refuser son accord à une proposition de remplacement au cas où il ne peut être démontré qu'il porte un intérêt durable à la dénomination commune internationale recommandée qu'il est proposé de remplacer.

Dans le cas où une proposition de remplacement est soumise au Groupe d'experts des DCI pour qu'il y donne suite, le Groupe choisit une nouvelle dénomination commune internationale conformément aux Directives générales mentionnées à l'article 2 et selon la procédure décrite dans les articles 3 à 8 inclus. La notification faite par le Secrétariat en vertu de l'article 3 et de l'article 7, respectivement, y compris au demandeur initial ou à son successeur (si ce n'est pas la même personne que celle qui a proposé le remplacement et pour autant que le demandeur initial ou son successeur soit connu ou puisse être retrouvé moyennant des efforts diligents, notamment des contacts avec les associations industrielles), doit dans un tel cas indiquer que la nouvelle dénomination remplace une dénomination commune internationale déjà recommandée et que les Etats Membres peuvent souhaiter prendre des mesures transitoires pour les produits existants qui utilisent la dénomination commune internationale déjà recommandée sur leur étiquette conformément à la législation nationale.

Si, après examen de la proposition de remplacement et des observations communiquées conformément à la procédure exposée plus haut, le Groupe d'experts des DCI, le demandeur initial ou son successeur et l'auteur de la proposition de remplacement ne s'accordent pas sur le fait qu'il y a des raisons impératives de remplacer une dénomination commune internationale déjà recommandée, cette dernière est conservée (étant entendu toujours que le demandeur initial ou son successeur n'est pas habilité à refuser son accord à une proposition de remplacement au cas où il ne peut être démontré qu'il porte un intérêt durable à la dénomination commune internationale recommandée qu'il est proposé de remplacer). Dans un tel cas, le Secrétariat informe l'auteur de la proposition de remplacement, ainsi que le demandeur initial ou son successeur (s'il s'agit d'une personne différente de celle qui a formulé la proposition de remplacement et pour autant que le demandeur initial ou son successeur soit connu ou puisse être retrouvé moyennant des efforts diligents, notamment des contacts avec les associations industrielles), les Etats Membres, les commissions nationales et régionales de pharmacopée, les autres organismes désignés par les Etats Membres et toutes autres personnes portant un intérêt notoire au remplacement proposé que, malgré une proposition de remplacement, il a été décidé de conserver la dénomination commune internationale déjà recommandée (avec une brève description de la ou des raisons pour lesquelles la proposition de remplacement n'a pas été jugée suffisamment impérative).

ANNEXE 2

DIRECTIVES GENERALES POUR LA FORMATION DE DENOMINATIONS COMMUNES INTERNATIONALES APPLICABLES AUX SUBSTANCES PHARMACEUTIQUES¹

1. Les dénominations communes internationales (DCI) devront se distinguer les unes des autres par leur consonance et leur orthographe. Elles ne devront pas être d'une longueur excessive, ni prêter à confusion avec des appellations déjà couramment employées.
2. La DCI de chaque substance devra, si possible, indiquer sa parenté pharmacologique. Les dénominations susceptibles d'évoquer pour les malades des considérations anatomiques, physiologiques, pathologiques ou thérapeutiques devront être évitées dans la mesure du possible.
Outre ces deux principes fondamentaux, on respectera les principes secondaires suivants :
3. Lorsqu'on formera la DCI de la première substance d'un nouveau groupe pharmacologique, on tiendra compte de la possibilité de former ultérieurement d'autres DCI appropriées pour les substances apparentées du même groupe.
4. Pour former des DCI des acides, on utilisera de préférence un seul mot. Leurs sels devront être désignés par un terme qui ne modifie pas le nom de l'acide d'origine : par exemple «oxacilline» et «oxacilline sodique», «ibufénac» et «ibufénac sodique».
5. Les DCI pour les substances utilisées sous forme de sels devront en général s'appliquer à la base active (ou à l'acide actif). Les dénominations pour différents sels ou esters d'une même substance active ne différeront que par le nom de l'acide inactif (ou de la base inactif). En ce qui concerne les substances à base d'ammonium quaternaire, la dénomination s'appliquera de façon appropriée au cation et à l'anion en tant qu'éléments distincts d'une substance quaternaire. On évitera de choisir une désignation évoquant un sel aminé.
6. On évitera d'ajouter une lettre ou un chiffre isolé ; en outre, on renoncera de préférence au trait d'union.
7. Pour simplifier la traduction et la prononciation des DCI, la lettre « f » sera utilisée à la place de « ph », « t » à la place de « th », « e » à la place de « ae » ou « oe », et « i » à la place de « y » ; l'usage des lettres « h » et « k » sera aussi évité.
8. On retiendra de préférence, pour autant qu'elles respectent les principes énoncés ici, les dénominations proposées par les personnes qui ont découvert ou qui, les premières, ont fabriqué et lancé sur le marché les préparations pharmaceutiques considérées, ou les dénominations déjà officiellement adoptées par un pays.
9. La parenté entre substances d'un même groupe (voir Directive générale 2) sera si possible indiquée dans les DCI par l'emploi de segments-clés communs. La liste ci-après contient des exemples de segments-clés pour des groupes de substances, surtout pour des groupes récents. Il y a beaucoup d'autres segments-clés en utilisation active.² Les segments-clés indiqués sans trait d'union pourront être insérés n'importe où dans une dénomination.

¹ Dans son vingtième rapport (OMS, Série de Rapports techniques, N° 581, 1975), le Comité OMS d'experts des Dénominations communes pour les Substances pharmaceutiques a examiné les directives générales pour la formation des dénominations communes internationales et la procédure à suivre en vue de leur choix, compte tenu de l'évolution du secteur pharmaceutique au cours des dernières années. La modification la plus importante a été l'extension aux substances de synthèse de la pratique normalement suivie pour désigner les substances tirées ou dérivées de produits naturels. Cette pratique consiste à employer des syllabes communes ou groupes de syllabes communes (segments-clés) qui sont caractéristiques et indiquent une propriété commune aux membres du groupe de substances pour lequel ces segments-clés ont été retenus. Les raisons et les conséquences de cette modification ont fait l'objet de discussions approfondies. Les directives ont été mises à jour lors de la treizième consultation sur les dénominations communes pour les substances pharmaceutiques (Genève, 27-29 avril 1983) (PHARM S/NOM 928, 13 mai 1983, révision en date du 18 août 1983).

² Une liste plus complète de segments-clés est contenue dans le document de travail WHO/EMP/RHT/TSN/2018.1 qui est régulièrement mis à jour et qui peut être demandé auprès du programme des DCI, OMS, Genève

Latin	Français	
-acum	-ac	substances anti-inflammatoires du groupe de l'ibufénac analgésiques
-adolum	-adol	
-adol-	-adol-	
-astum	-ast	
-astinum	-astine	antiasthmatiques, antiallergiques n'agissant pas principalement en tant qu'antihistaminiques
-azepamum	-azépam	
bol	bol	antihistaminiques
-cain-	-caïn-	substances du groupe du diazépam
-cainum	-caïne	stéroïdes anabolisants
cef-	céf-	antiarythmiques de classe I, dérivés du procaïnamide et de la lidocaïne
-cillinum	-cilline	anesthésiques locaux
-conazolium	-conazole	antibiotiques, dérivés de l'acide céphalosporanique
cort	cort	antibiotiques, dérivés de l'acide 6-aminopénicillanique
-coxibum	-coxib	agents antifongiques systémiques du groupe du miconazole
-entanum	-entan	corticostéroïdes, autres que les dérivés de la prednisolone
gab	gab	inhibiteurs sélectifs de la cyclo-oxygénase
gado-	gado-	antagonistes du récepteur de l'endothéline
-gatronum	-gatron	gabamimétiques
gest	gest	agents diagnostiques, dérivés du gadolinium
gli	gli	antithrombines, antithrombotiques
io-	io-	stéroïdes progestogènes
-metacinum	-métacine	antihyperglycémiants
-mycinum	-mycine	produits de contraste iodés
-nidazolium	-nidazole	substances anti-inflammatoires du groupe de l'indométacine
-ololum	-olol	antibiotiques produits par des souches de <i>Streptomyces</i>
-oxacinum	-oxacine	substances antiprotozoaires du groupe du métronidazole
-platinum	-platine	antagonistes des récepteurs β-adrénergiques
-poetinum	-poétine	substances antibactériennes du groupe de l'acide nalidixique
-pril(at)um	-pril(ate)	antinéoplasiques, dérivés du platine
-profenum	-profène	facteurs sanguins de type érythropoïétine
prost	prost	inhibiteurs de l'enzyme de conversion de l'angiotensine
-relinum	-réline	substances anti-inflammatoires du groupe de l'ibuprofène
-sartanum	-sartan	prostaglandines
-vaptanum	-vaptan	peptides stimulant la libération d'hormones hypophysaires
vin-	vin-	antagonistes d'un récepteur de l'angiotensine II,
-vin-	-vin-	antihypertenseurs (non peptidiques)
		antagonistes du récepteur de la vasopressine
		alcaloïdes du type vinca

ANEXO 1

**PROCEDIMIENTO DE SELECCIÓN DE DENOMINACIONES
COMUNES INTERNACIONALES RECOMENDADAS PARA
SUSTANCIAS FARMACÉUTICAS¹**

La Organización Mundial de la Salud (OMS) seguirá el procedimiento que se expone a continuación tanto para seleccionar denominaciones comunes internacionales recomendadas para las sustancias farmacéuticas, de conformidad con lo dispuesto en la resolución WHA3.11, como para sustituir esas denominaciones.

Artículo 1 - Las propuestas de denominaciones comunes internacionales recomendadas y las propuestas de sustitución de esas denominaciones se presentarán a la OMS en los formularios que se proporcionen a estos efectos. El estudio de estas propuestas estará sujeto al pago de una tasa destinada a sufragar los costos de administración que ello suponga para la Secretaría de la OMS («la Secretaría»). La Secretaría establecerá la cuantía de esa tasa y podrá ajustarla periódicamente.

Artículo 2 - Estas propuestas serán sometidas por la Secretaría a los miembros del Cuadro de Expertos en Farmacopea Internacional y Preparaciones Farmacéuticas encargados de su estudio, en adelante designados como «el Grupo de Expertos en DCI», para que las examinen de conformidad con los «Principios generales de orientación para formar denominaciones comunes internacionales para sustancias farmacéuticas», anexos a este procedimiento.² A menos que haya poderosas razones en contra, la denominación aceptada será la empleada por la persona que haya descubierto o fabricado y comercializado por primera vez esa sustancia farmacéutica.

Artículo 3 - Tras el examen al que se refiere el artículo 2, la Secretaría notificará que está en estudio un proyecto de denominación internacional.

a) Esa notificación se hará mediante una publicación en *Información Farmacéutica OMS*³ y el envío de una carta a los Estados Miembros y a las comisiones nacionales y regionales de las farmacopeas u otros organismos designados por los Estados Miembros.

i) La notificación será enviada también a la persona que haya presentado la propuesta («el solicitante inicial») y a otras personas que tengan un interés especial en una denominación objeto de estudio.

b) En esa notificación se incluirán los siguientes datos:

i) la denominación sometida a estudio;

ii) la identidad de la persona que ha presentado la propuesta de denominación de la sustancia, si lo pide esa persona;

iii) la identidad de la sustancia cuya denominación está en estudio;

iv) el plazo fijado para recibir observaciones y objeciones, así como el nombre y la dirección de la persona a quien deban dirigirse; y

v) los poderes conferidos para el caso a la OMS y una referencia al presente procedimiento.

¹ Véase el anexo 1 en OMS, Serie de Informes Técnicos, N° 581, 1975. El texto vigente fue adoptado por el Consejo Ejecutivo en su resolución EB15.R7 y modificado en las resoluciones EB43.R9 y EB115.R4..

² Véase el anexo 2.

³ Hasta 1987 las listas de DCI se publicaban en la *Crónica de la Organización Mundial de la Salud*.

c) Al enviar esa notificación, la Secretaría solicitará de los Estados Miembros la adopción de todas las medidas necesarias para impedir la adquisición de derechos de patente sobre la denominación propuesta, durante el periodo en que la OMS la tenga en estudio.

Artículo 4 - Toda persona puede formular a la OMS observaciones sobre la denominación propuesta dentro de los cuatro meses siguientes a su publicación en *Información Farmacéutica OMS*, conforme a lo dispuesto en el artículo 3.

Artículo 5 - Toda persona interesada puede presentar una objeción formal a una denominación propuesta dentro de los cuatro meses siguientes a su publicación en *Información Farmacéutica OMS*, conforme a lo dispuesto en el artículo 3.

Esa objeción deberá acompañarse de los siguientes datos:

- i) la identidad de la persona que formula la objeción;
- ii) las causas que motivan su interés por la denominación; y
- iii) las causas que motivan su objeción a la denominación propuesta.

Artículo 6 - Cuando se haya presentado una objeción formal en la forma prevista en el artículo 5, la OMS podrá reconsiderar el nombre propuesto o utilizar sus buenos oficios para intentar lograr que se retire la objeción. La OMS no seleccionará como denominación común internacional una denominación a la que se haya hecho una objeción formal, presentada según lo previsto en el artículo 5, que no haya sido retirada, todo ello sin perjuicio de que la Organización examine otra denominación o denominaciones sustitutivas.

Artículo 7 - Cuando no se haya formulado ninguna objeción en la forma prevista en el artículo 5, o cuando todas las objeciones presentadas hayan sido retiradas, la Secretaría notificará, conforme a lo dispuesto en el párrafo a) del artículo 3, que la denominación ha sido seleccionada por la OMS como denominación común internacional recomendada.

Artículo 8 - Al comunicar a los Estados Miembros una denominación común internacional, conforme a lo previsto en el artículo 7, la Secretaría:

a) solicitará que esta denominación sea reconocida como denominación común para la sustancia de que se trate; y

b) solicitará a los Estados Miembros que adopten todas las medidas necesarias para impedir la adquisición de derechos de patente sobre la denominación, y prohíban que sea registrada como marca de fábrica o como nombre comercial.

Artículo 9

a) En el caso excepcional de que, debido a su semejanza con otra denominación utilizada en las prácticas farmacéuticas y/o de prescripción, una denominación común internacional recomendada anteriormente ocasione errores de medicación, prescripción o distribución, o suponga un riesgo manifiesto de que esto ocurra, y parezca que tales errores o potenciales errores no sean fácilmente subsanables con otras medidas que no sean la posible sustitución de esa denominación común internacional recomendada anteriormente; en el caso de que una denominación común internacional recomendada anteriormente difiera considerablemente de la denominación común aprobada en un número importante de Estados Miembros, o en otras circunstancias excepcionales que justifiquen el cambio de una denominación común internacional recomendada, cualquier persona interesada puede presentar propuestas en este sentido. Esas propuestas se presentarán en los formularios que se proporcionen a estos efectos e incluirán los siguientes datos:

- i) la identidad de la persona que presenta la propuesta;
- ii) las causas que motivan su interés en la sustitución propuesta;
- iii) las causas que motivan la propuesta; y

iv) una descripción, acompañada de pruebas documentales, de las otras medidas que se hayan adoptado con el fin de resolver la situación y de los motivos por los cuales dichas medidas no han sido suficientes.

Entre esas propuestas podrá figurar una relativa a una nueva denominación común internacional sustitutiva, formulada con arreglo a los Principios generales y que tenga en cuenta la sustancia farmacéutica para la que se proponga la nueva denominación común internacional sustitutiva.

La Secretaría enviará al Grupo de Expertos en DCI y al solicitante inicial o a su sucesor (en el caso de que sea una persona diferente de la que ha presentado la propuesta de sustitución y siempre que el solicitante inicial o su sucesor sean conocidos o puedan ser encontrados mediante esfuerzos diligentes, como el contacto con las asociaciones industriales) una copia de la propuesta, para que sea examinada de conformidad con el procedimiento descrito en el párrafo *b) infra*.

Además, la Secretaría solicitará observaciones sobre la propuesta:

i) a los Estados Miembros y a las comisiones nacionales y regionales de las farmacopeas u otros organismos designados por los Estados Miembros (ello se hará incluyendo una notificación a tal efecto en la carta a la que se refiere el párrafo a) del artículo 3), y

ii) a cualquier persona que tenga un interés especial en la sustitución propuesta.

Al solicitar que se formulen estas observaciones se facilitarán los siguientes datos:

i) la denominación común internacional recomendada que se propone sustituir (y la denominación sustitutiva propuesta, si se ha facilitado);

ii) la identidad de la persona que ha presentado la propuesta de sustitución (si lo pide esa persona);

iii) la identidad de la sustancia a la que se refiere la sustitución propuesta y las razones para presentar la propuesta de sustitución;

iv) el plazo fijado para recibir observaciones, así como el nombre y la dirección de la persona a quien deban dirigirse; y

v) los poderes conferidos para el caso a la OMS y una referencia al presente procedimiento.

Toda persona puede formular a la OMS observaciones sobre la sustitución propuesta dentro de los cuatro meses siguientes a la fecha en que se realizó la solicitud de observaciones.

b) Una vez agotado el mencionado plazo para la formulación de observaciones, la Secretaría enviará todos los comentarios recibidos al Grupo de Expertos en DCI, al solicitante inicial o a su sucesor, y a la persona que haya presentado la propuesta de sustitución. Si después de examinar la propuesta de sustitución y las observaciones recibidas, el Grupo de Expertos en DCI, la persona que haya presentado la propuesta de sustitución y el solicitante inicial, o su sucesor, están de acuerdo en la necesidad de sustituir la denominación común internacional recomendada anteriormente, la Secretaría remitirá la propuesta de sustitución al Grupo de Expertos en DCI para que la tramite.

No obstante lo anterior, el solicitante inicial o su sucesor no tendrán derecho a impedir el acuerdo sobre una propuesta de sustitución en el caso de que hayan dejado de tener un interés demostrable en la denominación común internacional cuya sustitución se propone.

En caso de que la propuesta de sustitución sea presentada al Grupo de Expertos en DCI para que la tramite, este grupo seleccionará una nueva denominación común internacional de conformidad con los Principios generales a los que se refiere el artículo 2 y al procedimiento establecido en los artículos 3 a 8 inclusive. En ese caso, en las notificaciones que la Secretaría ha de enviar con arreglo a los artículos 3 y 7, respectivamente, incluida la notificación al solicitante

inicial o a su sucesor (en el caso de que no sea la misma persona que propuso la sustitución y siempre que el solicitante inicial o su sucesor sean conocidos o puedan ser encontrados mediante esfuerzos diligentes, como el contacto con las asociaciones industriales), se indicará que la nueva denominación sustituye a una denominación común internacional recomendada anteriormente y que los Estados Miembros podrán, si lo estiman oportuno, adoptar disposiciones transitorias aplicables a los productos existentes en cuya etiqueta se utilice, con arreglo a la legislación nacional, la denominación común internacional recomendada anteriormente que se haya sustituido.

En caso de que, después de haber estudiado la propuesta de sustitución y los comentarios recibidos de conformidad con el procedimiento descrito anteriormente, el Grupo de Expertos en DCI, el solicitante inicial o su sucesor y la persona que haya presentado la propuesta de sustitución no lleguen a un acuerdo sobre la existencia de razones poderosas para sustituir una denominación común internacional recomendada anteriormente, esta denominación se mantendrá (siempre en el entendimiento de que el solicitante inicial o su sucesor no tendrán derecho a impedir el acuerdo sobre una propuesta de sustitución en el caso de que hayan dejado de tener un interés demostrable en la denominación común internacional cuya sustitución se propone). En ese caso, la Secretaría comunicará a la persona que haya propuesto la sustitución, así como al solicitante inicial o a su sucesor (en el caso de que no sea la misma persona que propuso la sustitución y siempre que el solicitante inicial o su sucesor sean conocidos o puedan ser encontrados mediante esfuerzos diligentes, como el contacto con las asociaciones industriales), a los Estados Miembros, a las comisiones nacionales y regionales de las farmacopeas o a otros organismos designados por los Estados Miembros y a cualquier otra persona que tenga interés en la sustitución propuesta, que, pese a la presentación de una propuesta de sustitución, se ha decidido mantener la denominación común internacional recomendada anteriormente (con una descripción de la o las razones por las que se ha considerado que la propuesta de sustitución no estaba respaldada por razones suficientemente poderosas).

ANEXO 2

PRINCIPIOS GENERALES DE ORIENTACIÓN PARA FORMAR DENOMINACIONES COMUNES INTERNACIONALES PARA SUSTANCIAS FARMACÉUTICAS¹

1. Las denominaciones comunes internacionales (DCI) deberán diferenciarse tanto fonética como ortográficamente. No deberán ser incómodamente largas, ni dar lugar a confusión con denominaciones de uso común.

2. La DCI de una sustancia que pertenezca a un grupo de sustancias farmacológicamente emparentadas deberá mostrar apropiadamente este parentesco. Deberán evitarse las denominaciones que puedan tener connotaciones anatómicas, fisiológicas, patológicas o terapéuticas para el paciente.

Estos principios primarios se pondrán en práctica utilizando los siguientes principios secundarios:

3. Al idear la DCI de la primera sustancia de un nuevo grupo farmacológico, deberá tenerse en cuenta la posibilidad de poder formar DCI convenientes para las sustancias emparentadas que se agreguen al nuevo grupo.

4. Al idear DCI para ácidos, se preferirán las de una sola palabra; sus sales deberán denominarse sin modificar el nombre del ácido: p. ej. «oxacilina» y «oxacilina sódica», «ibufenaco» y «ibufenaco sódico».

¹ En su 20º informe (OMS, Serie de Informes Técnicos, Nº 581, 1975), el Comité de Expertos de la OMS en Denominaciones Comunes para las Sustancias Farmacéuticas revisó los Principios generales para formar denominaciones comunes internacionales (DCI), y su procedimiento de selección, a la luz de las novedades registradas en los últimos años en materia de compuestos farmacéuticos. El cambio más importante había consistido en hacer extensivo a la denominación de sustancias químicas sintéticas el método utilizado hasta entonces para las sustancias originadas en productos naturales o derivadas de éstos. Dicho método conlleva la utilización de una «partícula» característica que indica una propiedad común a los miembros de un grupo. En el citado informe se examinan en detalle las razones y consecuencias de este cambio.

Los Principios generales de orientación se actualizaron durante la 13ª consulta sobre denominaciones comunes para sustancias farmacéuticas (Ginebra, 27 a 29 de abril de 1983) (PHARM S/NOM 928, 13 de mayo de 1983, revisado el 18 de agosto de 1983).

5. Las DCI para las sustancias que se usan en forma de sal deberán en general aplicarse a la base activa o al ácido activo. Las denominaciones para diferentes sales o ésteres de la misma sustancia activa solamente deberán diferir en el nombre del ácido o de la base inactivos. En los compuestos de amonio cuaternario, el catión y el anión deberán denominarse adecuadamente por separado, como componentes independientes de una sustancia cuaternaria y no como sales de una amina.

6. Deberá evitarse el empleo de letras o números aislados; también es indeseable el empleo de guiones.

7. Para facilitar la traducción y la pronunciación, se emplearán de preferencia las letras «f» en lugar de «ph», «t» en lugar de «th», «e» en lugar de «ae» u «oe», e «i» en lugar de «y»; se deberá evitar el empleo de las letras «h» y «k».

8. Siempre que las denominaciones propuestas estén de acuerdo con estos principios, recibirán una consideración preferente las denominaciones propuestas por la persona que haya descubierto las sustancias, o que fabrique y comercialice por primera vez una sustancia farmacéutica, así como las denominaciones ya adoptadas oficialmente en cualquier país.

9. El parentesco entre sustancias del mismo grupo se pondrá de manifiesto en las DCI (véase el Principio 2) utilizando una partícula común. En la lista que figura a continuación se indican ejemplos de partículas para grupos de sustancias, en particular para grupos nuevos. Existen muchas otras partículas que se usan habitualmente.¹ Cuando una partícula aparece sin guión alguno, puede utilizarse en cualquier lugar de la palabra.

Latin	Español	
-acum	-aco	antiinflamatorios derivados del ibufenaco
-adolum	-adol)	analgésicos
-adol-	-adol-)	
-astum	-ast	antiasmáticos, sustancias antialérgicas cuya acción principal no es la antihistamínica
-astinum	-astina	antihistamínicos
-azepamum	-azepam	derivados del diazepam
bol	bol	esteroides anabolizantes
-cain-	-caína-	antiarrítmicos de clase I, derivados de procainamida y lidocaína
-cainum	-caína-	anestésicos locales
cef-	cef-	antibióticos, derivados del ácido cefalosporánico
-cillinum	-cilina	antibióticos derivados del ácido 6-aminopenicilánico
-conazolium	-conazol	antifúngicos sistémicos derivados del miconazol
cort	cort	corticosteroides, excepto derivados de prednisolona
-coxibum	-coxib	inhibidores selectivos de ciclooxigenasa
-entanum	-entán	antagonistas del receptor de endotelina
gab	gab	gabamiméticos
gado-	gado-	agentes para diagnóstico derivados de gadolinio
-gartranum	-gatrán	inhibidores de la trombina antitrombóticos
gest	gest	esteroides progestágenos
gli	gli	hipoglucemiantes, antihiperglucémicos
io-	io-	medios de contraste iodados
-metacinum	-metacina	antiinflamatorios derivados de indometacina
-mycinum	-micina	antibióticos producidos por cepas de <i>Streptomyces</i>
-nidazolium	-nidazol	antiprotozoarios derivados de metronidazol
-ololum	-olol	antagonistas de receptores β -adrenérgicos

¹ En el documento de trabajo WHO/EMP/RHT/TSN/2018.1, que se actualiza periódicamente y puede solicitarse al Programa sobre Denominaciones Comunes Internacionales, OMS, Ginebra, figura una lista más amplia de partículas.

<i>-oxacinum</i>	<i>-oxacino</i>	antibacterianos derivados del ácido nalidíxico
<i>-platinum</i>	<i>-platino</i>	antineoplásicos derivados del platino
<i>-poetinum</i>	<i>-poetina</i>	factores sanguíneos similares a la eritropoyetina
<i>-pril(at)um</i>	<i>-pril(at)</i>	inhibidores de la enzima convertora de la angiotensina
<i>-profenum</i>	<i>-profeno</i>	antiinflamatorios derivados del ibuprofeno
<i>prost</i>	<i>prost</i>	prostaglandinas
<i>-relinum</i>	<i>-relina</i>	péptidos estimulantes de la liberación de hormonas hipofisarias
<i>-sartanum</i>	<i>-sartán</i>	antihipertensivos (no peptídicos) antagonistas del receptor de angiotensina II
<i>-vaptanum</i>	<i>-vaptán</i>	antagonistas del receptor de vasopresina
<i>vin-</i>	<i>vin-</i>)	alcaloides de la vinca
<i>-vin-</i>	<i>-vin-</i>)	